

(19) 日本国特許庁(JP)

(12) 公表特許公報(A)

(11) 特許出願公表番号

特表2012-509061
(P2012-509061A)

(43) 公表日 平成24年4月19日(2012.4.19)

(51) Int.Cl.	F I	テーマコード(参考)
C12Q 1/68 (2006.01)	C12Q 1/68 A	2G045
GO1N 33/50 (2006.01)	GO1N 33/50 P	4B063
GO1N 33/68 (2006.01)	GO1N 33/68	
GO1N 33/574 (2006.01)	GO1N 33/574 A	
GO1N 37/00 (2006.01)	GO1N 37/00 102	

審査請求 未請求 予備審査請求 未請求 (全 151 頁) 最終頁に続く

(21) 出願番号 特願2011-536339(P2011-536339)
 (86) (22) 出願日 平成21年11月17日(2009.11.17)
 (85) 翻訳文提出日 平成23年7月12日(2011.7.12)
 (86) 国際出願番号 PCT/US2009/006162
 (87) 国際公開番号 W02010/056374
 (87) 国際公開日 平成22年5月20日(2010.5.20)
 (31) 優先権主張番号 61/199,585
 (32) 優先日 平成20年11月17日(2008.11.17)
 (33) 優先権主張国 米国(US)
 (31) 優先権主張番号 61/270,812
 (32) 優先日 平成21年7月13日(2009.7.13)
 (33) 優先権主張国 米国(US)

(71) 出願人 511118469
 ベラサイト インコーポレイテッド
 アメリカ合衆国 カリフォルニア州 サウス
 サンフランシスコ ショアライン コ
 ート 7000 スイート 250
 (74) 代理人 100102978
 弁理士 清水 初志
 (74) 代理人 100102118
 弁理士 春名 雅夫
 (74) 代理人 100160923
 弁理士 山口 裕孝
 (74) 代理人 100119507
 弁理士 刑部 俊
 (74) 代理人 100142929
 弁理士 井上 隆一

最終頁に続く

(54) 【発明の名称】 疾患診断のための分子プロファイリングの方法および組成物

(57) 【要約】

本発明は、癌に関連した遺伝子発現産物マーカー、選択的エクソン使用マーカーおよびDNA多型を含むがこれらに限定されない、分子プロファイリングおよび癌診断のための組成物、キットおよび方法に関する。特に、本発明は、甲状腺癌に関連した分子プロファイル、分子プロファイルを決定する方法、および診断を提供するため結果を分析する方法を提供する。

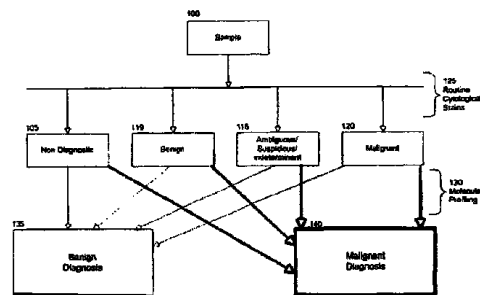
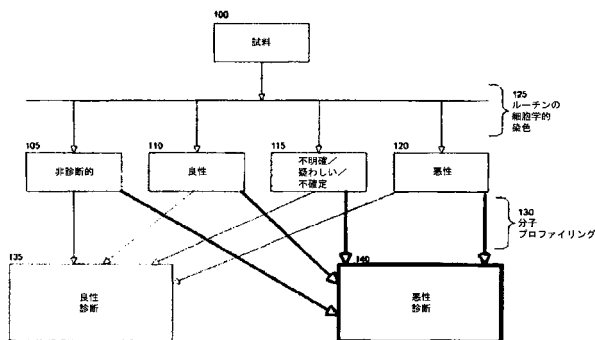


Figure 18



【特許請求の範囲】

【請求項1】

以下の工程を含む、対象における甲状腺癌を診断する方法：

- (a) 遺伝子発現産物を含む生物学的試料を該対象から得る工程；
- (b) 該生物学的試料の、図6から選択される遺伝子に対応する一つまたは複数の遺伝子発現産物について、発現レベルを測定する工程；および
- (c) 遺伝子発現レベルを該生物学的試料における甲状腺癌の存在と相関させることにより、該生物学的試料を癌性として同定する工程。

【請求項2】

前記生物学的試料が甲状腺細胞を含む、請求項1記載の方法。

10

【請求項3】

前記生物学的試料が組織試料である、請求項1記載の方法。

【請求項4】

前記試料が、針吸引、細針吸引、コア針生検、吸引生検、ラージコア (large core) 生検、切開生検、切除生検、パンチ生検、薄片生検、または皮膚生検により得られる、請求項1記載の方法。

【請求項5】

前記遺伝子発現産物がRNAである、請求項1記載の方法。

【請求項6】

前記遺伝子発現産物が、mRNA、rRNA、tRNA、またはmiRNAである、請求項5記載の方法。

20

【請求項7】

RNA発現レベルが、マイクロアレイ、SAGE、プロッティング、RT-PCR、または定量的PCRにより測定される、請求項5記載の方法。

【請求項8】

前記遺伝子発現産物がタンパク質である、請求項1記載の方法。

【請求項9】

タンパク質遺伝子発現レベルが、ELISA、質量分析、プロッティング、プロテオミクス技術、または免疫組織化学的検査により測定される、請求項8記載の方法。

【請求項10】

前記一つまたは複数の遺伝子発現産物の前記発現レベルを、対照試料における各遺伝子発現産物についての対照発現レベルと比較する工程であって、前記生物学的試料と該対照試料との間に遺伝子発現産物の遺伝子発現レベルの差が存在する場合、該生物学的試料が癌性として同定される工程をさらに含む、請求項1記載の方法。

30

【請求項11】

前記生物学的試料と前記対照試料との間のmRNAレベルの差が、訓練されたアルゴリズムを使用して比較される、請求項10記載の方法。

【請求項12】

前記一つまたは複数の遺伝子発現産物が、表3、表4または表5から選択される遺伝子に対応する、請求項1記載の方法。

40

【請求項13】

前記一つまたは複数の遺伝子発現産物が、リスト1~31または表6のうちの一つまたは複数から選択される遺伝子に対応する、請求項1記載の方法。

【請求項14】

前記遺伝子発現産物が、急性骨髄性白血病シグナル伝達経路、2型ソマトスタチン受容体シグナル伝達経路、cAMP媒介シグナル伝達経路、細胞周期およびDNA傷害チェックポイント (cell cycle and DNA damage checkpoint) シグナル伝達経路、Gタンパク質共役型受容体シグナル伝達経路、インテグリンシグナル伝達経路、黒色腫細胞シグナル伝達経路、リラキシンシグナル伝達経路、または甲状腺癌シグナル伝達経路由来である、請求項1記載の方法。

50

【請求項15】

前記一つまたは複数の遺伝子発現産物が、接着経路、ECM経路、甲状腺癌経路、接着斑経路、アポトーシス経路、p53経路、密着結合経路、TGF経路、ErbB経路、Wnt経路、癌概要経路(pathway in cancer overview)、細胞周期経路、VEGF経路、Jak/STAT経路、MAPK経路、PPAR経路、mTOR経路、または自己免疫性甲状腺経路由来である、請求項1記載の方法。

【請求項16】

前記遺伝子発現産物が接着経路由来である、請求項15記載の方法。

【請求項17】

少なくとも2つの遺伝子発現産物が測定され、かつ該遺伝子発現産物が少なくとも2つの異なる経路由来である、請求項15記載の方法。 10

【請求項18】

少なくとも一つの遺伝子発現産物が接着経路由来であり、かつ少なくとも一つの遺伝子発現産物が接着斑経路由来である、請求項17記載の方法。

【請求項19】

前記密着結合経路からの第二の遺伝子発現産物をさらに含む、請求項18記載の方法。

【請求項20】

前記遺伝子発現産物が複数の経路にカテゴリー化される、請求項15記載の方法。

【請求項21】

前記遺伝子発現産物が前記接着経路および前記接着斑経路にカテゴリー化される、請求項20記載の方法。 20

【請求項22】

前記遺伝子発現産物が前記密着結合経路にもカテゴリー化される、請求項21記載の方法。

【請求項23】

前記遺伝子発現産物が、細胞老化オントロジー群、細胞皮質オントロジー群、細胞周期オントロジー群、細胞死/アポトーシスオントロジー群、細胞分化オントロジー群、細胞分裂オントロジー群、細胞間結合オントロジー群、細胞遊走オントロジー群、細胞形態形成オントロジー群、細胞運動オントロジー群、細胞突起オントロジー群、細胞増殖オントロジー群、細胞認識オントロジー群、細胞体オントロジー群、細胞表面オントロジー群、細胞表面結合型受容体シグナル伝達オントロジー群、細胞接着オントロジー群、転写オントロジー群、免疫応答オントロジー群、血管形成オントロジー群、細胞膜オントロジー群、稀少膜成分オントロジー群、細胞頂端膜オントロジー群、細胞側底膜または細胞側膜オントロジー群、インテグリンオントロジー群、細胞表面オントロジー群、細胞外空間オントロジー群、細胞骨格オントロジー群、または炎症オントロジー群由来である、請求項1記載の方法。 30

【請求項24】

図6にリスト化された一つまたは複数の遺伝子が、癌を示す代謝経路またはシグナル伝達経路のセットに対応する代表的な配列を含有している、請求項1記載の方法。

【請求項25】

工程(d)の結果が、示唆された治療的介入を提供することをさらに含む、請求項1記載の方法。 40

【請求項26】

発現分析の結果が、所定の診断が正確である90%を超える統計的信頼水準を提供する、請求項1記載の方法。

【請求項27】

発現分析の結果が、所定の診断が正確である95%を超える統計的信頼水準を提供する、請求項1記載の方法。

【請求項28】

予備的診断を得るため、工程(a)の後、前記生物学的試料の一部に対して細胞学的分 50

析を実施する工程

をさらに含む、請求項1記載の方法。

【請求項29】

不確定試料および非診断的試料という予備的診断を有する試料が、工程(b)および(c)の方法によりさらに分析される、請求項28記載の方法。

【請求項30】

図6から選択される遺伝子が、図2、図3、図4、または図5にリスト化された遺伝子からさらに選択される、請求項1記載の方法。

【請求項31】

前記生物学的試料の遺伝子発現産物のうちの少なくとも2つの発現レベルを測定する工程を含む、請求項1記載の方法。

10

【請求項32】

前記生物学的試料の遺伝子発現産物のうちの少なくとも5つの発現レベルを測定する工程を含む、請求項1記載の方法。

【請求項33】

前記生物学的試料の遺伝子発現産物のうちの少なくとも10個の発現レベルを測定する工程を含む、請求項1記載の方法。

20

【請求項34】

遺伝子発現レベルの差が少なくとも10%である、請求項1記載の方法。

【請求項35】

遺伝子発現レベルの差が少なくとも25%である、請求項1記載の方法。

【請求項36】

遺伝子発現レベルの差が少なくとも50%である、請求項1記載の方法。

【請求項37】

遺伝子発現レベルの差が少なくとも2倍である、請求項1記載の方法。

【請求項38】

遺伝子発現レベルの差が少なくとも5倍である、請求項1記載の方法。

30

【請求項39】

遺伝子発現レベルの差が少なくとも10倍である、請求項1記載の方法。

【請求項40】

前記生物学的試料が、75%より高い精度で癌性として同定される、請求項1記載の方法。

【請求項41】

前記生物学的試料が、70%より高い感度で癌性として同定される、請求項1記載の方法。

【請求項42】

前記生物学的試料が、70%より高い特異度で癌性として同定される、請求項1記載の方法。

40

【請求項43】

前記生物学的試料が、70%より高い感度および70%より高い特異度で癌性として同定される、請求項1記載の方法。

【請求項44】

前記生物学的試料が、95%より高い陽性適中率で癌性として同定される、請求項1記載の方法。

【請求項45】

前記生物学的試料が、95%より高い陰性適中率で癌性として同定される、請求項1記載の方法。

50

【請求項46】

精度が、訓練されたアルゴリズムを使用して計算される、請求項40～45のいずれか一項記載の方法。

【請求項47】

前記対照試料が、試験試料と同一の個体、該試験試料とは異なる個体、組織バンク、または細胞バンクから得られる、請求項1記載の方法。

【請求項48】

前記対照試料の遺伝子発現産物の遺伝子レベルがデータベース由来である、請求項1記載の方法。

【請求項49】

前記試料が術前検体である、請求項1記載の方法。

10

【請求項50】

前記試料が術後検体である、請求項1記載の方法。

【請求項51】

悪性甲状腺癌を良性甲状腺疾患と区別する、請求項1記載の方法。

【請求項52】

前記生物学的試料において、濾胞性腺腫、濾胞癌、リンパ性甲状腺炎、濾胞型甲状腺乳頭癌 (follicular variant papillary thyroid carcinoma)、甲状腺乳頭癌、結節性過形成、甲状腺髄様癌、ハースル細胞癌、ハースル細胞腺腫、または甲状腺未分化癌を同定する、請求項1記載の方法。

20

【請求項53】

前記生物学的試料において、転移性非甲状腺癌を同定する、請求項1記載の方法。

【請求項54】

前記生物学的試料において、転移性副甲状腺癌、転移性黒色腫、転移性腎癌、転移性乳癌、または転移性B細胞リンパ腫を同定する、請求項1記載の方法。

【請求項55】

同定された情報を有する結果のセットを伝達する工程をさらに含む、請求項1記載の方法。

【請求項56】

前記情報がインターネットを通して伝達される、請求項55記載の方法。

30

【請求項57】

以下の工程を含む、癌を分類する方法：

- (a) 遺伝子発現産物を含む生物学的試料を得る工程；
- (b) 該生物学的試料の、図6から選択される遺伝子に対応する一つまたは複数の遺伝子発現産物について、発現レベルを測定する工程；
- (c) 該一つまたは複数の遺伝子発現産物の該発現レベルを、対照試料における各遺伝子発現産物についての対照発現レベルと比較する工程；および
- (d) 指定された信頼水準で、該生物学的試料と該対照試料との間に遺伝子発現レベルの差が存在する場合に、該生物学的試料を癌の亜型について陽性として同定する工程。

40

【請求項58】

前記生物学的試料において、濾胞性腺腫、濾胞癌、リンパ性甲状腺炎、濾胞型甲状腺乳頭癌、甲状腺乳頭癌、結節性過形成、甲状腺髄様癌、ハースル細胞癌、ハースル細胞腺腫、または甲状腺未分化癌を同定する、請求項57記載の方法。

【請求項59】

前記生物学的試料において、転移性非甲状腺癌を同定する、請求項57記載の方法。

【請求項60】

前記生物学的試料において、転移性副甲状腺癌、転移性黒色腫、転移性腎癌、転移性乳癌、または転移性B細胞リンパ腫を同定する、請求項57記載の方法。

【請求項61】

図6にリスト化された一つもしくは複数の遺伝子発現産物の一部に、またはそれらの相

50

補体に結合するプローブを含む、癌を診断するための組成物。

【請求項62】

前記プローブが抗体である、請求項61記載の組成物。

【請求項63】

前記プローブがオリゴヌクレオチドである、請求項61記載の組成物。

【請求項64】

前記プローブが共有結合的に付着している、基板をさらに含む、請求項61記載の組成物。

【請求項65】

訓練されたアルゴリズムを使用した指定された信頼水準での癌の診断において使用するのに適している、請求項64記載の組成物。

10

【請求項66】

前記癌が甲状腺癌である、請求項65記載の組成物。

【請求項67】

前記プローブが、表3、表4、または表5から選択される遺伝子に対応する一つまたは複数の遺伝子発現産物に結合する、請求項61記載の組成物。

【請求項68】

前記プローブが、リスト1~31または表6のうちの一つまたは複数から選択される遺伝子に対応する一つまたは複数の遺伝子発現産物に結合する、請求項61記載の組成物。

【請求項69】

前記プローブが、急性骨髄性白血病経路、2型ソマトスタチン受容体経路、cAMP媒介経路、細胞周期およびDNA傷害チェックポイント経路、Gタンパク質共役型受容体経路、インテグリン経路、黒色腫細胞経路、リラキシン経路、または甲状腺癌シグナル伝達経路からの遺伝子のうちの一つまたは複数の一部に結合する、請求項61記載の組成物。

20

【請求項70】

前記プローブが、接着経路、ECM経路、甲状腺癌経路、接着斑経路、アポトーシス経路、p53経路、密着結合経路、TGF経路、ErbB経路、Wnt経路、癌概要経路、細胞周期経路、VEGF経路、Jak/STAT経路、MAPK経路、PPAR経路、mTOR経路、または自己免疫性甲状腺経路からの遺伝子のうちの一つまたは複数の一部に結合する、請求項61記載の組成物。

【請求項71】

少なくとも2つの異なる経路からの遺伝子発現産物に結合する少なくとも2個のプローブが存在する、請求項61記載の組成物。

30

【請求項72】

少なくとも遺伝子発現産物が接着経路由来であり、かつ少なくとも一つの遺伝子発現産物が接着斑経路由来である、請求項71記載の組成物。

【請求項73】

密着結合経路からの遺伝子発現産物をさらに含む、請求項72記載の組成物。

【請求項74】

前記遺伝子発現産物が複数の経路にカテゴリー化される、請求項61記載の組成物。

【請求項75】

前記遺伝子発現産物が接着経路および接着斑経路にカテゴリー化される、請求項74記載の組成物。

40

【請求項76】

前記遺伝子発現産物が密着結合経路にもカテゴリー化される、請求項75記載の組成物。

【請求項77】

前記遺伝子発現産物が、細胞老化オンコロジー群、細胞皮質オンコロジー群、細胞周期オンコロジー群、細胞死/アポトーシスオンコロジー群、細胞分化オンコロジー群、細胞分裂オンコロジー群、細胞間結合オンコロジー群、細胞遊走オンコロジー群、細胞形態形成オンコロジー群、細胞運動オンコロジー群、細胞突起オンコロジー群、細胞増殖オンコロジー群、細胞認識オンコロジー群、細胞体オンコロジー群、細胞表面オンコロジー群、

50

細胞表面結合型受容体シグナル伝達オントロジー群、細胞接着オントロジー群、転写オントロジー群、免疫応答オントロジー群、血管形成オントロジー群、細胞膜オントロジー群、稀少膜成分オントロジー群、細胞頂端膜オントロジー群、細胞側底膜または細胞側膜オントロジー群、インテグリンオントロジー群、細胞表面オントロジー群、細胞外空間オントロジー群、細胞骨格オントロジー群、または炎症オントロジー群からの遺伝子のうちの一つまたは複数の一部を含む、請求項61記載の組成物。

【請求項78】

以下の工程を含む、分子プロファイリングビジネスを実行する方法：

- (a) 請求項1記載の遺伝子発現産物のレベルを測定することにより、癌の診断またはモニタリングのサービスを提供する工程；または
- (b) 一つまたは複数の請求項1記載の遺伝子発現産物の量を測定するために、請求項61記載の組成物を使用する工程；
- (c) (a) または (b) の得られたデータに基づき、診断、予後、および必要とされる治療に関して助言する工程；および
- (d) (a)、(b)、または(c)のサービスを、医師、病院、および診療所に、協同的にまたは独立して販売する工程。

【発明の詳細な説明】

【技術分野】

【0001】

相互参照

本願は、2008年11月17日出願の「Methods and Compositions of Molecular Profiling for Diagnosis of Cancer」という名称の米国仮出願第61/199,585号、および2009年7月13日出願の「Methods and Compositions of Molecular Profiling for Diagnosis of Cancer」という名称の米国仮出願第61/270,812号の恩典を主張し、これらは、いずれも、参照によりその全体が本明細書に組み入れられる。

【背景技術】

【0002】

発明の背景

癌は、米国における死因の第2位であり、世界中の主要な死因のうちの一つである。現在、ほぼ2500万人が癌を有して生存しており、毎年1100万の新たな症例が診断されている。さらに、一般集団は高齢化を続けているため、癌はますます大きな問題になると考えられる。World Health Organizationは、2020年までに、世界的な癌の率が50%増加すると考えられると見積もっている。

【0003】

癌の処置の成功は、早期かつ正確な診断により始まる。現在の診断法には、生検により採取された組織試料の細胞学的調査、または異常な細胞増殖の証拠のための組織および器官の画像化を含む。これらの技術は、有用であり、かつ低コストであることが判明しているが、多数の欠点を有する。第一に、癌診断のための細胞学的分析および画像化技術は、しばしば、悪性の可能性を判断するために主観的な査定を必要とする。第二に、これらの技術の使用が増加したため、確定診断をなすことができない不確定結果の数が急増した。第三に、これらのルーチンの診断法は、正確な診断の確率を求めるための精密な方法を欠く。第四に、これらの技術は、極めて初期の段階では悪性増殖を検出することができない。第五に、これらの技術は、異常な細胞増殖の基礎に関する情報を提供しない。

【0004】

より新しい世代の癌処置の多くは、大いに低下した副作用を示すが、ある種の代謝経路またはシグナル伝達経路を特異的に標的としており、その経路に頼っている癌に対してしか有効でない。さらに、処置のコストが、個体、保険提供者、または政府実体にとってひどく高い場合がある。このコストは、初期段階で、癌および癌が頼っている経路を正確に診断する、改善された方法により、少なくとも部分的に差し引かれる可能性がある。これらの改善された方法は、不必要な治療的介入を防止するためにも、処置を指図するために

も、有用であると考えられる。

【0005】

甲状腺癌の場合、米国において、悪性と推測されるために実施される毎年およそ130,000件の甲状腺除去手術のうち、約54,000件のみが必要である。従って、年間およそ76,000件の不必要な手術が実施されている。さらに、失われた甲状腺機能を補充するために一生涯にわたり薬物治療が必要となるため、処置コストおよび合併症が引き続き存在する。従って、癌診断の現在の方法を改善する、改善された試験モダリティおよび商慣習が必要とされている。

【0006】

甲状腺は、ホルモンを作成する少なくとも二種類の細胞を有する。濾胞細胞は、心拍数、体温、およびエネルギーレベルに影響を与える甲状腺ホルモンを作成する。C細胞は、血中カルシウムレベルの制御を補助するホルモン、カルシトニンを作成する。甲状腺における異常増殖は、良性または悪性のいずれかであり得る結節の形成をもたらし得る。甲状腺癌には、甲状腺の少なくとも四種類の異なる悪性腫瘍：乳頭癌、濾胞癌、髄様癌、および未分化癌が含まれる。

【発明の概要】

【0007】

本発明は、(a)対象からの核酸試料を準備する工程；(b)表2にリスト化された遺伝子または転写物からなる群より選択される、一つもしくは複数の遺伝子、遺伝子産物、もしくは転写物、またはそれらの相補体の量を検出する工程；および(c)工程(b)の結果に基づき、対象が悪性または良性の甲状腺状態を有するか否かまたは有する可能性が高いか否かを判定する工程を含む、対象における甲状腺疾患を診断する方法を含む。

【0008】

本発明は、表にリスト化された多型からなる群より選択される一つまたは複数の多型に特異的に結合する一つまたは複数の結合剤を含む組成物も含む。

【0009】

参照による組み入れ

本明細書中に言及された全ての刊行物および特許出願が、あたかも個々の刊行物または特許出願が、各々、具体的にかつ個々に、参照により組み入れられると示されたかのごとく、参照により本明細書に組み入れられる。

【0010】

本発明の新規の特色は、添付の特許請求の範囲に詳細に示される。本発明の特色および利点のより良好な理解は、本発明の原理を用いる例示的な態様を示す以下の詳細な説明、および以下のような添付の図面を参照することにより得られると考えられる。

【図面の簡単な説明】

【0011】

【図1】悪性試料と良性試料と正常試料との間で有意に差次的に発現されるかまたは選択的スプライシングを受ける遺伝子を同定するため、Affymetrix Human Exon 10STアレイを使用して遺伝子発現分析について調査された75個の甲状腺試料をリスト化する表である。各試料の名称および病理学的分類がリスト化される。

【図2】遺伝子レベルで差次的に発現される遺伝子の上位100個をリスト化する表である。データは、良性甲状腺試料と悪性甲状腺試料と正常甲状腺試料とが遺伝子レベルで比較されたデータセットに由来する。マーカーは、偽検出率(false discover rate)(FDR)についてのBenjaminiおよびHochbergの補正後、統計的有意性に基づき選択された。正の数は発現の上方制御を意味し、負の数は下方制御を意味する。

【図3】選択的スプライシングを受ける遺伝子の上位100個をリスト化する表である。データは、良性甲状腺試料と悪性甲状腺試料と正常甲状腺試料とが遺伝子レベルで比較されたデータセットに由来する。マーカーは、偽検出率(FDR)についてのBenjaminiおよびHochbergの補正後、統計的有意性に基づき選択された。

【図4】プローブセットレベルで差次的に発現される遺伝子の上位100個をリスト化する

表である。データは、プローブセットデータセットに由来する。正の数は発現の上方制御を意味し、負の数は下方制御を意味する。

【図5】遺伝子レベル分析により判定された有意な診断マーカーの上位100個をリスト化する表である。このリスト中のマーカーは、差次的な遺伝子発現および選択的エキソンスプライシングの両方を示す。正の数は上方制御を意味し、負の数は下方制御を意味する。この表は、悪性群と良性群との比較、良性群と正常群との比較、および悪性群と正常群との比較を可能にする、所定のマーカーについて計算された3セットの変化倍率をリスト化する。

【図6】遺伝子発現レベルおよび/または選択的エキソンスプライシングの分子プロファイリングにより、甲状腺癌診断に寄与するとして同定された遺伝子をリスト化する表である。良性試料、悪性試料、および正常試料が遺伝子レベルで分析されたデータセットから同定されたマーカーは、データソース列においてBMNと呼ばれ；同様に、良性試料および悪性試料が遺伝子レベルで分析されたデータセットから同定されたマーカーは、データソース列においてBMと呼ばれる。同様に、良性試料および悪性試料が分析されたデータセットからプローブセットレベルで同定されたマーカーは、データソース列においてプローブセットと呼ばれる。

【図7】遺伝子発現分析について調査された組織試料をリスト化する表である。試料は病理学的分析により良性(B)または悪性(M)として分類された。良性試料は、さらに、濾胞性腺腫(FA)、リンパ性甲状腺炎(LCT)、または結節性過形成(NHP)として分類された。悪性試料は、さらに、ハースル細胞癌(HC)、濾胞癌(FC)、濾胞型甲状腺乳頭癌(follicular variant papillary thyroid carcinoma)(FVPTC)、甲状腺乳頭癌(PTC)、甲状腺髄様癌(MTC)、または未分化癌(ATC)として分類された。

【図8】遺伝子発現分析について調査された細針吸引液試料をリスト化する表である。試料は、病理学的分析により良性(B)または悪性(M)として分類された。良性試料は、さらに、濾胞性腺腫(FA)、リンパ性甲状腺炎(LCT)、ハースル細胞腺腫(HA)または結節性過形成(NHP)として分類された。悪性試料は、さらに、ハースル細胞癌(HC)、濾胞癌(FC)、濾胞型甲状腺乳頭癌(FVPTC)、甲状腺乳頭癌(PTC)、甲状腺髄様癌(MTC)、または未分化癌(ATC)として分類された。

【図9】悪性試料と良性試料との分類のため、LIMMA(マイクロアレイデータのための線形モデル(linear models for micro array data))およびSVM(サポートベクターマシン(support vector machine))を使用したフィーチャー選択により判定された、悪性試料と良性試料との間で発現の有意な差を示す、図7にリスト化された組織試料の発現分析から同定された遺伝子をリスト化する表である。ランクは、偽検出率(FDR)についてのBenjaminiおよびHochbergの補正後のマーカーの有意性を意味する(ランクが低いほど、有意性が高い)。遺伝子記号は、遺伝子の名称を意味する。TCIDは、Affymetrix Human Exon 10STアレイにおいて使用された遺伝子の転写物クラスターIDを意味する。Ref Seqは、その遺伝子に対応する参照配列の名称を意味する。「新たに発見されたマーカー」と表示された列は、悪性甲状腺組織と良性甲状腺組織とで差次的に発現されることが以前に記載されていない遺伝子発現マーカーを意味する。

【図10】MTC試料とその他の試料との分類のため、LIMMA(マイクロアレイデータのための線形モデル)およびSVM(サポートベクターマシン)を使用したフィーチャー選択により判定された、甲状腺髄様癌(MTC)とその他の病態との間で発現の有意な差を示す、図8にリスト化された組織試料の発現分析から同定された遺伝子をリスト化する表である。ランクは、偽検出率(FDR)についてのBenjaminiおよびHochbergの補正後のマーカーの有意性を意味する(ランクが低いほど、有意性が高い)。遺伝子記号は、遺伝子の名称を意味する。TCIDは、Affymetrix Human Exon 10STアレイにおいて使用された遺伝子の転写物クラスターIDを意味する。P値は、MTC試料と非MTC試料との間の差別的な発現の統計的有意性を示す。変化倍率は、MTC試料と非MTC試料との間の差別的な発現の程度を示す。「新たに発見されたマーカー」と表示された列は、悪性甲状腺組織と良性甲状腺組織とで差次的に発現されることが以前に記載されていない遺伝子発現マーカーを意味する。

10

20

30

40

50

【図11】再現性に基づくメタ分析分類アルゴリズムにより判定された、良性試料と悪性試料との間で発現の有意な差を示す、図7および8にリスト化された試料の発現分析から同定された遺伝子をリスト化する表である。

【図12】差次的に発現される遺伝子のベイズランク付け (Bayesian ranking) により判定される、良性試料と悪性試料との間で発現の有意な差 (事後確率 > .9) を示す、図7および8にリスト化された試料の発現分析から同定された遺伝子をリスト化する表である。事前確率を求めるため、以前に発表された研究から第一種および第二種の過誤の率を導出し、差次的な遺伝子発現の事後確率を推定するため、これらの事前確率を、図10にリスト化された試料の発現分析から導出されたデータセットの出力と組み合わせ、次いで、差次的な遺伝子発現の最終事後確率を計算するため、図11にリスト化された試料の発現分析の結果を、推定された事後確率と組み合わせる。次いで、これらの事後確率を、差次的に発現される遺伝子をランク付けるために使用した。

【図13】分類のためLIMMA (マイクロアレイデータのための線形モデル) およびSVM (サポートベクターマシン) を使用したフィーチャー選択により判定された、FA、LCT、NHP、HC、FC、FVPTC、PTC、MTC、またはATCとしてカテゴリー化された試料の間で差次的な発現を示す、図7にリスト化された試料の発現分析から同定された遺伝子をリスト化する表である。

【図14】Agilent Human v2 miRNAマイクロアレイチップを使用してマイクロRNA (miRNA) 発現分析について調査された細針吸引液試料をリスト化する表である。試料は病理学的分析により良性 (B) または悪性 (M) として分類された。良性試料は、さらに、濾胞性腺腫 (FA) または結節性過形成 (NHP) として分類された。悪性試料は、さらに、濾胞癌 (FC)、濾胞型甲状腺乳頭癌 (FVPTC)、甲状腺乳頭癌 (PTC)、または甲状腺髄様癌 (MTC) として分類された。

【図15】Illumina Human v2 miRNAアレイを使用してマイクロRNA (miRNA) 発現分析について調査された細針吸引液試料をリスト化する表である。試料は、病理学的分析により良性 (B)、非診断的、または悪性 (M) として分類された。良性試料は、さらに、良性結節 (BN)、濾胞性新生物 (FN)、(LCT)、または (NHP) として分類された。悪性試料は、さらに、(FVPTC) または (PTC) として分類された。

【図16】良性または悪性としてカテゴリー化された試料の間で差次的な発現を示す、図14にリスト化された試料の分析から同定されたマイクロRNA (miRNA) をリスト化する表である。miRNA列は、miRNAの名称を意味する。CHR列は、miRNAが位置する染色体を意味する。P列は、分析により提供された統計的信頼またはp値を意味する。DE列は、リスト化されたmiRNAが、悪性試料において上方制御されているか (1)、それとも悪性試料において下方制御されているか (-1) を示す。特許列は、これらのmiRNAを記載している特許または出願を意味する。

【図17】良性または悪性としてカテゴリー化された試料の間で差次的な発現を示す、図15にリスト化された試料の分析から同定されたマイクロRNA (miRNA) をリスト化する表である。miRNA列は、miRNAの名称を意味する。プローブID列は、illuminaアレイにおける対応するプローブIDを意味する。CHR列は、miRNAが位置する染色体を意味する。P列は、分析により提供される統計的信頼またはp値を意味する。DE列は、リスト化されたmiRNAが、悪性試料において上方制御されているか (記号なし)、それとも悪性試料において下方制御されているか (マイナス記号) を示す。Rep列は、ハイブリダイゼーションデータの「ホットプローブ」型分析により提供された再現性スコアを意味する。特許列は、これらのmiRNAを記載している特許または出願を意味する。

【図18A】分子プロファイリングが、ルーチンの細胞学的調査の精度を改善するために、どのように使用され得るかを記載するフローチャートである。分子プロファイリングビジネスの別の態様を記載する。

【図18B】分子プロファイリングが、ルーチンの細胞学的調査の精度を改善するために、どのように使用され得るかを記載するフローチャートである。分子プロファイリングビジネスの別の態様を記載する。

10

20

30

40

50

【図19】分子プロファイリングビジネスにより提供されるキットの例示である。

【図20】分子プロファイリング結果レポートの例示である。

【図21】本発明の方法において有用な、分子プロファイリングからの診断結果の表示、保存、検索、もしくは計算；ゲノムもしくは核酸の発現分析からの生データの表示、保存、検索、もしくは計算；または試料情報もしくはカスタマー情報の表示、保存、検索、もしくは計算のために有用なコンピュータを示す。

【図22】SVMに基づく分類アルゴリズムを使用した遺伝子数に対する過誤率の滴定曲線を示す。滴定曲線は、分類アルゴリズムが200~250個の遺伝子を調査する時にプラトーに達する。これらのデータは、本アルゴリズムの全体過誤率が4% (5/138)であったことを示す。

【発明を実施するための形態】

【0012】

発明の詳細な説明

1. 序論

本開示は、生物学的試験試料から異常な細胞増殖を診断するための新規の方法、ならびに関連するキットおよび組成物を提供する。本発明は、濾胞癌 (FC)、濾胞型甲状腺乳頭癌 (FVPTC)、ハースル細胞癌 (HC)、ハースル細胞腺腫 (HA)；甲状腺乳頭癌 (PTC)、甲状腺髄様癌 (MTC)、および未分化癌 (ATC) を含む癌；濾胞性腺腫 (FA) を含む腺腫；結節性過形成 (NHP)；コロイド結節 (CN)；良性結節 (BN)；濾胞性新生物 (FN)；リンパ性自己免疫性甲状腺炎を含むリンパ性甲状腺炎 (LCT)；副甲状腺組織；腎癌の甲状腺への転移；黒色腫の甲状腺への転移；B細胞リンパ腫の甲状腺への転移；乳癌の甲状腺への転移；良性 (B) 腫瘍、悪性 (M) 腫瘍、および正常 (N) 組織のような、異常な細胞増殖の型の鑑別診断のための方法および組成物も提供する。本発明は、細胞増殖の診断、特徴決定、および処置のために有用な、マイクロRNA (miRNA) および遺伝子発現産物マーカーを含む新規のマーカー、ならびに遺伝子およびマーカーの新規の群をさらに提供する。さらに、本発明は、細胞増殖の増強された診断、鑑別診断、モニタリング、および処置を提供するビジネス方法を提供する。

【0013】

癌は、米国における主要な死因である。この疾患の効果的な管理のためには、癌の早期かつ正確な診断が重大である。従って、より正確かつより早期の癌診断を可能にするための試験モダリティおよび商慣習を開発することは、重要である。分子プロファイリングとも呼ばれる発現産物プロファイリングは、生物学的試料からの、腫瘍またはその他の型の癌の早期かつ正確な診断のための強力な方法を提供する。

【0014】

典型的には、腫瘍またはその他の型の癌の存在についてのスクリーニングは、例えば、生検のような様々な方法により採取された生物学的試料を分析することを含む。次いで、生物学的試料は、当業者により調製され調査される。調製の方法には、様々な細胞学的染色および免疫組織化学的方法が含まれ得るが、これらに限定されない。残念ながら、癌診断の伝統的な方法は、多数の欠陥を有する。これらの欠陥には、以下のことが含まれる：(1) 診断は、主観的な査定を必要とし、従って、不正確さおよび再現性欠如の傾向を有することがあること、(2) 方法は、結果として生じた病理発生の基礎をなす遺伝学的経路、代謝経路、またはシグナル伝達経路を確定し得ないことがあること、(3) 方法は、試験結果の定量的な査定を提供しないことがあること、かつ(4) 方法は、ある種の試料について明確な診断を提供し得ないことがあること。

【0015】

癌の1つの顕著な特徴は、遺伝子またはmiRNAのようなその他のRNA転写物の異常な発現をもたらす、正常な転写制御の調節不全である。異常に発現される転写物としては、細胞形質転換に関与する遺伝子、例えば、腫瘍抑制因子および癌遺伝子がある。腫瘍抑制遺伝子および癌遺伝子は、正常組織と比較して、腫瘍において上方制御または下方制御される場合がある。公知の腫瘍抑制因子および癌遺伝子には、brca1、brca2、bcr-abl、bcl-2、

10

20

30

40

50

HER2、N-myc、C-myc、BRAF、RET、Ras、KIT、Jun、Fos、およびp53が含まれるが、これらに限定されない。この異常発現は、多様な異なる機序を通して起こり得る。異常発現の機序、または発癌が起こる機序を理解することは、本発明において必要ではない。にも関わらず、試料において、正常試料と比較して、発現が上方制御されているかまたは下方制御されているマーカーまたはマーカーのセットを見出すことは、癌を示すことができる。さらに、特定の異常に発現されるマーカーまたはマーカーのセットは、癌の特定の型を示すことができ、または推奨される処置プロトコルすら示すことができる。さらに、本発明の方法は、正統的に定義された腫瘍抑制因子または癌遺伝子にのみ限定されるものではない。むしろ、発現レベルまたは選択的遺伝子スプライシングに関して、良性診断、悪性診断、または正常診断と統計的に有意な相関を有することが判定された任意のマーカー、遺伝子、または遺伝子もしくはマーカーのセットが、本発明に包含されることが理解される。

10

【0016】

一つの態様において、本発明の方法は、癌診断の現在の方法の精度を改善するためのものである。改善された精度は、複数の遺伝子および/もしくは発現マーカーの測定、高い診断力もしくは統計的有意性でのmiRNA、rRNA、tRNA、およびmRNA遺伝子発現産物のような遺伝子発現産物の同定、または高い診断力もしくは統計的有意性での遺伝子および/もしくは発現産物の群の同定、またはそれらの任意の組み合わせに起因し得る。

【0017】

例えば、多数の受容体チロシンキナーゼの発現の増加が、発癌に関連付けられている。癌細胞において差次的に発現されることが公知の特定の受容体チロシンキナーゼの遺伝子発現産物レベルの測定は、低い正確度をもたらす不正確な診断結果を提供することがある。複数の受容体チロシンキナーゼの測定は、代替的な発現された遺伝子の組み合わせが起こることを必要とすることにより、正確度を増加させることができる。従って、いくつかの場合において、複数の遺伝子の測定は、試料がランダムな確率で異常な遺伝子発現プロファイルを示す可能性を低下させることにより、診断の精度を増加させることができる。

20

【0018】

同様に、受容体チロシンキナーゼのような群の中のいくつかの遺伝子発現産物は、発現レベルが正常より高いかまたは低い場合、疾患または状態を示すことができる。その同一群の中の他の遺伝子産物の発現レベルの測定は、診断的な利用可能性を提供する場合がある。従って、一つの態様において、本発明は、ある群の中の2つまたはそれ以上の遺伝子発現産物を測定する。例えば、いくつかの態様において、1個、2個、3個、4個、5個、6個、7個、8個、9個、10個、15個、20個、25個、30個、35個、40個、45個、または50個の遺伝子発現産物が、ある群から測定される。甲状腺癌の亜型の診断のために有用な群、または特定のオンコロジー群に属する遺伝子発現産物の群のような、様々な群が、本明細書において定義される。別の態様において、複数の群からの、癌の存在または欠如を正確に示す遺伝子のセットの発現レベルを測定することが、有利であると考えられる。例えば、本発明は、1個、2個、3個、4個、5個、6個、7個、8個、9個、10個、15個、20個、25個、30個、35個、40個、45個、または50個の遺伝子発現群を使用し、各々、1個、2個、3個、4個、5個、6個、7個、8個、9個、10個、15個、20個、25個、30個、35個、40個、45個、または50個の遺伝子発現産物を測定することを企図する。

30

40

【0019】

さらに、生物学的試料における、例えば、Rasのようなその他の癌遺伝子の発現の増加も、癌性細胞の存在を示すことができる。いくつかの場合において、例えば、受容体チロシンキナーゼ、細胞質チロシンキナーゼ、GTPase、セリン/トレオニンキナーゼ、脂質キナーゼ、マイトジェン、増殖因子、および転写因子のような、癌遺伝子のいくつかの異なるクラスの発現レベルを測定することが有利であり得る。癌進行に参与している遺伝子の異なるクラスまたは群の発現レベルおよび/もしくはエキソン使用の決定は、いくつかの場合において、本発明の診断力を増加させる。

【0020】

発現マーカーの群には、代謝経路内もしくはシグナル伝達経路内のマーカー、または遺

50

伝学的にもしくは機能的に相同なマーカーが含まれ得る。例えば、一つのマーカー群には、上皮増殖因子シグナル伝達経路に關与する遺伝子が含まれ得る。別のマーカー群には、ミトジェン活性化プロテインキナーゼが含まれ得る。本発明は、複数のかつ/または独立した代謝経路またはシグナル伝達経路からの遺伝子発現マーカーを検出（即ち、測定）、測定するための方法および組成物も提供する。

【0021】

一つの態様において、本発明の発現産物マーカーは、複数の発現産物マーカーおよび統計分析の使用を通して、癌診断の精度を増加させ得る。特に、本発明は、甲状腺癌に關連したRNA発現プロファイルを提供するが、これに限定されない。本発明は、甲状腺組織試料を特徴決定する方法、ならびに該方法の適用のために有用なキットおよび組成物も提供する。開示は、分子プロファイリングビジネスを実行する方法をさらに含む。

10

【0022】

本開示は、癌を診断するための現在の最先端技術を改善するための方法および組成物を提供する。

【0023】

いくつかの態様において、本発明は、以下の工程を含む、癌を診断する方法を提供する：遺伝子発現産物を含む生物学的試料を得る工程；該生物学的試料の一つまたは複数の遺伝子発現産物について発現レベルを測定する工程；および、該遺伝子発現レベルが、該生物学的試料における甲状腺癌の存在を示す場合、該生物学的試料を癌性として同定する工程。これは、遺伝子発現レベルを、生物学的試料における甲状腺癌の存在と相關させることにより、なされ得る。一つの態様において、遺伝子発現産物は図6から選択される。いくつかの態様において、該方法は、一つまたは複数の遺伝子発現産物の発現レベルを、対照試料における各遺伝子発現産物についての対照発現レベルと比較する工程であって、該生物学的試料における該遺伝子発現産物と該対照試料における遺伝子発現産物との間に、遺伝子発現レベルの差が存在する場合、該生物学的試料が癌性として同定される工程をさらに含む。

20

【0024】

いくつかの態様において、本発明は、以下の工程を含む、癌を診断する方法を提供する：選択的スプライシングを受ける遺伝子発現産物を含む生物学的試料を得る工程；該生物学的試料の一つまたは複数の遺伝子発現産物について発現レベルを測定する工程；および、該遺伝子発現レベルが、生物学的試料における甲状腺癌の存在を示す場合、該生物学的試料を癌性として同定する工程。これは、遺伝子発現レベルを生物学的試料における甲状腺癌の存在と相關させることによりなされ得る。一つの態様において、選択的スプライシングを受ける遺伝子発現産物は図6から選択され、差次的な遺伝子発現産物選択的エキソン使用が、生物学的試料と対照試料との間で比較され；指定された信頼水準で、生物学的試料と対照試料との間に遺伝子発現産物選択的エキソン使用の差が存在する場合、生物学的試料は癌性として同定される。いくつかの態様において、図6から選択される遺伝子は、図2、図3、図4、または図5にリスト化された遺伝子からさらに選択される。

30

【0025】

いくつかの態様において、本発明は、遺伝子発現産物レベルが、生物学的試料と対照試料との間で比較され；指定された信頼水準で、生物学的試料と対照試料との間に遺伝子発現レベルの差が存在する場合、生物学的試料が癌性として同定される、本明細書に記載された本発明の方法を使用して、70%より高い特異度または感度を与える、癌を診断する方法を提供する。いくつかの態様において、本方法の特異度および/または感度は、少なくとも70%、75%、80%、85%、86%、87%、88%、89%、90%、91%、92%、93%、94%、95%、96%、97%、98%、99%、またはそれ以上である。

40

【0026】

いくつかの態様において、名目上の特異度は70%以上である。名目上の陰性適中率（NPV）は95%以上である。いくつかの態様において、NPVは、少なくとも95%、95.5%、96%、96.5%、97%、97.5%、98%、98.5%、99%、99.5%、またはそれ以上である。

50

【0027】

感度とは、典型的には、式中、TPが真陽性であり、FNが偽陰性である、 $TP/(TP+FN)$ をさす。継続不確定(Continued Indeterminate)結果の数は、判定された組織病理学診断に基づく悪性結果の総数により割られる。特異度とは、典型的には、式中、TNが真陰性であり、FPが偽陽性である、 $TN/(TN+FP)$ をさす。良性結果の数は、判定された組織病理学診断に基づく良性結果の総数により割られる。陽性適中率(PPV)： $TP/(TP+FP)$ ；陰性適中率(NPV)： $TN/(TN+FN)$ 。

【0028】

マーカーパネルは、良性発現プロファイルの非良性発現プロファイルからの妥当な分離に適応するよう選ばれる。この多次元分類器(即ち、アルゴリズム)の訓練は、>300個の甲状腺FNAを含む、500個を超える甲状腺試料に対して実施された。多くの訓練/試験セットが、予備アルゴリズムを開発するために使用された。例示的なデータセットは図22に示される。まず、全体アルゴリズム過誤率が、良性試料対非良性試料について、遺伝子数の関数として示される。全ての結果が、クロスバリデートされたモード(30倍)で試料に対して訓練かつ試験されるサポートベクターマシンモデルを使用して得られる。

10

【0029】

いくつかの態様において、遺伝子発現レベルの差は、少なくとも10%、15%、20%、25%、30%、35%、40%、45%、または50%、またはそれ以上である。いくつかの態様において、遺伝子発現レベルの差は、少なくとも2倍、3倍、4倍、5倍、6倍、7倍、8倍、9倍、10倍、またはそれ以上である。いくつかの態様において、生物学的試料は、75%、80%、85%、90%、95%、99%、またはそれ以上より高い精度で、癌性として同定される。いくつかの態様において、生物学的試料は、95%より高い感度で癌性として同定される。いくつかの態様において、生物学的試料は、95%より高い特異度で癌性として同定される。いくつかの態様において、生物学的試料は、95%より高い感度および95%より高い特異度で癌性として同定される。いくつかの態様において、精度は訓練されたアルゴリズムを使用して計算される。

20

【0030】

いくつかの態様において、本発明は、表3、表4、および/または表5から選択される遺伝子に対応する遺伝子発現産物を提供する。

【0031】

いくつかの態様において、本発明は、以下のシグナル伝達経路のうちの一つまたは複数からの遺伝子発現産物を使用することを含む、癌を診断する方法を提供する。遺伝子が選択され得るシグナル伝達経路には、急性骨髄白血病シグナル伝達、2型ソマトスタチン受容体シグナル伝達、cAMP媒介シグナル伝達、細胞周期およびDNA傷害チェックポイントシグナル伝達、Gタンパク質共役型受容体シグナル伝達、インテグリンシグナル伝達、黒色腫細胞シグナル伝達、リラキシンシグナル伝達、および甲状腺癌シグナル伝達が含まれるが、これらに限定されない。いくつかの態様において、生物学的試料と対照試料との間の差次的な遺伝子発現産物レベルを測定し比較するため、複数の遺伝子が、単一のシグナル伝達経路から選択される。その他のシグナル伝達経路には、接着経路、ECM経路、甲状腺癌経路、接着斑経路、アポトーシス経路、p53経路、密着結合経路、TGF経路、ErbB経路、Wnt経路、癌概要経路(pathway in cancer overview)、細胞周期経路、VEGF経路、Jak/STAT経路、MAPK経路、PPAR経路、mTOR経路、または自己免疫性甲状腺経路が含まれるが、これらに限定されない。他の態様において、生物学的試料と対照試料との間の差次的な遺伝子発現産物レベルを測定し比較するため、少なくとも2つの遺伝子が、少なくとも2つの異なるシグナル伝達経路から選択される。本発明の方法および組成物は、1個、2個、3個、4個、5個、6個、7個、8個、9個、10個、15個、20個、25個、30個、35個、40個、45個、50個、またはそれ以上のシグナル伝達経路から選択される遺伝子を有することができ、各シグナル伝達経路からの1個、2個、3個、4個、5個、6個、7個、8個、9個、10個、15個、20個、25個、30個、35個、40個、45個、50個、またはそれ以上の遺伝子発現産物を任意の組み合わせで有することができる。いくつかの態様において、組み合わせられた遺伝子

30

40

50

のセットは、70%、75%、80%、85%、86%、87%、88%、89%、90%、91%、92%、93%、94%、95%、96%、97%、98%、99%、もしくは99.5%より高い特異度もしくは感度、または少なくとも95%、95.5%、96%、96.5%、97%、97.5%、98%、98.5%、99%、99.5%、もしくはそれ以上の陽性適中率もしくは陰性適中率を与える。

【0032】

いくつかの態様において、本発明は、少なくとも2つの異なるオントロジー群から選択される遺伝子を含む、癌を診断する方法を提供する。いくつかの態様において、遺伝子が選択され得るオントロジー群には、細胞老化、細胞皮質、細胞周期、細胞死/アポトーシス、細胞分化、細胞分裂、細胞間結合、細胞遊走、細胞形態形成、細胞運動、細胞突起、細胞増殖、細胞認識、細胞体、細胞表面、細胞表面結合型受容体シグナル伝達、細胞接着、転写、免疫応答、または炎症が含まれるが、これらに限定されない。いくつかの態様において、生物学的試料と対照試料との間の差次的な遺伝子発現産物レベルを測定し比較するため、複数の遺伝子が、単一のオントロジー群から選択される。他の態様において、生物学的試料と対照試料との間の差次的な遺伝子発現産物レベルを測定し比較するため、少なくとも2つの遺伝子が、少なくとも2つの異なるオントロジー群から選択される。本発明の方法および組成物は、1個、2個、3個、4個、5個、6個、7個、8個、9個、10個、15個、20個、25個、30個、35個、40個、45個、50個、またはそれ以上の遺伝子オントロジー群から選択される遺伝子を有することができ、各遺伝子オントロジー群からの1個、2個、3個、4個、5個、6個、7個、8個、9個、10個、15個、20個、25個、30個、35個、40個、45個、50個、またはそれ以上の遺伝子発現産物を任意の組み合わせで有することができる。いくつかの態様において、組み合わせられた遺伝子のセットは、70%、75%、80%、85%、86%、87%、88%、89%、90%、91%、92%、93%、94%、95%、96%、97%、98%、99%、もしくは99.5%の特異度もしくは感度、または少なくとも95%、95.5%、96%、96.5%、97%、97.5%、98%、98.5%、99%、99.5%、もしくはそれ以上の陽性適中率もしくは陰性適中率を与える。

【0033】

いくつかの態様において、本発明は、以下の工程を含む、癌を分類する方法を提供する：遺伝子発現産物を含む生物学的試料を得る工程；癌の異なる亜型において差次的に発現される、該生物学的試料の一つまたは複数の遺伝子発現産物について、発現レベルを測定する工程；および、該遺伝子発現レベルが癌の亜型を示す場合、該生物学的試料を癌性として同定する工程。いくつかの態様において、該方法は、該一つまたは複数の遺伝子発現産物の該発現レベルを、対照試料における各遺伝子発現産物についての対照発現レベルと比較する工程であって、該生物学的試料における遺伝子発現産物と該対照試料における遺伝子発現産物との間に遺伝子発現レベルの差が存在する場合、該生物学的試料が癌性として同定される工程をさらに含む。いくつかの態様において、本発明の方法は、髄様癌から濾胞癌を区別する。いくつかの態様において、本発明の方法は、悪性甲状腺腫瘍/癌から良性甲状腺疾患を区別する。

【0034】

いくつかの態様において、本発明の方法の遺伝子発現産物はタンパク質であり、タンパク質の量が比較される。タンパク質の量は、以下のうちの一つまたは複数によって測定され得る：ELISA、質量分析、プロットティング、または免疫組織化学的検査。RNAは、以下のうちの一つまたは複数によって測定され得る：マイクロアレイ、SAGE、プロットティング、RT-PCR、または定量的PCR。

【0035】

いくつかの態様において、癌を診断するために使用され得る、生物学的試料と対照試料との間の遺伝子発現レベル、例えば、mRNA、タンパク質、または選択的スプライシングを受ける遺伝子産物の差は、少なくとも1.5倍、2倍、2.5倍、3倍、3.5倍、4倍、4.5倍、5倍、5.5倍、6倍、6.5倍、7倍、7.5倍、8倍、8.5倍、9倍、9.5倍、10倍、またはそれ以上である。

【0036】

いくつかの態様において、生物学的試料は、75%、80%、85%、86%、87%、88%、89%、90%、91%、92%、93%、94%、95%、96%、97%、98%、99%、または99.5%より高い精度で、癌性として分類されるか、または癌の亜型について陽性として分類される。本明細書において使用されるような診断精度には、特異度、感度、陽性適中率、陰性適中率、および/または偽検出率が含まれる。

【0037】

癌の診断のために生物学的試料を分類する場合、典型的には、バイナリーの分類器からの四つの可能性のある結果が存在する。予測からの結果がpであり、実際の値もpである場合には、それは真陽性（TP）と呼ばれる。しかしながら、実際の値がnである場合には、それは偽陽性（FP）であると言われる。反対に、予測結果および実際の値の両方がnである場合には、真陰性が起こっており、偽陰性とは、予測結果はnであるが、実際の値がpである場合である。一つの態様において、ある者がある種の疾患を有するか否かを判定するための診断試験を検討する。この場合の偽陽性は、その者の試験結果が陽性であるが、実際には疾患を有していない場合に起こる。他方、実際には疾患を有しているにも関わらず、その者の試験結果が陰性であって、健康であることが示唆される場合に、偽陰性が起こる。いくつかの態様において、亜型の現実の有病率を仮定するROC曲線が、関連する割合で入手可能な試料において達成された過誤を再抽出することによって生成され得る。

10

【0038】

疾患の陽性適中率（PPV）、または正確度、または検査後確率は、正確に診断される陽性試験結果を有する患者の割合である。それは、陽性試験が、試験されている基礎をなす状態を反映している確率を反映するため、診断法の最も重要な測定値である。しかしながら、その値は、変動し得る疾患の有病率に依る。一例において、FP（偽陽性）；TN（真陰性）；TP（真陽性）；FN（偽陰性）。

20

【0039】

偽陽性率（ ） = $FP / (FP + TN)$ - 特異度

【0040】

偽陰性率（ ） = $FN / (TP + FN)$ -- 感度

【0041】

力 = 感度 = $1 -$

【0042】

陽性尤度比 = 感度 / $(1 - \text{特異度})$

30

【0043】

陰性尤度比 = $(1 - \text{感度}) / \text{特異度}$

【0044】

陰性適中率は、正確に診断される陰性試験結果を有する患者の割合である。PPVおよびNPVの測定値は、適切な疾患亜型有病率推定値を使用して導出され得る。プールされた悪性疾患有病率の推定値は、手術によってBかMかに大まかに分類される不確定のプールから計算され得る。亜型特異的な推定値について、いくつかの態様において、入手可能な試料がないために、疾患有病率が計算不能である場合がある。これらの場合には、プールされた疾患有病率推定値を亜型疾患有病率の代わりに用いることができる。

40

【0045】

いくつかの態様において、発現産物のレベルまたは選択的エキソン使用は、以下のうちの一つを示す：濾胞細胞癌、未分化癌、髄様癌、または肉腫。いくつかの態様において、癌を診断するための本発明の方法を使用して選択された一つまたは複数の遺伝子は、癌を示す代謝経路またはシグナル伝達経路のセットに対応する代表的な配列を含有している。

【0046】

いくつかの態様において、本発明の方法の発現分析の結果は、所定の診断が正確である統計的信頼水準を提供する。いくつかの態様において、そのような統計的信頼水準は、85%、90%、91%、92%、93%、94%、95%、96%、97%、98%、99%、または99.5%を超えている。

50

【0047】

別の局面において、本発明は、図6にリスト化された遺伝子のうちの一つもしくは複数の一部を含むオリゴヌクレオチド、またはそれらの相補体と、オリゴヌクレオチドが共有結合的に付着している基板とを含む、癌を診断するための組成物を提供する。本発明の組成物は、訓練されたアルゴリズムを使用した、指定された信頼水準での癌の診断において使用するのに適している。一例において、本発明の組成物は、甲状腺癌を診断するために使用される。

【0048】

本開示の一つの局面において、細胞学関連企業により加工され、ルーチンの方法および染色に供され、診断され、カテゴリー化された試料は、次いで、二次診断スクリーニングとしての分子プロファイリングに供される。この二次診断スクリーニングは、(1)偽陽性および偽陰性の有意な低下、(2)結果として生じる病態の基礎をなす遺伝学的経路、代謝経路、またはシグナル伝達経路の確定、(3)診断の精度に統計的確率を割り当てる能力、(4)不明確な結果を分解する能力、および(5)癌の亜型を区別する能力を可能にする。

10

【0049】

例えば、甲状腺癌の特定の場合において、本発明の分子プロファイリングは、さらに、特定の型の甲状腺癌(例えば、乳頭癌、濾胞癌、髄様癌、または未分化癌)の診断を提供することができる。分子プロファイリングの結果は、さらに、科学者または医療従事者のような当業者が、特定の治療的介入を提案するかまたは処方することを可能にし得る。生物学的試料の分子プロファイリングは、初期診断後に特定の処置の効力をモニタリングするためにも使用され得る。いくつかの場合において、分子プロファイリングは、確立されている癌診断法に加えて、ではなく、確立されている癌診断法の代わりに使用され得ることがさらに理解される。

20

【0050】

一つの局面において、本発明は、遺伝性障害の診断およびモニタリングのために使用され得るアルゴリズムおよび方法を提供する。遺伝性障害は、遺伝子または染色体の異常により引き起こされる疾病である。癌のようないくつかの疾患は、一部、遺伝性障害によるが、環境因子によっても引き起こされ得る。いくつかの態様において、本明細書に開示されたアルゴリズムおよび方法は、甲状腺癌のような癌の診断およびモニタリングのために使用される。

30

【0051】

遺伝性障害は、典型的には、単一遺伝子障害および多因子性多遺伝子性(複合)障害という2つのカテゴリーへ類別され得る。単一遺伝子障害は、単一の変異型遺伝子の結果である。単一遺伝子の欠陥により引き起こされるヒト疾患は、4000種を超えると推定されている。単一遺伝子障害は、いくつかの方式で、後の世代に引き継がれ得る。常染色体優性遺伝、常染色体劣性遺伝、X連鎖優性遺伝、X連鎖劣性遺伝、Y連鎖遺伝、およびミトコンドリア遺伝を含むが、これらに限定されない、いくつかの型の単一遺伝子障害の遺伝が存在する。ある者が常染色体優性障害により影響を受けるためには、遺伝子の一つの変異型コピーのみが必要であると考えられる。常染色体優性型の障害の例には、ハンチントン病、神経繊維腫症1型、マルファン症候群、遺伝性非ポリポーシス結腸直腸癌、および遺伝性多発性外骨腫が含まれるが、これらに限定されない。常染色体劣性障害においては、ある者が常染色体劣性障害により影響を受けるためには、遺伝子の2つのコピーが変異型でなければならない。この型の障害の例には、嚢胞性繊維症、鎌型赤血球症(部分鎌型赤血球症も)、テイ・サックス病、ニーマン・ピック病、脊髄筋萎縮症、および乾性耳垢が含まれるが、これらに限定されない。X連鎖優性障害は、X染色体上の遺伝子の変異により引き起こされる。ほんの少数の障害が、この遺伝パターンを有し、主要な例は、X連鎖低リン血症性くる病である。男女共にこれらの障害において影響を受けるが、典型的には男性の方が女性より重度に影響を受ける。レット症候群、色素失調症2型、およびアイカルディ症候群のようないくつかのX連鎖優性状態は、通常、子宮内または出生直後の男性にお

40

50

いて致命的であり、従って、主として女性に見られる。X連鎖劣性障害も、X染色体上の遺伝子の変異により引き起こされる。この型の障害の例には、血友病A、デュシェンヌ型筋ジストロフィー、赤緑色盲、筋ジストロフィー、および男性型脱毛症が含まれるが、これらに限定されない。Y連鎖障害は、Y染色体上の変異により引き起こされる。例には、男性不妊および耳介多毛症（hypertrichosis pinnae）が含まれるが、これらに限定されない。母性遺伝としても公知のミトコンドリア遺伝は、ミトコンドリアDNA内の遺伝子に当てはまる。この型の障害の一例は、レーバー遺伝性視神経萎縮症である。

【0052】

遺伝性障害は、複合型、多因子性、または多遺伝子性でもあり得る。これは、それらが、生活様式および環境因子と組み合わせられた複数の遺伝子の効果に関連している可能性が高いことを意味する。複合型障害は、しばしば家族内に多発するが、明確な遺伝パターンを有していない。そのため、ある者が、これらの障害を遺伝するかまたは伝達するリスクを確定することは困難である。これらの障害の大部分を引き起こす特定の因子がまだ同定されていないため、複合型障害は、研究し処置するのも困難である。本発明のアルゴリズムおよび方法を使用して診断され、特徴決定され、かつ/またはモニタリングされ得る多因子性または多遺伝子性の障害には、心疾患、糖尿病、喘息、自閉症、多発性硬化症のような自己免疫疾患、癌、繊毛関連疾患、口蓋裂、高血圧、炎症性腸疾患、精神遅滞、および肥満が含まれるが、これらに限定されない。

【0053】

本発明のアルゴリズムおよび方法を使用して診断され、特徴決定され、かつ/またはモニタリングされ得るその他の遺伝性障害には、1p36欠失症候群、21水酸化酵素欠損症、22q11.2欠失症候群、47,XXX症候群、48,XXXX、49,XXXXX、無セルロプラスミン血症、軟骨無発生症II型、軟骨無形成症、急性間欠性ポルフィリン症、アデニロコハク酸リアーゼ欠損症、副腎白質ジストロフィー、ALA欠損性ポルフィリン症、ALAデヒドラターゼ欠損症、アレキサンダー病、アルカプトン尿症、-1アンチトリプシン欠損症、アルストレーム症候群、アルツハイマー病（1型、2型、3型、および4型）、エナメル質形成不全、筋萎縮性側索硬化症、筋萎縮性側索硬化症2型、筋萎縮性側索硬化症4型、筋萎縮性側索硬化症4型、アンドロゲン不応症、貧血、アンジェルマン症候群、アペール症候群、毛細血管拡張性運動失調、ベアレ・スティーブンソン脳回状頭皮（Beare-Stevenson cutis gyrata）症候群、ベンジャミン症候群、サラセミア、ピオチニダーゼ欠損症、パート・ホッグ・デュベ症候群、膀胱癌、ブルーム症候群、骨疾患、乳癌、CADASIL、彎曲肢異形成症、カナバン病、癌、セリアック病、CGD慢性肉芽腫性障害、シャルコー・マリー・トゥース病、シャルコー・マリー・トゥース病1型、シャルコー・マリー・トゥース病4型、シャルコー・マリー・トゥース病2型、シャルコー・マリー・トゥース病4型、コケーン症候群、コフィン・ローリー症候群、コラゲノパシー（collagenopathy）II型およびXI型、結腸直腸癌、先天性精管欠損症、先天性両側精管欠損症、先天性糖尿病、先天性赤血球生成性ポルフィリン症、先天性心疾患、先天性甲状腺機能低下症、結合組織病、カウデン症候群、猫泣き、クローン病、線維性狭窄（fibrostenosing）、クルーゾン症候群、クルーゾン皮膚骨格（Crouzonodermoskeletal）症候群、嚢胞性繊維症、ド・グルーシー（De Grouchy）症候群、神経変性疾患、デント病、発達障害、ディジョージ症候群、遠位型脊髄性筋萎縮症V型、ダウン症候群、低身長症、エーラース・ダンロス症候群、エーラース・ダンロス症候群関節弛緩型、エーラース・ダンロス症候群古典型、エーラース・ダンロス症候群皮膚弛緩型、エーラース・ダンロス症候群後側彎型、血管型、骨髄性プロトポルフィリン症、ファブリー病、顔面損傷および顔面障害、第V因子ライデン栓友病、家族性大腸ポリポーシス、家族性自律神経異常症、ファンコニー貧血、FG症候群、脆弱X症候群、フリードライヒ運動失調症（Friedreich ataxia）、フリードライヒ運動失調症（Friedreich's ataxia）、G6PD欠損症、ガラクトース血症、ゴーシェ病（1型、2型、および3型）、遺伝性脳障害、グリシン脳症、ヘモクロマトーシス2型、ヘモクロマトーシス4型、道化師様魚鱗癬、頭部および脳の奇形、聴覚障害および聴覚消失、小児聴覚障害、ヘモクロマトーシス（新生児、2型、および3型）、血友病、骨髄肝性ポルフィリン症、遺伝性コプロポルフィリン

10

20

30

40

50

症、遺伝性多発性外骨腫症、遺伝性圧脆弱性ニューロパチー、遺伝性非ポリポーシス結腸直腸癌、ホモシスチン尿症、ハンチントン病、ハッチンソン・ギルフォード・プロジェリア症候群、原発性高シュウ酸尿症、高フェニルアラニン血症、軟骨低発生症、軟骨低形成症、idic15、色素失調症、乳児ゴーシェ病、乳児発症上行性遺伝性痙性麻痺、不妊症、ジャクソン・ワイズ症候群、ジュベール症候群、若年型原発性側索硬化症、ケネディ病、クラインフェルター症候群、クニースト骨異形成症、クラッペ病、学習障害、レッシュ・ナイハン症候群、白質ジストロフィー、リー・フラウメニ症候群、家族性リポタンパク質リパーゼ欠損症、男性生殖器障害、マルファン症候群、マクキューン・オールブライト症候群、マクロード症候群、家族性地中海熱、MEDNIK、メンケス病、メンケス症候群、代謝障害、グロビン型メトヘモグロビン血症、先天性メトヘモグロビン血症、メチルマロン酸血症、ミクロ(Micro)症候群、小頭症、運動障害、モワット・ウィルソン症候群、ムコ多糖症(MPS I)、ムンケ(Muenke)症候群、筋ジストロフィー、デュシェンヌ型筋ジストロフィーおよびベッカー型筋ジストロフィー、デュシェンヌ型筋ジストロフィーおよびベッカー型筋ジストロフィー、筋緊張性ジストロフィー、筋緊張性ジストロフィー1型および2型、新生児ヘモクロマトーシス、神経線維腫症、神経線維腫症1型、神経線維腫症2型、神経線維腫症I型、神経線維腫症II型、神経疾患、神経筋障害、ニーマン・ピック病、非ケトーシス型高グリシン血症、非症候性難聴、常染色体劣性非症候性難聴、ヌーナン症候群、骨形成不全症(I型およびIII型)、耳脊椎巨大骨端異形成症、パントテン酸キナーゼ関連神経変性症、パトー症候群(13番染色体トリソミー)、ペンドレッド症候群、ポイツ・ジェガス症候群、プファイファー症候群、フェニルケトン尿症、ポルフィリン症、晩発性皮膚ポルフィリン症、プラダー・ウィリ症候群、原発性肺高血圧症、プリオン病、早老症、プロピオン酸血症、プロテインC欠損症、プロテインS欠損症、偽性ゴーシェ(pseudo-Gaucher)病、弾力線維性仮性黄色腫、網膜障害、網膜芽細胞腫、網膜芽腫、FA-フリートライヒ運動失調症、レット症候群、ルビンシュタイン・テイビ症候群、SADDAN、サンドホフ病、感覚性自律神経性ニューロパチーIII型、鎌状赤血球貧血、骨格筋再生、皮膚色素異常症、スミス・レムリ・オピッツ症候群、発話障害およびコミュニケーション障害、脊髄性筋萎縮症、球脊髄性筋萎縮症、脊髄小脳変性症、ストラドウィック型脊椎骨端骨幹端異形成、先天性脊椎骨端骨幹端異形成、スティックラー症候群、スティックラー症候群COL2A1、テイ・サックス病、テトラヒドロピオプテリン欠損症、致死性骨異形成、糖尿病および感音難聴を伴うチアミン反応性巨赤芽球性貧血、甲状腺疾患、トゥレット症候群、トリーチャー・コリンズ症候群、トリプルX症候群、結節性硬化症、ターナー症候群、アッシャー症候群、異型ポルフィリン症、フォンヒッペル・リングウ病、ワールデンブルグ症候群、ワイセンバッハー・ツウェイミュラー(Weissenbacher-Zweymüller)症候群、ウィルソン病、ウォルフ・ヒルシュホーン症候群、色素性乾皮症、X連鎖重症複合免疫不全、X連鎖鉄芽球性貧血、ならびにX連鎖球脊髄性筋萎縮症が含まれるが、これらに限定されない。

10

20

30

40

50

【0054】

一つの態様において、本発明の方法およびアルゴリズムは、甲状腺癌を診断し、特徴決定し、かつモニタリングするために使用される。本発明のアルゴリズムおよび方法を使用して診断され、特徴決定され、かつ/またはモニタリングされ得るその他の型の癌には、副腎皮質癌、肛門癌、再生不良性貧血、胆管癌、膀胱癌、骨癌、骨転移、中枢神経系(CNS)癌、末梢神経系(PNS)癌、乳癌、キャスルマン病、子宮頸癌、小児非ホジキンリンパ腫、結腸直腸癌、子宮内膜癌、食道癌、ユーイング肉腫ファミリー腫瘍(Ewing's family of tumors)(例えば、ユーイング肉腫)、眼癌、胆嚢癌、胃腸カルチノイド腫瘍、胃腸間質腫瘍、妊娠性トロホプラスト疾患、ヘアリーセル白血病、ホジキン病、カボジ肉腫、腎臓癌、喉頭および下咽頭癌、急性リンパ性白血病、急性骨髄性白血病、小児白血病、慢性リンパ性白血病、慢性骨髄性白血病、肝臓癌、肺癌、肺カルチノイド腫瘍、非ホジキンリンパ腫、男性乳癌、悪性中皮腫、多発性骨髄腫、骨髄異形成症候群、骨髄増殖性疾患、鼻腔および副鼻腔癌、鼻咽癌、神経芽腫、口腔および中咽頭癌、骨肉腫、卵巣癌、膵臓癌、陰茎癌、下垂体腫瘍、前立腺癌、網膜芽細胞腫、横紋筋肉腫、唾液腺癌、肉腫(成

人軟部組織癌)、黒色腫皮膚癌、非黒色腫皮膚癌、胃癌、精巣癌、胸腺癌、子宮癌(例えば、子宮肉腫)、腔癌、外陰癌、およびワルデンシュトレームマクログロブリン血症が含まれるが、これらに限定されない。

【0055】

いくつかの態様において、本発明の遺伝子発現産物マーカーは、低い量および品質の複数の遺伝子発現産物マーカーの使用、ならびに本発明のアルゴリズムを使用した統計分析を通して、遺伝性障害または癌の診断の精度を増加させ得る。特に、本発明は、甲状腺癌に関連した遺伝子発現プロファイルを診断し、特徴決定し、かつ分類する方法を提供するが、これに限定されない。本発明は、甲状腺組織試料を特徴決定し分類するためのアルゴリズム、ならびに該方法の適用のために有用なキットおよび組成物も提供する。本開示は、分子プロファイリングビジネスを実行する方法をさらに含む。

10

【0056】

本発明の一つの態様において、マーカーおよび遺伝子は、甲状腺良性試料と比較して、甲状腺癌試料において差次的な発現を有すると同定され得る。良性病態を有する例示的な例には、濾胞性腺腫、ハースル細胞腺腫、リンパ性甲状腺炎、および結節性過形成が含まれる。悪性病態を有する例示的な例には、濾胞癌、濾胞型甲状腺乳頭癌、髄様癌、および甲状腺乳頭癌が含まれる。

【0057】

生物学的試料を、DNAまたはRNAのような核酸を抽出するために処理することができる。核酸を、ハイブリダイゼーションを可能にする条件の下で、本発明のプロープのアレイと接触させることができる。ハイブリダイゼーションの程度は、当技術分野において公知の多数の方法を使用して、定量的にアッセイされ得る。いくつかの場合において、あるプロープ位置におけるハイブリダイゼーションの程度は、アッセイ法により提供されるシグナルの強度に関連し、従って、試料中に存在する相補的な核酸配列の量と関連している可能性がある。発現された遺伝子、エキソン、イントロン、およびmiRNAを含むヒトゲノムまたはトランスクリプトームの全体で、プロープからのアレイ強度データを抽出し、ノーマライズし、サマライズし、分析するためには、ソフトウェアを使用することができる。いくつかの態様において、差次的な発現が試料中で起こっているか否かを判定するため、良性または悪性いずれかの試料における所定のプロープの強度を、参照セットと比較してもよい。発現された配列に対応するアレイ上のマーカー位置における相対強度の増加または減少は、対応する発現された配列の発現の増加または減少をそれぞれ示す。あるいは、相対強度の減少は、発現された配列の変異を示す場合がある。

20

30

【0058】

各試料についてもたらされた強度値は、データの固有の特性を見ることによりフィーチャーの関連を査定するフィルター技術、フィーチャーサブセット検索にモデル仮説を埋め込むラッパー(wrapper)法、および最適のフィーチャーセットについての検索が分類アルゴリズムへと組み立てられる組み込み(embedded)技術を含む、フィーチャー選択技術を使用して分析され得る。

【0059】

本発明の方法において有用なフィルター技術には、(1)二標本t検定、ANOVA分析、ベイズフレームワーク、および分布モデルの使用のようなパラメトリック法、(2)ウィスコクソンの順位和検定、級間・級内平方和検定(between-within class sum of square s tests)、順位積(rank products)法、ランダム順列(random permutation)法、または2つのデータセット間の発現の変化倍率について閾値を設計し、次いで、誤分類の数を最小化する各遺伝子における閾値を検出することを含むTNoMの使用のようなモデルフリーの方法、ならびに(3)二変量法、相関に基づくフィーチャー選択(correlation based feature selection)法(CFS)、最小重複性最大関連性(minimum redundancy maximum relevance)法(MRMR)、マルコフブランケット(Markov blanket)フィルター法、および非相関収縮重心(uncorrelated shrunken centroid)法のような多変量法が含まれる。本発明の方法において有用なラッパー法には、逐次検索(sequential search)法、遺伝的

40

50

アルゴリズム、および分布推定 (estimation of distribution) アルゴリズムが含まれる。本発明の方法において有用な組み込み法には、ランダムフォレスト (random forest) アルゴリズム、サポートベクターマシン重みベクター (weight vector of support vector machine) アルゴリズム、およびロジスティック回帰重み (weights of logistic regression) アルゴリズムが含まれる。Bioinformatics. 2007 Oct 1; 23(19):2507-17は、強度データの分析のための前掲のフィルター技術の相対的な長所の概要を提供している。

【 0 0 6 0 】

次いで、選択されたフィーチャーは、分類アルゴリズムを使用して分類され得る。例示的なアルゴリズムには、主成分分析アルゴリズム、部分最小二乗法、および独立成分分析アルゴリズムのような変数の数を低下させる方法が含まれるが、これらに限定されない。例示的なアルゴリズムには、統計的方法および機械学習技術に基づく方法のような多数の変数を直接扱う方法が含まれるが、これらに限定されない。統計的方法には、罰則付き (penalized) ロジスティック回帰、マイクロアレイ予測分析 (prediction analysis of microarrays) (PAM)、収縮重心に基づく方法、サポートベクターマシン分析、および正則化線形判別分析 (regularized linear discriminant analysis) が含まれる。機械学習技術には、バギング (bagging) 法、ブースティング (boosting) 法、ランダムフォレストアルゴリズム、およびそれらの組み合わせが含まれる。Cancer Inform. 2008; 6: 77-97 は、マイクロアレイ強度データの分析のための前掲の分類技術の概要を提供している。

【 0 0 6 1 】

本発明のマーカーおよび遺伝子は、細胞または組織の癌性状態または非癌性状態を特徴決定するために使用され得る。本発明は、対象の甲状腺試料における、図2~6、9~13、16、または17にリスト化されたマーカーまたは遺伝子の差次的な発現を測定する工程を含む、悪性の組織または細胞から良性の組織または細胞を診断する方法を含む。本発明は、対象の甲状腺試料における、図10にリスト化されたマーカーまたは遺伝子の差次的な発現を測定することを含む、甲状腺髄様癌を診断する方法も含む。本発明は、対象の甲状腺試料における、図13にリスト化されたマーカーまたは遺伝子の差次的な発現を測定する工程を含む、甲状腺病態の垂型を診断する方法も含む。本発明は、対象の甲状腺試料における、図16または17にリスト化されたmiRNAであるmiRNAの差次的な発現を測定する工程を含む、悪性の組織または細胞から良性の組織または細胞を診断する方法も含む。

【 0 0 6 2 】

上記に従い、本明細書に開示されるような遺伝子、マーカー、miRNA、またはそれらの組み合わせの差次的な発現は、この目的のためのプローブを開発するため、ノーザンブロッティングを使用し、本明細書において同定されるような配列を用いて、測定され得る。そのようなプローブは、DNAまたはRNAまたは合成ヌクレオチドまたはそれらの組み合わせから構成され得、有利には、図2~6、9~13、16、または17に同定されるような配列に一致するかまたは相補的であるヌクレオチド残基の連続ストレッチから構成され得る。そのようなプローブは、最も有用には、図2~6、9~13、16、または17に同定されるような配列のうちの一つまたは複数からの15、16、17、18、19、20、21、22、23、24、25、26、27、28、29、30、31、32、33、34、35、36、37、38、39、40、41、42、43、44、45、46、47、48、49、50、51、52、53、54、55、56、57、58、59、60、61、62、63、64、65、66、67、68、69、70、71、72、73、74、75、80、85、90、95、100、110、120、130、140、150、160、175、または200ヌクレオチド、またはそれ以上を含む、少なくとも15~200残基またはそれ以上の連続ストレッチを含むと考えられる。従って、単一のプローブが、癌性であるか、癌性であると推測されるか、または癌性化する素因を有する細胞の試料のトランスクリプトームに複数回結合し、同一の器官または組織の非癌性細胞のゲノムに由来する類似した量のトランスクリプトームへの同プローブの結合が、観察可能に多いかまたは少ない結合をもたらす場合、これは、配列決定されたプローブが由来する、図2~6、9~13、16、または17に同定される配列を含むかまたはそれらに対応する遺伝子、複数の遺伝子、マーカー、またはmiRNAの差次的な発現を示す。

【 0 0 6 3 】

10

20

30

40

50

一つのそのような態様において、同一の器官の正常な細胞および/または組織と比較して上昇した発現は、対応するcDNAの作製等により、RNAの転写の相対速度を測定し、次いで、図2~6、9~13、16、または17に同定されるような遺伝子配列から開発されたプローブを使用して、もたらされたDNAを分析することにより測定される。従って、癌性であると推測される細胞の完全RNA相補体と共に逆転写酵素を使用することにより作製されたcDNAのレベルは、対応する量のcDNAを作製し、次いで、それが、もたらされたcDNAの相対レベルを測定し、それにより、遺伝子発現の相対レベルを測定するため、ポリメラーゼ連鎖反応、または線形増幅、等温増幅、NASB、もしくはローリングサークル増幅のようなその他の何らかの手段を使用して増幅され得る。

【0064】

発現の増加は、本明細書に開示された遺伝子の発現産物に選択的に結合し、それにより、その存在を検出する薬剤を使用して判定されてもよい。例えば、抗体、おそらくは、蛍光標識または放射標識に結合している抗体のような、適切に標識された抗体を、図2~6および9~13に同定されるような配列を含むポリペプチドのうちの一つに対して生成することができ、該抗体は、次いで、本明細書に開示された配列に対応する遺伝子のうちの一つによりコードされたポリペプチドに、選択的にまたは特異的に結合して、反応すると考えられる。次いで、そのような抗体の結合、特に、他の非癌性の細胞および組織に対立するものとしての癌性と推測される細胞および組織に由来する試料におけるそのような結合の相対的な程度が、本明細書に同定された癌関連遺伝子の発現または過剰発現の程度の測定値として使用され得る。従って、癌性の細胞および組織において過剰発現されるとして本明細書に同定された遺伝子は、コピー数の増加によりまたは過剰転写により、過剰発現される場合がある。例えば、過剰発現は、遺伝子を活性化し、RNAポリメラーゼの反復結合をもたらし転写因子が過剰産生され、それにより、正常より多い量のRNA転写物が生成され、それが、続いて、図2~6および9~13に同定されるようなアミノ酸配列を含むポリペプチドのようなポリペプチドへと翻訳されることによる。そのような分析は、本発明によって同定された遺伝子の発現を確認し、それにより、試験される患者に由来する試料における癌性状態の存在、該患者における後に癌を発症する素因の存在を判定する付加的な手段を提供する。

【0065】

本発明の方法の使用において、癌性状態を示す遺伝子またはマーカーの発現は、癌性であることが見出された全ての細胞の特徴である必要はないことが、心に留めておかれるべきである。従って、本明細書に開示された方法は、一部の細胞が完璧な過剰発現のパターンを示す組織において、癌性状態の存在を検出するために有用である。例えば、図2~6、9~13、16、または17に同定されるような配列のうち少なくとも一つとストリンジェントな条件の下で相同であるか、または少なくとも90%、好ましくは95%同一である配列を含む選択された遺伝子またはマーカーのセットが、腫瘍試料または悪性組織の試料に由来する細胞の60%程度の少ない細胞に存在し、対応する非癌性組織または正常組織に由来する細胞の60%程度の多くの細胞には存在しない（従って、そのような正常組織細胞の40%程度の多くの細胞に存在する）ことが、適切なDNAプローブまたはRNAプローブのいずれかを使用して見出され得る。一つの態様において、そのような発現パターンは、癌性組織から採取された細胞の少なくとも70%に存在し、対応する正常非癌性組織試料の少なくとも70%に存在しないことが見出される。別の態様において、そのような発現パターンは、癌性組織から採取された細胞の少なくとも80%に存在し、対応する正常非癌性組織試料の少なくとも80%に存在しないことが見出される。別の態様において、そのような発現パターンは、癌性組織から採取された細胞の少なくとも90%に存在し、対応する正常非癌性組織試料の少なくとも90%に存在しないことが見出される。別の態様において、そのような発現パターンは、癌性組織から採取された細胞の少なくとも100%に存在し、対応する正常非癌性組織試料の少なくとも100%に存在しないことが見出されるが、後者の態様は稀にしか起こらない可能性がある。

【0066】

いくつかの態様において、分子プロファイリングは、核酸（DNAもしくはRNA）、タンパク質、またはそれらの組み合わせの検出、分析、または定量化を含む。本発明の方法により診断される疾患または状態には、例えば、皮膚、心臓、肺、腎臓、乳房、膵臓、肝臓、筋肉、平滑筋、膀胱、胆嚢、結腸、腸、脳、食道、または前立腺を含むが、これらに限定されない、対象の一つまたは複数の組織における異常増殖の状態が含まれる。いくつかの態様において、本発明の方法により分析される組織には、甲状腺組織が含まれる。

【0067】

いくつかの態様において、本発明の方法により診断される疾患または状態には、癌、過形成、または新生物を含むが、これらに限定されない、良性および悪性の過剰増殖性障害が含まれる。いくつかの場合において、本発明の方法により診断される過剰増殖性障害には、乳腺の管組織における腺癌、髄様癌、膠様癌、管状癌、および炎症性乳癌のような乳癌；卵巣における腺癌のような卵巣上皮腫瘍、および卵巣から腹腔へ移動した腺癌を含む卵巣癌；子宮癌；扁平上皮癌および腺癌を含む子宮頸部上皮における腺癌のような子宮頸癌；腺癌または骨へ移動した腺癌から選択される前立腺癌のような前立腺癌；膵管組織における類上皮細胞癌および膵管における腺癌のような膵臓癌；膀胱における移行上皮癌、尿路上皮癌（移行上皮癌）、膀胱を裏打ちする尿路上皮細胞における腫瘍、扁平上皮癌、腺癌、および小細胞癌のような膀胱癌；急性骨髄性白血病（AML）、急性リンパ性白血病、慢性リンパ性白血病、慢性骨髄性白血病、ヘアリーセル白血病、脊髄形成異常症、骨髄増殖性障害、急性骨髄性白血病（AML）、慢性骨髄性白血病（CML）、肥満細胞症、慢性リンパ性白血病（CLL）、多発性骨髄腫（MM）、および骨髄異形成症候群（MDS）のような白血病；骨癌；扁平上皮癌、腺癌、および大細胞未分化癌に分けられる非小細胞肺癌（NSCLC）ならびに小細胞肺癌のような肺癌；基底細胞癌、黒色腫、扁平上皮癌、および扁平上皮癌へと進展することもある皮膚状態である日光角化症のような皮膚癌；眼網膜芽細胞腫；皮膚黒色腫または眼球内（眼）黒色腫；原発性肝臓癌（肝臓において発生する癌）；腎臓癌；びまん性大細胞型B細胞リンパ腫、B細胞免疫芽球性リンパ腫、および小型非切れ込み核細胞性リンパ腫のようなエイズ関連リンパ腫；カボジ肉腫；B型肝炎ウイルス（HBV）、C型肝炎ウイルス（HCV）、および肝細胞癌を含むウイルスにより誘導される癌；ヒトリンパ球向性ウイルス1型（HTLV-1）および成人T細胞白血病/リンパ腫；およびヒトパピローマウイルス（HPV）により誘導される子宮頸癌を含む、ウイルスにより誘導される癌；神経膠腫（星状細胞腫、未分化星状細胞腫、または多形神経膠芽腫）、乏突起細胞腫、上衣細胞腫、髄膜腫、リンパ腫、シュワン腫、および髄芽腫を含む原発性脳腫瘍のような中枢神経系癌（CNS）；聴神経腫瘍、ならびに神経繊維腫およびシュワン腫を含む悪性末梢神経鞘腫瘍（MPNST）、悪性線維性細胞腫、悪性線維性組織球腫、悪性髄膜腫、悪性中皮腫、ならびに悪性ミュラー管混合腫瘍のような末梢神経系（PNS）癌；下咽頭癌、喉頭癌、上咽頭癌、および中咽頭癌のような口腔および中咽頭の癌；リンパ腫、胃間質腫瘍、およびカルチノイド腫瘍のような胃癌；精上皮腫および非精巣上皮腫を含む胚細胞性腫瘍（GCT）、ならびにライディッヒ細胞腫瘍およびセルトリ細胞腫瘍を含む性腺間質腫瘍のような精巣癌；胸腺腫、胸腺癌、ホジキン病、非ホジキンリンパ腫カルチノイド、またはカルチノイド腫瘍のような胸腺癌；直腸癌；ならびに結腸癌が含まれるが、これらに限定されない。いくつかの場合において、本発明の方法により診断される疾患または状態には、例えば、濾胞性腺腫、ハースル細胞腺腫、リンパ性甲状腺炎、および甲状腺過形成を含むが、これらに限定されない、良性甲状腺障害のような甲状腺障害が含まれるが、これらに限定されない。いくつかの場合において、本発明の方法により診断される疾患または状態には、例えば、濾胞癌、濾胞型甲状腺乳頭癌、髄様癌、および乳頭癌のような悪性甲状腺障害が含まれるが、これらに限定されない。いくつかの場合において、本発明の方法は、疾患を有するかそれとも正常であるかの組織の診断を提供する。他の場合において、本発明の方法は、正常、良性、または悪性の診断を提供する。いくつかの場合において、本発明の方法は、良性/正常または悪性の診断を提供する。いくつかの場合において、本発明の方法は、本明細書に提供される特定の疾患または状態のうちの一つまたは複数の診断を提供する。

10

20

30

40

50

【0068】

II. 生物学的試料の入手

いくつかの態様において、本発明の方法は、対象から試料を得ることを提供する。本明細書において使用されるように、対象という用語は、ヒト、非ヒト霊長類、げっ歯類、イヌ、ブタ等を含むが、これらに限定されない、任意の動物（例えば、哺乳類）をさす。本明細書に提供される得る方法には、細針吸引、コア針生検、吸引生検、切開生検、切除生検、パンチ生検、薄片生検、または皮膚生検を含む生検法が含まれる。試料は、皮膚、心臓、肺、腎臓、乳房、膵臓、肝臓、筋肉、平滑筋、膀胱、胆嚢、結腸、腸、脳、前立腺、食道、または甲状腺を含むが、これらに限定されない、本明細書に提供される組織のいずれかから得られ得る。あるいは、試料は、血液、汗、毛包、頬組織、涙、月経、便、または唾液を含むが、これらに限定されない、その他の起源から得られてもよい。本発明のいくつかの態様において、医療従事者が、試験のために生物学的試料を得てもよい。いくつかの場合において、医療従事者は、生物学的試料の寄託のため、対象を試験施設または検査室に照会させてもよい。他の場合において、対象が、試料を提供してもよい。いくつかの場合において、本発明の分子プロファイリングビジネスが、試料を得てもよい。

10

【0069】

試料は、本明細書に提供される生検法、拭き取り、擦過、静脈切開のような当技術分野において公知の方法、または当技術分野において公知のその他の任意の方法により得られ得る。いくつかの場合において、試料は、本発明のキットの構成要素を使用して、得られるか、保管されるか、または輸送され得る。いくつかの場合において、複数の甲状腺試料のような複数の試料が、本発明の方法による診断のために得られ得る。いくつかの場合において、一つの組織型（例えば、甲状腺）からの一つまたは複数の試料、および別の組織（例えば、頬）からの一つまたは複数の試料、のような複数の試料が、本発明の方法による診断のために得られ得る。いくつかの場合において、一つの組織型（例えば、甲状腺）からの一つまたは複数の試料、および別の組織（例えば、頬）からの一つまたは複数の試料、のような複数の試料は、同一の時点でまたは異なる時点で得られてもよい。いくつかの場合において、異なる時点で得られた試料は、異なる方法により分析されかつ/または保管されてもよい。例えば、試料は、細胞学的分析（ルーチンの染色）により得られ分析され得る。いくつかの場合において、さらなる試料が、細胞学的分析の結果に基づき、対象から得られられてもよい。癌の診断には、医師、看護師、またはその他の医療従事者による対象の検査が含まれ得る。検査は、ルーチンの検査の一部であってもよいし、または、検査は、以下のうちの一つを含むが、これらに限定されない、特定の愁訴によるものであってもよい：疼痛、疾病、疾病の予想、疑わしいしこりもしくは腫瘍の存在、疾患、または状態。対象は、疾患または状態に気づいていてもよいし、または気づいていなくてもよい。医療従事者が、試験のために生物学的試料を得てもよい。いくつかの場合において、医療従事者は、生物学的試料の寄託のために対象を試験施設または検査室に照会させてもよい。

20

30

【0070】

いくつかの場合において、対象は、さらなる診断のために、腫瘍学者、外科医、または内分泌学者のような専門医に照会させられ得る。専門医は、同様に、試験のために生物学的試料を得てもよいし、または生物学的試料の寄託のために個体を試験施設もしくは検査室に照会させてもよい。いずれの場合にも、生物学的試料は、医師、看護師、または医療技術者、内分泌学者、細胞学者、採血者、放射線技師、もしくは呼吸器科医のようなその他の医療従事者により得られ得る。医療従事者が、試料に対して実行する適切な試験もしくはアッセイ法を示してもよいし、または、本開示の分子プロファイリングビジネスが、どのアッセイ法もしくは試験が最も適切に示されるかに関して助言してもよい。分子プロファイリングビジネスは、助言事業、試料の取得およびもしくは保管、材料、または与えられた全ての製品およびサービスについて、個体または医療提供者または保険提供者に代金を請求することができる。

40

【0071】

50

本発明のいくつかの態様において、医療従事者は、初期診断または試料取得に関与していなくてもよい。あるいは、個体が、店頭販売のキットの使用を通して試料を得てもよい。キットは、本明細書に記載されるような試料を得るための手段、検査のために試料を保管するための手段、およびキットの適正使用のための説明書を含むし得る。いくつかの場合において、分子プロファイリングサービスが、キットの購入価格に含まれていてもよい。他の場合において、分子プロファイリングサービスは別料金である。

【0072】

分子プロファイリングビジネスが使用するために適している試料は、試験される個体の組織、細胞、核酸、遺伝子、遺伝子断片、発現産物、遺伝子発現産物、または遺伝子発現産物断片を含む任意の材料であり得る。試料の適応性および/または妥当性を判定する方法が提供される。試料には、個体の組織、細胞または細胞に由来するもしくは細胞から得られる生物学的材料が含まれ得るが、これらに限定されない。試料は、細胞または組織の不均一集団または均一集団であり得る。生物学的試料は、本明細書に記載された分析法に適している試料を提供することができる、当技術分野において公知の任意の方法を使用して得られ得る。

10

【0073】

試料は、皮膚または頸部の擦過、頬の拭き取り、唾液収集、尿収集、便収集、月経、涙、または精液の収集を含むが、これらに限定されない、非侵襲的な方法により得られ得る。他の場合において、試料は、生検、肺胞もしくは肺の洗浄、針吸引、または静脈切開を含むが、これらに限定されない、侵襲的な手法により得られる。生検の方法には、さらに、切開生検、切除生検、パンチ生検、薄片生検、または皮膚生検が含まれ得る。針吸引の方法には、さらに、細針吸引、コア針生検、吸引生検、またはラージコア (large core) 生検が含まれ得る。いくつかの態様において、十分な量の生物学的材料を確実にするために、複数の試料が本明細書中の方法により得られてもよい。適当な甲状腺の試料を得る方法は、当技術分野において公知であり、さらに、参照によりその全体が本明細書に組み入れられるATA Guidelines for thyroid nodule management (Cooper et al. Thyroid Vol. 16 No. 2 2006) に記載されている。生物学的試料を得るための一般的な方法も、当技術分野において公知であり、さらに、例えば、参照によりその全体が本明細書に組み入れられるRamzy, Ibrahim Clinical Cytopathology and Aspiration Biopsy 2001に記載されている。一つの態様において、試料は、甲状腺結節または推測される甲状腺腫瘍の細針吸引液である。いくつかの場合において、細針吸引液の採取法は、超音波、X線、またはその他の画像化装置の使用によるガイド下でなされてもよい。

20

30

【0074】

本発明のいくつかの態様において、分子プロファイリングビジネスは、対象から直接、医療従事者から、第三者から、または分子プロファイリングビジネスもしくは第三者により提供されたキットから、生物学的試料を得ることができる。いくつかの場合において、生物学的試料は、対象、医療従事者、または第三者が生物学的試料を取得し、分子プロファイリングビジネスへと送付した後、分子プロファイリングビジネスにより得られてもよい。いくつかの場合において、分子プロファイリングビジネスは、生物学的試料の保管および分子プロファイリングビジネスへの輸送のための適当な容器および賦形剤を提供してもよい。

40

【0075】

III. 試料の保管

いくつかの態様において、本発明の方法は、試料が得られた後、試料が本発明の一つまたは複数の方法により分析される前に、数秒、数分、数時間、数日、数週間、数ヶ月、数年、またはそれ以上のような時間、試料を保管することを提供する。いくつかの場合において、試料の異なる一部分が、保管、細胞学的分析、妥当性試験、核酸抽出、分子プロファイリング、またはそれらの組み合わせを含むが、これらに限定されない、異なる下流の方法または過程を受けるよう、対象から得られた試料は、保管またはさらなる分析の工程の前に細分される。

50

【 0 0 7 6 】

いくつかの場合において、試料の一部は保管され、試料の別の一部分はさらに操作されてもよい。そのような操作には、分子プロファイリング；細胞学的染色；核酸（RNAもしくはDNA）の抽出、検出、または定量化；遺伝子発現産物（RNAもしくはタンパク質）の抽出、検出、または定量化；固定；および検査が含まれ得るが、これらに限定されない。試料は、グルタルアルデヒド、ホルムアルデヒド、またはメタノールの使用のような、当技術分野において公知の任意の方法により、保管前または保管中に固定されてもよい。他の場合において、試料は、得られ、保管され、保管工程後に、試料の異なる一部分が、保管、細胞学的分析、妥当性試験、核酸抽出、分子プロファイリング、またはそれらの組み合わせを含むが、これらに限定されない、異なる下流の方法または過程を受けるよう、さらなる分析のために細分される。いくつかの場合において、試料は、得られ、例えば、細胞学的分析により分析され、もたらされた試料材料が、本発明の一つまたは複数の分子プロファイリング法によりさらに分析される。そのような場合、試料は、細胞学的分析工程と分子プロファイリング工程との間、保管されてもよい。試料は、取得後、輸送を容易にするか、またはその他の分析の結果を待つために保管されてもよい。別の態様において、試料は、医師またはその他の医療従事者からの説明を待つ間、保管されてもよい。

10

【 0 0 7 7 】

取得された試料は、短期または長期の保管のため、適当な培地中、賦形剤中、溶液中、または容器中に置かれ得る。保管は、冷蔵または冷凍の環境において試料を維持することを必要とするか場合がある。試料は、冷凍環境において保管前に急速に凍結させられ得る。凍結試料は、グリセロール、エチレングリコール、ショ糖、またはグルコースを含むが、これらに限定されない、適当な低温保存培地または化合物と接触させられ得る。適当な培地、賦形剤、または溶液には、ハンクス塩溶液、生理食塩水、細胞増殖培地、硫酸アンモニウムもしくはリン酸アンモニウムのようなアンモニウム塩溶液、または水が含まれるが、これらに限定されない。アンモニウム塩の適当な濃度には、約0.1g/ml、0.2g/ml、0.3g/ml、0.4g/ml、0.5g/ml、0.6g/ml、0.7g/ml、0.8g/ml、0.9g/ml、1.0g/ml、1.1g/ml、1.2g/ml、1.3g/ml、1.4g/ml、1.5g/ml、1.6g/ml、1.7g/ml、1.8g/ml、1.9g/ml、2.0g/ml、2.2g/ml、2.3g/ml、2.5g/ml、またはそれ以上の溶液が含まれる。培地、賦形剤、または溶液は、無菌であってもよいし、または無菌でなくてもよい。

20

【 0 0 7 8 】

試料は、例えば、0C、-1C、-2C、-3C、-4C、-5C、-6C、-7C、-8C、-9C、-10C、-12C、-14C、-15C、-16C、-20C、-22C、-25C、-28C、-30C、-35C、-40C、-45C、-50C、-60C、-70C、-80C、-100C、-120C、-140C、-180C、-190C、または約-200Cを含む、室温、または低温（例えば、約20 ~ 約0）もしくは冷凍温度のような低温で保管され得る。いくつかの場合において、試料は、冷蔵装置内で、氷もしくは凍結ゲルパック上で、冷凍装置内で、低温貯蔵装置内で、ドライアイス上で、液体窒素中で、または液体窒素で平衡化された蒸気相で保管され得る。

30

【 0 0 7 9 】

培地、賦形剤、または溶液は、後の診断もしくは操作のための妥当な状態に試料を維持するため、または凝固を防止するため、保存剤を含有していてもよい。保存剤には、クエン酸、エチレンジアミン四酢酸、アジ化ナトリウム、またはチメロサル（thimerosal）が含まれ得る。培地、賦形剤、または溶液は、トリス緩衝剤またはリン酸緩衝剤、ナトリウム塩（例えば、NaCl）、カルシウム塩、マグネシウム塩等のような適当な緩衝剤または塩を含有していてもよい。いくつかの場合において、試料は、例えばCytoc ThinPrep、SurePath、またはMonoprepであるがこれらに限定されない、後の細胞学的分析のための細胞の保管のために適している商業的な調製物の中に保管されてもよい。

40

【 0 0 8 0 】

試料容器は、カップ、蓋付きカップ、チューブ、無菌チューブ、真空チューブ、注射器、ボトル、顕微鏡用スライド、またはその他の適当な容器を含むが、これらに限定されない、生物学的試料の保管およびまたは輸送のために適している任意の容器であり得る。容

50

器は、無菌であってもよいし、または無菌でなくてもよい。

【0081】

IV. 試料の輸送

本発明の方法は、試料の輸送を提供する。いくつかの場合において、試料は、診療所、病院、医院、またはその他の位置から第二の位置へ輸送され、そこで、試料は、保管され、かつ/または、例えば、細胞学的分析もしくは分子プロファイリングにより分析される。いくつかの場合において、試料は、本明細書に記載された分析を実施するため、分子プロファイリング企業へ輸送されてもよい。他の場合において、試料は、臨床検査室改善法 (Clinical Laboratory Improvement Amendments) (CLIA) 検査室のような、認可された検査室、または本発明の方法を実施することができる検査室のような検査室へ輸送されてもよい。試料は、試料が由来する個体により輸送されてもよい。個体による輸送には、個体が分子プロファイリングビジネスまたは指定された試料受容所を訪れ、試料を提供することが含まれ得る。試料の提供は、本明細書に記載された試料取得の技術のいずれかを含んでもよいが、または、試料は、既に取得され、本明細書に記載されるような適当な容器で保管されていてもよい。他の場合において、試料は、宅配便、郵便、海運、または適当な様式で試料を輸送することができる任意の方法を使用して、分子プロファイリングビジネスへ輸送され得る。いくつかの場合において、試料は、第三者試験検査室 (例えば、細胞診検査室) により、分子プロファイリングビジネスへ提供されてもよい。他の場合において、試料は、対象のプライマリケア医、内分泌学者、またはその他の医療従事者により、分子プロファイリングビジネスへ提供されてもよい。輸送費用は、個体、医療提供者、または保険提供者へ請求され得る。分子プロファイリングビジネスは、受け取り後、直ちに試料の分析を開始してもよいし、または本明細書に記載された任意の様式で試料を保管してもよい。保管の方法は、分子プロファイリングビジネスが試料を受け取る前に選ばれたものと同一であってもよいしまたは同一でなくてもよい。

10

20

【0082】

試料は、低温保存培地または液状化細胞診調製物のような、試料の保管のために適している、本明細書に提供される任意の培地または賦形剤を含む、任意の培地または賦形剤で輸送され得る。いくつかの場合において、試料は、本明細書に提供される適当な試料保管温度のいずれかで、冷凍輸送または冷蔵輸送されてもよい。

【0083】

分子プロファイリングビジネス、その代理人もしくはライセンシー、医療従事者、研究者、または第三者検査室もしくは試験施設 (例えば、細胞診検査室) による試料の受け取り後、試料は、細胞学的アッセイ法およびゲノム分析のような当技術分野において公知の多様なルーチンの分析を使用してアッセイされ得る。そのような試験は、癌、癌の型、その他の疾患もしくは状態、疾患マーカーの存在、または癌、疾患、状態、もしくは疾患マーカーの欠如を示し得る。試験は、下記のような顕微鏡検査を含む細胞学的調査の形態をとり得る。試験は、一つまたは複数の細胞学的染色の使用を含み得る。生物学的材料は、生物学的試料の調製のための当技術分野において公知の適当な方法により、試験の投与前に、試験のために操作または調製され得る。実施される特定のアッセイ法は、分子プロファイリング企業、試験を注文した医師、または助言医療従事者、細胞診検査室、試料が由来する対象、もしくは保険提供者のような第三者により決定され得る。特定のアッセイ法は、確定診断が得られる可能性、アッセイ法のコスト、アッセイ法のスピード、または提供された材料の型へのアッセイ法の適応性に基つき、選ばれ得る。

30

40

【0084】

V. 妥当性についての試験

試料取得の後または間、例えば、試料を保管する工程の前または後、生物学的材料は、例えば、本発明の方法および組成物において使用するための試料の適応性を査定するため、収集され、妥当性について査定され得る。査定は、試料を得る個体、分子プロファイリングビジネス、キットを使用する個体、または細胞診検査室、病理学者、内分泌学者、もしくは研究者のような第三者により実施され得る。試料は、以下のものを含むが、これら

50

に限定されない、多くの因子により、さらなる分析のために妥当であるかまたは妥当でない判定され得る：不十分な細胞、不十分な遺伝材料、不十分なタンパク質、DNA、もしくはRNA、必要とされる試験にとって不適切な細胞、または必要とされる試験にとって不適切な材料、試料の古さ、試料が得られた様式、または試料が保管もしくは輸送された様式。妥当性は、細胞染色法、細胞数もしくは組織量の測定、全タンパク質の測定、核酸の測定、視覚的検査、顕微鏡検査、または温度もしくはpHの測定のような、当技術分野において公知の多様な方法を使用して判定され得る。一つの態様において、試料妥当性は、遺伝子発現産物レベル分析実験を実施した結果から判定されると考えられる。別の態様において、試料妥当性は、試料妥当性のマーカーの含量を測定することにより判定されると考えられる。そのようなマーカーには、ヨウ素、カルシウム、マグネシウム、リン、炭素、窒素、硫黄、鉄等のような元素；例えばチログロブリンであるがこれに限定されない、タンパク質；細胞量；およびタンパク質、核酸、脂質、または炭水化物のような細胞成分が含まれる。

10

【0085】

いくつかの場合において、ヨウ素は、参照によりその全体が本明細書に組み入れられる米国特許第3645691号に記載されたような化学的方法、またはヨウ素含量を測定するための当技術分野において公知のその他の化学的方法により測定され得る。ヨウ素測定のための化学的方法には、SandellおよびKolthoffの反応に基づく方法が含まれるが、これらに限定されない。反応は以下の式に従って進行する。



20

【0086】

ヨウ素は、反応の課程で触媒効果を有する、即ち、分析される調製物中に存在するヨウ素が多いほど、速く反応が進行する。反応のスピードは、ヨウ素濃度に比例する。いくつかの場合において、この分析法は、以下の様式で実施され得る。

【0087】

予め測定された量の酸化ヒ素 As_2O_3 の濃硫酸溶液または濃硝酸溶液を、生物学的試料に添加し、混合物の温度を、反応温度、即ち、通常20 ~ 60 の温度に調整する。予め測定された量の硫酸セリウム(IV)の硫酸溶液または硝酸溶液を、そこに添加する。その後、混合物を、一定時間、予め測定された温度で反応させる。反応時間は、測定されるヨウ素の量の桁、およびそれぞれの選択された反応温度によって選択される。反応時間は、通常、約1分~約40分である。その後、セリウム(IV)イオンの試験溶液の含量を、測光法により測定する。測光法により測定されたセリウム(IV)イオン濃度が低いほど、反応スピードが高く、従って、触媒剤、即ち、ヨウ素の量が多い。このようにして、試料のヨウ素を、直接かつ定量的に測定することができる。

30

【0088】

他の場合において、例えば、 ^{123}I 、 ^{124}I 、 ^{125}I 、および ^{131}I のようなヨウ素の特定の同位体を検出することによっても、甲状腺組織の試料のヨウ素含量を測定することができる。さらに他の場合において、マーカーは、炭素、窒素、硫黄、酸素、鉄、リン、または水素の同位体のような別の放射性同位体であってもよい。いくつかの例において、試料収集より前に、放射性同位体を投与することができる。妥当性試験のために適している放射性同位体投与の方法は、当技術分野において周知であり、静脈もしくは動脈への注射、または摂取を含む。同位体の一部を甲状腺組織へと吸収させるための、同位体の投与と甲状腺結節試料の取得との間の適当な期間は、約1分、2分、5分、10分、15分、30分、1時間、8時間、12時間、24時間、48時間、72時間、または約1週間、1.5週間、もしくは2週間を含む、約1分~数日または約1週間の期間を含み得、当業者により容易に決定され得る。あるいは、ヨウ素、カルシウム、マグネシウム、炭素、窒素、硫黄、酸素、鉄、リン、または水素の放射性同位体のような同位体の天然レベルについて、試料を測定してもよい。

40

【0089】

(i) 細胞および/または組織の含量妥当性試験

組織の量を測定する方法には、試料の計量または試料の体積の測定が含まれるが、これ

50

らに限定されない。細胞の量を測定する方法には、いくつかの場合において、例えば、トリプシンもしくはコラゲナーゼのような酵素による、または、例えば、組織ホモジナイザーの使用のような物理的手段による、脱凝集の後に実施され得る、細胞計数が含まれるが、これらに限定されない。回収された細胞の量を測定するための別の方法には、細胞材料に結合する色素の定量化、または遠心分離後に得られた細胞ペレットの体積の測定が含まれるが、これらに限定されない。妥当な数の特定の型の細胞が存在することを判定する方法には、PCR、Q-PCR、RT-PCR、免疫組織化学的分析、細胞学的分析、顕微鏡的分析、およびまたは視覚的分析が含まれる。

【0090】

(ii) 核酸含量妥当性試験

当技術分野において公知の多様な方法を使用して、生物学的試料からの抽出後に核酸含量を測定することにより、試料を分析することができる。いくつかの場合において、RNAまたはmRNAのような核酸が、核酸含量分析前に他の核酸から抽出される。核酸含量は、抽出され、精製され、分光光度計を使用して、260ナノメートルにおける吸光度を含むが、これに限定されない、紫外吸光度により測定され得る。他の場合において、核酸の含量または妥当性は、試料を染色剤と接触させた後、蛍光光度計により測定され得る。さらに他の場合において、核酸の含量または妥当性は、電気泳動後に、または、例えば、agilent バイオアナライザーのような装置を使用して、測定され得る。本発明の方法は、核酸の含量およびまたは完全性を測定するための特定の方法に限定されないことが理解される。

【0091】

いくつかの態様において、所定の試料からのRNAの量または収量は、ナノグラム~マイクログラムの範囲で、NanoDrop分光光度計を使用して、精製の直後に測定される。いくつかの態様において、RNA品質は、Agilent 2100 Bioanalyzer装置を使用して測定され、計算されたRNAインテグリティナンバー(Integrity Number)(RIN、1~10)により特徴決定される。NanoDropはキュベットなしの分光光度計である。それは、試料1 μ l当たり5ng~3,000ngを測定するために1マイクロリットルを使用する。NanoDropの重大な特色には、低い試料の容量、キュベットがない点; 5ng/ μ l~3,000ng/ μ lという大きなダイナミックレンジ; DNA、RNA、およびタンパク質の定量化を可能にする点が含まれる。NanoDrop(商標)2000cは、キュベットまたはキャピラリーの必要なしに、0.5 μ l~2.0 μ lの試料の分析を可能にする。

【0092】

RNA品質は、計算されたRNAインテグリティナンバー(RIN)により測定され得る。RNAインテグリティナンバー(RIN)とは、RNA測定値に完全性の値を割り当てるためのアルゴリズムである。RNAの完全性は、遺伝子発現研究のための主要な問題であり、伝統的には、28S rRNAと18S rRNAとの比を使用して評価されているが、この方法には一貫性がないことが示されている。RINアルゴリズムは、電気泳動によるRNA測定に適用され、よりロバスト(robust)な普遍的な測定値を提供するための、RNA完全性に関する情報に寄与する異なる特色の組み合わせに基づく。いくつかの態様において、RNA品質は、Agilent 2100 Bioanalyzer装置を使用して測定される。RNA品質を測定するためのプロトコルは、公知であり、例えば、Agilentウェブサイトで、商業的に入手可能である。簡単に説明すると、第一工程で、研究者がRNA Nano LabChipへ全RNA試料を委託する。第二工程で、LabChipがAgilent バイオアナライザーに挿入され、分析が実行され、デジタル電気泳動図が生成される。次いで、第三工程で、新たなRINアルゴリズムが、試料の完全性を判定するため、分解産物の存在または欠如を含む、RNA試料の電気泳動記録の全体を分析する。次いで、アルゴリズムは、レベル10のRNAが完璧に完全である、1~10のRINスコアを割り当てる。電気泳動図の解釈が自動的であり、個々の解釈を受けないため、試料の普遍的で公平な比較が可能になり、実験の再現性が改善される。RINアルゴリズムは、主として、ヒト、ラット、およびマウスの組織から得られた真核生物全RNA試料の大きなデータベースと共に、ニューラルネットワークおよび適応的学習(adaptive learning)を使用して開発された。RINの利点には、以下の点が含まれる。RNAの完全性の数的な査定が得られる点; 例えば

10

20

30

40

50

、アーカイブ (archival) の前後で、RNA試料が直接比較される点、異なる検査室間の同一組織の完全性が比較される点；実験の再現性が確実になる点、例えば、RINが所定の値を示し、マイクロアレイ実験のために適している場合、同一の生物/組織/抽出法が使用されるのであれば、同一の値のRINが、常に、類似した実験のために使用され得る (Schroeder A, et al. BMC Molecular Biology 2006, 7:3 (2006))。

【0093】

いくつかの態様において、RNA品質は、10が最高品質である、RIN 1~10の尺度で測定される。一つの局面において、本発明は、6.0またはそれ未満のRNA RIN値を有する試料からの遺伝子発現を分析する方法を提供する。いくつかの態様において、1.0、2.0、3.0、4.0、5.0、または6.0のRIN数を有するRNAを含有している試料が、本発明の方法およびアルゴリズムを使用して、マイクロアレイ遺伝子発現のために分析される。いくつかの態様において、試料は、甲状腺組織の細針吸引液である。試料は、2.0程度の低いRINで分解されていてもよい。

10

【0094】

所定の試料における遺伝子発現の測定は、複雑で、動的で、かつ高コストの過程である。RIN 5.0を有するRNA試料は、典型的には、多重遺伝子マイクロアレイ分析のためには使用されず、その代り、単一遺伝子のRT-PCRアッセイ法および/またはTaqManアッセイ法のためにのみ使用され得る。品質によるRNAの有用性のこの二分は、従来、試料の有用性を制限し、研究努力を妨害してきた。本発明は、低濃度のRNAを含有している試料、例えば、甲状腺FNA試料から、意味のある多重遺伝子発現結果を得るために、低品質RNAが使用され得る方法を提供する。

20

【0095】

さらに、通常、多重遺伝子発現プロファイリングのためには妥当でないと見なされる、NanoDropによる低くかつ/または測定不能なRNA濃度を有する試料が、本発明の方法およびアルゴリズムを使用すれば、測定され分析され得る。今日、検査室で核酸収量を測定するために使用されている最も高感度の「最先端技術」機器が、NanoDrop分光光度計である。その種類の多くの定量化装置と同様に、NanoDrop測定値の精度は、極めて低いRNA濃度では有意に減少する。マイクロアレイ実験への入力のために必要なRNAの最少量も、所定の試料の有用性を制限する。本発明においては、極少量の核酸を含有している試料が、NanoDrop装置およびBioanalyzer装置の両方からの測定値の組み合わせを使用して推定され得、それにより、多重遺伝子発現アッセイ法および分析のため試料が最適化される。

30

【0096】

(iii) タンパク質含量妥当性試験

いくつかの場合において、生物学的試料中のタンパク質含量は、以下のものを含むが、これらに限定されない、当技術分野において公知の多様な方法を使用して測定され得る：280ナノメートルにおける紫外吸光度、本明細書に記載されるような細胞染色、または、例えば、クーマシーブルーもしくはピシンコニン酸によるタンパク質染色。いくつかの場合において、タンパク質は、試料の測定前に生物学的試料から抽出される。いくつかの場合において、試料の妥当性についての複数の試験が、並行して、または一つずつ実施されてもよい。いくつかの場合において、試料は、妥当性査定の前、間、または後に、複数の診断試験を実施するため、一定分量へと分割されてもよい。いくつかの場合において、妥当性試験は、さらなる診断試験に適しているもよいし、または適していなくてもよい少量の試料に対して実施される。他の場合において、試料全体が妥当性について査定される。いずれの場合にも、妥当性についての試験の代金は、対象、医療提供者、保険提供者、または政府実体に請求され得る。

40

【0097】

本発明のいくつかの態様において、試料は収集後すぐにまたは直ちに妥当性について試験され得る。いくつかの場合において、試料妥当性試験が、試料の十分な量または十分な品質を示さない場合には、追加的な試料を採取することができる。

【0098】

50

VI. 試料の分析

一つの局面において、本発明は、低い量および品質のDNAまたはRNAのようなポリヌクレオチドを用いて、マイクロアレイ遺伝子発現分析を実施する方法を提供する。いくつかの態様において、本開示は、低い量および品質のRNAを用いて、遺伝子発現を分析することにより、癌を診断し、特徴決定し、かつ/またはモニタリングする方法を記載する。一つの態様において、癌は甲状腺癌である。甲状腺RNAは細針吸引液(FNA)から得られ得る。いくつかの態様において、遺伝子発現プロファイルは、9.0、8.0、7.0、6.0、5.0、4.0、3.0、2.0、1.0、またはそれ未満のRNA RIN値を有する分解された試料から得られる。特定の態様において、遺伝子発現プロファイルは、6またはそれ未満、即ち、6.0、5.0、4.0、3.0、2.0、1.0、またはそれ未満のRINを有する試料から得られる。甲状腺FNA試料のような低濃度の核酸を含有している試料から意味のある遺伝子発現結果を得るために、低品質RNAが使用され得る方法が、本発明により提供される。

10

【0099】

遺伝子発現アッセイ法のための試料の有用性の別の推定値は、典型的にはナノグラム～マイクログラムの量で測定されるRNA収量である。今日、検査室で核酸収量を測定するために使用されている最も高感度の「最先端技術」機器は、NanoDrop分光光度計である。その種類の多くの定量化装置と同様に、NanoDrop測定値の精度は、極めて低いRNA濃度では有意に減少する。マイクロアレイ実験への入力のために必要なRNAの最少量も、所定の試料の有用性を制限する。いくつかの局面において、本発明は、NanoDrop装置およびBioanalyzer装置の両方からの測定値の組み合わせを使用して、試料入力を推定することにより、低いRNA濃度の問題を解決する。遺伝子発現研究から得られるデータの品質はRNA量に依存するため、NanoDropにより測定された低いまたは測定不能なRNA濃度を有する試料から、意味のある遺伝子発現データが作成され得る。

20

【0100】

本方法および本アルゴリズムは、以下のことを可能にする：(1)低い量かつ/または低い品質の核酸を含有している試料の遺伝子発現分析、(2)偽陽性および偽陰性の有意な低下、(3)結果として生じる病態の基礎をなす遺伝学的経路、代謝経路、またはシグナル伝達経路の確定、(4)遺伝性障害の診断の精度に統計的確率を割り当てる能力、(5)不明確な結果を分解する能力、および(6)癌の亜型を区別する能力。

30

【0101】

細胞学的分析

試料は、生物学的試料中の細胞の顕微鏡的検査と組み合わせられた細胞染色により分析され得る。細胞染色、または細胞学的調査は、以下のものを含むが、これらに限定されない、当技術分野において公知の多数の方法および適当な試薬により実施され得る：EA染色、ヘマトキシリン染色、サイトステイン(cytostain)、パパニコロウ染色、エオシン、ニッスル染色、トルイジンブルー、銀染色、アゾカルミン染色、ニュートラルレッド、またはヤヌスグリーン。いくつかの場合において、細胞は、染色法の前または間に、例えば、メタノール、エタノール、グルタルアルデヒド、またはホルムアルデヒドにより固定され、かつ/または透過性化される。いくつかの場合において、細胞は固定されない。いくつかの場合において、複数の染色が組み合わせて使用される。他の場合において、染色は全く使用されない。いくつかの場合において、核酸含量の測定は、例えば、臭化エチジウム、ヘマトキシリン、ニッスル染色、または当技術分野において公知の任意の核酸染色による染色法を使用して実施される。

40

【0102】

本発明のいくつかの態様において、細胞は、細胞学的調査のための当技術分野において周知の標準的な方法によりスライドへ塗沫されてもよい。他の場合において、液状化細胞診(LBC)法が使用されてもよい。いくつかの場合において、LBC法は、細胞診スライド調製の改善された手段、より均一な試料、増加した感度および特異度、ならびに改善された試料の扱いの効率を提供する。液状化細胞診の方法においては、生物学的試料が、対象から、例えば、Cytoc ThinPrep、SurePath、Monoprep、または当技術分野において公知のそ

50

の他の液状化細胞診調製溶液のような液状化細胞診調製溶液を含有している容器またはバイアルに移される。さらに、試料の実質的に定量的な転移を確実にするために、試料は、液状化細胞診調製溶液で収集装置から容器またはバイアルへと濯がれてもよい。次いで、液状化細胞診調製溶液中に生物学的試料を含有している溶液は、ガラススライド上に細胞の層を作製するために、機械により、または当業者により、保管され、かつ/または加工され得る。試料は、さらに、従来 of 細胞診調製物と同一の方式で、染色され、顕微鏡下で調査されてもよい。

【0103】

本発明のいくつかの態様において、試料は、免疫組織化学的染色により分析されてもよい。免疫組織化学的染色は、生物学的試料（例えば、細胞または組織）における、抗体の使用による、特定の分子または抗原の存在、位置、および分布の分析を提供する。抗原は、低分子、タンパク質、ペプチド、核酸、または抗体により特異的に認識され得るその他の任意の分子であり得る。試料は、先に固定および/または透過性化の工程を含んでいてもよいし、または含んでいなくてもよい免疫組織化学的方法により分析され得る。いくつかの場合において、関心対象の抗原は、抗原特異的な抗体と試料を接触させ、次いで、一回または複数回の洗浄により非特異的結合を除去することにより検出され得る。次いで、特異的に結合した抗体が、例えば、標識された二次抗体、または標識されたアビジン/ストレプトアビジンのような抗体検出試薬により検出され得る。いくつかの場合において、その代わりに、抗原特異的な抗体が直接標識されてもよい。免疫組織化学的検査のための適当な標識には、フルオレセインおよびローダミンのようなフルオロフォア、アルカリホスファターゼおよび西洋ワサビペルオキシダーゼのような酵素、ならびに³²Pおよび¹²⁵Iのような放射性核種が含まれるが、これらに限定されない。免疫組織化学的染色により検出され得る遺伝子産物マーカには、Her2/Neu、Ras、Rho、EGFR、VEGFR、UbcH10、RET/PTC1、サイトケラチン20、カルシトニン、GAL-3、甲状腺ペルオキシダーゼ、およびチログロブリンが含まれるが、これらに限定されない。

【0104】

VII. アッセイ結果

ルーチンの細胞学的アッセイ法またはその他のアッセイ法の結果は、陰性（癌、疾患、もしくは状態がない）、不明確もしくは疑わしい（癌、疾患、もしくは状態の存在が示唆される）、診断的（癌、疾患、もしくは状態についての陽性の診断）、または非診断的（癌、疾患、もしくは状態の存在もしくは欠如に関する不十分な情報の提供）として試料を示すことができる。診断結果は、悪性または良性として、さらに分類され得る。診断結果は、例えば、p値、補正されたp値、または統計的信頼指標を介して、例えば、癌の重度もしくは悪性度、または正確な診断の可能性を示すスコアも提供する場合がある。いくつかの場合において、診断結果は、例えば、濾胞性腺腫、ハースル細胞腺腫、リンパ性甲状腺炎、過形成、濾胞癌、濾胞型甲状腺乳頭癌、乳頭癌、または本明細書に提供される疾患もしくは状態のいずれかのような、特定の型の癌、疾患、または状態を示し得る。いくつかの場合において、診断結果は、癌、疾患、または状態の特定の病期を示し得る。診断結果は、診断された特定の癌、疾患、または状態の型または病期のための特定の処置または治療的介入を通知し得る。いくつかの態様において、実施されたアッセイ法の結果は、データベースに入力され得る。分子プロファイリング企業は、以下のうちの一つまたは複数について、個体、保険提供者、医療提供者、または政府実体に代金を請求することができる：実施されたアッセイ法、助言サービス、結果の報告、データベースアクセス、またはデータ分析。いくつかの場合において、分子プロファイリング以外の全てまたはいくつかの工程は、細胞診検査室または医療従事者により実施される。

【0105】

VIII. 分子プロファイリング

細胞学的アッセイ法は、例えば、甲状腺の腫瘍または結節を含む、多くの型の推測された腫瘍のための現在の診断基準を特徴付けている。本発明のいくつかの態様において、陰性、不確定、診断的、または非診断的としてアッセイされた試料は、さらなる情報を得る

ため、後のアッセイ法に供されてもよい。本発明において、これらの後のアッセイ法には、ゲノムDNA、RNA、mRNA発現産物レベル、miRNAレベル、遺伝子発現産物レベル、または遺伝子発現産物選択的スプライシングの分子プロファイリング工程が含まれる。本発明のいくつかの態様において、分子プロファイリングとは、生物学的試料中のゲノムDNAの数（例えば、コピー数）および/または型の決定を意味する。いくつかの場合において、数および/または型は、対照試料または正常と見なされた試料とさらに比較され得る。いくつかの態様において、ゲノムDNAは、コピー数の増加（増幅）もしくは減少のようなコピー数多型、または挿入、欠失、短縮等のようなバリエーションについて分析され得る。分子プロファイリングは、同一の試料、同一の試料の一部、または本明細書に記載された方法のいずれかを使用して取得され得る新たな試料に対して実施され得る。分子プロファイリング企業は、個体と直接連絡をとることにより、または医師、第三者試験施設もしくは検査室、または医療従事者のような仲介者を通して、追加的な試料を要求してもよい。いくつかの場合において、試料は、いくつかまたは全ての細胞学的染色またはその他の診断法と組み合わせて、分子プロファイリングビジネスの方法および組成物を使用して、アッセイされる。他の場合において、試料は、ルーチンの細胞学的染色またはその他の診断法を事前に使用することなく、分子プロファイリングビジネスの方法および組成物を使用して直接アッセイされる。いくつかの場合において、単独の、または細胞診もしくはその他のアッセイ法と組み合わせられた、分子プロファイリングの結果により、当業者は、対象を診断し、対象のための処置を提案することが可能となる。いくつかの場合において、分子プロファイリングは、腫瘍または推測された腫瘍を、悪性変化について、経時的にモニタリングするため、単独で、または細胞診と組み合わせて使用され得る。

【0106】

本発明の分子プロファイリング法は、対象からの一つまたは複数の生物学的試料からタンパク質または核酸（RNAもしくはDNA）を抽出し分析することを提供する。いくつかの場合において、核酸は得られた試料全体から抽出される。他の場合において、核酸は得られた試料の一部から抽出される。いくつかの場合において、核酸抽出に供されない試料の一部が、細胞学的調査または免疫組織化学的検査により分析されてもよい。生物学的試料からのRNAまたはDNAの抽出の方法は、当技術分野において周知であり、例えば、Qiagen DNeasy Blood and Tissue KitまたはQiagen EZ1 RNA Universal Tissue Kitのような市販のキットの使用を含む。

【0107】

(i) 組織型フィンガープリント法

多くの場合において、本発明の方法により提供されるもののような生物学的試料は、甲状腺濾胞細胞、甲状腺髄質細胞、血球（RBC、WBC、血小板）、平滑筋細胞、管、管細胞、基底膜、管腔、小葉、脂肪組織、皮膚細胞、上皮細胞、ならびに浸潤するマクロファージおよびリンパ球を含むが、これらに限定されない、いくつかの細胞型または組織を含有している可能性がある。甲状腺試料の場合において、生物学的試料の診断的分類は、例えば、主として、濾胞細胞（乳頭癌、濾胞癌、および甲状腺未分化癌のような濾胞細胞に由来する癌のため）、ならびに髄質細胞（髄様癌のため）を含み得る。甲状腺生検材料からの不確定の生物学的試料の診断は、いくつかの場合において、濾胞性腺腫か濾胞癌かの区別に関する。従って、例えば、濾胞細胞の分子プロファイリングシグナルは、希釈され、試料中に存在する他の細胞型と混同される可能性がある。同様に、その他の組織または器官からの生物学的試料の診断は、その試料中に存在し得る多くの細胞型のうちの一つまたは複数の細胞型の診断をしばしば含む。

【0108】

いくつかの態様において、本発明の方法は、他の細胞型および/または組織型の存在による希釈効果に対して、もたらした分子プロファイリングサインが較正され得るよう、特定の生物学的試料の細胞構成を確定するアップフロント（upfront）の方法を提供する。一つの局面において、このアップフロントの方法は、試料の各成分について、アップフロントのミニ分類器（mini-classifier）として、既知の細胞および/または組織に特異的

な遺伝子発現パターンの組み合わせを使用するアルゴリズムである。このアルゴリズムは、組成に従って試料を予備分類し、次いで、補正/ノーマライゼーション因子を適用するために、この分子フィンガープリントを使用する。次いで、このデータは、いくつかの場合において、最終診断を支援するためにその情報を取り込むと考えられる最終分類アルゴリズムに送られる。

【0109】

(ii) ゲノム分析

いくつかの態様において、ゲノム配列分析または遺伝子型決定が、試料に対して実施され得る。この遺伝子型決定は、一塩基多型 (SNP) 分析、挿入欠失多型 (InDel) 分析、タンDEMリピート数 (variable number of tandem repeat) (VNTR) 分析、コピー数多型 (copy number variation) (CNV) 分析、または部分ゲノム配列決定もしくは全ゲノム配列決定のような変異分析の形態をとり得る。ゲノム分析を実施する方法は、当技術分野において公知であり、例えば、米国特許第7,335,762号；同第7,323,305号；同第7,264,929号；同第7,244,559号；同第7,211,390号；同第7,361,488号；同第7,300,788号；および同第7,280,922号に記載された方法であるがこれらに限定されない、ハイスループット配列決定を含み得る。ゲノム分析を実施する方法には、下記のようなマイクロアレイ法も含まれ得る。いくつかの場合において、ゲノム分析は、本明細書中の他の方法のいずれかと組み合わせて実施されてもよい。例えば、試料を得て、妥当性について試験し、一定分量へ分割することができる。次いで、一つまたは複数の一定分量を、本発明の細胞学的分析のために使用し、一つまたは複数の、本発明のRNA発現プロファイリング法のために使用し、一つまたは複数の、ゲノム分析のために使用することができる。当業者が、本明細書に明示的には提供されていないその他の分析を生物学的試料に対して実施することを望み得ることを、本発明が予想していることが、さらに理解される。

10

20

30

40

50

【0110】

(iii) 発現産物プロファイリング

遺伝子発現プロファイリングは、細胞機能の全体像を作出するための一度に数千個の遺伝子の活性 (発現) の測定である。これらのプロファイルは、例えば、活発に分裂している細胞を区別するか、または細胞が特定の処置に対してどのように反応するかを示すことができる。この種の多くの実験は、ゲノム全体、即ち、特定の細胞に存在する全ての遺伝子を同時に測定する。マイクロアレイ技術は、以前に同定された標的遺伝子の相対活性を測定する。遺伝子発現の連続分析 (serial analysis of gene expression) (SAGE、SuperSAGE) のような配列に基づく技術も、遺伝子発現プロファイリングのために使用される。SuperSAGEは、特に正確であり、予定されたセットのみならず、任意の活性遺伝子を測定することができる。RNA、mRNA、または遺伝子発現プロファイリングマイクロアレイにおいては、ある種の処置、疾患、および発達段階の、遺伝子発現に対する効果を研究するために、数千個の遺伝子の発現レベルが同時にモニタリングされる。例えば、マイクロアレイに基づく遺伝子発現プロファイリングは、本明細書に開示された遺伝性障害、または異なる癌の型、癌の亜型、および/もしくは癌の病期の遺伝子サインを特徴決定するために使用され得る。

【0111】

発現プロファイリング実験は、しばしば、2つまたはそれ以上の実験条件において発現されたmRNAのような遺伝子発現産物の相対量の測定を含む。これは、遺伝子発現産物の特定の配列の改変されたレベルが、おそらくホメオスタシス応答または病理学的状態を示す、遺伝子発現産物によりコードされたタンパク質の必要性の変化を示唆するためである。例えば、乳癌細胞が、特定の膜貫通型受容体に関連したmRNAを、正常細胞より高いレベルで発現する場合、この受容体は乳癌において役割を果たしている可能性がある。本発明の一つの局面は、遺伝性障害および癌、特に、甲状腺癌についての重要な診断試験の一部として、プロファイリング遺伝子発現を包含する。

【0112】

いくつかの態様において、RIN 5.0を有するRNA試料は、典型的には、多重遺伝子マイ

クロアレイ分析のためには使用されず、その代り、単一遺伝子のRT-PCRアッセイ法および/またはTaqManアッセイ法のためにのみ使用され得る。マイクロアレイアッセイ法、RT-PCRアッセイ法、およびTaqManアッセイ法は、関連分野において周知の標準的な分子的技術である。TaqManプローブに基づくアッセイ法は、遺伝子発現アッセイ法、DNA定量化、およびSNP遺伝子型決定を含むリアルタイムPCRにおいて広く使用されている。

【0113】

一つの態様において、当技術分野において公知である癌に関連した遺伝子発現産物が、プロファイリングされる。そのような遺伝子発現産物は、記載されており、米国特許第7,358,061号；同第7,319,011号；同第5,965,360号；同第6,436,642号；ならびに米国特許出願第2003/0186248号、同第2005/0042222号、同第2003/0190602号、同第2005/0048533号、同第2005/0266443号、同第2006/0035244号、同第2006/083744号、同第2006/0088851号、同第2006/0105360号、同第2006/0127907号、同第2007/0020657号、同第2007/0037186号、同第2007/0065833号、同第2007/0161004号、同第2007/0238119号、および同第2008/0044824号に詳述された遺伝子発現産物を含むが、これらに限定されない。

10

【0114】

癌に関連したその他の遺伝子発現産物が公知になる可能性があること、および本明細書に記載された方法および組成物が、そのような新たに発見される遺伝子発現産物を含み得ることが、さらに予想される。

【0115】

本発明のいくつかの態様において、遺伝子発現産物は、代替的にまたは付加的に、発現レベル以外の特徴について分析される。例えば、遺伝子産物は、選択的スプライシングについて分析され得る。選択的エキソン使用とも呼ばれる選択的スプライシングは、一次遺伝子転写物、pre-mRNAのエキソンが分離され、再接続され（即ち、スプライシングされ）、同一遺伝子から選択的なmRNA分子が産生されるような、RNAスプライシング変動機序である。いくつかの場合において、これらの直鎖状の組み合わせは、次いで、翻訳の過程を受け、そこで、同一遺伝子からの選択的なmRNA分子の各々により、アミノ酸の特定の独特の配列が指定され、タンパク質アイソフォームがもたらされる。選択的スプライシングには、異なるエキソンもしくは異なるエキソンセットの取り込み、ある種のイントロンの保持、または選択的スプライスドナー部位およびアクセプター部位の使用が含まれ得る。

20

【0116】

いくつかの場合において、良性試料、悪性試料、または正常試料について診断的な選択的スプライシングを示すマーカーまたはマーカーのセットが同定され得る。さらに、選択的スプライシングマーカーは、特定の型の甲状腺癌（例えば、乳頭癌、濾胞癌、髄様癌、または未分化癌）についての診断をさらに提供し得る。当技術分野において公知の悪性癌変について診断的な選択的スプライシングマーカーには、米国特許第6,436,642号にリスト化されたものが含まれる。

30

【0117】

いくつかの場合において、miRNAおよびsiRNAのような、タンパク質をコードしないRNA発現産物の発現が、本発明の方法によりアッセイされ得る。これらのRNA発現産物の差次的な発現は、良性試料、悪性試料、または正常試料を示し得る。これらのRNA発現産物の差次的な発現は、良性試料（例えば、FA、NHP、LCT、BN、CN、HA）または悪性試料（例えば、FC、PTC、FVPTC、ATC、MTC）の垂型をさらに示し得る。いくつかの場合において、miRNA、siRNA、選択的スプライスRNAアイソフォーム、mRNA、またはそれらの任意の組み合わせの差次的な発現が、本発明の方法によりアッセイされ得る。

40

【0118】

いくつかの態様において、本発明は、各々、甲状腺内の病態を特徴決定し、除外し、診断するのに必要とされるバイオマーカーの16のパネルを提供する。16のパネルは、以下の通りである。

- 1 正常甲状腺（NML）
- 2 リンパ性自己免疫性甲状腺炎（LCT）

50

- 3 結節性過形成 (NHP)
- 4 濾胞性甲状腺腺腫 (FA)
- 5 ハースル細胞甲状腺腺腫 (HC)
- 6 副甲状腺 (非甲状腺組織)
- 7 甲状腺未分化癌 (ATC)
- 8 甲状腺濾胞癌 (FC)
- 9 ハースル細胞甲状腺癌 (HC)
- 10 甲状腺乳頭癌 (PTC)
- 11 濾胞型乳頭癌 (FVPTC)
- 12 甲状腺髓様癌 (MTC)
- 13 腎癌の甲状腺への転移
- 14 黒色腫の甲状腺への転移
- 15 B細胞リンパ腫の甲状腺への転移
- 16 乳癌の甲状腺への転移

10

【0119】

各パネルには、甲状腺内の所定の病態を特徴決定し、除外し、診断するのに必要とされるバイオマーカーのセットが含まれる。パネル1~6は良性病態を表す。パネル7~16は悪性病態を表す。

【0120】

甲状腺およびその内部に見出される各病態の生物学的性質は、あるパネルの複数のバイオマーカーと、別のパネルの複数のバイオマーカーとの間に、重複性が存在することを示唆する。各病態亜型を反映して、各診断パネルは、不均一であり、別のパネルのバイオマーカーと半重複性である。不均一性および重複性は、所定のFNAで採取された組織の生物学、および各病態亜型を相互に特徴決定する遺伝子発現の差を反映する。

20

【0121】

一つの局面において、本発明の診断的な価値は、(i)あるパネルの一つまたは複数のマーカーと、(ii)付加的な各パネルの一つまたは複数のマーカーとの比較にある。本発明の利用可能性は、他の手段により現在可能であるより高い、FNAにおける診断精度である。

【0122】

いくつかの態様において、各パネル内のバイオマーカーは交換可能(モジュラー)である。新たな病理学的亜型(例えば、他の器官からの甲状腺への転移の新たな症例報告)の定義に適応させるために、全てのパネルの複数のバイオマーカーを、置換し、増加させ、低下させ、または改善することができる。本発明は、甲状腺に見出される16の不均一な、半重複性の、別個の病態の各々を定義する複数のマーカーを記載する。16の全てのパネルが、正確な診断に到達するために必要とされ、所定のパネルは、単独では、真の診断的決定をなすために十分な力を有していない。いくつかの態様において、他の全ての病態亜型を定義する複数のバイオマーカーを調査する環境において、各パネルの複数のバイオマーカーが依然として所定の病態亜型を定義するよう、各パネルのバイオマーカーが、バイオマーカーの適当な組み合わせと交換される。

30

40

【0123】

本発明の方法および組成物は、1個、2個、3個、4個、5個、6個、7個、8個、9個、10個、11個、12個、13個、14個、15個、または16個、またはそれ以上のバイオマーカーパネルから選択される遺伝子を有することができ、各バイオマーカーパネルからの1個、2個、3個、4個、5個、6個、7個、8個、9個、10個、15個、20個、25個、30個、35個、40個、45個、50個、またはそれ以上の遺伝子発現産物を任意の組み合わせで有することができる。いくつかの態様において、組み合わせられた遺伝子のセットは、70%、75%、80%、85%、86%、87%、88%、89%、90%、91%、92%、93%、94%、95%、96%、97%、98%、99%、もしくは99.5%より高い特異度もしくは感度、または少なくとも95%、95.5%、96%、96.5%、97%、97.5%、98%、98.5%、99%、99.5%、もしくはそれ以上の陽性適中率

50

もしくは陰性適中率を与える。

【0124】

(1) 発現産物レベルを測定するインビトロの方法

遺伝子発現産物レベルを測定するための一般的な方法は、当技術分野において公知であり、以下のうちの一つまたは複数を含み得るが、これらに限定されない：付加的な細胞学的アッセイ法、特定のタンパク質もしくは酵素活性についてのアッセイ法、タンパク質もしくはRNAを含む特定の発現産物もしくは特定のRNAスプライズバリエーションについてのアッセイ法、インサイチュハイブリダイゼーション、全ゲノム発現分析もしくは部分ゲノム発現分析、マイクロアレイハイブリダイゼーションアッセイ法、SAGE、酵素結合免疫吸着アッセイ法、質量分析、免疫組織化学的検査、またはプロッティング。遺伝子発現産物レベルは、全mRNAのような内部標準、またはグリセルアルデヒド3リン酸デヒドロゲナーゼもしくはチューブリンを含むが、これらに限定されない、特定の遺伝子の発現レベルに対してノーマライズされ得る。

10

【0125】

本発明のいくつかの態様において、遺伝子発現産物マーカーおよび選択的スプライシングマーカーは、例えば、Affymetrixアレイ、cDNAマイクロアレイ、オリゴヌクレオチドマイクロアレイ、スポットマイクロアレイ (spotted microarray)、またはBiorad、Agilent、もしくはEppendorfからのその他のマイクロアレイ製品を使用したマイクロアレイ分析により決定され得る。マイクロアレイは、一回の実験でアッセイされ得る多数の遺伝子または選択的スプライズバリエーションを含有し得るため、特定の利点を提供する。いくつかの場合において、マイクロアレイ装置は、ヒトゲノムもしくはトランスクリプトーム全体、またはそれらの実質的な画分を含有しており、遺伝子発現パターン、ゲノム配列、または選択的スプライシングの網羅的な評価を可能にすることができる。マーカーは、Sambrook Molecular Cloning a Laboratory Manual 2001およびBaldi, P., and Hatfield, W.G., DNA Microarrays and Gene Expression 2002に記載されるような標準的な分子生物学およびマイクロアレイ分析技術を使用して見出され得る。

20

【0126】

マイクロアレイ分析は、当技術分野において公知の方法を使用して、生物学的試料（例えば、生検材料または細針吸引液）から核酸を抽出し精製することから始まる。発現および選択的スプライシングの分析のためには、DNAからRNAを抽出しかつ/または精製することが有利であり得る。tRNAおよびrRNAのようなその他の型のRNAからmRNAを抽出しかつ/または精製することが、さらに有利であり得る。

30

【0127】

精製された核酸は、例えば、逆転写、PCR、ライゲーション、化学反応、またはその他の技術により、蛍光、放射性核種、またはビオチンもしくはジゴキシンのような化学的標識により、さらに標識され得る。標識は、直接であってもよいしまたは間接的であってもよく、カップリング段階をさらに必要としてもよい。カップリング段階は、例えば、アミノアシル-UTPおよび（シアニン色素のような）NHSアミノ反応性色素を使用して、ハイブリダイゼーション前に行われてもよいし、または、例えば、ビオチンおよび標識されたストレプトアビジンを使用して、後に行われてもよい。（例えば、1 aaUTP : 4 TTP比で）修飾されたヌクレオチドを、通常のヌクレオチドと比較して、より低い率で、典型的には、60塩基毎に1塩基となるよう、酵素的に付加する（分光光度計により測定される）。次いで、aaDNAを、例えば、カラムまたはダイアフィルトレーション (diafiltration) 装置により精製することができる。アミノアシル基は、核酸塩基に付着した長いリンカー上のアミン基であり、それが反応性標識（例えば、蛍光色素）と反応する。

40

【0128】

次いで、標識された試料を、SDS、SSC、硫酸デキストラン、（COT1 DNA、サケ精子DNA、ウシ胸腺DNA、PolyA、またはPolyTのような）ブロック剤、デンハート液、ホルムアミド、またはそれらの組み合わせを含有し得るハイブリダイゼーション溶液と混合することができる。

50

【0129】

ハイブリダイゼーションプローブとは、プローブ内の配列に相補的なヌクレオチド配列（DNA標的）の、DNA試料またはRNA試料における存在を検出するために使用される、可変の長さのDNAまたはRNAの断片である。従って、プローブは、プローブと標的との間の相補性によりプローブ-標的塩基対合を可能にする塩基配列を有する一本鎖核酸（DNAまたはRNA）にハイブリダイズする。標識されたプローブを、まず、（加熱により、またはアルカリ性条件下で）一本のDNA鎖へと変性させ、次いで、標的DNAにハイブリダイズさせる。

【0130】

プローブの標的配列へのハイブリダイゼーションを検出するため、プローブは分子マーカーによりタグ付け（または標識）される。一般的に使用されるマーカーは、³²P、または非放射性の抗体に基づくマーカーであるジゴキシゲニンである。次いで、オートラジオグラフィまたはその他の画像化技術を介して、ハイブリダイズしたプローブを可視化することにより、プローブと中程度～高度の配列類似性を有するDNA配列またはRNA転写物が検出される。中程度または高度の類似性を有する配列の検出は、どの程度ストリンジェントなハイブリダイゼーション条件が適用されたかに依り、高いハイブリダイゼーション温度およびハイブリダイゼーション緩衝液中の低い塩のような高ストリンジェンシーは、高度に類似している核酸配列間のハイブリダイゼーションのみを可能にするが、より低い温度および高い塩のような低ストリンジェンシーは、配列の類似性が比較的低くてもハイブリダイゼーションを可能にする。DNAマイクロアレイにおいて使用されるハイブリダイゼーションプローブとは、コーティングされたガラススライドまたは遺伝子チップのような不活性表面に共有結合的に付着しており、かつ可動性のcDNA標的がハイブリダイズさせられるDNAをさす。

【0131】

次いで、この混合物を、熱または化学的手段により変性させ、マイクロアレイのポートに添加することができる。次いで、孔を密封し、例えば、マイクロアレイが回転により混合されるハイブリダイゼーションオープンで、またはミキサーで、マイクロアレイをハイブリダイズさせることができる。一晚のハイブリダイゼーションの後、非特異的な結合を、（例えば、SDSおよびSSCにより）洗浄除去することができる。次いで、マイクロアレイを乾燥させ、レーザーが色素を励起し、検出器がその放出を測定する専門の機械でスキャンすることができる。画像にテンプレートグリッドを重ね合わせ、フィーチャー（数ピクセルが一つのフィーチャーを作成する）の強度を定量化することができる。

【0132】

様々なキットが、本発明の方法の核酸の増幅およびプローブ生成のために使用され得る。本発明において使用され得るキットの例には、Nugen WT-Ovation FFPEキット、Nugen Exon ModuleおよびFrag/Label moduleを含むcDNA増幅キットが含まれるが、これらに限定されない。NuGEN WT-Ovation（商標）FFPE System V2は、FFPE試料に由来する小さな分解されたRNAの広大なアーカイブに対して、包括的な遺伝子発現分析を実施することを可能にする、全トランスクリプトーム増幅システムである。このシステムは、50ng程度の少ない全FFPE RNAの増幅のために必要とされる試薬およびプロトコルから構成されている。プロトコルは、qPCR、試料アーカイビング（archiving）、断片化、および標識のために使用され得る。増幅されたcDNAは、NuGENのFL-Ovation（商標）cDNA Biotin Module V2を使用したGeneChip（登録商標）3'発現アレイ分析のため、2時間未満で断片化され標識され得る。Affymetrix GeneChip（登録商標）Exon and Gene STアレイを使用した分析のためには、増幅されたcDNAは、WT-Ovation Exon Moduleと共に使用され、次いで、断片化され、FL-Ovation（登録商標）cDNA Biotin Module V2を使用して標識される。Agilentアレイでの分析のためには、増幅されたcDNAは、NuGENのFL-Ovation（商標）cDNA Fluorescent Moduleを使用して、断片化され、標識され得る。Nugen WT-Ovation FFPEキットに関するさらなる情報は、<http://www.nugeninc.com/nugen/index.cfm/products/amplification-systems/wt-ovation-ffpe/>で入手され得る。

【0133】

いくつかの態様において、Ambion WT-expressionキットが使用され得る。Ambion WT-expressionキットは、別のリボソームRNA (rRNA) 枯渇工程なしに、直接、全RNAの増幅を可能にする。Ambion (登録商標) WT Expression Kitによると、全RNA 50ng程度の小さな試料が、Affymetrix (登録商標) GeneChip (登録商標) Human Exon 1.0 ST Array、Mouse Exon 1.0 ST Array、およびRat Exon 1.0 ST Array、ならびにHuman Gene 1.0 ST Array、Mouse Gene 1.0 ST Array、およびRat Gene 1.0 ST Array上で分析され得る。より低い入力RNAの必要性、およびAffymetrix (登録商標) 法とTaqMan (登録商標) リアルタイムPCRデータとの間の高い一致に加えて、Ambion (登録商標) WT Expression Kitは、感度の有意な増加を提供する。例えば、Ambion (登録商標) WT Expression Kitでは、増加した信号雑音比の結果として、エキソンレベルで、バックグラウンドを超えて検出されるより多数のプローブセットが、得られ得る。Ambion WT-expressionキットは、付加的なAffymetrix標識キットと組み合わせて使用され得る。

10

【0134】

いくつかの態様において、AmpTec Trinucleotide Nano mRNA Amplificationキット (6299-A15) が、本発明の方法において使用され得る。ExpressArt (登録商標) TRinucleotide mRNA amplification Nanoキットは、1ng~700ngという広い範囲の入力全RNAに適している。入力全RNAの量および必要とされるaRNAの収量に依って、それは1ラウンド (入力>300ng 全RNA) または2ラウンド (最少入力量1ng 全RNA) で使用され得、aRNA収量は>10 μ gの範囲である。AmpTecの所有するTRinucleotideプライミング技術は、rRNAに対する選択と組み合わせて、(普遍的な真核生物3'ポリ(A)配列と無関係の)mRNAの優先的な増幅をもたらす。AmpTec Trinucleotide Nano mRNA Amplificationキットに関するさらなる情報は、<http://www.amp-tec.com/products.htm>で入手され得る。このキットは、cDNA変換キットおよびAffymetrix標識キットと組み合わせて使用され得る。

20

【0135】

次いで、生データは、例えば、バックグラウンド強度を差し引き、次いで、強度を割って、各チャンネル上のフィーチャーの全強度または参照遺伝子の強度を等しくすることによりノーマライズされ得る。次いで、全ての強度についてのt値が計算され得る。Affymetrixチップのためのより高度の方法には、z比回帰、loess回帰、およびlowess回帰、ならびにRMA (robust multichip analysis) が含まれる。

【0136】

30

(2) 遺伝子発現産物レベルを測定するインビボ方法

本発明の方法および組成物は、最初に試料を得ることなく、個体における遺伝子発現産物レベルを測定するために使用され得ることが、さらに予想される。例えば、遺伝子発現産物レベルは、インビボで、即ち、個体において測定され得る。インビボで遺伝子発現産物レベルを測定する方法は、当技術分野において公知であり、CAT、MRI ; NMR ; PET ; および抗体または分子ビーコンを使用したタンパク質またはRNAのレベルの光学イメージング、蛍光イメージング、またはバイオフォトニック (biophotonic) イメージングのような画像化技術を含む。そのような方法は、参照により本明細書に組み入れられるUS 2008/0044824、US 2008/0131892に記載されている。インビボ分子プロファイリングのための付加的な方法は、本発明の範囲に含まれることが企図される。

40

【0137】

本発明のいくつかの態様において、分子プロファイリングには、試料または試料の一部を、本発明の一つまたは複数のプローブに結合させる工程が含まれる。適当なプローブは、測定すべき試料の成分、即ち、遺伝子産物に結合するものであり、抗体または抗体断片、アダプター、核酸、およびオリゴヌクレオチドを含むが、これらに限定されない。本発明のプローブへの試料の結合は、一つまたは複数のプローブに結合する物質の試料間の変換を表す。分子プロファイリングに基づき癌を診断する方法は、試料の遺伝子発現産物 (即ち、mRNAまたはタンパク質) およびレベルを検出する工程、試料と対照との間の差次的な遺伝子発現産物レベルを測定するために、それを正常対照試料における量と比較する工程 ; ならびに一つまたは複数の差次的な遺伝子発現産物レベルを、本発明の訓練されたア

50

ルゴリズムへ入力することにより、試験試料を分類する工程；本発明の選択および分類のアルゴリズムを使用して、試料の分類をバリデートする工程；ならびに遺伝性障害またはある型の癌について陽性として試料を同定する工程をさらに含む。

【0138】

(i) 試料の正常との比較

個体により提供された試料（試験試料）に対して実施された分子プロファイリングの結果は、正常であることが既知であるかまたは正常であると推測される生物学的試料と比較され得る。正常試料とは、癌、疾患、もしくは状態がないか、もしくはないと期待される試料、または分子プロファイリングアッセイ法において癌、疾患、もしくは状態についての試験結果が陰性であると考えられる試料である。正常試料は、試験される個体とは異なる個体に由来してもよいし、または同一の個体に由来してもよい。いくつかの場合において、正常試料は、例えば、試験される個体のような個体の類拭き取り検体から得られた試料である。正常試料は、試験試料と同時にアッセイされてもよいし、または異なる時点でアッセイされてもよい。

10

【0139】

試験試料に対するアッセイ法の結果は、正常試料に対する同一アッセイ法の結果と比較され得る。いくつかの場合において、正常試料に対するアッセイ法の結果は、データベース由来または参照由来である。いくつかの場合において、正常試料に対するアッセイ法の結果は、既知であるか、または当業者により一般に認められている値である。いくつかの場合において、比較は定性的である。他の場合において、比較は定量的である。いくつかの場合において、定性的または定量的な比較には、以下のうちの一つまたは複数が含まれ得るが、これらに限定されない：蛍光値、スポット強度、吸光度の値、化学発光シグナル、ヒストグラム、臨界閾値、統計的有意性の値、遺伝子産物発現レベル、遺伝子産物発現レベルの変化、選択的エキソン使用、選択的エキソン使用の変化、タンパク質レベル、DNA多型、コピー数多型、一つもしくは複数のDNAマーカーもしくは領域の存在もしくは欠如の指標、または核酸配列の比較。

20

【0140】

(ii) 結果の評価

いくつかの態様において、分子プロファイリング結果は、遺伝子産物発現レベルまたは選択的エキソン使用を、悪性、悪性の型（例えば、濾胞癌）、良性、または正常性（例えば、疾患もしくは状態がない）のような特定の表現型と相関させるため、当技術分野において公知の方法を使用して、評価される。いくつかの場合において、指定された統計的信頼水準が、診断の信頼水準を提供するために決定され得る。例えば、90%より高い信頼水準が、悪性、悪性の型、または良性の有用な予測因子であり得ると決定されてもよい。その他の態様において、より厳密な、または厳密でない信頼水準が選ばれてもよい。例えば、およそ70%、75%、80%、85%、90%、95%、97.5%、99%、99.5%、または99.9%の信頼水準が、有用な表現型予測因子として選ばれ得る。提供された信頼水準は、いくつかの場合において、試料の品質、データの品質、分析の品質、使用される特定の手法、および分析される遺伝子発現産物の数と関連し得る。診断を提供するための指定された信頼水準は、予想される偽陽性もしくは偽陰性の数および/またはコストに基づき選ばれ得る。指定された信頼水準を達成するため、または診断力を有するマーカーを同定するためのパラメータを選ぶ方法には、受信者動作特徴曲線（Receiver Operator Curve）分析（ROC）、従法線（binormal）ROC、主成分分析、部分最小二乗法による分析、特異値分解（singular value decomposition）、LASSO（least absolute shrinkage and selection operator）分析、最小角度回帰（least angle regression）、および閾値勾配による正則化（threshold gradient directed regularization）法が含まれるが、これらに限定されない。

30

40

【0141】

(iii) データ分析

生の遺伝子発現レベルおよび選択的スプライシングのデータは、いくつかの場合において、データをノーマライズし、かつまたはデータの信頼性を改善するために設計されたア

50

ルゴリズムの適用を通して改善され得る。本発明のいくつかの態様において、データ分析は、処理される個々のデータポイントの数が多いため、本明細書に記載された様々なアルゴリズムの適用のために、コンピュータ、またはその他の装置、機械、もしくは機器を必要とする。「機械学習アルゴリズム」とは、遺伝子発現プロファイルを特徴決定するために使用される、「分類器」としても当業者に公知の、計算に基づく予測方法論をさす。例えば、マイクロアレイに基づくハイブリダイゼーションアッセイ法により得られた、ある種の発現レベルに対応するシグナルは、典型的には、発現プロファイルを分類するためのアルゴリズムに供される。教師あり学習は、一般に、クラスの区別を認識するため分類器を「訓練」し、次いで、独立した試験セットに対する分類器の精度を「試験」することを含む。新たな未知の試料については、試料が属するクラスを予測するために分類器が使用され得る。

10

【0142】

いくつかの場合において、ロバストマルチアレイアベラージュ (robust multi-array Average) (RMA) 法が、生データをノーマライズするために使用され得る。RMA法は、多数のマイクロアレイ上のマッチする各細胞について、バックグラウンド補正された強度を計算することから始まる。バックグラウンド補正された値は、Irizarry et al. *Biostatistics* 2003 April 4 (2): 249-64により記載されるように、正の値に制限される。バックグラウンド補正の後、次いで、バックグラウンド補正されたマッチする各細胞の強度の底を2とする対数が得られる。次いで、各入力アレイおよび各プローブ発現値について、アレイパーセントイルプローブ値が全アレイパーセントイル点の平均値と交換される、クワントイル (quantile) ノーマライゼーション法を使用して、各マイクロアレイ上のバックグラウンド補正され対数変換されたマッチする強度が、ノーマライズされる。この方法は、Bolstad et al. *Bioinformatics* 2003により、より完璧に記載されている。クワントイルノーマライゼーションの後、次いで、ノーマライズされたデータを、各マイクロアレイ上の各プローブについて発現測定値を得るため、線形モデルにフィットさせることができる。次いで、チューキーのメディアンポリッシュ (median polish) アルゴリズム (Tukey, J. W., *Exploratory Data Analysis*, 1977) が、ノーマライズされたプローブセットデータについて、対数スケールの発現レベルを測定するために使用され得る。

20

【0143】

データは、疑わしいと見なされ得るデータを除去するために、さらに、フィルタリングされ得る。いくつかの態様において、約4個、5個、6個、7個、または8個より少ないグアノシン+シトシンヌクレオチドを有するマイクロアレイプローブに由来するデータは、異常なハイブリダイゼーションの傾向または二次構造上の問題のため、信頼性が低いと見なされ得る。同様に、約12個、13個、14個、15個、16個、17個、18個、19個、20個、21個、または22個より多いグアノシン+シトシンヌクレオチドを有するマイクロアレイプローブに由来するデータは、異常なハイブリダイゼーションの傾向または二次構造上の問題のため、信頼性が低いと見なされ得る。

30

【0144】

いくつかの場合において、信頼性が低いプローブセットは、一連の参照データセットに対してプローブセットの信頼性をランク付けすることにより、データ分析から排除するために選択され得る。例えば、RefSeqまたはEnsembl (EMBL) は、極めて高品質の参照データセットと見なされる。RefSeq配列またはEnsembl配列とマッチするプローブセットからのデータは、いくつかの場合において、予想される高い信頼性のため、マイクロアレイ分析実験に特に含められ得る。同様に、信頼性の低い参照データセットとマッチするプローブセットからのデータは、さらなる分析から排除されてもよいし、または含めるか否かを個別的に検討されてもよい。いくつかの場合において、EnsemblハイスループットcDNA (HTC) および/またはmRNA参照データセットが、別々に、または共に、プローブセットの信頼性を判定するために使用され得る。他の場合において、プローブセットの信頼性はランク付けされ得る。例えば、例えば、RefSeq、HTC、およびmRNAのような参照データセット全てに完璧にマッチするプローブおよび/またはプローブセットは、最も信頼性が高いと

40

50

してランク付けされ得る(1)。さらに、三つの参照データセットのうちの2つとマッチするプローブおよび/またはプローブセットは、二番目に信頼性が高いとしてランク付けされ得(2)、三つの参照データセットのうちの1つとマッチするプローブおよび/またはプローブセットは、その次にランク付けされ得(3)、参照データセットとマッチしないプローブおよび/またはプローブセットは、最後にランク付けされ得る(4)。次いで、プローブおよび/またはプローブセットは、それらのランク付けに基づき、分析に含まれるか、または排除され得る。例えば、さらなる分析のために、カテゴリ-1、2、3、および4のプローブセットからのデータを含めることを選んでもよいし；カテゴリ-1、2、および3のプローブセットからのデータを含めることを選んでもよいし；カテゴリ-1および2のプローブセットからのデータを含めることを選んでもよいし；またはカテゴリ-1のプローブセットからのデータを含めることを選んでもよい。別の例において、プローブセットは、参照データセットエントリーに対する塩基対ミスマッチの数によりランク付けされてもよい。分子プロファイリングのための所定のプローブおよび/またはプローブセットの信頼性を査定するための多くの方法が、当技術分野において理解されており、本発明の方法は、これらの方法およびそれらの組み合わせのうちの任意のものを包含することが理解される。

10

【0145】

本発明のいくつかの態様において、プローブセットからのデータは、発現されないか、または検出不可能なレベルで(バックグラウンド以下で)発現される場合、分析から排除され得る。プローブセットは、任意の群について、以下のような場合に、バックグラウンドを超えて発現されていると判断される。

20

標準正規分布のT0から無限大までの積分 < 有意(0.01)

ここで、

$T0 = \text{Sqr}(\text{GroupSize}) \cdot (T - P) / \text{Sqr}(Pvar)$ 、

GroupSize = 群内のCELファイルの数、

T = プローブセット内のプローブスコアの平均値、

P = GC含量のバックグラウンドプローブ平均値の平均値、および

Pvar = バックグラウンドプローブ分散の総計 / (プローブセット内のプローブの数)²。

【0146】

これは、群内のプローブセットの平均が、プローブセットについての中心的バックグラウンドとしての、プローブセットのプローブと類似のGC含量のバックグラウンドプローブの平均発現より大きい、プローブセットを含めることを可能にし、かつこれは、バックグラウンドプローブセット分散からプローブセット分散を導出することを可能にする。

30

【0147】

本発明のいくつかの態様において、分散を示さないかまたは低い分散を示すプローブセットは、さらなる分析から排除され得る。低分散プローブセットは、カイ二乗検定を介して、分析から排除される。プローブセットは、その変換された分散が、(N-1)自由度を有するカイ二乗分布の99パーセント信頼区間の左側にある場合、低分散であると見なされる。

$(N-1) \cdot \text{プローブセット分散} / (\text{遺伝子プローブセット分散}) \sim \text{Chi-Sq}(N-1)$

40

ここで、Nは入力CELファイルの数であり、(N-1)はカイ二乗分布についての自由度であり、「遺伝子についてのプローブセット分散」は遺伝子全体のプローブセット分散の平均値である。

【0148】

本発明のいくつかの態様において、所定の遺伝子クラスタまたは転写物クラスタについてのプローブセットは、GC含量、信頼性、分散等についての既に記載されたフィルタリング工程を通過するプローブを、最少数より少なく含有している場合、さらなる分析から排除され得る。例えば、いくつかの態様において、所定の遺伝子クラスタまたは転写物クラスタについてのプローブセットは、約1個、2個、3個、4個、5個、6個、7個、8個、9個、10個、11個、12個、13個、14個、15個未満、または約20個未満のプローブを含有している

50

場合、さらなる分析から排除され得る。

【0149】

遺伝子発現レベルまたは選択的スライシングのデータ分析の方法は、さらに、本明細書に提供されるようなフィーチャー選択アルゴリズムの使用を含み得る。本発明のいくつかの態様において、フィーチャー選択は、LIMMAソフトウェア・パッケージ (Smyth, G. K. (2005). Limma: linear models for microarray data. In: Bioinformatics and Computational Biology Solutions using R and Bioconductor, R. Gentleman, V. Carey, S. Dudoit, R. Irizarry, W. Huber (eds.), Springer, New York, pages 397-420) の使用により提供される。

【0150】

遺伝子発現レベルおよびまたは選択的スライシングのデータ分析の方法は、さらに、予備分類 (pre-classifier) アルゴリズムの使用を含んでいてもよい。例えば、アルゴリズムは、組成に依って試料を予備分類し、次いで、補正ノーマライゼーション係数を適用するために、細胞特異的な分子フィンガープリントを使用し得る。次いで、このデータ/情報は、最終診断を支援するため、その情報を取り込むと考えられる最終分類アルゴリズムに送り込まれ得る。

【0151】

遺伝子発現レベルおよびまたは選択的スライシングのデータ分析の方法は、さらに、本明細書に提供されるような分類アルゴリズムの使用を含んでいてもよい。本発明のいくつかの態様において、サポートベクターマシン (SVM) アルゴリズム、ランダムフォレストアルゴリズム、またはそれらの組み合わせが、マイクロアレイデータの分類のために提供される。いくつかの態様において、試料を区別するか (例えば、良性か悪性か、正常か悪性か)、または亜型を区別する (例えば、PTCかFVPTCか) 同定されたマーカーが、統計的有意性に基づき選択される。いくつかの場合において、統計的有意性選択は、偽検出率 (FDR) についてのBenjamini Hochberg補正を適用した後、実施される。

【0152】

いくつかの場合において、分類アルゴリズムは、Fishel and Kaufman et al. 2007 Bioinformatics 23(13): 1599-606により記載されたもののようなメタ分析アプローチにより補足されてもよい。いくつかの場合において、分類アルゴリズムは、再現性分析のようなメタ分析アプローチにより補足されてもよい。いくつかの場合において、再現性分析は、少なくとも一つの予測的発現産物マーカーセットにおいて出現するマーカーを選択する。

【0153】

いくつかの場合において、フィーチャー選択および分類の結果は、ベイズ事後分析 (Bayesian post-analysis) 法を使用してランク付けされ得る。例えば、マイクロアレイデータは、本明細書に提供される方法のような当技術分野において公知の方法を使用して、抽出され、ノーマライズされ、サマライズされ得る。次いで、データは、LIMMAに提供されるフィーチャー選択法を含むが、これに限定されない、本明細書に提供される方法のような、当技術分野において公知の任意のフィーチャー選択法のようなフィーチャー選択工程に供され得る。次いで、データは、SVMアルゴリズムまたはランダムフォレストアルゴリズムの使用を含むが、これらに限定されない、本明細書に提供されるアルゴリズムまたは方法のいずれかの使用のような、当技術分野において公知の分類法のいずれかのような分類工程に供され得る。次いで、分類アルゴリズムの結果は、事後確率関数に従ってランク付けされ得る。例えば、事後確率関数は、カテゴリー (例えば、良性、悪性、正常、ATC、PTC、MTC、FC、FN、FA、FVPTC、CN、HA、HC、LCT、NHP等) へのマーカーの割り当ての第一種および第二種の過誤の率から事前確率を導出するために、発表された結果のような、既知の分子プロファイリング結果の調査から導出され得る。これらの過誤率は、推定変化倍率の値 (例えば、1.1倍、1.2倍、1.3倍、1.4倍、1.5倍、1.6倍、1.7倍、1.8倍、1.9倍、2倍、2.2倍、2.4倍、2.5倍、3倍、4倍、5倍、6倍、7倍、8倍、9倍、10倍、またはそれ以上) を使用して、各研究について報告された標本サイズに基づき計算され得る。次いで、これらの事前確率は、差次的な遺伝子発現の事後確率を推定するために、本発明の分

10

20

30

40

50

子プロファイリングデータセットと組み合わせられ得る。最後に、事後確率推定値は、差次的な発現の最終的な事後確率を公式化するために、本発明の第二のデータセットと組み合わせられ得る。事後確率を導出しマイクロアレイデータの分析へ適用するための付加的な方法は、当技術分野において公知であり、例えば、Smyth, G.K. 2004 Stat. Appl. Genet. Mol. Biol. 3: Article 3に記載されている。いくつかの場合において、事後確率は、分類アルゴリズムにより提供されるマーカーをランク付けするために使用されてもよい。いくつかの場合において、マーカーは、事後確率に依ってランク付けされ得、選ばれた閾値を通過するものが、例えば、良性、悪性、正常、ATC、PTC、MTC、FC、FN、FA、FVPTC、CN、HA、HC、LCT、またはNHPである試料を示すかまたはそれらについて診断的である差次的な発現を有するマーカーとして選ばれ得る。例示的な閾値には、0.7、0.75、0.8、0.85、0.9、0.925、0.95、0.975、0.98、0.985、0.99、0.995、またはそれ以上の事前確率が含まれる。

10

【0154】

分子プロファイリングの結果の統計的な評価は、以下のうちの一つまたは複数を示す定量的な値を提供する場合がある：診断精度の尤度、癌、疾患、または状態の尤度、特定の癌、疾患、または状態の尤度、特定の治療的介入の成功の尤度。従って、遺伝学または分子生物学について訓練されていない可能性が高い医師が、生データを理解する必要はない。むしろ、データは、患者のケアを案内するための最も有用な形態で医師に直接提示される。分子プロファイリングの結果は、以下のものを含むが、これらに限定されない、当技術分野において公知の多数の方法を使用して、統計的に評価され得る：スチューデントt検定、両側t検定、ピアソンの順位和検定、隠れマルコフモデル分析、q-qプロットの分析、主成分分析、一元配置のANOVA、二元配置のANOVA、LIMMA等。

20

【0155】

本発明のいくつかの態様において、単独の、または細胞学的分析と組み合わせられた、分子プロファイリングの使用は、約85%～約99%または約100%正確な診断を提供し得る。いくつかの場合において、分子プロファイリングビジネスは、分子プロファイリングおよび/または細胞診の使用を通して、約85%、86%、87%、88%、90%、91%、92%、93%、94%、95%、96%、97%、97.5%、98%、98.5%、99%、99.5%、99.75%、99.8%、99.85%、または99.9%正確な、悪性、良性、または正常の診断を提供し得る。

30

【0156】

いくつかの場合において、精度は、最初の診断の精度を判定するために、経時的に対象を追跡することにより判定されてもよい。他の場合において、精度は、確定的に確立されてもよいし、または統計法を使用して確立されてもよい。例えば、受信者動作特性(ROC)分析が、特定のレベルの精度、特異度、陽性適中率、陰性適中率、および/または偽検出率を達成するための、最適のアッセイパラメータを決定するために使用され得る。癌診断においてROC分析を使用する方法は、当技術分野において公知であり、例えば、参照によりその全体が本明細書に組み入れられる米国特許出願第2006/019615号に記載されている。

【0157】

本発明のいくつかの態様において、良性と正常との間で、良性と悪性との間で、または悪性と正常との間で、発現レベルの最も大きな差または選択的スプライシングの最も大きな差を示すことが判定された、遺伝子発現産物およびそのような産物をコードするヌクレオチドの組成が、本発明の分子プロファイリング試薬として使用するために選ばれ得る。そのような遺伝子発現産物は、当技術分野において公知であるかまたは使用されている他の方法より広いダイナミックレンジ、大きな信号雑音比、改善された診断力、偽陽性もしくは偽陰性の低い可能性、または大きな統計的信頼水準を提供することにより、特に有用であり得る。

40

【0158】

本発明の他の態様において、単独の、または細胞学的分析と組み合わせられた、分子プロファイリングの使用は、当技術分野において公知の標準的な細胞学的技術の使用と比較

50

して、約100%、99%、95%、90%、80%、75%、70%、65%、または約60%、非診断的としてスコア化される試料の数を低下させ得る。いくつかの場合において、本発明の方法は、当技術分野において使用されている標準的な細胞学的方法と比較して、約100%、99%、98%、97%、95%、90%、85%、80%、75%、70%、65%、または約60%、中間物または疑わしいとしてスコア化される試料の数を低下させ得る。

【0159】

いくつかの場合において、分子プロファイリングアッセイ法の結果は、分子プロファイリングビジネスの代理人もしくは取次業者、個体、医療提供者、または保険提供者によるアクセスのためにデータベースに入力される。いくつかの場合において、アッセイ結果には、医療従事者のようなビジネスの代理人、取次業者、またはコンサルタントによる解釈または診断が含まれる。他の場合において、データのコンピュータまたはアルゴリズムによる分析は自動的に提供される。いくつかの場合において、分子プロファイリングビジネスは、以下のうちの一つまたは複数について、個体、保険提供者、医療提供者、研究者、または政府実体に代金を請求することができる：実施された分子プロファイリングアッセイ法、助言サービス、データ分析、結果の報告、またはデータベースアクセス。

10

【0160】

本発明のいくつかの態様において、分子プロファイリングの結果は、コンピュータスクリーン上のレポートとして、または紙の記録として提示される。いくつかの場合において、レポートは、以下のうちの一つまたは複数のような情報を含み得るが、これらに限定されない：差次的に発現される遺伝子の数、最初の試料の適応性、差次的な選択的スプライシングを示す遺伝子の数、診断、診断についての統計的信頼、癌または悪性の可能性、および必要とされる治療。

20

【0161】

(iv) 分子プロファイリング結果に基づく試料のカテゴリー化

分子プロファイリングの結果は、以下のうちの一つに分類され得る：良性（癌、疾患、もしくは状態がない）、悪性（癌、疾患、もしくは状態についての陽性の診断）、または非診断的（癌、疾患、もしくは状態の存在もしくは欠如に関する不十分な情報の提供）。いくつかの場合において、診断結果は、さらに、癌、疾患、または状態の型を分類し得る。他の場合において、診断結果は、癌、疾患、もしくは状態に關与するある種の分子的経路、または特定の癌、疾患、もしくは状態のある種の悪性度もしくは病期を示し得る。さらに他の場合において、診断結果は、グリベックのようなキナーゼ阻害剤もしくは当技術分野において公知の任意の薬物のような特定の薬物計画、または甲状腺切除もしくは片側甲状腺切除のような外科的介入のような、適切な治療的介入を通知し得る。

30

【0162】

本発明のいくつかの態様において、結果は、訓練されたアルゴリズムを使用して分類される。本発明の訓練されたアルゴリズムには、図1にリスト化された試料を含むが、これらに限定されない、既知の悪性試料、良性試料、および正常試料の参照セットを使用して開発されたアルゴリズムが含まれる。試料のカテゴリー化のために適しているアルゴリズムには、k近傍法（k-nearest neighbor algorithms）、概念ベクトル（concept vector）アルゴリズム、単純ベイズ（naive bayesian）アルゴリズム、ニューラルネットワークアルゴリズム、隠れマルコフモデルアルゴリズム、遺伝的アルゴリズム、および相互情報フィーチャー選択（mutual information feature selection）アルゴリズム、またはそれらの任意の組み合わせが含まれるが、これらに限定されない。いくつかの場合において、本発明の訓練されたアルゴリズムは、例えば遺伝子発現または選択的スプライシングのデータであるがこれに限定されないDNA多型データ、配列決定データ、本発明の細胞学者もしくは病理学者によるスコア化もしくは診断、本発明の予備分類アルゴリズムにより提供された情報、または本発明の対象の病歴に関する情報以外のデータを取り込んでいてもよい。

40

【0163】

(v) 分子プロファイリングを介した対象または治療的介入のモニタリング

50

いくつかの態様において、対象は、本発明の方法および組成物を使用してモニタリングされ得る。例えば、対象は、癌または遺伝性障害を有すると診断されていてもよい。この初期診断は、分子プロファイリングの使用を含んでいてもまたは含んでいなくてもよい。対象は、甲状腺癌を有すると推測される対象のための甲状腺切除のような、治療的介入を処方される場合がある。治療的介入の結果は、治療的介入の効力を検出するために、分子プロファイリングにより継続的にモニタリングされ得る。別の例において、対象は、良性腫瘍または前癌性の病変もしくは結節を有すると診断されていてもよく、腫瘍、結節、または病変が、腫瘍または病変の状態の変化を検出するために、分子プロファイリングにより継続的にモニタリングされ得る。

【0164】

分子プロファイリングは、対象へ投与する前に、特定の治療的介入の可能性のある効力を確認するために使用されてもよい。例えば、対象は癌を有すると診断されていてもよい。分子プロファイリングは、例えば、RAS癌遺伝子のような、癌悪性に関与することが公知である遺伝子発現産物の上方制御を示す場合がある。当技術分野において公知の方法を使用して、腫瘍試料を得て、かつインビトロで培養することができる。次いで、異常に活性化されたもしくは異常に調節された経路の様々な阻害剤、または経路の活性を阻害することが公知の薬物の適用を、増殖阻害について、腫瘍細胞株に対して試験することができる。分子プロファイリングは、例えば、関連する経路の下流標的に対するこれらの阻害剤の効果をモニタリングするために使用されてもよい。

【0165】

(vi) 研究道具としての分子プロファイリング

いくつかの態様において、分子プロファイリングは、推測される腫瘍の診断のための新たなマーカーを同定するため；腫瘍細胞、細胞株、組織、もしくは生物のような生物学的試料に対する薬物もしくは候補薬物の効果をモニタリングするため；または発癌および/もしくは腫瘍抑制のための新たな経路を発見するため、研究道具として使用されてもよい。

【0166】

(vii) 分子プロファイリングに基づくバイオマーカー群

甲状腺遺伝子は、以下の群に従って記載される：(1) 良性か悪性か、(2) 選択的遺伝子スプライシング、(3) KEGG経路、(4) 正常甲状腺、(5) 甲状腺病態亜型、(6) 遺伝子オントロジー、および(7) 非甲状腺器官から甲状腺への転移のバイオマーカー。本発明の方法および組成物は、上にリスト化された群のうちの一つもしくは複数、および/または上にリスト化された群のいずれかからの1個、2個、3個、4個、5個、6個、7個、8個、9個、10個、15個、20個、25個、30個、35個、40個、45個、50個、もしくはそれ以上の亜群(例えば、一つもしくは複数の異なるKEGG経路)から選択される遺伝子を有することができ、各群からの1個、2個、3個、4個、5個、6個、7個、8個、9個、10個、15個、20個、25個、30個、35個、40個、45個、50個、またはそれ以上の遺伝子発現産物を任意の組み合わせで有することができる。いくつかの態様において、組み合わせられた遺伝子のセットは、70%、75%、80%、85%、86%、87%、88%、89%、90%、91%、92%、93%、94%、95%、96%、97%、98%、99%、もしくは99.5%より高い特異度もしくは感度、または少なくとも95%、95.5%、96%、96.5%、97%、97.5%、98%、98.5%、99%、99.5%、もしくはそれ以上の陽性適中率もしくは陰性適中率を与える。

【0167】

いくつかの態様において、細胞外マトリックス遺伝子、接着遺伝子、接着斑遺伝子、および密着結合遺伝子が、甲状腺癌のバイオマーカーとして使用される。いくつかの態様において、シグナル伝達経路は、以下の三つの経路のうちの一つから選択される：接着経路、接着斑経路、および密着結合経路。いくつかの態様において、三つの経路のうちの一つから、少なくとも一つの遺伝子が選択される。いくつかの態様において、三つの経路のうちの一つから、各々少なくとも一つの遺伝子が選択される。いくつかの態様において、三つの経路のうちの一つから、少なくとも一つの遺伝子が選択される。いくつかの態様にお

10

20

30

40

50

いて、三つの経路全てに関与する少なくとも一つの遺伝子が選択される。一例において、接着経路、接着斑経路、および密着結合経路に関与する遺伝子のセットが、甲状腺癌のような癌の診断のためのマーカーとして選択される。

【0168】

甲状腺濾胞を裏打ちする濾胞細胞は、高度に極性であり、構造的に組織化されており、管腔側および頂端側の細胞膜の別個の役割を必要とする。いくつかの態様において、細胞骨格遺伝子、原形質膜遺伝子、および細胞外空間遺伝子が、甲状腺癌のバイオマーカーとして使用される。いくつかの態様において、四つの経路、即ち、ECM経路、接着斑経路、接着経路、および密着結合経路の全てにオーバーラップする遺伝子が、甲状腺癌のバイオマーカーとして使用される。一例において、本発明は、甲状腺分類遺伝子リストとして良

10

【0169】

いくつかの態様において、本発明は、以下のシグナル伝達経路を含むが、これらに限定されない、一つまたは複数のシグナル伝達経路からの遺伝子発現産物を含む、癌を診断する方法を提供する：急性骨髄性白血病シグナル伝達、2型ソマトスタチン受容体シグナル伝達、cAMP媒介シグナル伝達、細胞周期およびDNA傷害チェックポイントシグナル伝達、Gタンパク質共役型受容体シグナル伝達、インテグリンシグナル伝達、黒色腫細胞シグナル伝達、リラキシンシグナル伝達、および甲状腺癌シグナル伝達。本発明の方法および組成物は、1個、2個、3個、4個、5個、6個、7個、8個、9個、10個、15個、20個、25個、30個、35個、40個、45個、50個、またはそれ以上のシグナル伝達経路から選択される遺伝子を有することができ、各シグナル伝達経路からの1個、2個、3個、4個、5個、6個、7個、8個、9個、10個、15個、20個、25個、30個、35個、40個、45個、50個、またはそれ以上の遺伝子発現産物を任意の組み合わせで有することができる。いくつかの態様において、組み合わせられた遺伝子のセットは、70%、75%、80%、85%、86%、87%、88%、89%、90%、91%、92%、93%、94%、95%、96%、97%、98%、99%、もしくは99.5%より高い特異度もしくは感度、または少なくとも95%、95.5%、96%、96.5%、97%、97.5%、98%、98.5%、99%、99.5%、もしくはそれ以上の陽性適中率もしくは陰性適中率を与える。

20

【0170】

いくつかの態様において、本発明は、以下のオントロジー群を含むが、これらに限定されない、一つまたは複数のオントロジー群からの遺伝子発現産物を含む、癌を診断する方法を提供する：細胞老化、細胞皮質、細胞周期、細胞死/アポトーシス、細胞分化、細胞分裂、細胞間結合、細胞遊走、細胞形態形成、細胞運動、細胞突起、細胞増殖、細胞認識、細胞体、細胞表面、細胞表面結合型受容体シグナル伝達、細胞接着、転写、免疫応答、または炎症。本発明の方法および組成物は、1個、2個、3個、4個、5個、6個、7個、8個、9個、10個、15個、20個、25個、30個、35個、40個、45個、50個、またはそれ以上のオントロジー群から選択される遺伝子を有することができ、各オントロジー群からの1個、2個、3個、4個、5個、6個、7個、8個、9個、10個、15個、20個、25個、30個、35個、40個、45個、50個、またはそれ以上の遺伝子発現産物を任意の組み合わせで有することができる。いくつかの態様において、組み合わせられた遺伝子のセットは、70%、75%、80%、85%、86%、87%、88%、89%、90%、91%、92%、93%、94%、95%、96%、97%、98%、99%、もしくは99.5%より高い特異度もしくは感度、または少なくとも95%、95.5%、96%、96.5%、97%、97.5%、98%、98.5%、99%、99.5%、もしくはそれ以上の陽性適中率もしくは陰性適中率を与える。

30

40

【0171】

(表1) KEGG経路に関与する遺伝子

KEGG経路	上位948 B対 Mリストに おける%	上位948 B対 Mリストにおける 遺伝子	経路内の 全遺伝子
ECM	23	18	84
p53	14	10	69
PPAR	14	10	69
甲状腺癌	14	4	29
接着斑	13	26	201
接着	12	9	77
密着結合	11	14	134
癌概要経路	10	33	332
Jak/STAT	10	14	155
細胞周期	7	9	129
TGF β	7	6	87
Wnt	7	10	151
ErbB	6	5	87
アポトーシス	6	5	88
MAPK	5	14	269
自己免疫性甲状腺	4	2	53
mTOR	2	1	53
VEGF	1	1	76

10

20

30

【 0 1 7 2 】

良性甲状腺対悪性甲状腺の上位バイオマーカー (n = 948) を、下記リスト1にリスト化する。

【 0 1 7 3 】

リスト1

HLA-DPB1, HLA-DQB2, HLF, HMGA2, HMMR, HNRNPM, HPN, HPS3, HRASLS, HSD17B6,
 HSPH1, ICAM1, ID3, IFI16, IFITM1, IFNAR2, IGF2BP2, IGFBP5, IGFBP6, IGFBP7, IGJ, IGK,
 IGKC, IGKV1-5, IGKV3-15, IGKV3-20, IGKV3D-11, IGKV3D-15, IGSF1, IKZF2, IKZF3, IKZF4,
 IL1RAP, IL1RL1, IL2RA, IL7R, IL8, IL8RA, IL8RB, IL8RBP, IMPDH2, INPP5F, IPCEF1,
 IQGAP2, ISYNA1, ITGA2, ITGA3, ITGA4, ITGA9, ITGB1, ITGB4, ITGB6, ITGB8, ITM2A,
 ITPR1, IYD, JAK2, JUB, KAL1, KATNAL2, KBTBD8, KCNA3, KCNAB1, KCNK5, KCNQ3,
 KCTD14, KDELC1, KDELR3, KHDRBS2, KIAA0284, KIAA0408, KIAA1217, KIAA1305, KIF11,
 KIT, KLF8, KLHDC8A, KLHL6, KLK10, KLK7, KLRB1, KLRC4, KLRG1, KLRK1, KRT18,
 KRT19, KYNU, LAMB1, LAMB3, LAMC1, LAMC2, LCA5, LCMT1, LCN2, LCP1, LDOC1,
 LEMD1, LGALS2, LGALS3, LIFR, LILRA1, LILRB1, LIMA1, LINGO2, LIPH, LMO3, LMO4,
 LOC100124692, LOC100127974, LOC100129112, LOC100129115, LOC100129171,
 LOC100129961, LOC100130100, LOC100130248, LOC100131102, LOC100131490,
 LOC100131869, LOC100131938, LOC100131993, LOC100132338, LOC100132764, LOC26080,
 LOC283508, LOC284861, LOC439911, LOC440434, LOC440871, LOC554202, LOC643454,
 LOC646358, LOC648149, LOC650405, LOC652493, LOC652694, LOC653264, LOC653354,
 LOC653498, LOC728212, LOC729461, LOC730031, LONRF2, LOX, LPAR1, LPAR5, LPCAT2,
 LPL, LRP1B, LRP2, LRRC69, LRRN1, LRRN3, LTBP2, LTBP3, LUM, LYPLA1, LYRM1, LYZ,
 MACC1, MAFG, MAGOH2, MAMLD1, MAP2, MAPK4, MAPK6, MATN2, MBOAT2, MCM4,
 MCM7, MDK, ME1, MED13, MED13L, MELK, MET, METTL7B, MEX3C, MFGE8, MGAM,
 MGAT1, MGAT4C, MGC2889, MGST1, MIS12, MKI67, MLLT3, MLLT4, MMP16, MNDA,
 MORC4, MPPED2, MPZL2, MRC2, MRPL14, MT1F, MT1G, MT1H, MT1M, MT1P2, MT1P3,
 MTHFD1L, MTIF3, MUC1, MUC15, MVP, MXRA5, MYEF2, MYH10, MYO1B, MYO1D,
 MYO5A, MYO6, NAB2, NAE1, NAG20, NAV2, NCAM1, NCKAP1, ND1, NDC80, NDFIP2, NEB,
 NEDD4L, NELL2, NEXN, NFATC3, NFE2, NFIB, NFKBIZ, NIPAL3, NIPSNAP3A, NIPSNAP3B,
 NOD1, NPAS3, NPAT, NPC2, NPEPPS, NPL, NPY1R, NRCAM, NRIP1, NRP2, NT5E, NTAN1,
 NUCB2, NUDT6, NUPR1, NUSAP1, OCIAD2, OCR1, ODZ1, ORAOV1, OSBPL1A, OSGEP,
 OSMR, P2RY13, P4HA2, PAM, PAPSS2, PARD6B, PARP14, PARP4, PARVA, PBX1, PCDH1,
 PCMTD1, PCNXL2, PDE5A, PDE9A, PDGFRL, PDK4, PDLIM1, PDLIM4, PDZRN4, PEG10,
 PERP, PGCP, PHEX, PHF16, PHLDB2, PHYHIP, PIAS3, PIGN, PKHD1L1, PKP2, PKP4,
 PLA2G16, PLA2G7, PLA2R1, PLAG1, PLAU, PLCD3, PLCL1, PLEK, PLEKHA4, PLEKHA5,
 PLEKHF2, PLK2, PLP2, PLS3, PLSCR4, PLXNC1, PMEPA1, POLR2J4, PON2, POR, POU2F3,
 PPAP2C, PPARGC1A, PPBP, PPL, PPP1R14C, PRCP, PRICKLE1, PRINS, PRMT6, PROK2,
 PROS1, PRR15, PRRG1, PRSS23, PSAT1, PSD3, PTK7, PTPN14, PTPN22, PTPRC, PTPRE,
 PTPRF, PTPRG, PTPRK, PTPRU, PTRF, PXDNL, PYGL, PYHIN1, QTRT1, RAB25, RAB27A,
 RAB32, RAB34, RAD23B, RAG2, RAI2, RAPGEF5, RARG, RASA1, RASD2, RBBP7, RBBP8,
 RBMS2, RCBTB2, RCE1, RDH5, RG9MTD2, RGS13, RGS18, RGS2, RHOBTB3, RHOH, RHOV,
 RICH2, RIMS2, RNASE1, RNASET2, RND3, ROS1, RPL39L, RPL9P11, RPRD1A, RPS6KA6,

10

20

30

40

RRAS, RRAS2, RRBP1, RRM2, RUNX1, RUNX2, RXRG, RYR2, S100A12, S100A14, S100A16, S100A8, S100A9, SALL1, SAV1, SC4MOL, SCARA3, SCARNA11, SCEL, SCG3, SCG5, SCNN1A, SCP2, SCRNI1, SDC4, SDK1, SEH1L, SEL1L3, SELL, SEMA3C, SEMA3D, SEMA4C, SEPP1, SEPT11, SERGEF, SERINC2, SERPINA1, SERPINA2, SERPINE2, SERPING1, SFN, SFTPB, SGCB, SGCE, SGEF, SGMS2, SGPP2, SH2D4A, SH3BGR, SH3PXD2A, SIPA1L2, SIRPA, SIRPB1, SLA, SLC12A2, SLC16A4, SLC16A6, SLC17A5, SLC24A5, SLC25A33, SLC26A4, SLC26A7, SLC27A2, SLC27A6, SLC34A2, SLC35D2, SLC35F2, SLC39A6, SLC4A4, SLC5A8, SLC7A11, SLC7A2, SLIT1, SLIT2, SLPI, SMAD9, SMOC2, SMURF2, SNCA, SNX1, SNX22, SNX7, SOAT1, SORBS2, SP140, SP140L, SPATS2, SPATS2L, SPC25, SPINT1, SPOCK1, SPP1, SPRED2, SPRY1, SPRY2, SQLE, SRL, SSPN, ST20, ST3GAL5, STAT4, STEAP2, STK17B, STK32A, STXBP6, SULF1, SYNE1, SYT14, SYTL5, TACSTD2, TASP1, TBC1D3F, TC2N, TCERG1L, TCF7L2, TCFL5, TDRKH, TEAD1, TFCP2L1, TFF3, TFPI, TGFA, TGFB2, TGFB1, THSD4, TIAM2, TIMP1, TIMP3, TIPARP, TJP1, TJP2, TLCD1, TLE4, TLR10, TLR8, TM4SF1, TM4SF4, TM7SF4, TMEM100, TMEM117, TMEM133, TMEM156, TMEM163, TMEM171, TMEM215, TMEM220, TMEM90A, TMEM98, TMPRSS4, TMSB10, TMSB15A, TMSB15B, TNC, TNFAIP8, TNFRSF11B, TNFRSF12A, TNFRSF17, TNFSF10, TNFSF15, TOMM34, TOX, TPD52L1, TPO, TPX2, TRIP10, TRPC5, TRPC6, TSC22D1, TSHZ2, TSPAN13, TSPAN6, TSPAN8, TSSC1, TTC39A, TUBB1, TUBB6, TULP3, TUSC3, TXNL1, TXNRD1, TYMS, UCHL5, VAMP1, VNN1, VNN2, VNN3, WDR40A, WDR54, WDR72, WIP1, WNT5A, XKRX, XPR1, YIF1B, YIPF1, YTHDC2, ZBTB33, ZCCHC12, ZCCHC16, ZEB2, ZFP36L1, ZFPM2, ZMAT3, ZMAT4, ZNF143, ZNF208, ZNF487, ZNF643, ZNF804B, ZYG11A.

10

20

【 0 1 7 4 】

選択的スプライシングを受ける遺伝子 (n = 283) を、下記リスト2にリスト化する。

30

【 0 1 7 5 】

リスト2

ABCC3, ADAMTS5, ADAMTS9, AIDA, AK1, AKR1C3, ALDH1A3, ALDH6A1,
 AMIGO2, AMOT, ANGPTL1, ANKS6, ANO5, ANXA1, ANXA2, ANXA2P1, ANXA3, AQP4,
 ARHGAP24, ARL4A, ARMCX3, ARMCX6, ARSG, ATIC, ATP13A4, ATP8A1, AUTS2, BAG3,
 BCL2, BCL9, BHLHE41, C10orf131, C11orf74, C14orf45, C16orf45, C19orf33, C2orf40, C3,
 C5orf28, C8orf79, CA11, CALCA, CAV1, CCND1, CCND2, CD36, CD36, CDH3, CDH6, CDON,
 CFH, CFHR1, CHD4, CITED1, CLDN16, CLU, COPZ2, CP, CRABP1, CSGALNACT1, CTSC,
 CTSH, CTTN, CWH43, CYSLTR2, DCBLD2, DCUN1D3, DDB2, DGKH, DGKI, DIO1, DLG2,
 DOCK9, DPH3B, DPP4, DSP, DST, DUSP6, EFEMP1, EIF2B2, ELMO1, EMP2, ENAH, ENTPD1,
 EPHX4, ERBB3, ERI2, ERO1LB, ETNK2, ETV1, ETV5, F8, FABP4, FAM111B, FAM20A,
 FAM55C, FAT4, FBLN5, FGFR1OP2, FLJ42258, FLRT3, FN1, FREM2, FXYD6, GABBR2,
 GABRB2, GALNT7, GBE1, GBP1, GBP3, GGCT, GIMAP7, GPAM, GPR125, GPR155, GRAMD3,
 GSN, HLF, HMGA2, HSPH1, IMPDH2, IQGAP2, ITGA2, ITGA3, ITGA9, ITGB6, ITGB8, ITM2A,
 ITPR1, IYD, KATNAL2, KCNA3, KCNQ3, KDELC1, KHDRBS2, KIAA0284, KIAA1217, KIT,
 KLF8, KLK10, KRT19, LAMB3, LAMC2, LEMD1, LIFR, LINGO2, LMO3, LOC100127974,
 LOC100129112, LOC100131490, LOC100131869, LOC283508, LOC648149, LOC653354,
 LONRF2, LPCAT2, LPL, LRP1B, LRP2, LRRC69, LRRN1, LRRN3, LYRM1, MACC1, MAFG,
 MAP2, MAPK4, MAPK6, MATN2, MED13, MET, METTL7B, MFGE8, MLLT3, MPPED2,
 MPZL2, MRPL14, MT1F, MT1G, MT1H, MT1P2, MTHFD1L, MUC1, MVP, MYEF2, MYH10,
 MYO1D, NAG20, NAV2, NEB, NEDD4L, NELL2, NFATC3, NFKBIZ, NPC2, NRCAM, NUCB2,
 ORAOV1, P4HA2, PAM, PAPSS2, PARVA, PDLIM4, PEG10, PGCP, PIGN, PKHD1L1,
 PLA2G16, PLA2G7, PLA2R1, PLAU, PLEKHA4, PLP2, PLSCR4, PLXNC1, PMEPA1, PON2,
 PPARGC1A, PRINS, PROS1, PSD3, PTPRK, PYHIN1, QTRT1, RAB27A, RAB34, RAD23B,
 RASA1, RHOBTB3, RNASSET2, RPS6KA6, RUNX1, SCARNA11, SCG5, SDC4, SERPINA1,
 SERPINA2, SGEF, SH2D4A, SLA, SLC12A2, SLC24A5, SLC26A4, SLC26A7, SLC27A2,
 SLC27A6, SLC35F2, SLC4A4, SLC5A8, SLC7A2, SOAT1, SPATS2, SPATS2L, SPINT1, SPP1,
 SSPN, STK32A, SULF1, SYNE1, TCFL5, TFPI, TGFBR1, TIPARP, TJPI, TLE4, TM7SF4,
 TMEM171, TMEM90A, TNFAIP8, TNFRSF11B, TOMM34, TPD52L1, TPO, TSC22D1, TUSC3,
 TYMS, WDR54, WDR72, WPI1, XPR1, YIF1B, ZFPM2, ZMAT4.

10

20

30

40

【 0 1 7 6 】

KEGG経路に關与する遺伝子を下記表6にリスト化する。計n = 109の独特の遺伝子を含む、18経路が存在する。

【 0 1 7 7 】

(表6)

シグナリング経路	遺伝子の数	遺伝子
ECM経路	19	CD36, COL1A1, FN1, HMMR, ITGA2, ITGA3, ITGA4, ITGA9, ITGB1, ITGB4, ITGB6, ITGB8, LAMB1, LAMB3, LAMC1, LAMC2, SDC4, SPP1, TNC
p53経路	10	ATM, CCND1, CCND2, CDK2, DDB2, GADD45A, PERP, RRM2, SFN, ZMAT3
PPAR経路	10	ACSL1, CD36, CYP27A1, FABP4, LPL, ME1, RXRG, SCP2, SLC27A2, SLC27A6
甲状腺癌経路	4	CCND1, CTNNB1, RXRG, TCF7L2

10

20

接着斑経路	26	BCL2, CAV1, CAV2, CCND1, CCND2, COL1A1, CTNNB1, EGF, EGFR, ERBB2, FN1, ITGA2, ITGA3, ITGA4, ITGA9, ITGB1, ITGB6, ITGB8, LAMB1, LAMB3, LAMC1, LAMC2, MET, PARVA, SPP1, TNC	
接着経路	9	CTNNB1, EGFR, ERBB2, MET, MLLT4, PTPRF, TCF7L2, TGFB1, TJP1	10
密着結合経路	15	CLDN1, CLDN10, CLDN16, CLDN4, CLDN7, CTNNB1, CTTN, EPB41, MLLT4, MYH10, PARD6B, RRAS, RRAS2, TJP1, TJP2	20
癌概要経路	34	BCL2, BIRC5, CCND1, CDK2, CSF3R, CTNNB1, DAPK2, EGF, EGFR, ERBB2, ETS1, FGF2, FN1, FZD4, FZD6, FZD7, IL8, ITGA2, ITGA3, ITGB1, KIT, LAMB1, LAMB3, LAMC1, LAMC2, MET, PIAS3, RUNX1, RXRG, TCF7L2, TGFA, TGFB2, TGFB1, WNT5A	30
Jak/STAT経路	16	CCND1, CCND2, CSF3R, IFNAR2, IL2RA, IL7R, ITGB4, JAK2, LIFR, OSMR, PIAS3, SPRED2, SPRY1, SPRY2, STAT4, TPO	
細胞周期経路	9	ATM, CCND1, CCND2, CDK2, GADD45A, MCM4, MCM7, SFN, TGFB2	40
TGF β 経路	6	BMP8A, ID3, SMAD9, SMURF2, TGFB2, TGFB1	
Wnt経路	10	CCND1, CCND2, CTNNB1,	

		FZD4, FZD6, FZD7, NFATC3, PRICKLE1, TCF7L2, WNT5A
Erb経路	5	EGF, EGFR, ERBB2, ERBB3, TGFA
アポトーシス経路	5	ATM, BCL2, ENDOD1, IL1RAP, TNFSF10
MAPK経路	14	DUSP4, DUSP5, DUSP6, EGF, EGFR, FGF2, GADD45A, GNG12, RASA1, RPS6KA6, RRAS, RRAS2, TGFB2, TGFBR1
自己免疫性甲状腺経路	2	HLA-DPB1, TPO
mTOR経路	1	RPS6KA6
VEGF経路	1	NFATC3

10

20

30

40

【 0 1 7 8 】

良性甲状腺および悪性甲状腺（組み合わせ）を正常甲状腺から分離する上位遺伝子（n = 55）を、下記リスト3にリスト化する。

【 0 1 7 9 】

リスト3

ANGPTL1, ANXA3, C10orf131, C2orf40, C7orf62, CAV1, CCDC80, CDR1, CFH, CFHR1, CLDN16, CP, CRABP1, EFEMP1, ENTPD1, FABP4, FBLN5, FN1, GBP1, GBP3, GULP1, HSD17B6, IPCEF1, KIT, LRP1B, LRRC69, LUM, MAPK6, MATN2, MPPED2, MT1F, MT1G, MT1H, MT1M, MT1P2, MT1P3, MYEF2, NRCAM, ODZ1, PAPSS2, PKHD1L1, PLA2R1, RYR2, SEMA3D, SLC24A5, SLC26A4, SLC26A7, SLIT2, TFPI, TMEM171, TPO, TSPAN8, YTHDC2, ZFPM2, ZNF804B.

【 0 1 8 0 】

甲状腺外科病理学亜型（n = 873）を以下にリスト化する。

【 0 1 8 1 】

(i) リスト4 : FA亜型（n = 243）

TCID-3124344, AHR, ALOX5, ANGPTL1, ANXA2, ANXA2P1, APOL1, AVPR1A, BMP8A, BTBD11, C2, C3, C8orf39, CCDC109B, CD36, CDON, CFB, CHGB, CHI3L1, CKB, CLDN1, CP, CRABP1, CTSC, CTSH, CXCL1, CXCL2, CXCL3, CXorf27, CYP1B1, DLG2, DNASE1L3, DPP4, DUOX1, DUOX2, DYNLT1, EIF4H, F8, FABP4, FAM20A, FAM55C, FBLN5, FLJ26056, FXYD6, G0S2, GALNT7, GLIS3, GPAM, HIGD1A, HK1, HLF, HSD17B6, ICAM1, IGFBP7, IL1RAP, IPCEF1, IYD, KATNAL2, KCNAB1, KHDRBS2, KLF8, KLHDC8A, LAMB1, LGALS3, LOC100131869, LOC26080, LOC284861, LOC439911, LOC653264, LOC728212, LOC729461, LPCAT2, LRRC69, MAGOH2, MAPK4, MAPK6, MELK, MPPED2, MT1G, NEB, NFKBIZ, NRIP1, PARP14, PKHD1L1, PLA2G7, PLP2, PLXNC1, POR, PRMT6, PROS1, PSMB2, PTPRE, PYGL, RNASE1, RNASET2, RPL9P11, RRAS2, RRBP1, RUNX1, RUNX2, RYR2, SCP2, SEL1L3, SERGEF, SGPP2, SH3BGR, SLC25A33, SLC26A4, SLC26A7, SLC27A6, SLC4A4, SLPI, SORBS2, SQLE, STK32A, SYTL5, TFCP2L1, TIAM2, TIMP3, TMEM220, TMSB10, TRPC6, TSHZ2, TSSC1, VAMP1, ZNF487, ABCC3, C11orf72, C8orf79, CLDN16, CLU, CST6, CYSLTR2, DIO1, DPH3B, ERO1LB, FN1, GABRB2, IGFBP6, IKZF3, KIT, KRT19, LIFR, LIPH, MACC1, MAFG, MPZL2, MT1F, MT1H, MT1P2, NELL2, ODZ1, RAG2, ROS1, SERPINA1, SERPINA2, SLC34A2, TCFL5, TIMP1, TPO, ZMAT4, ADAMTS9, ALDH1B1, ALDH6A1, ANO5, APOO, C10orf72, C11orf74, C14orf45, C2orf40, C4A, C4B, C5orf28, C6orf174, CAMK2N1, CCDC121, CCND1, CDH3, CITED1, COPZ2, CPNE3, CRABP2, CSGALNACT1, DAPK2, DLC1, ECE1, EIF2B2, EMP2, ERBB2, FAM82B, FIBIN, FLJ42258, FRMD3, HEY2, HRASLS, ID3, IGF2BP2, IGSF1, IKZF2, ITGA9, KIAA0408, KIAA1305, LMO3, MATN2, MDK, MET, METTL7B, MFGE8, MGC2889, MIS12, NAV2, NCAM1, NIPSNAP3A, NIPSNAP3B, NOD1, NTAN1, NUCB2, NUPR1, PCMTD1, PIGN, PLAG1, PSAT1, PXDNL, QTRT1, RG9MTD2, RXRG, SDC4, SLC35D2, SLC7A11, SMAD9, SPRY1, STEAP2, TASP1, TCF7L2, TMEM171, TNFRSF11B, TNFRSF12A, TRPC5, TXNL1, WDR72, YIPF1, ZCCHC12, ZCCHC16.

10

20

30

【 0 1 8 2 】

(ii) リスト5 : FC垂型 (n = 102)

TCID-3124344, ABCC3, ANGPTL1, AVPR1A, C8orf39, CD2, CD36, CD48, CD52, CKB, CLDN1, CLDN16, CRABP1, CXCL9, DIO1, DLG2, DNASE1L3, DPH3B, DYNLT1, EIF4H, ERO1LB, F8, FABP4, FBLN5, FLJ26056, FXYD6, FYB, GLIS3, GULP1, GZMA, GZMK, HK1, HLA-DPB1, IFITM1, IGFBP7, IGJ, IGK@, IGKC, IGKV1-5, IGKV3-15, IGKV3-20, IGKV3D-11, IGKV3D-15, IPCEF1, KHDRBS2, KLHDC8A, KLRC4, KLRK1, LAMB1, LCP1, LIFR, LOC100130100, LOC100131869, LOC26080, LOC284861, LOC439911, LOC440871, LOC650405, LOC652493, LOC652694, LOC653264, LOC728212, LOC729461, LYZ, MAGOH2, MAPK4, MT1F, MT1H, MT1P2, NEB, ODZ1, PLA2G7, POR, PRMT6, PSMB2, PTPRC, RAG2, RNASE1, RNASET2, RPL9P11, RRAS2, RRBP1, RYR2, SCP2, SERGEF, SGPP2, SH3BGR, SLC25A33, SLC26A4, SQLE, STK32A, TCFL5, TFCP2L1, TIAM2, TIMP3, TMEM220, TPO, TRPC6, TSSC1, VAMP1, ZFPM2, ZNF487.

40

【 0 1 8 3 】

50

(iii) リスト6 : LCT垂型 (n = 140)

ADAMTS9, AIM2, APOBEC3F, APOBEC3G, ARHGAP19, ATP13A4, BAG3, BCL2A1, BIRC5, BLNK, C10orf72, C11orf72, C12orf35, C4orf7, C6orf168, CALCA, CARD17, CARD8, CASP1, CCL19, CCND1, CD180, CD2, CD3D, CD48, CD52, CD79A, CD96, CEP110, CHGB, CLDN16, CLEC2B, CNN2, COL12A1, CR2, CXCL13, CXCL9, CYTH1, DENND4A, DNAJB14, DOCK8, DPYD, DUOX1, DUOX2, DUOXA1, DUOXA2, DUSP6, DYNC1I2, EGF, EPDR1, EPR1, EPS8, ETS1, FLJ42258, FYB, GABBR2, GABRB2, GALNT7, GBP5, GIMAP2, GIMAP5, GIMAP7, GPR155, GPR174, GTF3A, GZMA, GZMK, HIST1H3B, HIST1H4L, HLA-DPB1, HNRNPM, IFI16, IFITM1, IFNAR2, IGF2BP2, IGJ, IGK@, IGKC, IGKV1-5, IGKV3-15, IGKV3-20, IGKV3D-11, IGKV3D-15, IKZF3, IL7R, ITM2A, JAK2, KBTBD8, KLHL6, KLRC4, KLRG1, KLRK1, KYNU, LCP1, LIPH, LOC100130100, LOC100131490, LOC440871, LOC646358, LOC650405, LOC652493, LOC652694, LONRF2, LYZ, MED13L, METTL7B, MPZL2, MTIF3, NAV2, ND1, NFATC3, ODZ1, PAPSS2, PROS1, PSD3, PTPRC, PYGL, PYHIN1, RAD23B, RGS13, RIMS2, RRM2, SCG3, SLIT1, SP140, SP140L, SPC25, ST20, ST3GAL5, STAT4, STK32A, TC2N, TLE4, TNFAIP8, TNFRSF17, TNFSF10, TOX, UCHL5, ZEB2, ZNF143.

10

20

【 0 1 8 4 】

(iv) リスト7 : FVPTC垂型 (n = 182)

ABCC3, ADAMTS9, AIDA, ALDH1B1, ALDH6A1, ANK2, ANO5, APOL1, APOO, AQP4, ATP13A4, BMP8A, C10orf72, C11orf72, C11orf74, C12orf35, C14orf45, C2orf40, C4A, C4B, C5orf28, C6orf174, C8orf79, CAMK2N1, CCDC121, CCND1, CCND2, CD36, CDH3, CITED1, CLDN1, CLDN16, CLDN4, CLEC2B, CLU, COPZ2, CPNE3, CRABP2, CSGALNACT1, CST6, CWH43, CYSLTR2, DAPK2, DCAF17, DIO1, DIRAS3, DLC1, DOCK9, DPH3B, DUOX1, DUOX2, DUOXA1, DUOXA2, DUSP6, ECE1, EIF2B2, EMP2, ERBB2, ERO1LB, ESRRG, FABP4, FAM82B, FAT4, FIBIN, FLJ42258, FN1, FRMD3, GABBR2, GABRB2, GIMAP2, GIMAP7, GPR155, GPR98, GTF3A, GZMA, GZMK, HEY2, HRASLS, ID3, IGF2BP2, IGFBP6, IGSF1, IKZF2, IKZF3, ITGA9, JAK2, KIAA0284, KIAA0408, KIAA1217, KIAA1305, KIT, KLRC4, KLRK1, KRT19, LGALS3, LIFR, LIPH, LMO3, LOC100131490, LOC100131993, LRP1B, LRP2, MACC1, MAFG, MAPK6, MATN2, MDK, MET, METTL7B, MFGE8, MGC2889, MIS12, MPPED2, MPZL2, MT1F, MT1G, MT1H, MT1P2, MTIF3, NAV2, NCAM1, NELL2, NFATC3, NIPSNAP3A, NIPSNAP3B, NOD1, NRCAM, NTAN1, NUCB2, NUPR1, ODZ1, PCMTD1, PDE5A, PIGN, PKHD1L1, PLA2R1, PLAG1, PLSCR4, PRINS, PSAT1, PXDNL, QTRT1, RAG2, RCBTB2, RG9MTD2, ROS1, RPS6KA6, RXRG, SALL1, SCG5, SDC4, SERPINA1, SERPINA2, SLC26A4, SLC34A2, SLC35D2, SLC7A11, SMAD9, SPRY1, ST3GAL5, STEAP2, STK32A, TASP1, TCF7L2, TCFL5, TIMP1, TMEM171, TMEM215, TNFAIP8, TNFRSF11B, TNFRSF12A, TNFSF10, TPO, TRPC5, TXNL1, UCHL5, WDR72, YIPF1, ZCCHC12, ZCCHC16, ZMAT4, ZYG11A.

30

40

【 0 1 8 5 】

(v) リスト8 : PTC垂型 (n = 604)

TCID-3153400, TCID-3749600, ABCC3, ABTB2, ACBD7, ACSL1, ACTA2, ADAMTS5, ADAMTS9, ADK, AGR2, AHNAK2, AHR, AIDA, AK1, ALAS2, ALDH1A3, ALOX5, AMIGO2, AMOT, ANK2, ANXA1, ANXA2, ANXA2P1, ANXA3, AOA, AP3S1, APOL1, AQP9, ARHGAP24, ARL13B, ARL4A, ARMCX3, ARMCX6, ARNTL, ASAP2, ATIC, ATP13A4, ATP13A4, B3GNT3, BCL9, BHLHE40, BHLHE41, BMP8A, BTBD11, BTG3, C11orf72, C11orf80, C12orf49, C16orf45, C19orf33, C1orf115, C1orf116, C2, C2orf40, C3, C4A, C4B, C4orf34, C6orf168, C6orf174, C7orf62, C8orf4, C8orf79, CA11, CADM1, CAMK2N1, CAND1, CAV1, CAV2, CCDC109B, CCDC121, CCDC148, CCDC80, CCL13, CCND1, CCND2, CD151, CD200, CD36, CDCP1, CDH11, CDH3, CDH6, CDK2, CDKL2, CDO1, CDON, CDR1, CFB, CFH, CFHR1,

CFI, CHAF1B, CHD4, CHI3L1, CITED1, CKS2, CLC, CLDN1, CLDN10, CLDN16, CLDN4, CLDN7, CLEC4E, CLU, CNN3, COL1A1, CP, CRABP1, CRABP2, CSF3R, CST6, CTNNAL1, CTNNB1, CTSC, CTSH, CTTN, CXCL1, CXCL14, CXCL17, CXCL2, CXCL3, CXorf18, CXorf27, CYP1B1, CYSLTR2, DAPK2, DCBLD2, DCUN1D3, DDAH1, DDB2, DDX52, DGKH, DGKI, DHRS1, DHRS3, DIO1, DIRAS3, DLC1, DOCK9, DPP4, DPYSL3, DSG2, DSP, DST, DUSP4, DUSP5, DUSP6, DZIP1, ECE1, EDNRB, EGFR, EHBP1, EHD2, EHF, ELK3, ELMO1, EMP2, EMR3, ENAH, ENDOD1, EPB41, EPHA4, EPHX4, EPS8, ERBB3, ERI2, ERP27, ESRRG, ETNK2, ETV1, ETV5, F2RL2, FAAH2, FABP4, FAM111A, FAM111B, FAM164A, FAM176A, FAM20A, FAM55C, FAM84B, FBXO2, FBXO21, FCN1, FCN2, FGF2, FGFR1OP2, FLJ20184, FLJ32810, FLJ42258, FLRT3, FN1, FPR1, FPR2, FRMD3, FZD4, FZD6, FZD7, G0S2, GABBR2, GABRB2, GADD45A, GALE, GALNT12, GALNT3, GALNT7, GBP1, GBP3, GGCT, GLDN, GNG12, GOLT1A, GPAM, GPR110, GPR110, GPR125, GPR98, GPRC5B, GRAMD3, GSN, GYPB, GYPC, GYPE, HEMGN, HEY2, HIGD1A, HIST1H1A, HLA-DQB2, HLF, HMGA2, HPN, HSPH1, ICAM1, IGF2BP2, IGFBP5, IGFBP6, IGSF1, IKZF3, IL1RAP, IL1RL1, IL8RA, IL8RB, IL8RB, IL8RBP, IL8RBP, IMPDH2, INPP5F, IPCEF1, IQGAP2, ITGA2, ITGA3, ITGA9, ITGB1, ITGB6, ITGB8, ITPR1, JUB, KAL1, KATNAL2, KCNK5, KCNQ3, KCTD14, KDELC1, KDELR3, KHDRBS2, KIAA0284, KIAA0408, KIAA1217, KIT, KLF8, KLK10, KLK7, KRT18, KRT19, LAMB3, LAMC1, LAMC2, LCA5, LCMT1, LCN2, LDOC1, LEMD1, LGALS3, LILRA1, LILRB1, LIMA1, LINGO2, LIPH, LMO3, LMO4, LOC100124692, LOC100127974, LOC100129112, LOC100129115, LOC100129171, LOC100129961, LOC100130248, LOC100131102, LOC100131490, LOC100131938, LOC100132338, LOC100132764, LOC283508, LOC440434, LOC554202, LOC643454, LOC648149, LOC653354, LOC653498, LOC730031, LONRF2, LOX, LPAR5, LPL, LRP1B, LRP2, LRRC69, LRRN1, LUM, LYRM1, MACC1, MAFG, MAMLD1, MAP2, MAPK6, MATN2, MBOAT2, MCM4, MCM7, MDK, MED13, MET, METTL7B, MEX3C, MFGE8, MGAM, MGAT4C, MGST1, MLLT4, MMP16, MMP16, MNDA, MORC4, MPPED2, MPZL2, MRPL14, MT1F, MT1G, MT1H, MT1M, MT1P2, MT1P3, MTHFD1L, MUC1, MUC15, MVP, MXRA5, MYEF2, MYH10, MYO1B, MYO1D, MYO6, NAB2, NAE1, NAG20, NCKAP1, NDFIP2, NEDD4L, NELL2, NEXN, NFE2, NFIB, NFKBIZ, NIPAL3, NOD1, NPC2, NPEPPS, NPY1R, NRCAM, NRIP1, NRP2, NT5E, NUDT6, OCIAD2, OCR1, ODZ1, OSGEP, OSMR, P2RY13, P4HA2, PAM, PARP14, PARP4, PARVA, PBX1, PDE5A, PDE9A, PDGFRL, PDLIM1, PDLIM4, PDZRN4, PEG10, PERP, PHEX, PHF16, PHLDB2, PHYHIP, PKHD1L1, PKP4, PLA2G16, PLA2R1, PLAG1, PLAUI, PLCD3, PLEKHA4, PLEKHA5, PLK2, PLP2, PLS3, PLXNC1, PMEPA1, PON2, PPARGC1A, PPBP, PPL, PPP1R14C, PRICKLE1, PRINS, PROK2, PROS1, PRR15, PRRG1, PRSS23, PSD3, PTPN14, PTPRE, PTPRF, PTPRG, PTPRK, PTRF, QTRT1, RAB25, RAB27A, RAB34, RAD23B, RAG2, RAI2, RAPGEF5, RARG, RASA1, RASD2, RBBP7, RBBP8, RBMS2, RCE1, RDH5, RGS18, RGS2, RHOU, RND3, ROS1, RPL39L, RPRD1A, RPS6KA6, RRAS, RUNX1, RUNX2, RXRG, S100A12, S100A14, S100A16, S100A8, S100A9,

10

20

30

40

SALL1, SAV1, SC4MOL, SCARA3, SCARNA11, SCEL, SCG5, SCNN1A, SCRNI, SDC4, SEH1L, SEL1L3, SELL, SEMA3D, SEPT11, SERINC2, SERPINA1, SERPINA2, SERPINE2, SERPING1, SFN, SFTPFB, SGCB, SGCE, SGEF, SGMS2, SH2D4A, SH3PXD2A, SIRPA, SIRPB1, SLA, SLC12A2, SLC16A4, SLC17A5, SLC24A5, SLC26A4, SLC26A7, SLC27A2, SLC27A6, SLC34A2, SLC35F2, SLC39A6, SLC4A4, SLC5A8, SLC7A2, SLIT2, SLPI, SMOC2, SMURF2, SNCA, SNX1, SNX22, SNX7, SORBS2, SPATS2, SPATS2L, SPINT1, SPRED2, SPRY1, SPRY2, SRL, SSPN, ST3GAL5, STK32A, SULF1, SYNE1, SYT14, SYTL5, TACSTD2, TBC1D3F, TDRKH, TEAD1, TEAD1, TFCP2L1, TFF3, TGFA, TGFB2, TGFBR1, TIMP1, TIPARP, TJP1, TJP2, TLCD1, TLR8, TM4SF1, TM4SF4, TM7SF4, TMEM100, TMEM117, TMEM133, TMEM163, TMEM215, TMEM90A, TMEM98, Tmprss4, TMSB10, TNC, TNFRSF12A, TNFSF15, TOMM34, TPD52L1, TPO, TRIP10, TRPC5, TSC22D1, TSPAN13, TSPAN6, TUBB1, TUBB6, TULP3, TUSC3, TYMS, VNN2, VNN3, WDR40A, WDR54, WNT5A, XKRX, XPR1, YIF1B, YTHDC2, ZBTB33, ZCCHC12, ZCCHC16, ZFP36L1, ZMAT3, ZMAT4, ZNF643, ZNF804B.

10

【 0 1 8 6 】

(vi) リスト9 : NHP亜型 (n = 653)

20

GRAMD3, GSN, GYPB, GYPC, GYPE, HEMGN, HEY2, HIST1H1A, HLA-DQB2, HMGA2,
 HMMR, HPN, HSD17B6, HSPH1, ICAM1, IGFBP5, IGFBP6, IGSF1, IKZF2, IL1RL1, IL2RA, IL8,
 IL8RA, IL8RB, IL8RB, IL8RBP, IL8RBP, IMPDH2, INPP5F, IPCEF1, IQGAP2, ITGA2, ITGA3,
 ITGA9, ITGB1, ITGB6, ITGB8, ITPR1, JUB, KAL1, KCNK5, KCNQ3, KCTD14, KDELC1,
 KDELR3, KHDRBS2, KIAA0284, KIAA0408, KIAA1217, KIF11, KIT, KLF8, KLK10, KLK7,
 KRT18, KRT19, LAMB3, LAMC1, LAMC2, LCA5, LCMT1, LCN2, LDOC1, LEMD1, LGALS3,
 LILRA1, LILRB1, LIMA1, LINGO2, LIPH, LMO3, LMO4, LOC100124692, LOC100127974, 10
 LOC100129112, LOC100129115, LOC100129171, LOC100129961, LOC100130248,
 LOC100131102, LOC100131490, LOC100131938, LOC100131993, LOC100132338,
 LOC100132764, LOC283508, LOC440434, LOC554202, LOC643454, LOC648149, LOC653354,
 LOC653498, LOC730031, LONRF2, LOX, LPAR1, LPAR5, LPL, LRP1B, LRP2, LRRC69,
 LRRN1, LUM, LYRM1, MACC1, MAFG, MAMLD1, MAP2, MAPK6, MATN2, MBOAT2,
 MCM4, MCM7, MDK, ME1, MED13, MELK, MET, METTL7B, MEX3C, MFGE8, MGAM,
 MGAT1, MGAT4C, MGST1, MKI67, MLLT4, MMP16, MMP16, MNDA, MORC4, MPPED2,
 MPZL2, MRPL14, MT1F, MT1G, MT1H, MT1M, MT1P2, MT1P3, MTHFD1L, MUC1, MUC15, 20
 MVP, MXRA5, MYEF2, MYH10, MYO1B, MYO1D, MYO5A, MYO6, NAB2, NAE1, NAG20,
 NAV2, NCKAP1, NDC80, NDFIP2, NEDD4L, NELL2, NEXN, NFE2, NFIB, NIPAL3, NOD1,
 NPC2, NPEPPS, NPL, NPY1R, NRCAM, NRIP1, NRP2, NT5E, NUCB2, NUDT6, NUSAP1,
 OCIAD2, OCR1, ODZ1, ORAOV1, OSBPL1A, OSGEP, OSMR, P2RY13, P4HA2, PAM, PAPSS2,
 PARP4, PARVA, PBX1, PDE5A, PDE9A, PDGFRL, PDLIM1, PDLIM4, PDZRN4, PEG10, PERP,
 PGCP, PHEX, PHF16, PHLDB2, PHYHIP, PKHD1L1, PKP4, PLA2G16, PLA2G7, PLA2R1,
 PLAG1, PLAU, PLCD3, PLCL1, PLEKHA4, PLEKHA5, PLK2, PLS3, PLSCR4, PMEPA1, PON2,
 PPARGC1A, PPBP, PPL, PPP1R14C, PRCP, PRICKLE1, PRINS, PROK2, PROS1, PRR15, 30
 PRRG1, PRSS23, PSD3, PSD3, PTPN14, PTPRE, PTPRF, PTPRG, PTPRK, PTRF, QTRT1,
 RAB25, RAB27A, RAB32, RAB34, RAD23B, RAG2, RAI2, RAPGEF5, RARG, RASA1, RASD2,
 RBBP7, RBBP8, RBMS2, RCBTB2, RCE1, RDH5, RGS18, RGS2, RHOU, RND3, ROS1, RPL39L,
 RPRD1A, RPS6KA6, RRAS, RXRG, S100A12, S100A14, S100A16, S100A8, S100A9, SALL1,
 SAV1, SC4MOL, SCARA3, SCARNA11, SCEL, SCG5, SCNN1A, SCRNI, SDC4, SEH1L, SELL,
 SEMA3C, SEMA3D, SEPT11, SERINC2, SERPINA1, SERPINA2, SERPINE2, SERPING1, SFN,
 SFTPB, SGCB, SGCE, SGEF, SGMS2, SH2D4A, SH3PXD2A, SIRPA, SIRPB1, SLA, SLC12A2, 40
 SLC16A4, SLC16A6, SLC17A5, SLC24A5, SLC26A4, SLC26A7, SLC27A2, SLC27A6, SLC34A2,
 SLC35F2, SLC39A6, SLC4A4, SLC5A8, SLC7A11, SLC7A2, SLIT2, SLPI, SMOC2, SMURF2,
 SNCA, SNX1, SNX22, SNX7, SOAT1, SORBS2, SPATS2, SPATS2L, SPINT1, SPRED2, SPRY1,
 SPRY2, SRL, SSPN, ST3GAL5, STK32A, STXBP6, SULF1, SYNE1, SYT14, SYTL5, TACSTD2,
 TBC1D3F, TDRKH, TEAD1, TEAD1, TFCP2L1, TFF3, TFPI, TGFA, TGFB2, TGFB1, TIMP1,
 TIPARP, TJP1, TJP2, TLCD1, TLR8, TM4SF1, TM4SF4, TM7SF4, TMEM100, TMEM117,
 TMEM133, TMEM163, TMEM171, TMEM215, TMEM90A, TMEM98, TMPRSS4, TNC,

TNFRSF12A, TNFSF15, TOMM34, TPD52L1, TPO, TPX2, TRIP10, TRPC5, TSC22D1, TSPAN13, TSPAN6, TUBB1, TUBB6, TULP3, TUSC3, TXNRD1, TYMS, UCHL5, VNN1, VNN2, VNN3, WDR40A, WDR54, WIP1, WNT5A, XKRX, XPR1, YIF1B, YTHDC2, ZBTB33, ZCCHC12, ZCCHC16, ZFP36L1, ZMAT3, ZMAT4, ZNF643, ZNF804B, ZYG11A.

【 0 1 8 7 】

(vii) リスト10 : MTC垂型 (n = 48)

ANXA3, ATP13A4, BLNK, C10orf131, C6orf174, C8orf79, CALCA, CHGB, CP, CPE, DSG2, FREM2, GPR98, IGJ, IYD, KIAA0408, LOC100129171, LPCAT2, LRRC69, MACC1, MAPK6, MGAT4C, MGST1, MMP16, MT1G, MT1H, MT1M, MT1P2, MT1P3, MUC15, MYEF2, NT5E, PKHD1L1, PLS3, RBMS2, RIMS2, SCG3, SEMA3D, SLA, SLC24A5, SMOC2, SULF1, TOX, TSHZ2, TSPAN6, WDR72, ZFP36L1, ZNF208.

10

【 0 1 8 8 】

(viii) リスト11 : HC垂型 (n = 65)

AIM2, APOBEC3F, APOBEC3G, ARHGAP19, BAG3, BCL2A1, BMP8A, C9orf68, CARD17, CARD8, CASP1, CD3D, CD96, CEP110, CLEC2B, CNN2, CPE, CYTH1, DENND4A, DNAJB14, DOCK8, DPYD, DUOX1, DUOX2, DYNC1I2, EGF, EPDR1, ETS1, GBP5, GIMAP2, GIMAP5, GIMAP7, GPR174, GZMK, HNRNPM, HSD17B6, IFI16, IFNAR2, IKZF3, IL7R, ITM2A, JAK2, KCNAB1, KHDRBS2, KLRC4, KLRG1, KLRK1, KYNU, LOC646358, MED13L, ND1, NFATC3, PAPSS2, PGCP, PTPRC, PYHIN1, SLIT1, SP140, SP140L, ST20, STAT4, TC2N, TLE4, ZEB2, ZNF143.

20

【 0 1 8 9 】

(ix) リスト12 : HA垂型 (n = 24)

BCL2, CADM1, CAV1, CRABP1, CTNNA1, CYTH1, DIRAS3, IFITM1, IGFBP5, IGFBP6, LOX, MAP2, MATN2, MET, MKI67, MYO1B, ND1, NUCB2, SCG5, SCNN1A, SEL1L3, SGCE, TNFSF10, TRPC6.

30

【 0 1 9 0 】

(x) リスト13 : ATC垂型 (n = 12)

CASC5, CEP55, COL12A1, DLGAP5, HMMR, KIF11, MELK, MKI67, NDC80, NUSAP1, PYGL, TPX2.

【 0 1 9 1 】

甲状腺バイオマーカーの上位948個の優性遺伝子オントロジーを以下にリスト化する。

40

【 0 1 9 2 】

リスト14 : 血管形成 (n = 23)

ACTA2, ANXA2, ARHGAP24, CALCA, CAV1, CITED1, COL1A1, CXCL17, EGF, ELK3, IL8, LOX, PLCD3, PROK2, RASA1, SEMA3C, TCF7L2, TGFA, TGFB2, TIPARP, TNFRSF12A, ZFP36L1, ZFPM2.

【 0 1 9 3 】

リスト15 : アポトーシス (n = 43)

AHR, ANXA1, BAG3, BCL2, BCL2A1, BIRC5, C8orf4, CADM1, CD2, CLU, CTNNB1, DAPK2, DLC1, DNASE1L3, ECE1, ELMO1, FAM176A, FGF2, GADD45A, GULP1, GZMA, HIPK2, IL2RA, IL8RB, JAK2, NCKAP1, NOD1, NUPR1, PEG10, PERP, PROK2, RYR2, SLC5A8, STK17B, SULF1, TCF7L2, TGFB2, TNFAIP8, TNFRSF11B, TNFRSF12A, TNFSF10, VNN1, ZMAT3.

【 0 1 9 4 】

リスト16：細胞周期、転写因子 (n = 184)

AEBP1, AHR, AK1, ANXA1, APOBEC3F, APOBEC3G, ARHGAP24, ARNTL, ATM, BCL2, BHLHE40, BHLHE41, BIRC5, BMP1, BMP8A, CADM1, CAND1, CARD8, CASP1, CCND1, CCND2, CDK2, CEP110, CEP55, CHAF1B, CHD4, CITED1, CKS2, CLU, CRABP2, CSGALNACT1, CTNNB1, CXCL1, CXCL17, DENND4A, DLGAP5, DST, DZIP1, EGF, EHF, EIF2B2, EIF4H, ELK3, EMP2, EPS8, ERBB2, ERBB3, ESRRG, ETS1, ETV1, ETV4, ETV5, FABP4, FGF2, G0S2, GADD45A, GLDN, GLIS3, GTF3A, HEMGN, HEY2, HIPK2, HLF, HMGA2, HPN, ID3, IFI16, IFNAR2, IGSF1, IKZF2, IKZF3, IKZF4, IL2RA, IL8, ITPR1, JAK2, JUB, KHDRBS2, KIF11, KLF8, KLK10, KRT18, LGALS3, LIFR, LMO3, LMO4, LRP2, LTBP2, LTBP3, MACC1, MAFG, MAMLD1, MAPK4, MAPK6, MCM4, MCM7, MDK, MED13, MED13L, MIS12, MKI67, MLLT3, MNDA, MTIF3, MYH10, NAB2, NAE1, NDC80, NFATC3, NFE2, NFIB, NFKBIZ, NOD1, NPAS3, NPAT, NRIP1, NRP2, NUDT6, NUPR1, NUSAP1, OSMR, PARD6B, PARP14, PARP4, PBX1, PDLIM1, PEG10, PIAS3, PLAG1, POU2F3, PPARGC1A, PPBP, PRMT6, PROK2, PTRF, PYHIN1, RARG, RBBP7, RBBP8, RGS2, RHOH, RRM2, RUNX1, RUNX2, RXRG, SALL1, SEMA3D, SERPINE2, SLIT1, SLIT2, SMAD9, SMURF2, SP140, SPC25, SPOCK1, STAT4, SYNE1, TACSTD2, TCF7L2, TCFL5, TEAD1, TFCP2L1, TGFA, TGFB2, TGFB1, TLE4, TNFAIP8, TNFRSF12A, TNFRSF17, TPX2, TSC22D1, TSHZ2, TULP3, TYMS, WNT5A, ZBTB33, ZCCHC12, ZEB2, ZFP36L1, ZFPM2, ZNF143, ZNF208, ZNF487, ZNF643.

10

20

30

【 0 1 9 5 】

リスト17：細胞膜 (n = 410)

ABCC3, ABCD2, ACSL1, ADAMTS5, ADAMTS9, ADORA1, AFAP1, AK1, ALOX5,
 AMIGO2, ANK2, ANO5, AP3S1, APOL1, APOO, AQP4, AQP9, ARM CX3, ARM CX6, ASAP2,
 ATP13A4, ATP6V0D2, ATP8A1, AVPR1A, B3GNT3, BCL2, BLNK, BTBD11, C10orf72,
 C17orf87, C1orf15, C4orf34, C5orf28, C6orf174, CADM1, CAMK2N1, CAV1, CAV2,
 CCDC109B, CD151, CD180, CD2, CD200, CD36, CD3D, CD48, CD48, CD52, CD69, CD79A,
 CD96, CDCP1, CDH11, CDH3, CDH6, CDON, CFB, CFI, CHI3L1, CLDN1, CLDN10, CLDN16,
 CLDN4, CLDN7, CLEC2B, CLEC4E, COL12A1, COL1A1, COPZ2, CP, CPE, CR2, CSF3R,
 CSGALNACT1, CTNNAL1, CTNNB1, CWH43, CYP1B1, CYP27A1, CYP4B1, CYSLTR1, 10
 CYSLTR2, CYTH1, DCAF17, DCBLD2, DHRS3, DIO1, DIRAS3, DLG2, DLG4, DNAJB14,
 DOCK9, DPP4, DPYSL3, DSG2, DUOX1, DUOX2, DUOXA1, DUOXA2, ECE1, EDNRB,
 EFEMP1, EGF, EGFR, EHBP1, EHD2, ELMO1, EMP2, EMR3, ENTPD1, EPB41, EPHA4, EPHX4,
 ERBB2, ERBB3, ERO1LB, F2RL2, F8, FAAH2, FAM176A, FAM84B, FAT4, FBLN5, FLRT3,
 FN1, FPR1, FPR2, FREM2, FRMD3, FXSD6, FZD4, FZD6, FZD7, GABBR2, GABRB2,
 GALNT12, GALNT3, GALNT7, GBP1, GBP3, GBP5, GIMAP2, GIMAP5, GJA4, GLDN, GNG12,
 GOLT1A, GPAM, GPR110, GPR125, GPR155, GPR174, GPR98, GPRC5B, GYPB, GYPC, GYPE,
 HIGD1A, HK1, HLA-DPB1, HNRNPM, HPN, HSD17B6, ICAM1, IFITM1, IFNAR2, IGSF1, 20
 IL1RAP, IL1RL1, IL2RA, IL7R, IL8RA, IL8RB, IPCEF1, ITGA2, ITGA3, ITGA4, ITGA9, ITGB1,
 ITGB4, ITGB6, ITGB8, ITM2A, ITPR1, IYD, JAK2, JUB, KAL1, KCNA3, KCNAB1, KCNK5,
 KCNQ3, KCTD14, KDELR3, KIAA1305, KIT, KLRB1, KLRC4, KLRG1, KLRK1, LAMB1,
 LAMC1, LEMD1, LGALS3, LIFR, LILRA1, LILRB1, LINGO2, LIPH, LPAR1, LPAR5, LPCAT2,
 LPL, LRP1B, LRP2, LRRN1, LRRN3, LUM, MATN2, MBOAT2, MET, MFGE8, MGAM, MGAT1,
 MGAT4C, MGST1, MMP16, MPZL2, MRC2, MUC1, MUC15, MYH10, MYO6, NAE1, NCAM1,
 NCKAP1, ND1, NDFIP2, NIPAL3, NPY1R, NRCAM, NRP2, NT5E, NUCB2, ODZ1, OSMR,
 P2RY13, PAM, PARD6B, PARP14, PARVA, PCDH1, PCNXL2, PERP, PHEX, PHLDB2, PIGN, 30
 PKHD1L1, PKP2, PLA2G16, PLA2R1, PLAU, PLCD3, PLEK, PLEKHA4, PLP2, PLSCR4,
 PLXNC1, PMEPA1, PON2, POR, PPAP2C, PPL, PPP1R14C, PRICKLE1, PRRG1, PSD3, PTK7,
 PTPRC, PTPRE, PTPRF, PTPRG, PTPRK, PTPRU, PTRF, RAB25, RAB27A, RARG, RASA1,
 RASD2, RCE1, RDH5, RGS13, RHOH, RHOH, RIMS2, RND3, ROS1, RRAS, RRAS2, RRPB1,
 RYR2, S100A12, SC4MOL, SCARA3, SCEL, SCNN1A, SDC4, SDK1, SEL1L3, SELL, SEMA3C,
 SEMA3D, SEMA4C, SERINC2, SERPINA1, SGCB, SGCE, SGMS2, SGPP2, SIRPA, SIRPB1,
 SLC12A2, SLC16A4, SLC16A6, SLC17A5, SLC24A5, SLC25A33, SLC26A4, SLC26A7,
 SLC27A2, SLC27A6, SLC34A2, SLC35D2, SLC35F2, SLC39A6, SLC4A4, SLC5A8, SLC7A11, 40
 SLC7A2, SMURF2, SNCA, SNX1, SOAT1, SPINT1, SPOCK1, SPRED2, SPRY1, SPRY2, SQLE,
 SSPN, ST3GAL5, STEAP2, STXB6, SYNE1, SYT14, SYTL5, TACSTD2, TFCP2L1, TFF3, TFPI,
 TGFA, TGFB2, TGFBR1, TIMP1, TJP1, TJP2, TLCD1, TLR10, TLR8, TM4SF1, TM4SF4,
 TM7SF4, TMEM100, TMEM117, TMEM133, TMEM156, TMEM163, TMEM171, TMEM215,
 TMEM220, TMEM90A, TMEM98, TMPRSS4, TNC, TNFRSF11B, TNFRSF12A, TNFRSF17,
 TNFSF10, TNFSF15, TOMM34, TPO, TRIP10, TRPC5, TRPC6, TSPAN13, TSPAN6, TSPAN8,
 TULP3, TUSC3, VAMP1, VNN1, VNN2, VNN3, WNT5A, XKRX, XPR1, YIF1B, YIPF1, ZBTB33.

リスト18：稀少膜成分 (n = 55)

AMOT, ANXA1, ANXA2, CALCA, CAMK2N1, CAV1, CAV2, CCDC80, CLU, CST6, CTNNB1, CTTN, DLC1, DPP4, DSG2, DSP, DST, ENAH, GJA4, HIPK2, ITGB1, ITGB4, JAK2, JUB, KRT19, LCP1, LRP2, MYH10, MYO5A, MYO6, NEB, PARVA, PCDH1, PERP, PKP2, PKP4, PLEK, PPL, PTRF, RAB34, RASA1, RYR2, SCEL, SGCB, SGCE, SLC27A6, SLIT1, SPRY1, SRL, SSPN, SYNE1, TGFB2, TIAM2, TJP1, TNFRSF12A.

【 0 1 9 7 】

10

リスト19：細胞間接着 (n = 85)

AEBP1, AFAP1, AMIGO2, ARHGAP24, BCL2, CADM1, CALCA, CD151, CD2, CD36, CD96, CDH3, CDH6, CDON, CLDN1, CLDN10, COL12A1, CSF3R, CTNNAL1, CTNNB1, DCBLD2, DLC1, DSG2, DST, EGFR, ENAH, ENTPD1, EPDR1, F8, FAT4, FBLN5, FLRT3, FN1, FPR2, FREM2, GPR98, ICAM1, IGFBP7, IL1RL1, ITGA2, ITGA3, ITGA4, ITGA9, ITGB1, ITGB4, ITGB6, ITGB8, JUB, KAL1, LAMB1, LAMB3, LAMC1, LAMC2, LIMA1, MFGE8, MLLT4, MPZL2, NCAM1, NELL2, NRCAM, NRP2, PARVA, PCDH1, PERP, PKP2, PKP4, PLXNC1, PTK7, PTPRC, PTPRF, PTPRK, PTPRU, RHOU, RND3, SDK1, SELL, SGCE, SIRPA, SPOCK1, SPP1, SSPN, TJP1, TNC, TNFRSF12A, VNN1.

20

【 0 1 9 8 】

リスト20：細胞頂端膜 (n = 15)

ANK2, ATP6V0D2, CTNNB1, CTNNB1, DPP4, DUOX1, ERBB2, ERBB3, F2RL2, FZD6, LRP2, SCNN1A, SLC26A4, SLC34A2, TFF3.

【 0 1 9 9 】

リスト21：細胞側底膜、細胞側膜 (n = 28)

ANK2, ANXA1, ANXA2, CADM1, CCDC80, CTNNB1, CTTN, DSP, DST, EGFR, EPB41, ERBB2, ERBB3, FREM2, LAMB1, LAMB3, LAMC1, LAMC2, MET, MYH10, MYO6, PTPRK, SLC26A7, SMOC2, SNCA, TIMP3, TJP1, TRIP10.

30

【 0 2 0 0 】

リスト22：インテグリン (n = 14)

ADAMTS5, DST, FBLN5, ICAM1, ITGA2, ITGA3, ITGA4, ITGA9, ITGB1, ITGB4, ITGB6, ITGB8, MFGE8, PLEK.

【 0 2 0 1 】

40

リスト23：細胞間結合 (n = 40)

AMOT, ARHGAP24, ARHGAP24, CADM1, CAMK2N1, CLDN1, CLDN10, CLDN16, CLDN4, CLDN7, CNN2, DLG2, DLG4, DPYSL3, DSP, ENAH, GABBR2, GABRB2, GJA4, JUB, LIMA1, MLLT4, NCKAP1, NEXN, PARD6B, PARVA, PCDH1, PERP, PPL, PSD3, PTPRK, PTPRU, RHOU, RIMS2, SH3PXD2A, SSPN, TGFB2, TJP1, TJP2, VAMP1.

【 0 2 0 2 】

リスト24：細胞表面 (n = 17)

CD36, DCBLD2, DPP4, GPR98, HMMR, IL1RL1, IL8RB, ITGA4, ITGB1, KAL1, MMP16, PTPRK, SDC4, SULF1, TGFA, TM7SF4, TNFRSF12A.

【 0 2 0 3 】

リスト25：細胞外空間 (n = 156)

ADAMTS5, ADAMTS9, AEBP1, AGR2, ANGPTL1, ANXA2, APOL1, APOO, BMP1, BMP8A, C12orf49, C2, C2orf40, C3, C4A, C4B, C4orf7, CA11, CALCA, CCDC80, CCL13, CCL19, CDCP1, CFB, CFH, CFHR1, CFI, CHGB, CHI3L1, CLU, COL12A1, COL1A1, CP, CPE, CSF3R, CST6, CXCL1, CXCL11, CXCL13, CXCL14, CXCL17, CXCL2, CXCL3, CXCL9, DPP4, EFEMP1, EGF, EGFR, EMR3, ENDOD1, EPDR1, ERBB3, F8, FAM20A, FAM55C, FBLN5, FCN1, FCN2, FGF2, FIBIN, FN1, FXVD6, GLA, GSN, GZMA, GZMK, ICAM1, IFNAR2, IGFBP5, IGFBP6, IGFBP7, IGJ, IGKC, IGKV1-5, IGKV3-20, IGKV3D-11, IGSF1, IL1RAP, IL1RL1, IL7R, IL8, KAL1, KIT, KLK10, KLK7, LAMB1, LAMB3, LAMC1, LAMC2, LCN2, LIFR, LIPH, LOC652694, LOX, LPL, LTBP2, LTBP3, LUM, LYZ, MATN2, MDK, MFGE8, MMP16, MUC1, MUC15, MXRA5, NCAM1, NELL2, NPC2, NUCB2, ODZ1, PAM, PDGFRL, PGCP, PLA2G7, PLA2R1, PLAU, PON2, PPBP, PROK2, PROS1, PRRG1, PRSS23, PXDNL, RNASE1, RNASET2, SCG3, SCG5, SEMA3C, SEMA3D, SEPP1, SERPINA1, SERPINE2, SERPING1, SFN, SFTPB, SLIT1, SLIT2, SLPI, SMOC2, SPINT1, SPOCK1, SPP1, SULF1, TFF3, TFPI, TGFA, TGFB2, THSD4, TIMP1, TIMP3, TNC, TNFRSF11B, TNFSF10, TNFSF15, WNT5A.

10

20

【 0 2 0 4 】

リスト26：細胞骨格 (n = 94)

ACTA2, ADORA1, AFAP1, AMOT, ANK2, ANXA2, AP3S1, ARHGAP24, ATM, ATP8A1, BCL2, BIRC5, C2orf40, CASC5, CLU, CNN2, CNN3, COL12A1, COL1A1, COPZ2, CTNNA1, CTNNB1, CTTN, CXCL1, DLG4, DLGAP5, DPYSL3, DST, DYNC1I2, DYNL1, EGFR, ELMO1, ENAH, EPB41, EPS8, FAM82B, FRMD3, GPRC5B, GSN, GYPC, IGF2BP2, IQGAP2, JAK2, JUB, KATNAL2, KIAA0284, KIF11, KRT18, LCA5, LCP1, LIMA1, LOX, LUM, MAP2, MPZL2, MYH10, MYO1B, MYO1D, MYO5A, MYO6, NEB, NEXN, NFE2, NUSAP1, PARVA, PDLIM1, PKP2, PLEK, PLS3, PPL, PTPN14, RHOA, RND3, S100A9, SCNN1A, SDC4, SGCB, SGCE, SNCA, SORBS2, SPRED2, SPRY2, STK17B, SYNE1, TGFB2, TGFB1, TMSB10, TMSB15A, TPX2, TRIP10, TUBB1, TUBB6, VAMP1, WIP1.

30

【 0 2 0 5 】

いくつかの態様において、本発明は、以下の工程を含む、癌を分類する方法を提供する：遺伝子発現産物を含む生物学的試料を得る工程；該生物学的試料の一つまたは複数の遺伝子発現産物について発現レベルを測定する工程；および、該遺伝子発現レベルが、該生物学的試料における甲状腺癌の存在を示す場合、癌性として該生物学的試料を同定する工程。これは、遺伝子発現レベルを、生物学的試料における甲状腺癌の存在と相関させることによりなされ得る。一つの態様において、遺伝子発現産物は、表2にリスト化された一つまたは複数の遺伝子から選択される。いくつかの態様において、該方法は、指定された信頼水準で、生物学的試料と対照試料との間に遺伝子発現レベルの差が存在する場合に、非甲状腺器官から甲状腺へ転移した癌について陽性として該生物学的試料を同定する工程をさらに含む。

40

50

【0206】

非甲状腺器官から甲状腺への転移に關与するバイオマーカーが提供される。甲状腺に転移し、本発明の方法を使用して診断され得る、そのような転移性癌には、転移性副甲状腺癌、転移性黒色腫、転移性腎癌、転移性乳癌、および転移性B細胞リンパ腫が含まれるが、これらに限定されない。甲状腺への転移を診断するため本発明の方法により使用される例示的なバイオマーカーは、表2にリスト化される。

【0207】

(表2) 甲状腺への転移に關与するバイオマーカー

転移の型	遺伝子の数	遺伝子
甲状腺への 非甲状腺転移の 上位バイオマーカー	73	ACADL, ATP13A4, BIRC5, BTG3, C2orf40, C7orf62, CD24, CHEK1, CP, CRABP1, CXADR, CXADRP2, DIO1, DIO2, EPCAM, EPR1, GPX3, HSD17B6, IQCA1, IYD, KCNJ15, KCNJ16, KRT7, LMO3, LOC100129258, LOC100130518, LPCAT2, LRRC2, LRRC69, MAL2, MAPK6, MGAT4C, MGC9913, MT1F, MT1G, MT1H, MT1P2, MUC15, NEBL, NPNT, NTRK2, PAR1, PCP4, PDE1A, PDE8B, PKHD1L1, PLS3, PVRL2, PVRL3, RGN, RPL3, RRM2, SCD, SEMA3D, SH3BGRL2, SLC26A4, SLC26A7, SNRPN, SPC25, SYT14, TBCKL, TCEAL2, TCEAL4, TG, TPO, TSHR, WDR72, ZBED2, ZNF208, ZNF43, ZNF676, ZNF728, ZNF99
甲状腺への 副甲状腺転移	101	TCID-2688277, ACSL3, ACTR3B, ADAM23, ADH5, ARP11, AS3MT, BANK1, C10orf32, C11orf41, C2orf67,

10

20

		<p>C7orf62, C8orf34, CA8, CASR, CD109, CD226, CD24, CD44, CDCA7L, CHEK1, CLDN1, CP, DIO2, DMRT2, DNAH11, DPP4, ELOVL2, ENPEP, EPHA7, ESRRG, EYA1, FMN2, GCM2, GPR160, GPR64, HSD17B6, ID2, ID2B, IYD, KIDINS220, KIF13B, KL, LGI2, LMO3, LOC100131599, LOC150786, LPL, LRRC69, MAPK6, MGST1, MT1F, MT1G, MT1H, MT1P2, MUC15, NAALADL2, NPNT, OGN, PDE8B, PEX5L, PKHD1L1, PLA2G4A, PLCB1, PRLR, PTH, PTN, PTPRD, PTTG1, PTTG2, PVALB, PVRL2, RAB6A, RAB6C, RAPGEF5, RARRES2, RGN, RNF217, RPE, SACS, SEMA3D, SGK1, SLA, SLC15A1, SLC26A4, SLC26A7, SLC7A8, SPOCK3, ST3GAL5, STXBP5, SYCP2L, TBCKL, TG, TNF2, TMEM167A, TPO, TSHR, TTR, WDR72, YAP1, ZBED2</p>	10
<p>甲状腺への 黒色腫転移</p>	190	<p>TCID-2840750, ABCB5, AHNAK2, ALX1, ANLN, AP1S2, APOD, ASB11, ATP13A4, ATP1B1, ATRNL1, AZGP1, BACE2, BAMBI, BCHE, BIRC5, BRIP1, BZW1, BZW1L1, C2orf40, C6orf218, C7orf62, CA14, CASC1, CCNB2, CD24, CDH19, CDK2, CDKN3, CENPF, CHRNA5, CP, CRABP1, DCT, DEPDC1, DIO1, DIO2, DLGAP5, DSCC1, DSP, EDNRB, EIF1AY, EIF4A1, ENPP1, EPCAM, EPR1, ESRP1, FABP7, FANCI, GAS2L3, GGH, GPM6B, GPNMB, GPR19, GPX3, GULP1, GYG2, HAS2, HEATR5A, HMCN1, HTN1, IL13RA2, IQCA1, IYD, KCNJ15, KCNJ16, KIAA0894, KIF23, KRT7, KRTAP19-1, LGALS1, LMO3, LOC100129171, LOC100129258, LOC100130275, LOC100130357, LOC100130518, LOC100131821, LOC145694, LOC653653, LRP2, LRRC69, LSAMP, LUM, MAL2, MAPK6, MGC87042, MITF, MLANA, MME, MND1, MOXD1, MSMB, MUC15, NDC80, NEBL, NLGN1, NOX4, NPNT, NTRK2, NUDT10, NUDT11, PAX3, PBK, PCP4, PDE3B, PDE8B, PI15, PIGA, PIR, PKHD1L1, PLP1, PLXNC1, POLG, POMGNT1, POPDC3, POSTN, PRAME, PRAMEL, PTPRZ1, PVRL2, PYGL, QPCT, RGN, RNF128, ROPN1, ROPN1B, RPL3, RPSA, RPSAP15, RPSAP58, S100B, SACS, SAMD12, SCD, SEMA3C, SERPINA3, SERPINE2, SERPINF1, SHC4, SILV, SLA, SLC16A1,</p>	20 30 40

		SLC26A4, SLC26A7, SLC39A6, SLC45A2, SLC5A8, SLC6A15, SNAI2, SNCA, SNORA48, SNORA67, SORBS1, SPC25, SPP1, SPRY2, SRPX, ST3GAL6, STEAP1, STK33, TBC1D7, TBCKL, TCEAL2, TCEAL4, TCN1, TF, TFAP2A, TG, TIMP2, TMSB15A, TMSB15B, TNFRSF11B, TOP2A, TPO, TPX2, TRPM1, TSHR, TSPAN1, TUBB4, TYR, TYRL, TYRP1, WDR72, ZBED2, ZNF208, ZNF43, ZNF676, ZNF728, ZNF99	
甲状腺への腎癌転移	130	TCID-2763154, ADFP, AKR1C3, ALPK2, APOL1, ASPA, ATP13A4, ATP8A1, BHMT, BHMT2, BICC1, BIRC3, C12orf75, C1S, C2orf40, C3, C7orf62, CA12, CDH6, CLRN3, CP, CYB5A, DAB2, DEFB1, DIO2, EFNA5, EGLN3, EIF1AY, ENPEP, ENPP1, ENPP3, EPCAM, ESRP1, FABP6, FABP7, FAM133B, FCGR3A, FCGR3B, FXYD2, GAS2L3, GLYAT, GSTA1, GSTA2, GSTA5, HAVCR1, HLA-DQA1, HPS3, IGFBP3, IL20RB, IYD, KMO, LEPREL1, LMO3, LOC100101266, LOC100129233, LOC100129518, LOC100130232, LOC100130518, LOC100133763, LOC728640, LOX, LRRC69, MAPK6, MGC9913, MME, MMP7, MT1G, MUC15, NEBL, NLGN1, NNMT, NPNT, NR1H4, OPN3, OSMR, PCOLCE2, PCP4, PDE8B, PDZK1IP1, PIGA, PKHD1L1, POSTN, PREPL, PTHLH, RPS6KA6, S100A10, SAA1, SAA2, SCD, SLC16A1, SLC16A4, SLC17A3, SLC26A4, SLC26A7, SLC3A1, SLCO4C1, SNX10, SOD2, SPINK1, SPP1, SYT14, TBCKL, TCEAL2, TCEAL4, TG, TMEM161B, TMEM176A, TMEM45A, TNFAIP6, TNFSF10, TPO, TSHR, UGT1A1, UGT1A10, UGT1A3, UGT1A4, UGT1A5, UGT1A6, UGT1A7, UGT1A8, UGT1A9, UGT2A3, UGT2B7, VCAM1, VCAN, ZNF208, ZNF43, ZNF676, ZNF728, ZNF99	
甲状腺への乳癌転移	117	TCID-3777770, ACADL, AGR2, AGR3, ALDH1A1, ANLN, ASPM, ATP13A4, AZGP1, BIRC5, BRIP1, C10orf81, C7orf62, C8orf79, CA2, CCNB2, CCNE2, CDC2, CDC6, CDKN3, CENPF, CHEK1, CP, CSNK1G1, DEPDC1, DIO1, DIO2, DLGAP5, DTL, EHF, EPR1, EZH2, FAM111B, FANCI, GALNT5, GPX3, HHEX, HPS3, IQCA1, ITGB3, IYD, KCNJ15, KCNJ16, KIAA0101, KIF23, LMO3,	

10

20

30

40

		<p>LOC100129258, LOC100130518, LOC100131821, LOC145694, LRP2, LRRC2, LRRC69, MAPK6, MELK, MGAT4C, MKI67, MND1, MUC15, MYB, NDC80, NPY1R, NUF2, NUSAP1, PAR1, PARP8, PBK, PCP4, PDE1A, PDE8B, PI15, PIP, PKHD1L1, POLG, PPARGC1A, PRC1, PVRL2, PVRL3, RAD51AP1, RGN, RPL3, RRM2, SAA1, SAA2, SCD, SCGB1D2, SCGB2A2, SEMA3C, SERPINA3, SLA, SLC26A4, SLC26A7, SNRPN, SPC25, ST3GAL5, STK33, SULT1C2, SYCP2, SYT14, TFF1, TG, THBS1, TOP2A, TPO, TPX2, TRPS1, TSHR, TTK, UNQ353, VTCN1, WDR72, ZBED2, ZNF208, ZNF43, ZNF676, ZNF728, ZNF99</p>	10
<p>甲状腺への B細胞リンパ腫転移</p>	<p>160</p>	<p>ACADL, AIM2, ALDH1A1, ALG9, APP, ARHGAP29, ATP13A4, ATP1B1, BCL2A1, BIRC3, BIRC5, BTG3, C11orf74, C2orf40, C7orf62, CALCRL, CALD1, CD180, CD24, CD48, CD52, CD53, CDH1, CNN3, COX11, CP, CPE, CR2, CRYAB, CXADR, CXADRP2, CXorf65, DCBLD2, DIO2, DLGAP5, DSP, EAF2, EFCAB2, ENPP1, EPCAM, EPR1, ESRP1, FABP4, FDXACB1, FNBP1L, GJA1, GNAI1, GNG12, GPR174, GPX3, GTSF1, HCG11, IKZF3, IL2RG, IQCA1, IYD, KCNJ16, KLHL6, LAPTMS, LCP1, LIFR, LMO3, LOC100128219, LOC100129258, LOC100130518, LOC100131821, LOC100131938, LOC647979, LOC729828, LPCAT2, LPHN2, LRIG3, LRMP, LRP2, LRRC6, LRRC69, MAL2, MAOA, MAPK6, MATN2, MCOLN2, MGC9913, MGP, MKI67, MS4A1, MT1F, MT1G, MT1H, MT1L, MT1P2, MUC15, NCKAP1, NCKAP1L, NEBL, NME5, NPNT, NUDT12, PAR1, PBX1, PCP4, PDE8B, PDK4, PERP, PFN2, PKHD1L1, PLOD2, PLS3, POMGNT1, PPARGC1A, PPIC, PTPRC, PTPRM, PVRL3, RASEF, RGN, RGS13, RGS5, RHOH, RPL3, RPL37AP8, RRM2, S100A1, S100A13, SDC2, SELL, SEMA3D, SH3BGRL2, SLC26A4, SLC26A7, SMARCA1, SNRPN, SP140, SP140L, SPARCL1, SPC25, SPTLC3, ST20, STK17B, SYT14, TBCKL, TCEAL2, TCEAL4, TEAD1, TG, TJP1, TLR10, TOM1L1, TOP2A, TSHR, TSPAN1, TSPAN6, UACA, VNN2, WBP5, WDR72, ZNF208, ZNF43, ZNF676, ZNF728, ZNF99</p>	20
			30
			40

いくつかの態様において、4%未満の全体分類過誤率を達成するのに必要とされる遺伝子の最少数を証明するために、上位甲状腺バイオマーカー（948遺伝子）は、値域（各値域50TCID）へと細分される（図1）。分類のために使用される最初のTCIDは、Affymetrix Human Exon 1.0STマイクロアレイチップに対応し、各々が複数の遺伝子にマッピングされてもよいし、または遺伝子にマッピングされなくてもよい（Affymetrixアノテーションファイル：HuEx-1_0-st-v2.na29.hg18.transcript.csv）。遺伝子がTCIDにマッピングされない場合、バイオマーカーはTCID-#####として表記される。

【 0 2 0 9 】

リスト27：過誤率値域1（TCID1～50（n=50）、遺伝子記号、n=58）

AMIGO2, C11orf72, C11orf80, C6orf174, CAMK2N1, CDH3, CITED1, CLDN1, CLDN16, CST6, CXorf27, DLC1, EMP2, ERBB3, FZD4, GABRB2, GOLT1A, HEY2, HMGA2, IGFBP6, ITGA2, KCNQ3, KIAA0408, KRT19, LIPH, LOC100129115, MACC1, MDK, MET, METTL7B, MFGE8, MPZL2, NAB2, NOD1, NRCAM, PDE5A, PDLIM4, PHYHIP, PLAG1, PLCD3, PRICKLE1, PROS1, PRR15, PRSS23, PTPRF, QTRT1, RCE1, RDH5, ROS1, RXRG, SDC4, SLC27A6, SLC34A2, SYTL5, TNFRSF12A, TRPC5, TUSC3, ZCCHC12.

10

【 0 2 1 0 】

リスト28：過誤率値域2（TCID51～100（n=50）、遺伝子記号、n=59）

AHNAK2, AIDA, AMOT, ARMCX3, BCL9, C1orf115, C1orf116, C4A, C4B, C6orf168, CCDC121, CCND1, CDH6, CFI, CLDN10, CLU, CRABP2, CXCL14, DOCK9, DZIP1, EDNRB, EHD2, ENDOD1, EPHA4, EPS8, ETNK2, FAM176A, FLJ42258, HPN, ITGA3, ITGB8, KCNK5, KLK10, LAMB3, LEMD1, LOC100129112, LOC100132338, LOC554202, MAFG, MAMLD1, MED13, MYH10, NELL2, PCNXL2, PDE9A, PLEKHA4, RAB34, RARG, SCG5, SFTPB, SLC35F2, SLIT2, TACSTD2, TGFA, TIMP1, TMEM100, TMPRSS4, TNC, ZCCHC16.

20

【 0 2 1 1 】

リスト29：過誤率値域3（TCID101～150（n=50）、遺伝子記号、n=52）

ABTB2, ADAMTS9, ADORA1, B3GNT3, BMP1, C19orf33, C3, CDH11, CLIP3, COL1A1, CXCL17, CYSLTR2, DAPK2, DHRS3, DIRAS3, DPYSL3, DUSP4, ECE1, FBXO2, FGF2, FN1, GALE, GPRC5B, GSN, IKZF4, IQGAP2, ITGB4, KIAA0284, KLF8, KLK7, LONRF2, LPAR5, MPPED2, MUC1, NRIP1, NUDT6, ODZ1, PAM, POU2F3, PPL, PTRF, RAPGEF5, RASD2, SCARA3, SCEL, SEMA4C, SNX22, SPRY1, SSPN, TM4SF4, XPR1, YIF1B.

30

【 0 2 1 2 】

リスト30：過誤率値域4（TCID151～200（n=50）、遺伝子記号、n=58）

AFAP1, ARMCX6, ARNTL, ASAP2, C2, C8orf4, CCDC148, CFB, CHAF1B, CLDN4, DLG4, DUSP6, ELMO1, FAAH2, FAM20A, FLRT3, FRMD3, GALNT12, GALNT7, IGFBP5, IKZF2, ISYNA1, LOC100131490, LOC648149, LOC653354, LRP1B, MAP2, MRC2, MT1F, MT1G, MT1H, MT1P2, MYEF2, NPAS3, PARD6B, PCDH1, PMEPA1, PPAP2C, PSD3, PTPRK, PTPRU, RAI2, RRAS, SDK1, SERPINA1, SERPINA2, SGMS2, SLC24A5, SMURF2, SPATS2L, SPINT1, TDRKH, TIPARP, TM4SF1, TMEM98, WNT5A, XKRX, ZMAT4.

40

【 0 2 1 3 】

リスト31：過誤率値域5（TCID201～250（n=50）、遺伝子記号、n=53）

ABCC3, AEBP1, C16orf45, C19orf33, CA11, CCND2, CDO1, CYP4B1, DOK4, DUSP5, ETV4, FAM111A, FN1, GABBR2, GGCT, GJA4, GPR110, HIPK2, ITGA9, JUB, KDELR3, KIAA1217, LAMC2, LCA5, LTBP2, LTBP3, MAPK6, NAV2, NIPAL3, OSMR, PDZRN4, PHLDB2, PIAS3, PKHD1L1, PKP2, PKP4, PRINS, PTK7, PTPRG, RAB27A, RAD23B, RASA1, RICH2, SCRNI, SFN, ST3GAL5, STK32A, TCERG1L, THSD4, TJP2, TM7SF4, TPO, YIF1B.

【 0 2 1 4 】

IX. 組成物

(i) 本発明の遺伝子発現産物およびスプライスバリエント

10

分子プロファイリングは、以下のうちの一つまたは複数についてのアッセイ法を含む、本開示のアッセイ法も含み得るが、これらに限定されない：図2~6、9~13、16、または17に提供された遺伝子のタンパク質、タンパク質発現産物、DNA、DNA多型、RNA、RNA発現産物、RNA発現産物レベル、またはRNA発現産物スプライスバリエント。いくつかの場合において、本発明の方法は、約1個、2個、3個、4個、5個、6個、7個、8個、9個、10個、15個、20個、25個、30個、35個、40個、45個、50個、60個、70個、80個、90個、100個、120個、140個、160個、180個、200個、240個、280個、300個、350個、400個、450個、500個、600個、700個、800個、1000個、1500個、2000個、2500個、3000個、3500個、4000個、5000個、またはそれ以上のDNA多型、発現産物マーカー、および/または選択的スプライスバリエントマーカーの分子プロファイリングにより、改善された癌診断を提供する。

20

【 0 2 1 5 】

一つの態様において、分子プロファイリングは、図2、6、9~13、16、または17から選択される一つまたは複数の遺伝子について遺伝子発現産物レベルを測定するために実施されるマイクロアレイハイブリダイゼーションを含む。いくつかの場合において、一つの群からの一つまたは複数の遺伝子の遺伝子発現産物レベルが、別の群の一つまたは複数の遺伝子の遺伝子発現産物レベルと比較される。一例に過ぎず、これに限定されないが、遺伝子TPOの発現レベルが、遺伝子GAPDHの発現レベルと比較され得る。別の態様において、遺伝子発現レベルが、以下の代謝経路またはシグナル伝達経路のうちの一つまたは複数に関与する一つまたは複数の遺伝子について測定される：甲状腺ホルモンの産生および/または放出、プロテインキナーゼシグナル伝達経路、脂質キナーゼシグナル伝達経路、ならび

30

にサイクリン。いくつかの場合において、本発明の方法は、1個、2個、3個、4個、5個、6個、7個、9個、10個、11個、12個、13個、14個、または15個、またはそれ以上の異なる代謝経路またはシグナル伝達経路の少なくとも一つの遺伝子の遺伝子発現産物レベルおよびまたは選択的エキソン使用の分析を提供する。

【 0 2 1 6 】

(ii) 本発明の組成物

以下のうちの一つまたは複数を含む、本開示の組成物も、提供される：図2~6、9~13、16、または17に提供される遺伝子または遺伝子の一部に対応するヌクレオチド（例えば、DNAまたはRNA）、および図2~6、9~13、16、または17に提供される遺伝子の相補体または遺伝子の相補体の一部に対応するヌクレオチド（例えば、DNAまたはRNA）。本発明のヌクレオチドは、少なくとも約10、15、20、25、30、35、40、45、50、55、60、65、70、75、100、150、200、250、300、350、または約400もしくは500ヌクレオチド長であり得る。本発明のいくつかの態様において、ヌクレオチドは、ペプチド核酸、ピラノシルRNA、ヌクレオシド、メチル化核酸、PEG化核酸、環状ヌクレオチド、および化学的に修飾されたヌクレオチドを含むが、これらに限定されない、リボ核酸またはデオキシリボ核酸の天然または人工の誘導体であってもよい。本発明の組成物のいくつかにおいて、本発明のヌクレオチドは、検出可能な標識を含むよう化学的に修飾されている。本発明のいくつかの態様において、生物学的試料は、標識を含むよう化学的に修飾されている。

40

【 0 2 1 7 】

本開示のさらなる組成物は、図2~6、9~13、16、または17に提供される遺伝子および

50

それらの相補体の発現産物を検出（即ち、測定）するためのオリゴヌクレオチドを含む。本開示のさらなる組成物は、図2～6、9～13、16、または17に提供される遺伝子の多型対立遺伝子およびそれらの相補体の発現産物を検出（即ち、測定）するためのオリゴヌクレオチドを含む。そのような多型対立遺伝子には、スプライス部位バリエーション、一塩基多型、反復数多型、挿入、欠失、およびホモログが含まれるが、これらに限定されない。いくつかの場合において、バリエーション対立遺伝子は、図6にリスト化された遺伝子と約99.9%～約70%同一であり、例えば、約99.75%、99.5%、99.25%、99%、97.5%、95%、92.5%、90%、85%、80%、75%、約70%、同一である。いくつかの場合において、バリエーション対立遺伝子は、図2～6、9～13、16、または17に提供される遺伝子と、約1～約500ヌクレオチド、異なっており、例えば、約1、2、3、5、7、10、15、20、25、30、35、50、75、100、150、200、250、300、約400ヌクレオチド、異なっている。

10

【0218】

いくつかの態様において、本発明の組成物は、良性試料と悪性試料との間で差次的に発現される上位遺伝子産物、または良性試料と悪性試料との間で差次的にスプライシングされる上位遺伝子産物、または正常試料と良性試料もしくは悪性試料との間で差次的に発現される上位遺伝子産物、または正常試料と良性試料もしくは悪性試料との間で差次的にスプライシングされる上位遺伝子産物から特に選択され得る。いくつかの場合において、差次的に発現される上位遺伝子産物は、図2および/または図4から選択され得る。いくつかの場合において、差次的にスプライシングされる上位遺伝子産物は、図3および/または図5から選択され得る。

20

【0219】

IX. ビジネス方法

本明細書に記載されるように、カスタマーまたは見込みカスタマーという用語は、分子プロファイリングビジネスの方法またはサービスを使用し得る個体または実体をさす。本明細書に記載された分子プロファイリングの方法およびサービスの見込みカスタマーには、例えば、患者、対象、医師、細胞診検査室、保健医療提供者、研究者、保険企業、メディケイド（Medicaid）のような政府実体、雇用者、または癌の診断、モニタリング、および処置のためのより経済的もしくは効率的なシステムの達成に関心のあるその他の任意の実体が含まれる。

30

【0220】

そのような者は、例えば、薬物もしくは介入から最も利益を得る可能性が高い患者に対して高価な薬物もしくは治療的介入を選択的に必要とするため、または薬物もしくはその他の治療的介入の不必要な使用によって、利益を受けないか、もしくは被害を受ける可能性のある個体を同定するため、分子プロファイリング結果を用いることができる。

【0221】

(i) 販売の方法

本発明の分子プロファイリングビジネスのサービスは、例えば、診断およびケアを増強する方法として、健康について懸念のある個体、医師、またはその他の医療従事者に販売されてもよいし；例えば、増強された診断をクライアントに提供するためのサービスとして、細胞診検査室に販売されてもよいし；例えば、不当な治療的介入を排除することにより、コストを低下させるための方法として、保健医療提供者、保険企業、および政府実体に販売されてもよい。見込みクライアントへの販売の方法には、さらに、遺伝子発現産物と疾患または状態との間の新たな相関を見出そうとしている研究者および医師のためのデータベースアクセスの販売が含まれる。

40

【0222】

販売の方法には、見込みカスタマーへの印刷物、ラジオ、テレビ、またはインターネットに基づく広告の使用が含まれ得る。特定の媒体を通して、見込みカスタマーに販売することも可能であり、例えば、内分泌学者には、Journal of the American Medical Association、Physicians Practice、American Medical News、Consultant、Medical Economics、Physician's Money Digest、American Family Physician、Monthly Prescribing Refer

50

ence、Physicians' Travel and Meeting Guide、Patient Care、Cortlandt Forum、Internal Medicine News、Hospital Physician、Family Practice Management、Internal Medicine World Report、Women's Health in Primary Care、Family Practice News、Physician's Weekly、Health Monitor、The Endocrinologist、Journal of Endocrinology、The Open Endocrinology Journal、およびThe Journal of Molecular Endocrinologyを含むが、これらに限定されない、業界誌および医学雑誌に広告を置くことにより販売することができる。販売は、本発明の方法およびサービスを使用して、実験を実施し、いくつかの場合において、結果を発表するか、またはさらなる研究のための資金を求めため、医療従事者との協同の形態をとることもできる。いくつかの場合において、販売の方法は、連絡情報を決定するための、例えば、American Medical Association (AMA) データベースのような医師または医療従事者のデータベースの使用を含み得る。

10

【0223】

一つの態様において、販売の方法は、ルーチンの方法を使用して、明確に診断することができない試料を有するカスタマーに、分子プロファイリングサービスを提供するための、細胞学的試験検査室との協同を含む。

【0224】**(ii) コンピュータを使用したビジネス方法**

分子プロファイリングビジネスは、図22に例示されるようなコンピュータ800のような一つまたは複数のコンピュータを本発明の方法において使用してもよい。コンピュータ800は、試料もしくはカスタマーの追跡のようなカスタマーおよび試料の情報の管理、データベース管理、分子プロファイリングデータの分析、細胞学的データの分析、データ保存、代金請求、販売、結果の報告、または結果の保存のために使用され得る。コンピュータは、データ、結果、代金請求情報、販売情報（例えば、人口統計）、カスタマー情報、または試料情報を表示するためのモニター807またはその他のグラフィカルインターフェースを含み得る。コンピュータは、データまたは情報の入力のための手段816、815も含み得る。コンピュータは、処理装置801、および固定された媒体803、または取り外し可能な媒体811、またはそれらの組み合わせを含み得る。コンピュータに物理的に近いユーザは、例えば、キーボードおよび/もしくはマウスを介して、コンピュータにアクセスすることができ、または物理的なコンピュータに必ずしも近くないユーザ822は、モデム、インターネット接続、電話接続、もしくは有線もしくは無線の通信搬送波のような通信媒体805を通してコンピュータにアクセスすることができる。いくつかの場合において、コンピュータは、ユーザからコンピュータへ、またはコンピュータからユーザへ、情報を中継するための、サーバー809またはその他の通信装置に接続されていてもよい。いくつかの場合において、ユーザは、通信媒体805を通してコンピュータから入手されたデータまたは情報を、取り外し可能な媒体812のような媒体に保存することができる。本発明に関するデータは、ある者による受信および/または閲覧のため、そのようなネットワークまたは接続を通して伝達されることが構想される。受信者は、個体、保健医療提供者、または保健医療管理者であり得るが、これらに限定されない。一つの態様において、コンピュータにより読取り可能な媒体には、エキソソームバイオサインのような生物学的試料の分析の結果の伝達のために適している媒体が含まれる。媒体は、本明細書に記載された方法を使用して導出される、対象のエキソソームバイオサインに関する結果を含むことができる。

20

30

40

【0225】

分子プロファイリングビジネスは、以下のうちの一つまたは複数の目的のためにデータベースへ試料情報を入力してもよい：在庫の追跡、アッセイ結果の追跡、注文の追跡、カスタマー管理、カスタマーサービス、代金請求、および売り上げ。試料情報には、以下のものが含まれ得るが、これらに限定されない：カスタマーの名称、独特のカスタマーID、カスタマーに関連する医療従事者、必要とされるアッセイ法、アッセイ結果、妥当性状態、必要とされる妥当性試験、個体の病歴、予備的診断、推測される診断、試料の履歴、保険提供者、医療提供者、第三者試験施設、またはデータベースへの保存のために適している任意の情報。試料の履歴には、以下のものが含まれ得るが、これらに限定されない：試

50

料の古さ、試料の型、取得の方法、保管の方法、または輸送の方法。

【0226】

データベースは、カスタマー、医療従事者、保険提供者、第三者、または分子プロファイリングビジネスがアクセスを認める個体もしくは実体によりアクセス可能であり得る。データベースアクセスは、コンピュータまたは電話のような電子通信の形態をとり得る。データベースは、カスタマーサービス代理人、ビジネス代理人、コンサルタント、独立した試験施設、または医療従事者のような仲介者を通してアクセスされてもよい。データベースアクセスまたはアッセイ結果のような試料情報の利用可能性または程度は、与えられた、または与えられる予定の製品およびサービスについての代金の支払い時に変化してもよい。データベースアクセスまたは試料情報の程度は、患者またはカスタマーの機密性のため一般に認められているか、または法的な要件に応じて制限され得る。分子プロファイリング企業は、以下のうちの一つまたは複数について、個体、保険提供者、医療提供者、または政府実体に代金を請求することができる：試料受け取り、試料保管、試料調製、細胞学的試験、分子プロファイリング、試料情報のデータベースへの入力および更新、またはデータベースアクセス。

10

【0227】

(iii) ビジネスフロー

図18aは、試料が分子プロファイリングビジネスにより処理され得る一つの方式を例示するフローチャートである。例えば、甲状腺細胞の試料が、おそらく細針吸引を介して、内分泌学者により得られ得る100。試料は、ルーチンの細胞学的染色法に供される125。ルーチンの細胞学的染色は、四つの異なる可能性のある予備的診断、非診断的105、良性110、不明確もしくは疑わしい115、または悪性120を提供する。次いで、分子プロファイリングビジネスが、本明細書に記載されたように、遺伝子発現産物レベルを分析することができる130。遺伝子発現産物レベルの分析、分子プロファイリングは、悪性140または良性135の確定診断をもたらすことができる。いくつかの場合において、ルーチンの細胞学的調査において不明確な非診断的な結果を提供する試料のような、試料のサブセットのみが、分子プロファイリングにより分析される。試料が本発明の方法により処理され得る代替的な態様は、図18bおよび21に提供される。

20

【0228】

いくつかの場合において、分子プロファイリングの結果は、ルーチンの細胞学的試験の結果を確認する。他の場合において、分子プロファイリングの結果は異なる。そのような場合には、試料をさらに試験してもよいし、データを再調査してもよいし、または分子プロファイリングの結果もしくは細胞学的アッセイ法の結果を、正確な診断として採用してもよい。良性診断には、悪性癌ではないが、さらなるモニタリングまたは処置を必要とする可能性がある疾患または状態も含まれ得る。同様に、悪性診断には、特定の型の癌、または疾患もしくは状態に關与する特定の代謝経路もしくはシグナル伝達経路の診断がさらに含まれ得る。その診断は、放射性ヨウ素アブレーション、手術、甲状腺切除のような処置または治療的介入；またはさらなるモニタリングを必要とする可能性がある。

30

【0229】

XI. キット

分子プロファイリングビジネスは、適当な試料を得るためのキットを提供してもよい。図19に図示されるようなキット203は、容器202、試料を得るための手段200、試料を保管するための試薬205、およびキットの使用に関する説明書を含むことができる。別の態様において、キットは、分子プロファイリング分析を実施するための試薬および材料をさらに含む。いくつかの場合において、試薬および材料には、分子プロファイリング法により生成されたデータを分析するためのコンピュータプログラムが含まれる。さらに他の場合において、キットは、生物学的試料が保管され、分子プロファイリングビジネスまたは第三者試験施設のような試験機関へと輸送される手段を含有している。

40

【0230】

分子プロファイリングビジネスは、分子プロファイリングを実施するためのキットも提

50

供することができる。キットは、全ての必要な緩衝液および試薬を含むタンパク質または核酸を抽出するための手段；ならびに対照および試薬を含む、タンパク質または核酸のレベルを分析するための手段を含むことができる。キットは、本発明の方法および組成物を使用して提供されたデータの分析のためのソフトウェア、またはソフトウェアを得て使用するためのライセンスをさらに含むこともできる。

【実施例】

【0231】

実施例1：甲状腺試料の遺伝子発現産物分析

75個の甲状腺試料を、悪性試料と良性試料と正常試料との間で有意に差次的な発現および/または選択的スプライシングを示す遺伝子を同定するため、製造業者の説明書に従って、Affymetrix Human Exon 10STアレイを使用して、遺伝子発現分析のために調査した。10
三つの群を、組織の病理学的外科的診断に従って比較し分類した：良性（ $n=29$ ）、悪性（ $n=37$ ）、および正常（ $n=9$ ）。試料を外科的甲状腺組織から調製し、急速凍結させ、次いで、RNAを標準的な方法により調製した。75個の試料の名称および病理学的分類は、図1に示される。

【0232】

マイクロアレイ分析を、XRAYバージョン2.69 (Biotique Systems Inc.) により実行した。入力ファイルを、完全クワントイルノーマライゼーション (full quantile normalization) (Irizarry et al. Biostatistics 2003 April 4 (2): 249-64) によりノーマライズした。各入力アレイおよび各プローブ発現値について、アレイ-*i*thパーセントイルプローブ値を、全アレイ-*i*thパーセントイル点の平均値と交換した。計6,553,590個のプローブを分析において操作した。6未満のGC数を有するプローブおよび17より多いGC数を有するプローブを、分析から排除した。全ての入力ハイブリダイゼーションにおけるプローブスコアへのメディアンポリッシュ (エキソンRMA) の適用を介して、各プローブセットについての発現スコアを導出し、(上に定義された試験の全てに合格する) 3個未満のプローブを有するプローブセットを、さらなる分析から排除した。高品質データベースRefSeqおよびEnsemblのエントリーにマッチするプローブセットに対応する「コア」プローブセットのみを分析した。非発現プローブおよびインバリアントプローブも、遺伝子レベル分析およびプローブセットレベル分析の両方から除去した。一元配置のANOVA分析を、悪性群と良性群との間で、プローブセットレベルで、遺伝子発現を調査するために使用した。30

【0233】

遺伝子レベル分析による差次的に発現される遺伝子の上位100個 (即ち、最も大きな差次的な発現を示した遺伝子) を、良性甲状腺試料と悪性甲状腺試料と正常甲状腺試料とが比較されたデータセットから得た。マーカーを、偽検出率 (FDR) についてのBenjaminiおよびHochbergの補正後に統計的有意性にに基づき選択した。 $p < 0.01$ のFDRフィルター値を使用し、続いて、任意の群 (良性、悪性、または正常) における最も高い差次的な遺伝子発現値を、残りの2つの群における最も低い差次的な発現により割ったものとして、各マーカーについて計算された絶対変化倍率 (> 1.9) により、ランク付けした。この分析の結果は図2に示される。この表は、群間の比較を可能にする所定のマーカーについての三セットの計算された変化倍率をリスト化する。悪性/良性、悪性/正常、および良性/正常の変化倍率を、全て、一つの群の発現を別の群の発現により割ることにより計算した。40

【0234】

選択的スプライシングを受ける遺伝子の上位100個を、良性甲状腺試料と悪性甲状腺試料と正常甲状腺試料とが比較されたデータセットから得た。マーカーを、偽検出率 (FDR) についてのBenjaminiおよびHochbergの補正後に統計的有意性にに基づき選択した。 $p < 0.01$ のFDRフィルター値を使用し、マーカーを最低 p 値から始めてランク付けした。使用されたソフトウェアによる数値をリスト化するための閾値は、 $p < 1.0E-301$ であり、それより小さい p 値を有する数には、 $0.00E+00$ の値が自動的に割り当てられた。この分析の結果は、図3に示される。示されたマーカーは、全て、選択的エキソンスプライシングについて50

高度に有意である。

【0235】

プローブセットレベル分析により、図1からの甲状腺試料において差次的に発現される遺伝子の上位100個を、良性試料および悪性試料が分析されたデータセットから得た。マーカーを、偽検出率（FDR）についてのBenjaminiおよびHochbergの補正後に有意性に基づき選択した。マーカーを、偽検出率（FDR）についてのBenjaminiおよびHochbergの補正後に有意性に基づき選択した。p<0.01のFDRフィルター値を使用し、続いて、悪性発現を良性発現により割ったものとして各マーカーについて計算された絶対変化倍率（>2.0）により、ランク付けした。この分析の結果は図4に示される。

【0236】

図1に示される甲状腺試料の遺伝子レベル分析により測定された統計的に有意な診断マーカーの上位100個もコンパイルした。良性データセットと悪性データセットと正常データセットとの比較からのデータ、および良性データセットと悪性データセットとの間の比較からのデータを使用した。マーカーを、偽検出率（FDR）についてのBenjaminiおよびHochbergの補正後に有意性に基づき選択した。p<0.01のFDRフィルター値を使用し、続いて、任意の群（良性、悪性、または正常）における最も高い差次的な発現値を、残りの2つの群における最も低い差次的な発現により割ったものとして各マーカーについて計算された絶対変化倍率（>1.6）により、ランク付けした。悪性/良性、悪性/正常、および良性/正常についての変化倍率を、全て、一つの群の発現を別の群の発現により割ることにより同様に計算した。この分析の結果は図5に示される。

【0237】

プローブセットレベルまたは遺伝子レベルのいずれかで、良性試料と悪性試料との間で、良性試料と正常試料との間で、または悪性試料と正常試料との間で、統計的に有意に差次的に発現される、差次的にスプライシングされる、またはその両方として同定された4918個の遺伝子の全リストもコンパイルした。マーカーを、偽検出率（FDR）についてのBenjaminiおよびHochbergの補正後に統計的に有意性に基づき選択し、p<0.01のFDRフィルター値を使用した。結果は図6に示される。

【0238】

実施例2：甲状腺組織試料の遺伝子発現産物分析

良性試料と悪性試料との間でRNA発現レベルが有意に異なる遺伝子を同定するために、計205個の甲状腺組織試料（図7）を、Affymetrix HumanExon10STアレイチップを用いて調査する。試料は術後甲状腺病態に従って分類される。濾胞性腺腫（FA）、リンパ性甲状腺炎（LCT）、または結節性過形成（NHP）を示す試料は良性として分類され；ハースル細胞癌（HC）、濾胞癌（FC）、濾胞型甲状腺乳頭癌（FVPTC）、甲状腺乳頭癌（PTC）、甲状腺髄様癌（MTC）、または未分化癌（ATC）を示す試料は悪性として分類される。

【0239】

およそ650万個のプローブからの強度データを抽出し、ノーマライズし、サマライズするために、Affymetrixソフトウェアが使用される。続いて、およそ280,000個のコアプローブセットが、フィーチャー選択および分類において使用される。使用されるモデルは、フィーチャー選択のためのLIMMA、ならびに分類のためのランダムフォレストおよびサポートベクターマシン（SVM）である。ランダムなデータサブセットを使用して、訓練、分類、およびクロスバリデーションを反復的に実施する。上位フィーチャーが、上記の分類エンジンを使用して、2つの別々の分析（悪性が良性か、およびMTCかその他か）において同定される。

【0240】

マーカーは、偽データ検出率（FDR）についてのBenjaminiおよびHochbergの補正後に有意性に基づき選択される。p<0.05のFDRフィルターが使用される。

【0241】

悪性甲状腺組織試料と良性甲状腺組織試料との比較は、甲状腺の疾患または状態について診断的な413個のマーカーを見出す。上位100個のマーカーが図9にリスト化される。

10

20

30

40

50

【0242】

MTC甲状腺組織試料とその他の（即ち、非MTC）甲状腺組織試料との比較は、甲状腺の疾患または状態について診断的な671個のマーカ－を見出す。上位100個のマーカ－が図10にリスト化される。

【0243】

実施例3：甲状腺試料からの遺伝子発現産物データのメタ分析

外科的甲状腺組織試料（図7）および細針吸引を介して得られた甲状腺試料（図8）を、病理学的調査により良性または悪性として同定し、次いで、Affymetrix HumanExon10STアレイへのハイブリダイゼーションにより調査する。各分類における再現性のあるフィーチャーを有する遺伝子の同定を可能にする、メタ分析アプローチが使用される。およそ650万個のプロープからの強度データを抽出し、ノーマライズし、サマライズするため、Affymetrixソフトウェアが使用される。およそ280,000個のプロープセットが、フィーチャー選択および分類のために使用される。LIMMAがフィーチャー選択のために使用される。分類は、ランダムフォレスト法およびSVM法により実施される。外科的試料および細針吸引液試料の訓練、分類、およびクロスバリデーションの反復において繰り返し出現するマーカ－を同定し、ランク付けする。外科データおよび細針吸引液データの両方について出現する、上位にランク付けされたフィーチャーを使用して、コアフィーチャーの合同セットを作出する。0でない再現性スコアを有するマーカ－を、有意として選択する。計102個のマーカ－が有意であることが見出され、図11にリスト化される。

10

【0244】

実施例4：甲状腺試料からの遺伝子発現産物データのベイズ分析

ヒト甲状腺において良性結節を悪性結節と区別する遺伝子を同定するために、よく特徴決定された試料の2つの群を比較する。外科的甲状腺組織（組織；n=205、図7）または細針吸引液（FNA；n=74、図8）から試料を得て、HumanExon10STマイクロアレイへのハイブリダイゼーションにより調査する。各々の別個の甲状腺亜型についての病態ラベルを、良性（B）または悪性（M）のいずれかとしてコードする。良性試料と悪性試料との間で別個の差次的な発現を示す計499個のマーカ－が同定される。

20

【0245】

およそ650万個のプロープからの強度データを抽出し、ノーマライズし、サマライズするため、Affymetrixソフトウェアが使用される。続いて、およそ280,000個のコアプロープセットが、およそ22,000個の遺伝子のフィーチャー選択および分類において使用される。使用されるモデルは、それぞれ、LIMMA（フィーチャー選択のため）およびSVM（分類のため）である。

30

【0246】

次に、本発明者らは、「良性」カテゴリーまたは「悪性」カテゴリーへの遺伝子の割り当ての第一種および第二種の過誤の率を導出するために、分子プロファイル研究が調査されることを以前に発表した。過誤率は、2という推定変化倍率で、特定の発表された各研究において報告された標本サイズに基づき計算される。最後に、差次的な遺伝子発現の事後確率を推定するために、これらの事前確率を、組織データセットの出力と組み合わせ、次いで、差次的な発現の最終的な事後確率を公式化するためにFNAデータセットと組み合わせる（Smyth 2004）。これらの事後確率が、遺伝子をランク付けするために使用され、0.9という事後確率閾値を越えるものが選択される。計499個のマーカ－が有意として同定され、上位100個が図12にリスト化される。

40

【0247】

実施例5：甲状腺試料からの遺伝子発現産物データの亜型分析

ヒト甲状腺において良性結節を別個の病態を有するものと区別するために、よく特徴決定された試料を調査する。HumanExon10STマイクロアレイへの205種のハイブリダイゼーションを調査する。別個の各甲状腺亜型についての病態ラベルを、一つの群を別の群と系統的に比較するために使用する。広範囲の病態亜型へ甲状腺を分離する計250個のmRNAマーカ－が同定される。

50

【0248】

別個の甲状腺病態亜型の間でmRNA発現が有意に異なる遺伝子を同定するために、計205個の甲状腺組織試料をAffymetrix HumanExon10STアレイチップを用いて調査する(図7)。濾胞性腺腫(FA、n=22)、リンパ性甲状腺炎(LCT、n=39)、結節性過形成(NHP、n=24))として術後甲状腺病態に従って分類された試料は、全て、良性(n=85)として集合的に分類される。対照的に、ハースル細胞癌(HC、n=27)、濾胞癌(FC、n=19)、濾胞型甲状腺乳頭癌(FVPTC、n=21)、甲状腺乳頭癌(PTC、n=26)、甲状腺髄様癌(MTC、n=22)、および未分化癌(ATC、n=5)として分類された試料は、全て、悪性(n=120)として集合的に分類される。

【0249】

およそ650万個のプロープからの強度データを抽出し、ノーマライズし、サマライズするため、Affymetrixソフトウェアが使用される。続いて、およそ280,000個のコアプロープセットが、フィーチャー選択および分類において使用される。所定の良性亜型(例えば、NHP)セットは、全ての他の悪性亜型のプールに対して比較され(例えば、NHP対M)、次に、良性サブセットは、悪性亜型の各セットに対して再び比較される(NHP対FC、NHP対PTC、等)。分類エンジンにおいて使用されるモデルはLIMMA(フィーチャー選択のため)であり、ランダムフォレストおよびSVMが分類のために使用される。訓練、分類、およびクロスバリデーションの反復が、ランダムなデータサブセットを使用して実施される。別個の甲状腺亜型を分離する遺伝子の合同コアセットが作出される。

【0250】

対分類の後に分類器を最適化する遺伝子のセットに基づき、マーカーが選択される。250個の別個の遺伝子にマッピングされる計251個のマーカーが、1~3個の別個の甲状腺亜型の分離を可能にする(図13)。

【0251】

実施例6: Agilent vs microRNAアレイを介して同定された差次的に発現されるmiRNA

甲状腺試料を、Agilent Human v2 microRNA(miRNA)アレイにハイブリダイズさせる。このアレイは、723個のヒトmiRNAおよび76個のウイルスmiRNAに対するプロープを含有しており、これらはおよそ15,000個のプロープセットを使用して標的とされる。有意な差次的に発現されるmiRNAを同定するため、良性甲状腺試料(B)と悪性甲状腺試料(M)との間の比較を実施する。全ての試料を、臨床細針吸引液から得る(n=89、図14)。

【0252】

アレイ強度データを抽出し、ノーマライズし、サマライズし、続いて、分類エンジンを使用してモデリングを行う。簡単に説明すると、使用されるモデルは、LIMMA(フィーチャー選択のため)であり、ランダムフォレストおよびサポートベクターマシン(SVM)が、分類のために使用される。訓練、分類、およびクロスバリデーションの反復を、ランダムなデータサブセットを使用して実施する。いくつかのmiRNAは、良性と比較して悪性において差次的に発現されるが(図16)、独立して機能する分類子はこのアプローチでは同定されなかった。

【0253】

実施例7 甲状腺疾患について診断的である差次的に発現されるmiRNA

甲状腺結節試料を、Illumina Human v2 miRNAアレイにハイブリダイズさせる。このアレイは、1146個のヒトmiRNAに対するプロープを含有している。良性甲状腺試料と悪性甲状腺試料との間の比較を、有意な差次的に発現されるmiRNAを同定するために実施する。全ての試料を、臨床FNAから得る(n=24、図15)。

【0254】

アレイ強度データを抽出し、ノーマライズし、サマライズし、続いて、分類エンジンを使用したモデリングを行う。簡単に説明すると、使用されるモデルは、LIMMA(フィーチャー選択のため)、ならびに分類のためのランダムフォレストおよびサポートベクターマシン(SVM)である。一部分、アルゴリズムにメタ分析アプローチを取り入れている付加的な「ホットプロープ」法が、分類エンジンに追加される。訓練、分類、およびクロスバ

10

20

30

40

50

リレーションの反復を、ランダムなデータサブセットを使用して実施する。「ホットプローブ」法は、クロスバリデーションの全てのループに出現するプローブを同定し、それにより、ロバストな再現性のあるフィーチャーのセットを作出する。悪性試料と良性試料との間の比較のp値(P)に基づき、マーカーを選択する。良性または悪性の甲状腺状態について診断的として同定される差次的な発現を有する、計145個のmiRNAが同定される(図17)。

【0255】

実施例8：分子プロファイリングのための例示的な装置

本発明の分子プロファイリングビジネスは、プローブセットレベルまたは遺伝子レベルのいずれかで、良性試料と悪性試料との間、良性試料と正常試料との間、または悪性試料と正常試料との間で、差次的に発現されるか、差次的にスプライシングされるか、またはその両方である、図6の4918個の遺伝子のリストをコンパイルする。4918個の遺伝子のサブセットが、分子プロファイリングビジネスにより生物学的試料の診断において使用するために選ばれる。分子プロファイリングビジネスにより使用するために選ばれた4918個の遺伝子のサブセットに相補的な短い(即ち、12~25ヌクレオチド長の)オリゴヌクレオチドの組成物が、当技術分野において公知の標準的な方法により合成され、ニトロセルロース、ガラス、ポリマー、またはチップのような固体支持体に、固体支持体上の既知の位置に固定化される。

【0256】

実施例9：生物学的試料の分子プロファイリング

生物学的試料は、細針吸引により得られ、2つの一定分量で保管される(一つは分子プロファイリング用、一つは細胞学的分析用)。分子プロファイリング用の生物学的試料の一定分量は、生物学的試料の細胞が溶解されるよう、溶解緩衝液に添加され摩砕される。溶解緩衝液は、以下のように調製される：cDNA溶解緩衝液1mlのため、以下のものを氷上で混合した：モロニー Maus 白血病ウイルス(MMLV)逆転写酵素5x(Gibco-BRL)0.2ml、H2O(RNase・DNase不含、Specialty Media)0.76ml、Nonidet P40(USB)5μl、PrimeRNase阻害剤(3'5' Incorporated)10μl、RNAguard(Pharmacia)10μl、およびストックプライマーミックスの新鮮に作成された24倍希釈物20μl。一定分量で-20℃で維持されるストックプライマーミックスは、100mM dATP、dCTP、dGTP、dTTP溶液(12.5mM最終)(Boehringer)各10μl；50 OD/ml pd(T)19-24(Pharmacia)10μl；およびH2O 30μlを含む。

【0257】

次いで、細胞RNAをオリゴdTプライマーによりプライミングする。次いで、不完全な伸長を容易にし、約500bp~約1000bpの短いcDNAを調製するための、時間および試薬の制限された条件において、逆転写酵素を用いて逆転写を実施する。次いで、ポリA(dATP)およびターミナルトランスフェラーゼを使用して、複数のdATPを含むテールをcDNAの5'末端に付加する。

【0258】

次いで、3'末端に24(dT)を有する60残基長プライマーを使用して、PCR試薬を用いてcDNAを増幅する。PCRサイクリングは、94℃ 1分、次いで、42℃ 2分、次いで、72℃ 6分で実施され、各サイクルに10秒の伸長時間を含む。10サイクルが実施される。次いで、付加的なTaqポリメラーゼが添加され、さらに25サイクルが実施される。

【0259】

cDNAをフェノールクロロホルムで抽出し、エタノール沈殿させ、次いで、分析する間の全量のcDNAの解凍および凍結を回避するため、試料の半分をストックとして-80℃で凍結させる。

【0260】

PCR産物5μgを、EF sIn(Tris in Qiagen kit PCR purification)15.5μl、Promegaのlox One-Phor-All緩衝液4μl、およびDNaseI 0.5単位と合わせる。次いで、全容量を14分間37℃で保持し、次いで、15分間99℃で保持し、次いで、約50bp~約100bp長のセグメン

トへとPCR産物を断片化するために5分間氷上に置く。次いで、ピオチン-N6-ddATP(「NEN」)1 μ lおよびTdT(ターミナルトランスフェラーゼ)(15単位/ μ l)1.5 μ lと全容量を合わせるにより、断片を末端標識する。次いで、全容量を1時間37 $^{\circ}$ Cで保持し、次いで、15分間99 $^{\circ}$ Cで保持し、次いで、5分間氷上で保持する。

【0261】

1 \times MES緩衝液(0.1M MES、1.0M NaCl、0.01%Triton X-100、pH6.7)および0.1mg/mlニシン精子DNAの中に5~10マイクログラムの標識された標的を含有しているハイブリダイゼーション溶液200マイクロリットルにおいて、標識され断片化されたcDNAを、本発明のプロブセットとハイブリダイズさせる。使用されるアレイはAffymetrix Human Exon 10STアレイである。アレイをローティッセルリ(rotisserie)に置き、16時間45 $^{\circ}$ Cにおいて60rpmで回転させる。ハイブリダイゼーション後、アレイを、10 \times 2サイクル、fluidics station(Affymetrix)上で22 $^{\circ}$ Cで6 \times SSPE-T(0.9M NaCl、60mM NaH₂PO₄、6mM EDTA、0.005%Triton X-100、pH7.6)により洗浄し、次いで、30分間45 $^{\circ}$ Cで0.1MESにより洗浄する。次いで、アレイを、ストレプトアビジン-フィコエリトリンコンジュゲート(Molecular Probes)により染色し、続いて、10 \times 2サイクル、fluidics station上で6 \times SSPE-Tにより再び洗浄する。シグナルを増強するため、アレイを、30分間、抗ストレプトアビジン抗体によりさらに染色し、続いて、ストレプトアビジン-フィコエリトリンコンジュゲートにより15分間再び染色する。10 \times 2サイクルのfluidics station上での6 \times SSPE-Tによる洗浄の後、そのアレイ位置における配列についての遺伝子発現レベルに対応する、アレイの各位置における生蛍光強度値を測定するため、修飾型共焦点スキャナを使用して、3マイクロメートルの分解能でアレイをスキャンする。

【0262】

生蛍光強度値を、遺伝子発現産物レベルに変換し、RMA法を介してノーマライズし、疑わしいと見なされ得るデータを除去するためにフィルタリングし、生物学的試料の細胞型組成についての遺伝子発現産物レベルを補正する予備分類アルゴリズムに入力する。補正された遺伝子発現産物レベルは、良性、悪性、または正常として生物学的試料を分類するため、訓練されたアルゴリズムへ入力される。訓練されたアルゴリズムは、診断および信頼水準を含む、その出力の記録を提供する。

【0263】

実施例10：甲状腺結節の分子プロファイリング

ある個体が、甲状腺のしこりに気づく。その個体は、ホームドクターを受診する。ホームドクターは、しこりから試料を得て、それを分子プロファイリング分析に供することを決める。医師は、細針吸引を介して試料を得て、妥当性試験を実施し、液状化細胞診溶液中に試料を保管し、分子プロファイリングビジネスにそれを送るため、分子プロファイリングビジネスのキットを使用する。分子プロファイリングビジネスは、一部を細胞学的分析のために、残りを試料からのmRNA抽出のために、試料を分割し、抽出されたmRNA試料の品質および適応性を分析し、図5にリスト化された遺伝子のサブセットの発現レベルおよび選択的エキソン使用を分析する。この場合において、プロファイリングされる特定の遺伝子発現産物は、試料型、医師の予備的診断、および分子プロファイリング企業により決定される。

【0264】

分子プロファイリングビジネスは、データを分析し、図20に例示されるように、個体の医師に、その結果として得られた診断を提供する。結果は、(1)プロファイリングされた遺伝子発現産物のリスト、(2)プロファイリングの結果(例えば、全mRNAのような内部標準またはチューブリンのようなよく特徴決定された遺伝子産物の発現に対してノーマライズされた発現レベル)、(3)マッチする型の正常組織について予想される遺伝子産物発現レベル、および(4)遺伝子産物発現レベルに基づくBobについての診断および推奨される処置、を提供する。分子プロファイリングビジネスは、与えられた製品およびサービスについて、個体の保険提供者に代金を請求する。

【0265】

実施例11：細胞学的調査の補助としての分子プロファイリング

ある個体が、甲状腺の疑わしいしこりに気づく。その個体は、プライマリケア医を受診し、プライマリケア医が個体を調査し、内分泌学者へ照会させる。内分泌学者が、細針吸引を介して試料を得て、細胞学的試験検査室へ試料を送る。細胞学的試験検査室が、細針吸引液の一部に対してルーチンの細胞学的試験を実施し、その結果は不明確（即ち、不確定）である。細胞学的試験検査室は、残りの試料が分子プロファイリングに適している可能性があることを内分泌学者に提案し、内分泌学者が同意する。

【0266】

残りの試料は、本明細書中の方法および組成物を使用して分析される。分子プロファイリング分析の結果は、初期濾胞細胞癌の高い確率を示唆する。結果は、患者の年齢、およびしこりまたは結節のサイズを含む、患者のデータと組み合わせられた分子プロファイリング分析が、甲状腺切除と、それに続く放射性ヨウ素アブレーションを必要とすることをさらに示唆する。内分泌学者は結果を検討し、推奨された治療を処方する。

10

【0267】

細胞学的試験検査室は、ルーチンの細胞学的試験および分子プロファイリングについて、内分泌学者に代金を請求する。内分泌学者は、細胞学的試験検査室へ支払いを送り、与えられた全ての製品およびサービスについて個体の保険提供者に代金を請求する。細胞学的試験検査室は、分子プロファイリングビジネスに分子プロファイリングについての支払いを渡し、小さな差額を差し引く。

【0268】

実施例12：第三者により実施される分子プロファイリング

ある個体が、頸部の疑わしいしこりについて医師に訴える。医師は、その個体を調査し、結果を保留にして、分子プロファイリング試験および追跡調査を処方する。個体は、CLIA検査室としても公知の臨床試験検査室を訪れる。CLIA検査室は、本発明の分子プロファイリングを実施するライセンスを有する。個体は細針吸引を介してCLIA検査室で試料を提供し、試料は本明細書中の分子プロファイリングの方法および組成物を使用して分析される。分子プロファイリングの結果は、個体の医師に電子的に伝えられ、個体は追跡調査のスケジュールを決めるために連絡を受ける。医師は、分子プロファイリングの結果を個体に提示し、治療を処方する。

20

【0269】

実施例13：異なる分析法を使用した重複遺伝子

実施例2に記載された結果は、外科的甲状腺結節組織試料を調査し、悪性における遺伝子発現と良性における遺伝子発現とを比較することにより得られた（「悪性対良性」データセット）。この分析は、差次的に発現される（FDR $p < 0.05$ ）412個の遺伝子を同定した。実施例1に記載された以前の研究において、本発明者らは、(i) 試料の異なるコホートおよび(ii) 異なる分析法を使用して、悪性甲状腺結節と良性甲状腺結節とを区別することができる4918個の遺伝子を記載している（「4918」）。「悪性対良性」組織発見データセットは、「4918」発見データセットと231/412遺伝子を共有しており、181/412遺伝子が新たに発見された。

30

【0270】

組織コホートを使用した甲状腺髄様癌（MTC）と甲状腺垂型の「その他」との間の同様の比較は、これらの2つの群の間で差次的に発現される、668個の有意な遺伝子を指摘した（図10）。以前の「4918」遺伝子リストに対してクロスチェックすると、305/668遺伝子が以前に記載されており、363/668遺伝子が新たに発見されたことに気付く。

40

【0271】

本発明者らは、次に、外科的組織データセットを細針吸引液（FNA）データセットと組み合わせ、(i) 「ホットプローブ」アプローチおよび(ii) 「ベイズ」アプローチを使用して、もう一度、悪性対良性で比較した。各分析は、それぞれ、102個および498個の有意な遺伝子を同定した（表11および12）。

【0272】

50

この時点までに、計1343個の有意な遺伝子が同定された。しかしながら、別個の病態亜型を相互に分離する遺伝子を同定することを目標としたサブセット分析も、その後、実施した。この分析は、外科的組織コホートをを使用し、250個の有意な遺伝子をもたらした（図13）。

【0273】

要約すると、本明細書に記載された5つの比較は、1437個の有意な遺伝子を与える。これらのうち、636/1437遺伝子は、初めて、良性甲状腺病態と悪性甲状腺病態とを区別することが記載される。現時点で、568/636は、発表された科学文献または特許出願に甲状腺癌の診断マーカーとして未だ記載されていない。

【0274】

実施例14：臨床甲状腺FNA
方法

良性試料と悪性試料との間でmRNA発現が有意に異なる遺伝子を同定するため、前向きの臨床甲状腺FNA試料を、Affymetrix Human Exon 1.0STマイクロアレイを用いて調査した。

【0275】

およそ650万個のプロープからの強度データを抽出し、ノーマライズし、サマライズするため、Affymetrixソフトウェアを使用した。続いて、およそ280,000のコアプロープセットを、フィーチャー選択および分類において使用した。使用されたモデルは、LIMMA（フィーチャー選択のため）であり、ランダムフォレストおよびSVMを、分類のために使用した（Smyth 2004；Diaz-Uriarte and Alvarez de Andres 2006）。訓練、分類、およびクロスバリデーションの反復を、ランダムなデータサブセットを使用して実施した。上位フィーチャーを、上記の分類エンジンを使用して、三つの別々の分析において同定した。

【0276】

遺伝子のアノテーションおよび転写物クラスターID（TCID）へのマッピングは、絶えず進化しているが、TCIDを構成するプロープセットのヌクレオチド配列は変化しない。さらに、多数の有意なTCIDが、既知の遺伝子をマッピングしないが、これらも、甲状腺悪性の分類における同等に重要なバイオマーカーである。結果は、TCIDおよび各々に現在マッピングされている遺伝子の両方を使用して記載される（Affymetrixアノテーションファイル：HuEx-1_0-st-v2.na29.hg18.transcript.csv）。

【0277】

結果

前向きに収集された臨床甲状腺FNAにおける差別的な遺伝子発現の研究は、多数の統計的なサブ分析を必要とした。これらのサブ分析は、単独で、未知の病態の甲状腺結節の分類において有益な遺伝子の発見をもたらした。しかしながら、データセットの合同は、現在の細胞病理学よりも改善された精度で甲状腺FNAを正確に分類することができる甲状腺遺伝子パネルの新規の特徴決定、および分子プロファイリング法をもたらした。

【0278】

（表3）上位良性対悪性分析

この分析は、198遺伝子に現在マッピングされている175個の独特のTCIDをもたらした。

TCID	遺伝子記号 (Affy v.na29)	FDR LIMMA p値	変化倍率
2884845	GABRB2	2.85E-35	3.22
2400177	CAMK2N1	8.23E-30	2.50
3638204	MFGE8	2.16E-29	1.75
3638204	QTRT1	2.16E-29	1.75
2708855	C11orf72	4.11E-27	2.27

10

20

30

40

50

2708855	LIPH	4.11E-27	2.27
3415744	IGFBP6	5.44E-27	1.81
3136178	PLAG1	1.64E-26	1.76
2657808	CLDN16	3.63E-26	3.01
3451375	PRICKLE1	3.63E-26	1.78
2442008	RXRG	7.62E-26	2.17
3329343	MDK	3.60E-24	1.34
3666366	CDH3	3.60E-24	1.25
3757108	KRT19	1.06E-23	1.44
3040518	MACC1	1.14E-23	1.73
3988596	ZCCHC12	2.14E-23	2.22
3416895	METTL7B	2.90E-23	1.33
2721959	ROS1	6.26E-23	3.05
2721959	SLC34A2	6.26E-23	3.05
3125116	DLC1	9.12E-23	0.82
2828441	PDLIM4	9.51E-23	0.81
2783596	PDE5A	1.60E-22	1.93
3645555	TNFRSF12A	1.71E-22	1.25
3973891	CXorf27	1.75E-22	1.38
3973891	SYTL5	1.75E-22	1.38
2827645	SLC27A6	2.02E-22	2.28
3020343	MET	2.02E-22	2.25
3452478	AMIGO2	2.03E-22	1.17
2451931	GOLT1A	2.15E-22	0.84
3679959	EMP2	3.81E-22	1.51
3417249	ERBB3	1.11E-21	1.05
3087167	TUSC3	1.16E-21	1.90
2924492	HEY2	1.38E-21	1.38
2685304	PROS1	1.48E-21	2.15
3335894	CST6	1.50E-21	2.50

10

20

30

40

3393720	MPZL2	1.52E-21	1.86
3907234	SDC4	1.60E-21	1.64
4012178	CITED1	4.03E-21	2.42
2994981	PRR15	5.89E-21	0.94
2973232	C6orf174	6.09E-21	1.07
2973232	KIAA0408	6.09E-21	1.07
2809245	ITGA2	6.13E-21	1.84
3067478	NRCAM	9.01E-21	1.70
3420316	HMGA2	1.13E-20	0.94
4018327	TRPC5	1.14E-20	1.78
3416921	RDH5	1.24E-20	0.55
2333318	PTPRF	1.42E-20	0.78
3336486	C11orf80	1.71E-20	0.58
3336486	RCE1	1.71E-20	0.58
3044072	NOD1	3.06E-20	1.01
3417809	NAB2	3.40E-20	0.57
2710599	CLDN1	4.47E-20	2.53
3343452	FZD4	4.93E-20	1.49
3343452	PRSS23	4.93E-20	1.49
2720584	SLIT2	6.84E-20	1.45
3389976	SLC35F2	1.16E-19	0.94
3587495	SCG5	1.45E-19	1.60
3744463	MYH10	1.58E-19	1.40
3987607	CCDC121	1.87E-19	1.56
3987607	ZCCHC16	1.87E-19	1.56
3984945	ARMCX3	3.69E-19	1.11
2558612	TGFA	9.18E-19	0.89
3522398	AIDA	1.02E-18	1.33
3522398	DOCK9	1.02E-18	1.33
2781736	CFI	1.04E-18	1.91

10

20

30

40

3338192	CCND1	1.09E-18	1.25
3338192	FLJ42258	1.09E-18	1.25
2414958	TACSTD2	1.12E-18	0.91
2991860	ITGB8	1.51E-18	1.30
2805078	CDH6	1.64E-18	1.58
3976341	TIMP1	1.98E-18	1.68
2562435	EDNRB	1.98E-18	1.61
2562435	SFTPB	1.98E-18	1.61
3726154	ITGA3	2.04E-18	1.17
2381249	C1orf115	4.38E-18	0.92
2356818	BCL9	6.05E-18	0.63
3451814	MAFG	7.13E-18	1.92
3451814	NELL2	7.13E-18	1.92
3445908	EPS8	7.19E-18	1.60
2451870	ETNK2	8.68E-18	1.00
3201345	LOC554202	1.08E-17	1.05
3581221	AHNAK2	1.14E-17	1.28
2966193	C6orf168	1.23E-17	0.85
2876608	CXCL14	1.85E-17	1.76
3129065	CLU	1.85E-17	1.37
3222170	TNC	1.94E-17	1.24
2438458	CRABP2	2.16E-17	1.24
2600689	EPHA4	2.17E-17	1.51
3763390	TMEM100	2.61E-17	1.34
2902958	C4A	3.56E-17	1.36
2902958	C4B	3.56E-17	1.36
2952834	KCNK5	6.07E-17	0.51
2452478	LEMD1	9.66E-17	1.27
3751002	RAB34	1.14E-16	0.83
3489138	CYSLTR2	1.72E-16	1.61

10

20

30

40

2417362	DIRAS3	1.72E-16	1.15
2370123	XPR1	1.81E-16	0.89
2680046	ADAMTS9	1.83E-16	1.40
3494629	SCEL	2.04E-16	1.61
3040967	RAPGEF5	2.04E-16	0.92
3554452	KIAA0284	2.33E-16	0.59
4020655	ODZ1	2.44E-16	1.97
2400518	ECE1	3.31E-16	0.98
2598261	FN1	3.58E-16	2.41
3187686	GSN	4.03E-16	0.78
2742224	SPRY1	3.51E-15	1.18
3628832	DAPK2	4.59E-15	1.17
3408831	SSPN	4.69E-15	0.99
3925639	NRIP1	5.01E-15	1.02
3683377	GPRC5B	5.39E-15	1.10
2397025	DHRS3	5.83E-15	1.14
2816298	IQGAP2	6.56E-15	-1.04
3848039	C3	7.85E-15	1.62
3367673	MPPED2	7.93E-15	-1.71
2822215	PAM	8.70E-15	1.08
2567167	LONRF2	1.12E-14	1.40
2522094	SPATS2L	2.21E-14	0.96
3898355	FLRT3	2.70E-14	1.96
3717870	TMEM98	2.72E-14	1.51
3212008	FRMD3	3.50E-14	1.43
2597867	IKZF2	3.58E-14	0.91
3007960	CLDN4	6.44E-14	1.27
2468811	ASAP2	7.11E-14	0.89
3046197	ELMO1	8.04E-14	-1.10
3132616	ZMAT4	8.04E-14	-1.29

10

20

30

40

3181600	GALNT12	8.25E-14	0.74
3095313	C8orf4	8.38E-14	1.28
2525533	LOC648149	8.38E-14	1.01
2525533	MAP2	8.38E-14	1.01
3464860	DUSP6	9.39E-14	1.10
3464860	LOC100131490	9.39E-14	1.10
2751936	GALNT7	1.52E-13	0.93
2578790	LRP1B	1.65E-13	-1.33
2700365	TM4SF1	2.19E-13	1.60
2598828	IGFBP5	2.87E-13	1.67
3126191	PSD3	3.12E-13	1.34
3979101	FAAH2	3.88E-13	0.68
3577612	SERPINA1	3.99E-13	1.12
3577612	SERPINA2	3.99E-13	1.12
3622934	MYEF2	4.25E-13	0.92
3622934	SLC24A5	4.25E-13	0.92
2738664	SGMS2	4.47E-13	1.13
3692999	MT1G	4.65E-13	-2.43
2902844	C2	7.40E-13	1.36
2902844	CFB	7.40E-13	1.36
3662201	MT1F	8.84E-13	-1.87
3662201	MT1H	8.84E-13	-1.87
3662201	MT1P2	8.84E-13	-1.87
2617188	ITGA9	1.07E-12	1.05
3401704	CCND2	1.09E-12	0.86
2562529	ST3GAL5	1.34E-12	0.88
2371139	LAMC2	1.53E-12	0.99
2626802	PTPRG	1.83E-12	1.06
2834282	STK32A	2.53E-12	1.23
2526806	FN1	3.12E-12	1.84

10

20

30

40

3111561	MAPK6	3.66E-12	-2.04
3111561	PKHD1L1	3.66E-12	-2.04
3238962	KIAA1217	7.24E-12	1.21
3238962	PRINS	7.24E-12	1.21
3110608	TM7SF4	7.72E-12	1.92
2466554	TPO	1.14E-11	-1.78
3126368	PSD3	2.30E-11	1.39
3558418	STXBP6	3.35E-11	0.94
2980449	IPCEF1	3.42E-11	-1.05
3907190	SLPI	4.25E-11	1.61
2955932	GPR110	5.17E-11	1.29
2976360	PERP	7.31E-11	1.31
2686023	DCBLD2	8.03E-11	0.98
2915828	NT5E	9.40E-11	1.19
3219621	CTNNAL1	1.17E-10	1.01
3971451	PHEX	1.39E-10	1.53
3417583	RBMS2	1.39E-10	1.09
2424102	CNN3	1.58E-10	1.07
3369931	RAG2	2.12E-10	-1.41
2730746	SLC4A4	2.24E-10	-1.21
3010503	CD36	2.91E-10	-1.42
3446137	LMO3	3.09E-10	1.44
3933536	TFF3	3.09E-10	-1.10
4021777	IGSF1	3.11E-10	1.55
3467949	SLC5A8	4.08E-10	-1.34
3288518	C10orf72	4.26E-10	1.18
2336891	DIO1	4.31E-10	-1.73
2498274	C2orf40	4.39E-10	1.71
2740067	ANK2	5.52E-10	-0.90
2924330	TPD52L1	6.04E-10	1.09

10

20

30

40

2427469	SLC16A4	6.71E-10	1.37
2727587	KIT	1.23E-09	-1.24
3464417	MGAT4C	1.45E-09	1.26
2331558	BMP8A	3.61E-09	-1.55
2711205	ATP13A4	6.51E-09	1.15
3142381	FABP4	7.25E-09	-1.59
3743551	CLDN7	8.01E-09	1.13
3662150	MT1M	8.06E-09	-1.47
3662150	MT1P3	8.06E-09	-1.47
3166644	TMEM215	9.05E-09	1.51
3087659	SLC7A2	1.32E-08	1.28
3321055	TEAD1	1.37E-07	1.10
3059667	SEMA3D	1.43E-07	-1.83

10

20

【 0 2 7 9 】

(表4) 上位亜型分析

この分析は、681遺伝子に現在マッピングされている599個の独特のTCIDをもたらした。

TCID	遺伝子記号 (Affy vna29)	亜型 1	亜型 2	亜型 3	亜型 4
3153400	3153400	NHP_PTC			
3749600	3749600	NHP_PTC			
3726691	ABCC3		FA_FVPTC		
3368940	ABTB2	NHP_PTC			
3279058	ACBD7	NHP_PTC			
2796553	ACSL1	NHP_PTC			
3299504	ACTA2	NHP_PTC			
3927480	ADAMTS5	NHP_PTC			
2680046	ADAMTS9	NHP_PTC	FA_FVPTC	NHP_FVPTC	LCT_REST
3252170	ADK	NHP_PTC			
3039791	AGR2	NHP_PTC			
3581221	AHNAK2	NHP_PTC			
2991233	AHR	NHP_PTC			

30

40

3522398	AIDA	NHP_PTC		NHP_FVPTC	
3226138	AK1	NHP_PTC			
3233049	AKR1C3			NHP_FVPTC	
4009849	ALAS2	NHP_PTC			
3611625	ALDH1A3	NHP_PTC			
3169331	ALDH1B1		FA_FVPTC		
3571727	ALDH6A1		FA_FVPTC		
3452478	AMIGO2	NHP_PTC			
4018454	AMOT	NHP_PTC			
2740067	ANK2	NHP_PTC		NHP_FVPTC	
3323748	ANO5		FA_FVPTC	NHP_FVPTC	
3174816	ANXA1	NHP_PTC			
2732844	ANXA3	NHP_PTC			
2881747	ANXA6			NHP_FVPTC	
3046062	AOAH	NHP_PTC			
2455418	AP3S1	NHP_PTC			
4002809	APOO		FA_FVPTC	NHP_FVPTC	
3595594	AQP9	NHP_PTC			
2734421	ARHGAP24	NHP_PTC			
2632453	ARL13B	NHP_PTC			
2931391	ARL4A	NHP_PTC			
3984945	ARMCX3	NHP_PTC			
4015838	ARMCX6	NHP_PTC			
3321150	ARNTL	NHP_PTC			
3768474	ARSG			NHP_FVPTC	
2468811	ASAP2	NHP_PTC			
2526759	ATIC	NHP_PTC			
2711225	ATP13A4	NHP_PTC			
2711205	ATP13A4	NHP_PTC			
3105749	ATP6V0D2			NHP_FVPTC	

10

20

30

40

3824596	B3GNT3	NHP_PTC			
2356818	BCL9	NHP_PTC			
2608725	BHLHE40	NHP_PTC			
3448088	BHLHE41	NHP_PTC			
3772187	BIRC5				LCT_REST
2331558	BMP8A	NHP_PTC		NHP_FVPTC	
3926080	BTG3	NHP_PTC			
3288518	C10orf72		FA_FVPTC	NHP_FVPTC	
2708855	C11orf72	NHP_PTC	FA_FVPTC	NHP_FVPTC	
3327166	C11orf74		FA_FVPTC	NHP_FVPTC	
3336486	C11orf80	NHP_PTC			
3473331	C12orf49	NHP_PTC			
3571727	C14orf45		FA_FVPTC		
3649714	C16orf45	NHP_PTC			
3832280	C19orf33	NHP_PTC			
2381249	C1orf115	NHP_PTC			
2453065	C1orf116	NHP_PTC			
2902844	C2	NHP_PTC			
3963676	C22orf9			NHP_FVPTC	
2498274	C2orf40	NHP_PTC	FA_FVPTC	NHP_FVPTC	
3848039	C3	NHP_PTC			
2902958	C4A	NHP_PTC	FA_FVPTC	NHP_FVPTC	
2902958	C4B	NHP_PTC	FA_FVPTC	NHP_FVPTC	
2766492	C4orf34	NHP_PTC			
2730303	C4orf7				LCT_REST
2855578	C5orf28		FA_FVPTC		
2966193	C6orf168	NHP_PTC			
2973232	C6orf174	NHP_PTC	FA_FVPTC		
3060450	C7orf62	NHP_PTC			
3095313	C8orf4	NHP_PTC			

10

20

30

40

3086809	C8orf79		FA_FVPTC		
3867264	CA11	NHP_PTC			
3392332	CADM1	NHP_PTC			
2400177	CAMK2N1	NHP_PTC	FA_FVPTC	NHP_FVPTC	
3420713	CAND1	NHP_PTC			
3020302	CAV1	NHP_PTC			
3020273	CAV2	NHP_PTC			
3987607	CCDC121	NHP_PTC	FA_FVPTC	NHP_FVPTC	
2582701	CCDC148	NHP_PTC			
2688813	CCDC80	NHP_PTC			
3718204	CCL13	NHP_PTC			
3204285	CCL19				LCT_REST
3338192	CCND1	NHP_PTC	FA_FVPTC	NHP_FVPTC	
3380065	CCND1			NHP_FVPTC	
3401704	CCND2	NHP_PTC		NHP_FVPTC	
3316344	CD151	NHP_PTC			
2860178	CD180				LCT_REST
2636125	CD200	NHP_PTC			
3010503	CD36	NHP_PTC		NHP_FVPTC	
3834502	CD79A				LCT_REST
2671728	CDCP1	NHP_PTC			
3694657	CDH11	NHP_PTC			
3666366	CDH3	NHP_PTC	FA_FVPTC		
2805078	CDH6	NHP_PTC			
3417146	CDK2	NHP_PTC			
2773719	CDKL2	NHP_PTC			
2871896	CDO1	NHP_PTC			
4024373	CDR1	NHP_PTC			
2902844	CFB	NHP_PTC			
2373336	CFH	NHP_PTC			

10

20

30

40

2373336	CFHR1	NHP_PTC			
2781736	CFI	NHP_PTC			
3920003	CHAF1B	NHP_PTC			
3442054	CHD4	NHP_PTC			
4012178	CITED1	NHP_PTC	FA_FVPTC	NHP_FVPTC	
3178583	CKS2	NHP_PTC			
3862108	CLC	NHP_PTC			
2710599	CLDN1	NHP_PTC		NHP_FVPTC	
3497195	CLDN10	NHP_PTC			
2657808	CLDN16	NHP_PTC	FA_FVPTC	NHP_FVPTC	
3007960	CLDN4	NHP_PTC		NHP_FVPTC	
3743551	CLDN7	NHP_PTC			
3443183	CLEC4E	NHP_PTC			
3129065	CLU	NHP_PTC	FA_FVPTC		
2424102	CNN3	NHP_PTC			
3762198	COL1A1	NHP_PTC			
3761054	COPZ2		FA_FVPTC	NHP_FVPTC	
3106559	CP	NHP_PTC			
3105904	CPNE3		FA_FVPTC		
2377283	CR2				LCT_REST
3603295	CRABP1	NHP_PTC			
2438458	CRABP2	NHP_PTC	FA_FVPTC		
2406783	CSF3R	NHP_PTC			
3126504	CSGALNACT1		FA_FVPTC		
3335894	CST6	NHP_PTC	FA_FVPTC	NHP_FVPTC	
3219621	CTNNAL1	NHP_PTC			
2618940	CTNNB1	NHP_PTC			
3634811	CTSH	NHP_PTC			
3338552	CTTN	NHP_PTC			
2773434	CXCL1	NHP_PTC			

10

20

30

40

2732508	CXCL13				LCT_REST
2876608	CXCL14	NHP_PTC			
3863640	CXCL17	NHP_PTC			
2773434	CXCL2	NHP_PTC			
2773434	CXCL3	NHP_PTC			
4024420	CXorf18	NHP_PTC			
3973891	CXorf27	NHP_PTC			
3910429	CYP24A1			NHP_FVPTC	
2528093	CYP27A1			NHP_FVPTC	
3489138	CYSLTR2	NHP_PTC	FA_FVPTC	NHP_FVPTC	
3628832	DAPK2	NHP_PTC	FA_FVPTC	NHP_FVPTC	
2686023	DCBLD2	NHP_PTC			
3683845	DCUN1D3	NHP_PTC			
2420832	DDAH1	NHP_PTC			
3329649	DDB2	NHP_PTC			
3754736	DDX52	NHP_PTC			
3487095	DGKH	NHP_PTC			
3074912	DGKI	NHP_PTC			
3558118	DHRS1	NHP_PTC			
2397025	DHRS3	NHP_PTC			
2336891	DIO1	NHP_PTC	FA_FVPTC	NHP_FVPTC	
2417362	DIRAS3	NHP_PTC		NHP_FVPTC	
3125116	DLC1	NHP_PTC	FA_FVPTC		
3522398	DOCK9	NHP_PTC		NHP_FVPTC	
3913483	DPH3B		FA_FVPTC		
2584018	DPP4	NHP_PTC			
2880292	DPYSL3	NHP_PTC			
3783529	DSG2	NHP_PTC			
2893794	DSP	NHP_PTC			
2958325	DST	NHP_PTC			

10

20

30

40

3622176	DUOX1			NHP_FVPTC	
3622176	DUOX2			NHP_FVPTC	
3622239	DUOXA1			NHP_FVPTC	
3622239	DUOXA2			NHP_FVPTC	
3129731	DUSP4	NHP_PTC			
3263743	DUSP5	NHP_PTC			
3464860	DUSP6	NHP_PTC			
3497195	DZIP1	NHP_PTC			
2400518	ECE1	NHP_PTC	FA_FVPTC	NHP_FVPTC	
2562435	EDNRB	NHP_PTC			
3002640	EGFR	NHP_PTC			
2484970	EHBP1	NHP_PTC			
3837431	EHD2	NHP_PTC			
3326461	EHF	NHP_PTC			
3544387	EIF2B2		FA_FVPTC		
3427098	ELK3	NHP_PTC			
3046197	ELMO1	NHP_PTC			
3679959	EMP2	NHP_PTC	FA_FVPTC	NHP_FVPTC	
3852832	EMR3	NHP_PTC			
2458338	ENAH	NHP_PTC			
3345427	ENDOD1	NHP_PTC			
2327677	EPB41	NHP_PTC			
2600689	EPHA4	NHP_PTC			
2346625	EPHX4	NHP_PTC			
3772187	EPR1				LCT_REST
3445908	EPS8	NHP_PTC			
3720402	ERBB2		FA_FVPTC		
3417249	ERBB3	NHP_PTC			
3683845	ERI2	NHP_PTC			
2462329	ERO1LB		FA_FVPTC		

10

20

30

40

3445768	ERP27	NHP_PTC			
2451870	ETNK2	NHP_PTC			
3039177	ETV1	NHP_PTC			
2709132	ETV5	NHP_PTC			
2863363	F2RL2	NHP_PTC			
3979101	FAAH2	NHP_PTC			
3142381	FABP4	NHP_PTC		NHP_FVPTC	
3331926	FAM111A	NHP_PTC			
3331903	FAM111B	NHP_PTC			
3104323	FAM164A	NHP_PTC			
2560625	FAM176A	NHP_PTC			
3768535	FAM20A	NHP_PTC			
3143330	FAM82B		FA_FVPTC		
3152558	FAM84B	NHP_PTC			
2396750	FBXO2	NHP_PTC			
3473480	FBXO21	NHP_PTC			
3229338	FCN1	NHP_PTC			
3229338	FCN2	NHP_PTC			
2742109	FGF2	NHP_PTC			
3413950	FGFR10P2	NHP_PTC			
3324447	FIBIN		FA_FVPTC		
2738244	FLJ20184	NHP_PTC			
3346147	FLJ32810	NHP_PTC			
3338192	FLJ42258	NHP_PTC	FA_FVPTC	NHP_FVPTC	
3380065	FLJ42258			NHP_FVPTC	
3898355	FLRT3	NHP_PTC			
2526806	FN1	NHP_PTC			
2598261	FN1	NHP_PTC	FA_FVPTC		
3869237	FPR1	NHP_PTC			
3839910	FPR2	NHP_PTC			

10

20

30

40

3212008	FRMD3	NHP_PTC	FA_FVPTC	NHP_FVPTC	
3393479	FXYD6			NHP_FVPTC	
3343452	FZD4	NHP_PTC			
3110272	FZD6	NHP_PTC			
2523045	FZD7	NHP_PTC			
3217242	GABBR2	NHP_PTC			
2884845	GABRB2	NHP_PTC	FA_FVPTC	NHP_FVPTC	
2341083	GADD45A	NHP_PTC			
2401581	GALE	NHP_PTC			
3181600	GALNT12	NHP_PTC			
2585129	GALNT3	NHP_PTC			
2751936	GALNT7	NHP_PTC			
2684187	GBE1			NHP_FVPTC	
2421843	GBP1	NHP_PTC			
2421843	GBP3	NHP_PTC			
3044129	GGCT	NHP_PTC			
4015763	GLA			NHP_FVPTC	
3593931	GLDN	NHP_PTC			
2417272	GNG12	NHP_PTC			
2451931	GOLT1A	NHP_PTC			
2955932	GPR110	NHP_PTC			
2955999	GPR110	NHP_PTC			
2819779	GPR98	NHP_PTC		NHP_FVPTC	
3683377	GPRC5B	NHP_PTC			
2827057	GRAMD3	NHP_PTC			
3187686	GSN	NHP_PTC			
2787958	GYPB	NHP_PTC			
2504328	GYPC	NHP_PTC			
2787958	GYPE	NHP_PTC			
2809793	GZMK				LCT_REST

10

20

30

40

3217077	HEMGN	NHP_PTC			
2924492	HEY2	NHP_PTC	FA_FVPTC	NHP_FVPTC	
2946194	HIST1H1A	NHP_PTC			
2946215	HIST1H3B				LCT_REST
2947081	HIST1H4L				LCT_REST
2950125	HLA-DQB2	NHP_PTC			
3420316	HMGA2	NHP_PTC			
3830065	HPN	NHP_PTC			
2658275	HRASLS		FA_FVPTC		
3508330	HSPH1	NHP_PTC			
3820443	ICAM1	NHP_PTC			
2401493	ID3		FA_FVPTC		
2708922	IGF2BP2		FA_FVPTC		
2598828	IGFBP5	NHP_PTC			
3415744	IGFBP6	NHP_PTC	FA_FVPTC	NHP_FVPTC	
4021777	IGSF1	NHP_PTC	FA_FVPTC		
2597867	IKZF2		FA_FVPTC	NHP_FVPTC	
3755862	IKZF3		FA_FVPTC		
2497082	IL1RL1	NHP_PTC			
3275729	IL2RA			NHP_FVPTC	
2731332	IL8			NHP_FVPTC	
2599303	IL8RA	NHP_PTC			
2599303	IL8RB	NHP_PTC			
2527580	IL8RB	NHP_PTC			
2599303	IL8RBP	NHP_PTC			
2527580	IL8RBP	NHP_PTC			
2673873	IMPDH2	NHP_PTC			
3267382	INPP5F	NHP_PTC			
2980449	IPCEF1	NHP_PTC			
2816298	IQGAP2	NHP_PTC			

10

20

30

40

2809245	ITGA2	NHP_PTC			
3726154	ITGA3	NHP_PTC			
2617188	ITGA9	NHP_PTC	FA_FVPTC		
3852832	ITGB1	NHP_PTC			
2583465	ITGB6	NHP_PTC			
2991860	ITGB8	NHP_PTC			
4013549	ITM2A				LCT_REST
2608469	ITPR1	NHP_PTC			
3556990	JUB	NHP_PTC			
3998766	KAL1	NHP_PTC			
2628260	KBTBD8				LCT_REST
2952834	KCNK5	NHP_PTC			
3154002	KCNQ3	NHP_PTC			
3383130	KCTD14	NHP_PTC			
2827525	KDELC1	NHP_PTC			
3945314	KDELR3	NHP_PTC			
2959039	KHDRBS2	NHP_PTC			
3554452	KIAA0284	NHP_PTC		NHP_FVPTC	
2973232	KIAA0408	NHP_PTC	FA_FVPTC		
3238962	KIAA1217	NHP_PTC		NHP_FVPTC	
3529951	KIAA1305		FA_FVPTC		
2727587	KIT	NHP_PTC	FA_FVPTC	NHP_FVPTC	
3978943	KLF8	NHP_PTC			
2708066	KLHL6				LCT_REST
3868828	KLK10	NHP_PTC			
3868783	KLK7	NHP_PTC			
3415576	KRT18	NHP_PTC			
3757108	KRT19	NHP_PTC	FA_FVPTC		
2453793	LAMB3	NHP_PTC			
2371065	LAMC1	NHP_PTC			

10

20

30

40

2371139	LAMC2	NHP_PTC			
2962026	LCA5	NHP_PTC			
3653619	LCMT1	NHP_PTC			
3190190	LCN2	NHP_PTC			
4024420	LDOC1	NHP_PTC			
2452478	LEMD1	NHP_PTC			
2854092	LIFR		FA_FVPTC		
3841545	LILRA1	NHP_PTC			
3841545	LILRB1	NHP_PTC			
3454331	LIMA1	NHP_PTC			
3202528	LINGO2	NHP_PTC			
2708855	LIPH	NHP_PTC	FA_FVPTC	NHP_FVPTC	
3446137	LMO3	NHP_PTC	FA_FVPTC	NHP_FVPTC	
2345286	LMO4	NHP_PTC			
3028011	LOC100124692	NHP_PTC			
3442054	LOC100127974	NHP_PTC			
3765689	LOC100129112	NHP_PTC			
3759587	LOC100129115	NHP_PTC			
2601414	LOC100129171	NHP_PTC			
2577482	LOC100129961	NHP_PTC			
2504328	LOC100130248	NHP_PTC			
3110272	LOC100131102	NHP_PTC			
3464860	LOC100131490	NHP_PTC			
2364677	LOC100131938	NHP_PTC			
3922793	LOC100132338	NHP_PTC			
3392332	LOC100132764	NHP_PTC			
3487095	LOC283508	NHP_PTC			
3724698	LOC440434	NHP_PTC			
3201345	LOC554202	NHP_PTC			
2455418	LOC643454	NHP_PTC			

10

20

30

40

2525533	LOC648149	NHP_PTC			
4015838	LOC653354	NHP_PTC			
3724698	LOC653498	NHP_PTC			
2936857	LOC730031	NHP_PTC			
2567167	LONRF2	NHP_PTC			LCT_REST
2872848	LOX	NHP_PTC			
3220384	LPAR1			NHP_FVPTC	
3442137	LPAR5	NHP_PTC			
3088486	LPL	NHP_PTC			
2578790	LRP1B	NHP_PTC		NHP_FVPTC	
3106559	LRRC69	NHP_PTC			
2608309	LRRN1	NHP_PTC			
3465248	LUM	NHP_PTC			
3683845	LYRM1	NHP_PTC			
3040518	MACC1	NHP_PTC	FA_FVPTC		
3451814	MAFG	NHP_PTC	FA_FVPTC		
3994710	MAMLD1	NHP_PTC			
2525533	MAP2	NHP_PTC			
3111561	MAPK6	NHP_PTC		NHP_FVPTC	
3108526	MATN2		FA_FVPTC		
2539607	MBOAT2	NHP_PTC			
3097152	MCM4	NHP_PTC			
3063685	MCM7	NHP_PTC			
3329343	MDK	NHP_PTC	FA_FVPTC		
2962820	ME1			NHP_FVPTC	
3765689	MED13	NHP_PTC			
3020343	MET	NHP_PTC	FA_FVPTC	NHP_FVPTC	
3416895	METTL7B	NHP_PTC	FA_FVPTC	NHP_FVPTC	
3808096	MEX3C	NHP_PTC			
3638204	MFGE8	NHP_PTC	FA_FVPTC	NHP_FVPTC	

10

20

30

40

3028011	MGAM	NHP_PTC			
2890859	MGAT1			NHP_FVPTC	
3464417	MGAT4C	NHP_PTC			
2658275	MGC2889		FA_FVPTC		
3406589	MGST1	NHP_PTC			
3707759	MIS12		FA_FVPTC		
2936857	MLLT4	NHP_PTC			
3143660	MMP16	NHP_PTC			
3143643	MMP16	NHP_PTC			
2362333	MNDA	NHP_PTC			
4017212	MORC4	NHP_PTC			
3367673	MPPED2	NHP_PTC			
3393720	MPZL2	NHP_PTC	FA_FVPTC	NHP_FVPTC	
2955025	MRPL14	NHP_PTC			
3662201	MT1F	NHP_PTC	FA_FVPTC		
3692999	MT1G	NHP_PTC		NHP_FVPTC	
3662201	MT1H	NHP_PTC	FA_FVPTC		
3662150	MT1M	NHP_PTC			
3662201	MT1P2	NHP_PTC	FA_FVPTC		
3662150	MT1P3	NHP_PTC			
2931391	MTHFD1L	NHP_PTC			
2437118	MUC1	NHP_PTC			
3366903	MUC15	NHP_PTC			
3655723	MVP	NHP_PTC			
3997825	MXRA5	NHP_PTC			
3622934	MYEF2	NHP_PTC			
3744463	MYH10	NHP_PTC			
2520429	MYO1B	NHP_PTC			
3752709	MYO1D	NHP_PTC			
3624607	MYO5A			NHP_FVPTC	

10

20

30

40

2914070	MYO6	NHP_PTC			
3417809	NAB2	NHP_PTC			
3695268	NAE1	NHP_PTC			
3074912	NAG20	NHP_PTC			
3323052	NAV2		FA_FVPTC	NHP_FVPTC	
3349293	NCAM1		FA_FVPTC		
2590736	NCKAP1	NHP_PTC			
3495076	NDFIP2	NHP_PTC			
3789947	NEDD4L	NHP_PTC			
3451814	NELL2	NHP_PTC	FA_FVPTC		
2343231	NEXN	NHP_PTC			
3456666	NFE2	NHP_PTC			
3199207	NFIB	NHP_PTC			
2325410	NIPAL3	NHP_PTC			
3182957	NIPSNAP3A		FA_FVPTC		
3182957	NIPSNAP3B		FA_FVPTC		
3044072	NOD1	NHP_PTC	FA_FVPTC		
3571904	NPC2	NHP_PTC			
3724698	NPEPPS	NHP_PTC			
2370926	NPL			NHP_FVPTC	
2792127	NPY1R	NHP_PTC			
3067478	NRCAM	NHP_PTC		NHP_FVPTC	
3925639	NRIP1	NHP_PTC			
2524301	NRP2	NHP_PTC			
2915828	NT5E	NHP_PTC			
3143330	NTAN1		FA_FVPTC		
3322251	NUCB2		FA_FVPTC	NHP_FVPTC	
2742109	NUDT6	NHP_PTC			
3654699	NUPR1		FA_FVPTC		
2768654	OCIAD2	NHP_PTC			

10

20

30

40

2375338	OCR1	NHP_PTC			
4020655	ODZ1	NHP_PTC	FA_FVPTC	NHP_FVPTC	
3380065	ORAOV1			NHP_FVPTC	
3801621	OSBPL1A			NHP_FVPTC	
3555461	OSGEP	NHP_PTC			
2807359	OSMR	NHP_PTC			
2701071	P2RY13	NHP_PTC			
2875193	P4HA2	NHP_PTC			
2822215	PAM	NHP_PTC			
3256590	PAPSS2			NHP_FVPTC	
3505781	PARP4	NHP_PTC			
3320865	PARVA	NHP_PTC			
2364677	PBX1	NHP_PTC			
3134922	PCMTD1		FA_FVPTC		
2783596	PDE5A	NHP_PTC		NHP_FVPTC	
3922793	PDE9A	NHP_PTC			
3087703	PDGFRL	NHP_PTC			
3301218	PDLIM1	NHP_PTC			
2828441	PDLIM4	NHP_PTC			
3411810	PDZRN4	NHP_PTC			
3013255	PEG10	NHP_PTC			
2976360	PERP	NHP_PTC			
3971451	PHEX	NHP_PTC			
3975893	PHF16	NHP_PTC			
2635906	PHLDB2	NHP_PTC			
3127385	PHYHIP	NHP_PTC			
3811086	PIGN		FA_FVPTC		
3111561	PKHD1L1	NHP_PTC		NHP_FVPTC	
2511820	PKP4	NHP_PTC			
3376529	PLA2G16	NHP_PTC			

10

20

30

40

2955827	PLA2G7			NHP_FVPTC	
2583374	PLA2R1	NHP_PTC			
3136178	PLAG1	NHP_PTC	FA_FVPTC	NHP_FVPTC	
3252036	PLAU	NHP_PTC			
3759587	PLCD3	NHP_PTC			
2521574	PLCL1			NHP_FVPTC	
3867458	PLEKHA4	NHP_PTC			
3407096	PLEKHA5	NHP_PTC			
2858023	PLK2	NHP_PTC			
3987996	PLS3	NHP_PTC			
3911217	PMEPA1	NHP_PTC			
3061997	PON2	NHP_PTC			
2763550	PPARGC1A	NHP_PTC			
2773358	PPBP	NHP_PTC			
3678462	PPL	NHP_PTC			
2931090	PPP1R14C	NHP_PTC			
3384270	PRCP			NHP_FVPTC	
3451375	PRICKLE1	NHP_PTC			
3238962	PRINS	NHP_PTC		NHP_FVPTC	
2682271	PROK2	NHP_PTC			
2685304	PROS1	NHP_PTC			
2994981	PRR15	NHP_PTC			
3973692	PRRG1	NHP_PTC			
3343452	PRSS23	NHP_PTC			
3175971	PSAT1		FA_FVPTC		
3126368	PSD3	NHP_PTC			
3126191	PSD3	NHP_PTC			
2455418	PTPN14	NHP_PTC			
2333318	PTPRF	NHP_PTC			
2626802	PTPRG	NHP_PTC			

10

20

30

40

2973376	PTPRK	NHP_PTC			
3757917	PTRF	NHP_PTC			
3134922	PXDNL		FA_FVPTC		
3638204	QTRT1	NHP_PTC	FA_FVPTC	NHP_FVPTC	
2361257	RAB25	NHP_PTC			
3625271	RAB27A	NHP_PTC			
2929699	RAB32			NHP_FVPTC	
3751002	RAB34	NHP_PTC			
3183757	RAD23B	NHP_PTC			
3369931	RAG2	NHP_PTC	FA_FVPTC		
4001223	RAI2	NHP_PTC			
3040967	RAPGEF5	NHP_PTC			
3456081	RARG	NHP_PTC			
2819044	RASA1	NHP_PTC			
3944210	RASD2	NHP_PTC			
4000944	RBBP7	NHP_PTC			
3781429	RBBP8	NHP_PTC			
3417583	RBMS2	NHP_PTC			
3336486	RCE1	NHP_PTC			
3416921	RDH5	NHP_PTC			
2779335	RG9MTD2		FA_FVPTC		
2372812	RGS13				LCT_REST
2372719	RGS18	NHP_PTC			
2372858	RGS2	NHP_PTC			
2384401	RHOU	NHP_PTC			
2580802	RND3	NHP_PTC			
2721959	ROS1	NHP_PTC	FA_FVPTC	NHP_FVPTC	
2709606	RPL39L	NHP_PTC			
3804143	RPRD1A	NHP_PTC			
3867965	RRAS	NHP_PTC			

10

20

30

40

2469252	RRM2				LCT_REST
2442008	RXRG	NHP_PTC	FA_FVPTC	NHP_FVPTC	
2435981	S100A12	NHP_PTC			
4045665	S100A14	NHP_PTC			
4045643	S100A16	NHP_PTC			
2435989	S100A8	NHP_PTC			
2359664	S100A9	NHP_PTC			
3691326	SALL1	NHP_PTC		NHP_FVPTC	
3564027	SAV1	NHP_PTC			
2750594	SC4MOL	NHP_PTC			
3091475	SCARA3	NHP_PTC			
3442054	SCARNA11	NHP_PTC			
3494629	SCEL	NHP_PTC			
3587495	SCG5	NHP_PTC		NHP_FVPTC	
3441885	SCNN1A	NHP_PTC			
3043895	SCRN1	NHP_PTC			
3907234	SDC4	NHP_PTC	FA_FVPTC	NHP_FVPTC	
3779756	SEH1L	NHP_PTC			
2443450	SELL	NHP_PTC			
3058759	SEMA3C			NHP_FVPTC	
3059667	SEMA3D	NHP_PTC			
2732273	SEPT11	NHP_PTC			
2328273	SERINC2	NHP_PTC			
3577612	SERPINA1	NHP_PTC	FA_FVPTC		
3577612	SERPINA2	NHP_PTC	FA_FVPTC		
2601414	SERPINE2	NHP_PTC			
3331355	SERPING1	NHP_PTC			
2326774	SFN	NHP_PTC			
2562435	SFTPB	NHP_PTC			
2768981	SGCB	NHP_PTC			

10

20

30

40

3061805	SGCE	NHP_PTC			
2648535	SGEF	NHP_PTC			
2738664	SGMS2	NHP_PTC			
3088213	SH2D4A	NHP_PTC			
3304970	SH3PXD2A	NHP_PTC			
3894727	SIRPA	NHP_PTC			
3894727	SIRPB1	NHP_PTC			
3154263	SLA	NHP_PTC			
2827525	SLC12A2	NHP_PTC			
2427469	SLC16A4	NHP_PTC			
3768412	SLC16A6			NHP_FVPTC	
2960955	SLC17A5	NHP_PTC			
3622934	SLC24A5	NHP_PTC			
3018605	SLC26A4	NHP_PTC			
3106559	SLC26A7	NHP_PTC			
3593575	SLC27A2	NHP_PTC			
2827645	SLC27A6	NHP_PTC			
2721959	SLC34A2	NHP_PTC	FA_FVPTC	NHP_FVPTC	
3216276	SLC35D2		FA_FVPTC		
3389976	SLC35F2	NHP_PTC			
3804195	SLC39A6	NHP_PTC			
2730746	SLC4A4	NHP_PTC			
3467949	SLC5A8	NHP_PTC			
2786322	SLC7A11		FA_FVPTC	NHP_FVPTC	
3087659	SLC7A2	NHP_PTC			
2720584	SLIT2	NHP_PTC			
3907190	SLPI	NHP_PTC			
3509842	SMAD9		FA_FVPTC		
2937144	SMOC2	NHP_PTC			
3766960	SMURF2	NHP_PTC			

10

20

30

40

2777714	SNCA	NHP_PTC			
3597857	SNX1	NHP_PTC			
3597914	SNX22	NHP_PTC			
2348437	SNX7	NHP_PTC			
2369557	SOAT1			NHP_FVPTC	
2797202	SORBS2	NHP_PTC			
3413950	SPATS2	NHP_PTC			
2522094	SPATS2L	NHP_PTC			
2585933	SPC25				LCT_REST
3590164	SPINT1	NHP_PTC			
2556752	SPRED2	NHP_PTC			
2742224	SPRY1	NHP_PTC	FA_FVPTC		
3519309	SPRY2	NHP_PTC			
3677969	SRL	NHP_PTC			
3408831	SSPN	NHP_PTC			
2562529	ST3GAL5	NHP_PTC			
3011861	STEAP2		FA_FVPTC		
2834282	STK32A	NHP_PTC		NHP_FVPTC	
3558418	STXBP6			NHP_FVPTC	
3102372	SULF1	NHP_PTC			
2979871	SYNE1	NHP_PTC			
2378256	SYT14	NHP_PTC			
3973891	SYTL5	NHP_PTC			
2414958	TACSTD2	NHP_PTC			
3898126	TASP1		FA_FVPTC		
3724698	TBC1D3F	NHP_PTC			
3264621	TCF7L2		FA_FVPTC		
3913483	TCFL5		FA_FVPTC		
2435218	TDRKH	NHP_PTC			
3320944	TEAD1	NHP_PTC			

10

20

30

40

3321055	TEAD1	NHP_PTC			
2573570	TFCP2L1	NHP_PTC			
3933536	TFF3	NHP_PTC			
2591421	TFPI			NHP_FVPTC	
2558612	TGFA	NHP_PTC			
2380590	TGFB2	NHP_PTC			
3181728	TGFBR1	NHP_PTC			
3976341	TIMP1	NHP_PTC	FA_FVPTC		
2649113	TIPARP	NHP_PTC			
3615579	TJP1	NHP_PTC			
3173880	TJP2	NHP_PTC			
3751042	TLCD1	NHP_PTC			
3969115	TLR8	NHP_PTC			
2700365	TM4SF1	NHP_PTC			
2647315	TM4SF4	NHP_PTC			
3110608	TM7SF4	NHP_PTC			
3763390	TMEM100	NHP_PTC			
3412345	TMEM117	NHP_PTC			
3346147	TMEM133	NHP_PTC			
2577482	TMEM163	NHP_PTC			
2815220	TMEM171		FA_FVPTC	NHP_FVPTC	
3166644	TMEM215	NHP_PTC		NHP_FVPTC	
3571904	TMEM90A	NHP_PTC			
3717870	TMEM98	NHP_PTC			
3351200	TMPRSS4	NHP_PTC			
3222170	TNC	NHP_PTC			
3150455	TNFRSF11B		FA_FVPTC		
3645555	TNFRSF12A	NHP_PTC	FA_FVPTC	NHP_FVPTC	
3648391	TNFRSF17				LCT_REST
3222128	TNFSF15	NHP_PTC			

10

20

30

40

3907111	TOMM34	NHP_PTC			
3136888	TOX				LCT_REST
2924330	TPD52L1	NHP_PTC			
2466554	TPO	NHP_PTC	FA_FVPTC	NHP_FVPTC	
3818515	TRIP10	NHP_PTC			
4018327	TRPC5	NHP_PTC	FA_FVPTC	NHP_FVPTC	
3512294	TSC22D1	NHP_PTC			
2991150	TSPAN13	NHP_PTC			
4015397	TSPAN6	NHP_PTC			
3891342	TUBB1	NHP_PTC			
3779579	TUBB6	NHP_PTC			
3401217	TULP3	NHP_PTC			
3087167	TUSC3	NHP_PTC			
3809324	TXNL1		FA_FVPTC		
3429460	TXNRD1			NHP_FVPTC	
3775842	TYMS	NHP_PTC			
2448971	UCHL5			NHP_FVPTC	
2974592	VNN1			NHP_FVPTC	
2974635	VNN2	NHP_PTC			
2974610	VNN3	NHP_PTC			
3203855	WDR40A	NHP_PTC			
2489228	WDR54	NHP_PTC			
3625052	WDR72		FA_FVPTC		
3768474	WIPI1			NHP_FVPTC	
2677356	WNT5A	NHP_PTC			
4015548	XKRX	NHP_PTC			
2370123	XPR1	NHP_PTC			
3832280	YIF1B	NHP_PTC			
2413484	YIPF1		FA_FVPTC		
4024373	YTHDC2	NHP_PTC			

10

20

30

40

3989089	ZBTB33	NHP_PTC			
3988596	ZCCHC12	NHP_PTC	FA_FVPTC	NHP_FVPTC	
3987607	ZCCHC16	NHP_PTC	FA_FVPTC	NHP_FVPTC	
3569754	ZFP36L1	NHP_PTC			
2706791	ZMAT3	NHP_PTC			
3132616	ZMAT4	NHP_PTC	FA_FVPTC	NHP_FVPTC	
2331903	ZNF643	NHP_PTC			
3011675	ZNF804B	NHP_PTC			

10

【 0 2 8 0 】

(表5) トライデント (Trident) 分析

この良性対悪性分析は、237遺伝子に現在マッピングされている210個の独特のTCIDをもたらしした。これらの遺伝子は、単一のデータセットを使用した三つの統計的に有意なサブ分析 (再現性分析、バイズ分析、および組織分析) の連合を表す。

20

TCID	遺伝子記号 (Affy v.na29)	再現性	バイズ	組織	DE	p値
3393720	MPZL2	真	真	真	1.49	1.87E-32
2400177	CAMK2N1	真	真	偽	1.67	2.27E-29
3067478	NRCAM	真	真	偽	1.42	2.53E-29
3445908	EPS8	真	真	真	1.44	6.34E-29
3020343	MET	真	真	偽	1.49	1.47E-27
4012178	CITED1	真	真	偽	1.50	2.37E-27
2710599	CLDN1	真	真	偽	1.41	9.07E-27
3338192	CCND1	真	真	真	1.36	2.63E-26
3338192	FLJ42258	真	真	真	1.36	2.63E-26
3126191	PSD3	真	真	真	1.32	3.49E-25
2884845	GABRB2	真	真	偽	1.73	4.07E-25
3087167	TUSC3	真	真	偽	1.49	6.22E-25
3907234	SDC4	真	真	偽	1.46	2.08E-24
2721959	ROS1	真	真	偽	1.48	2.82E-24
2721959	SLC34A2	真	真	偽	1.48	2.82E-24
3679959	EMP2	偽	真	偽	1.50	2.83E-24
2708855	C11orf72	真	真	真	1.59	1.31E-23

30

40

50

【 0 2 8 1 】

2708855	LIPH	真	真	真	1.59	1.31E-23
3416895	METTL7B	真	真	偽	1.49	2.12E-23
3136178	PLAG1	偽	真	真	1.41	2.37E-23
2442008	RXRG	真	真	偽	1.60	3.50E-23
2657808	CLDN16	真	真	真	1.51	2.63E-22
3984945	ARMCX3	真	真	偽	1.45	3.13E-22
2567167	LONRF2	真	真	真	1.38	3.67E-22
2685304	PROS1	真	真	偽	1.46	3.81E-22
3744463	MYH10	真	真	偽	1.46	6.20E-22
3415744	IGFBP6	真	真	偽	1.56	9.91E-22
2834282	STK32A	真	真	真	1.27	1.03E-21
3554452	KIAA0284	真	真	偽	1.32	1.38E-21
3040518	MACC1	真	真	偽	1.47	1.42E-21
3587495	SCG5	真	真	偽	1.34	1.74E-21
2686023	DCBLD2	真	真	偽	1.18	1.83E-21
3335894	CST6	偽	真	偽	1.43	2.29E-21
2783596	PDE5A	真	真	真	1.55	2.63E-21
3522398	AIDA	真	真	偽	1.38	2.99E-21
3522398	DOCK9	真	真	偽	1.38	2.99E-21
3638204	MFGE8	真	真	偽	1.51	5.35E-21
3638204	QTRT1	真	真	偽	1.51	5.35E-21
3323052	NAV2	真	真	偽	1.30	7.00E-21
2924492	HEY2	真	真	偽	1.48	2.01E-20
3726154	ITGA3	真	真	偽	1.35	2.16E-20
2924330	TPD52L1	真	真	偽	1.17	2.21E-20
3988596	ZCCHC12	真	真	偽	1.52	2.85E-20
3683377	GPRC5B	真	真	偽	1.28	4.84E-20
3417249	ERBB3	偽	真	偽	1.51	6.63E-20
2511820	PKP4	真	真	真	1.22	7.51E-20
4020655	ODZ1	真	真	偽	1.34	8.32E-20

10

20

30

40

50

3628832	DAPK2	偽	真	偽	1.34	1.20E-19
3007960	CLDN4	真	真	偽	1.20	1.42E-19
2598261	FN1	真	真	偽	1.31	3.25E-19
2936857	LOC730031	真	真	真	1.12	5.16E-19
2936857	MLLT4	真	真	真	1.12	5.16E-19
3666366	CDH3	真	真	真	1.48	6.10E-19
3757108	KRT19	真	真	偽	1.41	6.20E-19
3451375	PRICKLE1	偽	真	真	1.42	8.79E-19
3338552	CTTN	真	真	真	1.10	9.53E-19
2680046	ADAMTS9	真	真	偽	1.40	1.06E-18
3867458	PLEKHA4	真	真	偽	1.35	1.50E-18
3494629	SCEL	真	真	偽	1.39	1.57E-18
3978943	KLF8	真	真	偽	1.35	3.66E-18
2397025	DHRS3	真	真	偽	1.22	3.89E-18
3420316	HMGA2	真	真	真	1.48	4.63E-18
3126368	PSD3	真	真	偽	1.19	5.77E-18
2809245	ITGA2	真	真	偽	1.45	6.16E-18
2526806	FN1	真	真	真	1.19	7.55E-18
2827645	SLC27A6	偽	真	偽	1.49	8.33E-18
3217361	ANKS6	真	真	偽	1.19	8.37E-18
3743551	CLDN7	真	真	偽	1.07	1.80E-17
3571904	NPC2	偽	真	偽	0.99	2.53E-17
3571904	TMEM90A	偽	真	偽	0.99	2.53E-17
2558612	TGFA	真	真	偽	1.35	2.71E-17
3987607	CCDC121	真	真	偽	1.46	3.28E-17
3987607	ZCCHC16	真	真	偽	1.46	3.28E-17
3088213	SH2D4A	真	真	偽	1.18	5.07E-17
3751002	RAB34	真	真	偽	1.19	5.77E-17
3973891	CXorf27	真	真	偽	1.52	6.03E-17
3973891	SYTL5	真	真	偽	1.52	6.03E-17

10

20

30

40

3044072	NOD1	真	真	真	1.45	6.85E-17
2370123	XPR1	真	真	偽	1.26	7.13E-17
3174816	ANXA1	偽	真	真	1.08	7.85E-17
2966193	C6orf168	真	真	偽	1.37	1.01E-16
2525533	LOC648149	真	真	偽	1.24	1.02E-16
2525533	MAP2	真	真	偽	1.24	1.02E-16
3154002	KCNQ3	真	真	偽	1.41	1.09E-16
3590164	SPINT1	真	真	偽	1.17	1.35E-16
3329343	MDK	真	真	真	1.28	1.58E-16
2875193	P4HA2	真	真	偽	1.10	1.80E-16
3726691	ABCC3	真	真	偽	1.17	1.86E-16
2451870	ETNK2	真	真	真	1.33	1.91E-16
4018327	TRPC5	真	真	真	1.48	2.43E-16
3046197	ELMO1	真	真	真	-1.26	2.80E-16
2460817	SIPA1L2	真	真	真	1.17	3.16E-16
3976341	TIMP1	真	真	真	1.15	3.39E-16
2973232	C6orf174	真	真	偽	1.42	3.78E-16
2973232	KIAA0408	真	真	偽	1.42	3.78E-16
3417809	NAB2	真	真	偽	1.25	5.50E-16
2751936	GALNT7	真	真	偽	1.17	5.95E-16
2648535	SGEF	真	偽	偽	1.16	1.33E-15
3759587	LOC100129115	真	真	偽	1.34	1.47E-15
3759587	PLCD3	真	真	偽	1.34	1.47E-15
3994710	MAMLD1	偽	真	偽	1.37	1.80E-15
3581221	AHNAK2	真	真	偽	1.31	2.29E-15
3259253	C10orf131	偽	真	真	1.01	4.17E-15
3259253	ENTPD1	偽	真	真	1.01	4.17E-15
2562435	EDNRB	偽	真	偽	1.37	5.28E-15
2562435	SFTPB	偽	真	偽	1.37	5.28E-15
3489138	CYSLTR2	真	真	真	1.30	5.69E-15

10

20

30

40

3002640	EGFR	真	真	真	1.11	8.20E-15
2578790	LRP1B	偽	真	偽	-0.95	1.06E-14
3768535	FAM20A	偽	真	偽	1.25	1.11E-14
3044129	GGCT	真	真	偽	1.11	1.12E-14
2980449	IPCEF1	真	真	真	-1.14	1.29E-14
4018454	AMOT	真	真	偽	1.34	1.47E-14
3763390	TMEM100	真	真	真	1.40	2.44E-14
2740067	ANK2	偽	真	真	-0.89	2.57E-14
3622934	MYEF2	真	真	真	1.03	4.13E-14
3622934	SLC24A5	真	真	真	1.03	4.13E-14
2414958	TACSTD2	偽	真	偽	1.29	5.50E-14
3321150	ARNTL	真	真	真	1.18	7.68E-14
3464860	DUSP6	真	真	偽	1.10	1.17E-13
3464860	LOC100131490	真	真	偽	1.10	1.17E-13
3217242	GABBR2	真	真	真	1.21	1.22E-13
3110608	TM7SF4	真	真	真	1.23	2.16E-13
3110395	RIMS2	真	真	偽	1.13	2.54E-13
3649714	C16orf45	真	真	偽	1.10	7.74E-13
3867264	CA11	真	真	偽	1.05	8.23E-13
3832280	C19orf33	真	真	偽	1.20	8.77E-13
3832280	YIF1B	真	真	偽	1.20	8.77E-13
2452440	KLHDC8A	真	真	偽	1.08	1.39E-12
2608469	ITPR1	真	真	真	-1.10	1.71E-12
3577612	SERPINA1	偽	真	偽	0.96	2.24E-12
3577612	SERPINA2	偽	真	偽	0.96	2.24E-12
4015548	XKRX	真	真	偽	1.12	2.68E-12
3451814	MAFG	偽	真	真	1.04	2.91E-12
3451814	NELL2	偽	真	真	1.04	2.91E-12
2734421	ARHGAP24	偽	真	偽	-1.05	3.17E-12
2816298	IQGAP2	真	真	偽	-1.10	5.75E-12

10

20

30

40

2524301	NRP2	偽	真	偽	0.93	7.41E-12
3132616	ZMAT4	偽	真	真	-0.89	1.03E-11
3365136	SERGEF	偽	真	真	0.98	1.04E-11
3367673	MPPED2	偽	真	偽	-0.95	1.18E-11
2608309	LRRN1	偽	偽	真	0.84	1.66E-11
2820925	RHOBTB3	偽	真	真	0.85	2.73E-11
3369931	RAG2	偽	真	真	-0.75	3.90E-11
2708922	IGF2BP2	偽	真	真	0.90	5.15E-11
3868783	KLK7	真	真	真	1.19	7.94E-11
3006572	AUTS2	真	真	偽	1.06	1.02E-10
3411810	PDZRN4	真	真	偽	1.20	1.21E-10
2876897	SPOCK1	真	偽	偽	1.05	1.39E-10
3166644	TMEM215	偽	偽	真	0.98	1.49E-10
3933536	TFF3	偽	真	偽	-0.80	2.50E-10
3159330	DOCK8	偽	真	真	-0.90	2.53E-10
3279058	ACBD7	偽	真	真	1.03	2.83E-10
3593931	GLDN	真	真	偽	1.13	3.46E-10
3404030	KLRG1	偽	真	真	-0.88	5.39E-10
2373842	PTPRC	偽	偽	真	-0.90	9.75E-10
3010503	CD36	偽	真	真	-0.81	3.46E-09
2583374	PLA2R1	偽	真	真	-0.72	6.14E-09
3856646	ZNF208	偽	偽	真	0.77	6.91E-09
3692999	MT1G	偽	真	真	-0.82	1.01E-08
2587790	GPR155	偽	真	偽	-0.86	1.12E-08
2362351	PYHIN1	偽	偽	真	-0.76	1.46E-08
2727587	KIT	偽	真	偽	-0.75	1.50E-08
2427619	KCNA3	偽	偽	真	-0.78	1.50E-08
3142381	FABP4	偽	真	偽	-0.72	1.82E-08
2584018	DPP4	偽	真	真	0.78	2.22E-08
2387126	RYR2	偽	真	真	-0.64	2.26E-08

10

20

30

40

2823880	CAMK4	偽	偽	真	-0.72	2.67E-08
3410384	C12orf35	偽	偽	真	-0.78	2.74E-08
2466554	TPO	偽	真	偽	-0.77	5.30E-08
2806468	IL7R	偽	偽	真	-0.78	1.04E-07
2730746	SLC4A4	偽	真	真	-0.73	1.12E-07
3467949	SLC5A8	偽	偽	真	-0.74	1.23E-07
2518272	CERKL	偽	偽	真	-0.74	1.58E-07
2518272	ITGA4	偽	偽	真	-0.74	1.58E-07
3450861	ABCD2	偽	偽	真	-0.66	1.63E-07
3389450	CARD16	偽	偽	真	-0.78	1.66E-07
3389450	CASP1	偽	偽	真	-0.78	1.66E-07
2657831	IL1RAP	偽	真	偽	0.78	1.85E-07
3059667	SEMA3D	偽	真	真	-0.71	2.04E-07
4013460	CYSLTR1	偽	偽	真	-0.71	2.12E-07
3126504	CSGALNACT1	偽	真	真	-0.65	2.29E-07
3811339	BCL2	偽	真	真	-0.76	2.29E-07
2724671	RHOH	偽	偽	真	-0.69	2.37E-07
3160895	JAK2	偽	偽	真	-0.74	2.48E-07
2486811	PLEK	偽	偽	真	-0.75	2.66E-07
3443804	KLRB1	偽	偽	真	-0.73	2.84E-07
3576704	TC2N	偽	真	真	-0.74	3.29E-07
3742627	C17orf87	偽	偽	真	-0.70	4.80E-07
3347658	ATM	偽	偽	真	-0.65	4.89E-07
3347658	NPAT	偽	偽	真	-0.65	4.89E-07
2815220	TMEM171	偽	偽	真	-0.60	5.00E-07
3960174	LGALS2	偽	偽	真	-0.70	5.58E-07
2462329	ERO1LB	偽	真	真	-0.67	6.74E-07
2608725	BHLHE40	偽	真	真	0.72	8.08E-07
3389353	CARD17	偽	偽	真	-0.72	1.09E-06
3389353	CASP1	偽	偽	真	-0.72	1.09E-06

10

20

30

40

3062082	PDK4	偽	偽	真	0.67	1.22E-06
2593159	STK17B	偽	偽	真	-0.65	1.88E-06
2353669	CD2	偽	偽	真	-0.67	2.06E-06
2428796	PTPN22	偽	偽	真	-0.66	2.70E-06
2422035	GBP5	偽	偽	真	-0.69	3.37E-06
2766289	TMEM156	偽	偽	真	-0.57	4.55E-06
3060450	C7orf62	偽	偽	真	-0.61	5.81E-06
2439554	AIM2	偽	偽	真	-0.60	6.78E-06
3443891	CLEC2B	偽	偽	真	-0.58	3.51E-05
2766192	TLR10	偽	偽	真	-0.51	3.87E-05
3536706	LGALS3	偽	真	偽	0.52	4.67E-05
3009838	CCDC146	偽	偽	真	-0.56	7.30E-05
3009838	POLR2J4	偽	偽	真	-0.56	7.30E-05
2412312	TTC39A	偽	偽	真	0.51	7.45E-05
2548699	CYP1B1	偽	真	偽	0.49	3.52E-04
3443868	CD69	偽	偽	真	-0.47	4.85E-04
3461981	TSPAN8	偽	偽	真	-0.44	7.33E-04
3648391	TNFRSF17	偽	偽	真	-0.44	7.66E-04
3018605	SLC26A4	偽	真	真	-0.46	9.81E-04
3107828	PLEKHF2	偽	偽	真	-0.42	1.19E-03
2372812	RGS13	偽	偽	真	-0.38	1.66E-03
3197955	GLDC	偽	偽	真	-0.37	5.51E-03
2796995	SORBS2	偽	偽	真	-0.32	1.01E-02
3135567	LYPLA1	偽	偽	真	-0.32	1.78E-02
2732508	CXCL13	偽	偽	真	-0.30	1.94E-02
3200982	MLLT3	偽	偽	真	-0.30	2.03E-02
2735027	SPP1	偽	偽	真	0.25	6.47E-02
2554018	EFEMP1	偽	偽	真	-0.20	1.55E-01
2945882	CMAH	偽	偽	真	-0.21	1.65E-01
2767378	ATP8A1	偽	偽	真	0.20	1.79E-01

10

20

30

40

4016193	TMSB15A	偽	偽	真	-0.16	2.27E-01
4016193	TMSB15B	偽	偽	真	-0.16	2.27E-01
3019158	LRRN3	偽	偽	真	0.16	2.57E-01
2700244	CP	偽	偽	真	0.12	4.37E-01
2700244	HPS3	偽	偽	真	0.12	4.37E-01
2855285	CCDC152	偽	偽	真	-0.10	4.49E-01
2855285	SEPP1	偽	偽	真	-0.10	4.49E-01
2773947	CXCL9	偽	偽	真	-0.10	4.56E-01
3108226	PGCP	偽	真	真	0.04	7.65E-01
2773972	CXCL11	偽	偽	真	0.02	8.93E-01

10

【 0 2 8 2 】

本発明の好ましい態様が本明細書に示され説明されたが、そのような態様は例として提供されているに過ぎないことが当業者には明白であると考えられる。多数の変動、変化、および置換が、本発明から逸脱することなく、当業者に想到されると考えられる。本明細書に記載された本発明の態様の様々な代替物が、本発明の実施において使用され得ることが理解されるべきである。以下の特許請求の範囲が、本発明の範囲を定義し、これらの特許請求の範囲の範囲に含まれる方法および構造、ならびにそれらの等価物が、本発明に含まれるものとする。

20

【 図 1 - 1 】

入力CELファイル	病態
151329HUEX1A11.CEL	良性
151345HUEX1A11.CEL	良性
151326HUEX1A11.CEL	良性
151380HUEX1A11.CEL	良性
151289HUEX1A11.CEL	良性
151338HUEX1A11.CEL	良性
151315HUEX1A11.CEL	良性
151306HUEX1A11.CEL	良性
151316HUEX1A11.CEL	良性
151276HUEX1A11.CEL	良性
151305HUEX1A11.CEL	良性
151330HUEX1A11.CEL	良性
151336HUEX1A11.CEL	良性
151275HUEX1A11.CEL	良性
151309HUEX1A11.CEL	良性
151284HUEX1A11.CEL	良性
151295HUEX1A11.CEL	良性
151279HUEX1A11.CEL	良性
151293HUEX1A11.CEL	良性
151359HUEX1A11.CEL	良性
151325HUEX1A11.CEL	良性
151283HUEX1A11.CEL	良性
151361HUEX1A11.CEL	良性
151294HUEX1A11.CEL	良性
151373HUEX1A11.CEL	良性
151364HUEX1A11.CEL	良性
151308HUEX1A11.CEL	良性
151291HUEX1A11.CEL	良性
151285HUEX1A11.CEL	良性
151363HUEX1A11.CEL	悪性
151347HUEX1A11.CEL	悪性

【 図 1 - 2 】

151346HUEX1A11.CEL	悪性
151288HUEX1A11.CEL	悪性
151340HUEX1A11.CEL	悪性
151334HUEX1A11.CEL	悪性
151300HUEX1A11.CEL	悪性
151323HUEX1A11.CEL	悪性
151319HUEX1A11.CEL	悪性
151358HUEX1A11.CEL	悪性
151365HUEX1A11.CEL	悪性
151348HUEX1A11.CEL	悪性
151320HUEX1A11.CEL	悪性
151278HUEX1A11.CEL	悪性
151304HUEX1A11.CEL	悪性
151341HUEX1A11.CEL	悪性
151281HUEX1A11.CEL	悪性
151321HUEX1A11.CEL	悪性
151339HUEX1A11.CEL	悪性
151277HUEX1A11.CEL	悪性
151286HUEX1A11.CEL	悪性
151362HUEX1A11.CEL	悪性
151382HUEX1A11.CEL	悪性
151379HUEX1A11.CEL	悪性
151376HUEX1A11.CEL	悪性
151318HUEX1A11.CEL	悪性
151352HUEX1A11.CEL	悪性
151384HUEX1A11.CEL	悪性
151354HUEX1A11.CEL	悪性
151393HUEX1A11.CEL	悪性
151344HUEX1A11.CEL	悪性
151368HUEX1A11.CEL	悪性
151324HUEX1A11.CEL	悪性
151350HUEX1A11.CEL	悪性
151317HUEX1A11.CEL	悪性

【 図 1 - 3 】

151375HUEX1A11.CEL	悪性
151367HUEX1A11.CEL	悪性
151311HUEX1A11.CEL	正常
151327HUEX1A11.CEL	正常
151298HUEX1A11.CEL	正常
151299HUEX1A11.CEL	正常
151310HUEX1A11.CEL	正常
151385HUEX1A11.CEL	正常
151349HUEX1A11.CEL	正常
151301HUEX1A11.CEL	正常
151351HUEX1A11.CEL	正常

【 図 2 - 1 】

遺伝子	DE p値	FDR DE p値	悪性/良性 変化倍率	悪性/正常 変化倍率	良性/正常 変化倍率
MYOC	6.40E-13	9.53E-09	-1.06	-2.45	-2.32
QPC3	5.31E-12	3.96E-08	-1.08	-2.23	-2.07
FLA2R1	3.11E-11	9.27E-08	-1.93	-3.36	-1.74
LMOD1	5.16E-11	1.10E-07	-1.17	-1.92	-1.65
MYEF2	6.15E-11	1.14E-07	1.69	2.42	1.43
LRP1B	1.74E-09	2.60E-06	-1.93	-2.42	-1.25
MPPED2	2.80E-09	3.47E-06	-2.05	-2.32	-1.13
GP6GA	3.32E-09	3.80E-06	-1.62	-2.87	-1.78
TBC1D4	8.68E-09	8.63E-06	-1.56	-2.01	-1.29
STK32A	9.74E-09	9.07E-06	2.54	3.26	1.29
KHDRBS2	1.12E-08	9.85E-06	-2.03	-2.63	-1.30
FN1	1.24E-08	1.02E-05	3.96	5.84	1.47
FLJ22655	1.28E-08	1.00E-05	-1.07	-1.86	-1.73
KIT	1.51E-08	1.12E-05	-1.88	-2.10	-1.12
MATN2	2.03E-08	1.26E-05	-1.91	-3.12	-1.63
C9orf38	2.19E-08	1.31E-05	-1.29	-1.90	-1.47
ChGn	2.56E-08	1.41E-05	-2.27	-2.99	-1.32
ANGPTL1	3.53E-08	1.88E-05	-1.44	-2.00	-1.39
FABP4	4.88E-08	2.42E-05	-3.31	-5.39	-1.63
SIPA1L2	8.59E-08	4.13E-05	1.56	1.92	1.23
XPR1	9.26E-08	4.31E-05	1.53	2.09	1.36
TBX22	9.39E-08	4.24E-05	-1.61	-2.43	-1.51
F4HA2	1.05E-07	4.48E-05	1.69	2.10	1.25
TPO	1.45E-07	5.83E-05	-3.18	-4.29	-1.35
TSC22D1	1.61E-07	6.31E-05	1.89	1.37	-1.38
JUN	1.77E-07	6.59E-05	-1.65	-3.06	-1.85
DPT	1.83E-07	6.67E-05	-1.69	-4.76	-2.81
GALNT7	2.59E-07	8.40E-05	1.82	2.08	1.14
SLC26A4	2.80E-07	8.70E-05	-3.22	-4.27	-1.33
ADH1B	2.91E-07	8.84E-05	-1.36	-3.48	-2.56
NRCAM	4.32E-07	1.15E-04	1.80	3.16	1.76

【 図 2 - 2 】

GABRB2	4.40E-07	1.15E-04	2.45	2.60	1.06
DPP6	5.04E-07	1.23E-04	-1.53	-2.45	-1.60
MAFB	6.56E-07	1.50E-04	-1.45	-1.87	-1.29
SDC4	6.85E-07	1.55E-04	2.13	1.95	-1.09
POSB	1.03E-06	2.10E-04	-1.24	-1.93	-1.56
EPHA3	1.06E-06	2.13E-04	-1.20	-2.11	-1.75
ARBGA24	1.17E-06	2.27E-04	-1.76	-2.04	-1.16
C11orf74	1.39E-06	2.49E-04	-1.73	-2.50	-1.45
FII6	1.90E-06	3.22E-04	-1.14	-2.08	-1.82
CP	1.94E-06	3.22E-04	-2.48	-3.28	-1.32
LRP2	2.03E-06	3.29E-04	-2.14	-2.07	1.03
LIPH	2.37E-06	3.64E-04	1.80	2.22	1.23
RAB23	2.72E-06	4.06E-04	-1.42	-2.17	-1.53
TUSC3	2.79E-06	4.11E-04	1.94	2.43	1.26
GLTRD2	3.34E-06	4.61E-04	-1.34	-3.07	-1.99
TRPC5	4.05E-06	5.29E-04	1.81	1.91	1.06
TNIK	4.10E-06	5.27E-04	1.34	1.99	1.48
SCEL	4.44E-06	5.56E-04	1.87	2.05	1.09
TNFRSF11B	4.54E-06	5.64E-04	-1.73	-2.41	-1.39
CAMK2N1	5.48E-06	6.48E-04	2.92	2.23	-1.31
LGALS3	5.85E-06	6.81E-04	1.95	1.81	-1.08
SCG5	6.09E-06	7.03E-04	3.16	2.81	-1.13
DPP4	6.98E-06	7.70E-04	2.55	3.30	1.29
OGN	6.99E-06	7.65E-04	-1.21	-2.05	-1.69
FGCP	7.53E-06	8.07E-04	-1.47	-1.99	-1.35
NRIP1	7.92E-06	8.37E-04	1.73	1.86	1.08
SDC2	9.39E-06	9.39E-04	-1.67	-2.64	-1.58
CD36	1.08E-05	1.04E-03	-2.03	-1.95	1.04
CKAP1	1.14E-05	1.09E-03	-2.65	-6.83	-2.58
EPHMP1	1.17E-05	1.10E-03	-1.56	-2.43	-1.56
MPAP4	1.30E-05	1.18E-03	-1.05	-1.91	-1.81
TTGA2	1.36E-05	1.23E-03	1.73	2.20	1.27
DUSP1	1.56E-05	1.36E-03	-1.33	-2.28	-1.72

【 図 2 - 3 】

EGR1	1.78E-05	1.51E-03	-1.30	-2.55	-1.97
EGR2	2.03E-05	1.66E-03	-1.75	-3.38	-1.93
SORBS2	2.15E-05	1.69E-03	-1.67	-2.06	-1.23
MST	2.21E-05	1.72E-03	2.09	2.32	1.11
CLDN16	2.27E-05	1.74E-03	2.48	3.55	1.44
PSD3	2.76E-05	2.02E-03	1.76	2.13	1.21
RABL3	3.17E-05	2.21E-03	-1.97	-1.94	1.02
APOD	3.17E-05	2.20E-03	1.05	-3.54	-3.70
PCOLCE2	3.74E-05	2.52E-03	-1.32	-2.76	-2.10
TM2A	3.89E-05	2.57E-03	-1.56	-1.99	-1.28
BTVS	3.91E-05	2.56E-03	1.56	1.96	1.26
PROS1	4.50E-05	2.79E-03	1.64	1.95	1.19
HBB	4.52E-05	2.79E-03	-1.63	-5.19	-3.15
CYR61	4.63E-05	2.83E-03	-1.92	-2.58	-1.33
NFE2L3	4.65E-05	2.83E-03	1.44	2.01	1.39
POS	4.74E-05	2.86E-03	-1.28	-2.11	-1.65
DLG2	5.87E-05	3.32E-03	-1.44	-2.02	-1.40
PKHD1L1	5.91E-05	3.31E-03	-2.55	-3.84	-1.50
C9orf81	6.09E-05	3.39E-03	-1.81	-2.04	-1.12
AMIGO2	7.93E-05	4.21E-03	1.78	2.05	1.15
ALDH1A1	9.36E-05	4.74E-03	-1.81	-2.15	-1.19
PSD3	1.06E-04	5.13E-03	1.43	1.91	1.33
LIFR	1.10E-04	5.23E-03	-1.77	-2.34	-1.32
C7orf24	1.30E-04	5.88E-03	1.58	1.96	1.24
RAG2	1.37E-04	6.12E-03	-1.86	-1.55	1.20
S100A2	1.45E-04	6.41E-03	2.42	1.39	-1.74
WDR72	1.47E-04	6.43E-03	-1.92	-2.51	-1.31
MT1G	1.53E-04	6.55E-03	-2.49	-3.07	-1.23
DCN	1.56E-04	6.65E-03	-1.06	-5.24	-4.95
ZNF804B	1.62E-04	6.85E-03	-1.20	-2.21	-1.85
CTUF	1.64E-04	6.86E-03	-1.92	-2.83	-1.48
RHOBTB3	1.65E-04	6.90E-03	1.68	1.99	1.18
DNABP4	1.65E-04	6.86E-03	-1.31	-2.13	-1.62

【 図 2 - 4 】

SERPINA1	1.65E-04	6.87E-03	2.89	3.08	1.07
QPCT	1.68E-04	6.90E-03	2.01	2.09	1.04
TMEM171	2.46E-04	9.30E-03	-1.51	-2.92	-1.93

【 図 3 - 1 】

遺伝子	選択的 エキソ p値	選択的 エキソ FDR p値
TPO	0.00E+00	0.00E+00
DPP6	0.00E+00	0.00E+00
LRP1B	0.00E+00	0.00E+00
KIT	0.00E+00	0.00E+00
CD36	0.00E+00	0.00E+00
RHOBTB3	0.00E+00	0.00E+00
CTSB	0.00E+00	0.00E+00
SLC4A4	0.00E+00	0.00E+00
ANKS1B	0.00E+00	0.00E+00
MDM2	0.00E+00	0.00E+00
ABCA8	0.00E+00	0.00E+00
CDH6	0.00E+00	0.00E+00
CENPF	0.00E+00	0.00E+00
ABCA1	0.00E+00	0.00E+00
DIO2	0.00E+00	0.00E+00
PON2	0.00E+00	0.00E+00
SLC20A1	0.00E+00	0.00E+00
FBXL20	0.00E+00	0.00E+00
PCNX	0.00E+00	0.00E+00
PGM2L1	0.00E+00	0.00E+00
RASGEF3	0.00E+00	0.00E+00
ZEB1	0.00E+00	0.00E+00
AAK1	0.00E+00	0.00E+00
AFAP1L2	0.00E+00	0.00E+00
C12orf63	0.00E+00	0.00E+00
DYX1C1	0.00E+00	0.00E+00
MFSN1	0.00E+00	0.00E+00
NUP93	0.00E+00	0.00E+00
ATP10D	0.00E+00	0.00E+00
C12orf4	0.00E+00	0.00E+00
EFTUD1	0.00E+00	0.00E+00

【 図 3 - 2 】

GTF3C3	0.00E+00	0.00E+00
H2AFY	0.00E+00	0.00E+00
KLC1	0.00E+00	0.00E+00
MGC29891	0.00E+00	0.00E+00
SNAPC3	0.00E+00	0.00E+00
VWF	0.00E+00	0.00E+00
ZZEF1	0.00E+00	0.00E+00
ACSS1	0.00E+00	0.00E+00
BRUNOL6	0.00E+00	0.00E+00
EYA2	0.00E+00	0.00E+00
ITPR3	0.00E+00	0.00E+00
MLL3	0.00E+00	0.00E+00
ORC2L	0.00E+00	0.00E+00
PCTK1	0.00E+00	0.00E+00
RBM33	0.00E+00	0.00E+00
TNS1	0.00E+00	0.00E+00
FAM120A	0.00E+00	0.00E+00
FLJ10986	0.00E+00	0.00E+00
CTSC	6.68E-302	9.13E-300
SETD4	8.65E-300	1.16E-297
UAP1	1.16E-293	1.52E-291
ATP2C2	2.78E-292	3.60E-290
PSMP1	4.83E-292	6.20E-290
CNTN5	7.41E-292	9.44E-290
LONRF2	3.58E-290	4.52E-288
DGRH	5.82E-285	7.16E-283
NFYC	2.68E-284	3.28E-282
FLJ20294	3.29E-284	3.98E-282
ZFYVE21	1.52E-283	1.82E-281
HECTD2	6.34E-282	7.56E-280
WASF3	4.99E-276	5.81E-274
KNTC1	8.88E-273	1.03E-270
MPPED2	1.10E-265	1.24E-263

【 図 3 - 3 】

LRRCA8	6.58E-260	7.32E-258
EP400	7.62E-255	8.23E-253
KCTD10	1.02E-244	1.04E-242
SUSD1	2.04E-238	2.05E-236
TNFAIP8	3.89E-237	3.89E-235
FLJ10324	1.84E-235	1.80E-233
DIO1	1.11E-232	1.08E-230
ARHGAP6	1.22E-231	1.18E-229
MYO1D	8.30E-229	7.93E-227
PER2	1.55E-228	1.47E-226
ANXA9	3.78E-228	3.56E-226
MYH14	1.26E-225	1.17E-223
LITBP2	8.02E-224	7.33E-222
AOX1	3.41E-219	3.04E-217
PAK3	9.65E-219	8.56E-217
CDK7	6.41E-218	5.62E-216
SLC39A9	6.37E-217	5.55E-215
SRF	3.30E-208	2.79E-206
LRRCS0	2.08E-205	1.75E-203
FTH1	2.32E-204	1.93E-202
DOPEY2	1.22E-203	1.01E-201
EGR2	7.02E-202	5.78E-200
ITGA2	8.74E-202	7.15E-200
FLJ21511	8.30E-200	6.72E-198
KHDRBS2	1.06E-194	8.28E-193
ABCC3	2.40E-191	1.85E-189
PCSK6	4.70E-190	3.55E-188
PDB6B	5.87E-190	4.42E-188
AUTS2	2.16E-183	1.58E-181
KIAA1324	2.64E-182	1.92E-180
ETV5	5.10E-182	3.69E-180
FOLE2	2.98E-179	2.13E-177
CPEB2	3.75E-178	2.67E-176

【 図 4 - 1 】

遺伝子	DE p値	FDR DE p値	悪性/ 良性 変化倍率
SEMA3D	1.02E-08	3.23E-04	-11.18
PDLIM4	4.57E-08	3.82E-04	3.51
LRP1B	7.43E-08	4.15E-04	-14.82
FLCD3	7.52E-08	4.15E-04	4.97
FN1	9.57E-08	4.15E-04	10.71
KIT	1.35E-07	4.43E-04	-4.75
SPOCK1	1.45E-07	4.43E-04	5.04
EPS8	1.57E-07	4.44E-04	3.17
STK32A	1.87E-07	4.61E-04	5.09
IHPK3	1.94E-07	4.72E-04	-3.06
TCID- 2526806	2.08E-07	4.80E-04	2.86
MYEP2	2.11E-07	4.80E-04	3.61
ARHGAP24	2.32E-07	4.89E-04	-2.84
MPPED2	3.43E-07	5.56E-04	-4.49
TGFA	3.59E-07	5.56E-04	4.13
KHDRBS2	4.99E-07	6.33E-04	-4.28
TPO	7.17E-07	7.72E-04	-5.28
LGALS3	7.18E-07	7.72E-04	3.77
SLC26A4	9.16E-07	8.86E-04	-4.26
GAL3	9.62E-07	9.19E-04	3.46
GABRB2	1.18E-06	1.03E-03	10.65
KLHDC8A	1.35E-06	1.10E-03	4.64
CDH3	1.72E-06	1.22E-03	6.67
GALNT7	1.75E-06	1.22E-03	3.78
CYSLTR2	2.53E-06	1.56E-03	7.40
RAG1	3.49E-06	1.89E-03	-9.03
PSD3	4.08E-06	2.04E-03	4.19
FABP4	4.18E-06	2.04E-03	-11.06
MATN2	4.23E-06	2.05E-03	-2.87

【 図 3 - 4 】

PKHD1L1	3.58E-176	2.52E-174
CHRND	5.54E-176	3.88E-174
ZW10	3.17E-175	2.21E-173

【 図 4 - 2 】

TRPC5	4.54E-06	2.14E-03	3.77
LRP2	4.78E-06	2.17E-03	-4.40
MTIF	4.93E-06	2.20E-03	-5.00
CDH16	5.19E-06	2.28E-03	-2.86
METTL7B	6.09E-06	2.52E-03	3.20
SYTL5	7.23E-06	2.82E-03	3.10
CAMK2N1	7.45E-06	2.84E-03	3.82
LIPH	7.70E-06	2.90E-03	36.34
AGTR1	8.16E-06	2.99E-03	-3.41
P2RY13	8.47E-06	3.06E-03	3.39
SLC26A7	9.12E-06	3.22E-03	-3.43
LRRC7	9.97E-06	3.38E-03	-2.91
SPINK5	1.06E-05	3.53E-03	-4.56
TMEM166	1.34E-05	4.04E-03	6.87
SCG5	1.46E-05	4.27E-03	5.53
NPC2	1.52E-05	4.37E-03	2.78
CD36	1.55E-05	4.41E-03	-4.41
RAO2	1.61E-05	4.49E-03	-13.38
COL9A3	1.64E-05	4.55E-03	-6.08
ELMO1	1.97E-05	5.17E-03	-2.92
PLA2R1	2.03E-05	5.26E-03	-4.85
7A5	2.04E-05	5.28E-03	3.11
MRO	2.17E-05	5.45E-03	-3.35
DGKI	2.45E-05	5.93E-03	-3.38
TUSC3	2.58E-05	6.13E-03	4.30
TFP3	2.65E-05	6.21E-03	-5.45
TNFRSF10C	2.78E-05	6.38E-03	2.85
FROSI	2.80E-05	6.40E-03	2.72
TCID-			
3430620	2.91E-05	6.55E-03	-3.96
ITGA2	3.09E-05	6.80E-03	3.42
GPM6A	3.10E-05	6.80E-03	-3.86
CDON	3.28E-05	7.05E-03	-2.73

【 図 4 - 3 】

ARNTL	3.49E-05	7.36E-03	2.84
GDF15	3.58E-05	7.49E-03	6.64
NRCAM	3.77E-05	7.75E-03	4.02
GSTM3	3.87E-05	7.90E-03	-2.71
ADAMTS9	3.89E-05	7.91E-03	2.85
MED12L	4.20E-05	8.33E-03	2.81
LONRF2	4.29E-05	8.45E-03	3.73
DNASE1L3	4.35E-05	8.54E-03	-3.08
TIPARP	4.53E-05	8.72E-03	2.76
DPP6	4.56E-05	8.73E-03	-3.90
DPP4	4.70E-05	8.89E-03	12.09
TMEM100	4.71E-05	8.90E-03	4.37
RYR2	4.75E-05	8.93E-03	-3.75
CLDN1	4.76E-05	8.93E-03	7.83
RXRG	4.80E-05	8.97E-03	3.09
QPCT	4.82E-05	9.00E-03	3.46
SAMD4A	5.00E-05	9.21E-03	2.80
PKHD1L1	5.21E-05	9.49E-03	-7.12
MET	5.26E-05	9.55E-03	3.10
FAM114A1	5.30E-05	9.60E-03	2.79
SCEL	5.53E-05	9.85E-03	11.17
SLA	1.22E-04	1.58E-02	-2.99
RIMS2	2.01E-04	2.13E-02	2.97
KJAA0408	2.44E-04	2.38E-02	2.75
ILIRAP	2.50E-04	2.42E-02	2.74
SCN11A	2.72E-04	2.51E-02	2.98
LIFR	3.13E-04	2.74E-02	-2.96
FAM20A	4.06E-04	3.18E-02	2.98
PHF16	6.01E-04	4.00E-02	2.75
SLCSA8	6.35E-04	4.14E-02	-2.98
ODZ1	6.43E-04	4.16E-02	2.97
DLG2	7.11E-04	4.40E-02	-2.74
TBX22	7.82E-04	4.63E-02	-2.73

【 図 4 - 4 】

LAMB3	9.79E-04	5.30E-02	3.00
AQP4	1.16E-03	5.85E-02	-2.76
SLPI	1.22E-03	6.05E-02	2.93
COL13A1	1.34E-03	6.37E-02	2.97
SULF1	2.33E-03	8.77E-02	2.96
CYPIB1	2.65E-03	9.43E-02	2.99

【 図 5 - 1 】

遺伝子	DE FDR p値	選択的 エキソン FDR p値	悪性/ 良性 変化倍率	悪性/ 正常 変化倍率	良性/ 正常 変化倍率
PLA2R1	9.27E-08	1.03E-54	-1.93	-3.36	-1.74
MYEF2	1.14E-07	9.58E-27	1.69	2.42	1.43
LRP1B	2.60E-06	0.00E+00	-1.93	-2.42	-1.25
MPPED2	3.47E-06	1.24E-263	-2.05	-2.32	-1.13
KHDRBS2	9.85E-06	8.28E-193	-2.03	-2.63	-1.30
FN1	1.02E-05	7.02E-127	3.96	5.84	1.47
SPATS2	1.10E-05	2.79E-04	1.13	1.56	1.38
KIT	1.12E-05	0.00E+00	-1.88	-2.10	-1.12
MATN2	1.26E-05	1.21E-21	-1.91	-3.12	-1.63
Cyorf8	1.31E-05	3.87E-16	-1.29	-1.90	-1.47
ChGa	1.41E-05	5.54E-23	-2.27	-2.99	-1.32
ANGPTL1	1.88E-05	4.11E-32	-1.44	-2.00	-1.39
FABP4	2.42E-05	6.34E-105	-3.31	-5.39	-1.63
XPR1	4.31E-05	9.06E-05	1.53	2.09	1.36
TPO	5.83E-05	0.00E+00	-3.18	-4.29	-1.35
C10orf79	5.96E-05	5.75E-43	-1.19	-1.68	-1.42
TSC22D1	6.31E-05	6.19E-11	1.89	1.37	-1.38
GALNT7	8.40E-05	5.15E-10	1.82	2.08	1.14
SLC26A4	8.70E-05	2.69E-05	-3.22	-4.27	-1.33
CYSLTR2	1.08E-04	3.75E-27	1.75	1.67	-1.05
GABRB2	1.15E-04	1.80E-56	2.45	2.60	1.06
NRCAM	1.15E-04	3.42E-17	1.80	3.16	1.76
ADH1C	1.16E-04	3.48E-18	-1.12	-1.60	-1.43
DPP6	1.23E-04	0.00E+00	-1.53	-2.45	-1.60
LINGO2	1.50E-04	3.74E-170	-1.32	-1.77	-1.34
SDC4	1.55E-04	8.65E-48	2.13	1.95	-1.09
ZFFM2	1.55E-04	5.60E-04	-1.17	-1.71	-1.46
ARHGAP24	2.27E-04	5.27E-18	-1.76	-2.04	-1.16
ARMCX3	2.28E-04	5.35E-03	1.50	1.68	1.12

【 図 5 - 2 】

RUNX1T1	2.38E-04	1.58E-116	-1.18	-1.56	-1.32
C11orf74	2.49E-04	6.94E-07	-1.73	-2.50	-1.45
LRP2	3.29E-04	2.10E-93	-2.14	-2.07	1.03
NPC2	3.64E-04	5.21E-19	1.39	1.61	1.16
PLSCR4	3.69E-04	6.94E-12	-1.31	-1.77	-1.35
STK32A	4.12E-04	3.12E-12	2.11		
TNKK	5.27E-04	2.62E-35	1.34	1.99	1.48
ANKRD97	5.34E-04	2.62E-93	-1.27	-1.61	-1.27
SCG5	7.03E-04	1.47E-03	3.16	2.81	-1.13
TBC1D4	7.08E-04	1.51E-16	-1.61		
DPP4	7.70E-04	3.02E-138	2.55	3.30	1.29
ELMO1	8.04E-04	7.58E-08	-1.75	-1.75	1.00
PGCP	8.07E-04	9.61E-03	-1.47	-1.99	-1.35
SDC2	9.39E-04	1.03E-10	-1.67	-2.64	-1.58
FAM20A	9.45E-04	1.44E-127	1.29	1.61	1.25
METTL7B	9.70E-04	2.26E-13	1.58	1.65	1.05
MAP2	9.94E-04	5.51E-08	1.50	1.58	1.05
CD36	1.04E-03	0.00E+00	-2.03	-1.95	1.04
CRABP1	1.09E-03	1.16E-10	-2.65	-6.83	-2.38
EFEMP1	1.10E-03	4.91E-04	-1.56	-2.43	-1.56
DCBLD2	1.11E-03	1.08E-06	1.39	1.68	1.05
FLRT2	1.14E-03	1.66E-128	-1.13	-1.61	-1.43
ITGA2	1.23E-03	7.15E-200	1.73	2.20	1.27
BGR1	1.51E-03	5.74E-13	-1.30	-2.55	-1.97
ASCC3	1.66E-03	4.30E-04	1.21	1.64	1.35
BGR2	1.66E-03	5.78E-200	-1.75	-3.38	-1.93
MET	1.72E-03	4.65E-09	2.09	2.32	1.11
CLDN16	1.74E-03	1.27E-19	2.48	3.55	1.44
HMGA2	1.82E-03	1.78E-11	1.47	1.79	1.21
CENPF	2.13E-03	0.00E+00	-1.44	-1.60	-1.12
GPR125	2.17E-03	1.04E-11	-1.43	-1.67	-1.17
KAL13	2.21E-03	2.31E-21	-1.97	-1.94	1.62
CD63	2.42E-03	7.85E-04	1.40	1.60	1.14

【 図 5 - 3 】

Table with 6 columns: Gene Name, Value 1, Value 2, Value 3, Value 4, Value 5. Rows include P4HA2, ETV5, ITM2A, C9orf52, 7A5, ANKS1B, THRAP1, PROS1, NFE2L3, CYR61, ERO1LB, ACO1, PKHD1L1, DLG2, C9orf61, DEPDC6, LRRC7, MLLT3, TUSC3, ALDH1A1, FBLN5, SLA, LONRF2, PSD3, LIFR, C7orf24, S100A2, WDR72, MT1G, LONRF2, SLC4A4, MT1R, DNAJB4.

【 図 5 - 4 】

Table with 6 columns: Gene Name, Value 1, Value 2, Value 3, Value 4, Value 5. Rows include CTGF, SERPINA1, RHOBTB3, QPCT, TM6M171.

【 図 6 - 2 】

Table with 3 columns: TCID, 遺伝子名, Value. Rows include 2734784, 3864582, 2875585, 2533870, 3091880, 3606882, 3372420, 2848830, 2330960, 3083836, 3095815, 2734047, 3039791, 3038630, 3686728, 3212728, 2647018, 2888486, 3023384, 2875385, 3375736, 3581221, 2981233, 3864590, 2555277, 3522398, 2381878, 2457573, 4042837, 3191977, 2435954, 3226178, 2340315, 3728097, 3748986, 3487220, 2831698, 3686304, 3184408, 4088170, 3540066, 2925724, 3863299, 3012381, 2969201, 3075881, 3274758, 3274758, 3233049, 3232944, 2389743, 2389743, 4009849, 3638522.

【 図 6 - 1 】

Table with 3 columns: TCID, 遺伝子名, Value. Rows include 2537624, 2357193, 2383607, 2408391, 2427880, 2489140, 2484151, 2526693, 2641232, 2649710, 2652217, 2632049, 2808409, 2908502, 3092581, 3107603, 3139557, 3163400, 3184826, 3321980, 3386455, 3311158, 3819187, 3749600, 3777770, 3881010, 3883718, 3896975, 3958398, 3289446, 3443346, 2558150, 3897015, 3070183, 3719382, 3218526, 2756309, 3786880, 2756309, 3788880, 3798969, 3788791, 3816416, 3788827, 3788627, 3788703, 3080117, 3081782, 2458824, 3080117, 2899893, 4012949, 3690470.

【 図 6 - 3 】

Table with 3 columns: TCID, 遺伝子名, Value. Rows include 2801287, 3718682, 2833289, 2833289, 2423820, 3638216, 3295032, 3096007, 2455419, 3835685, 2822198, 2434341, 3587621, 3369249, 2486851, 3558115, 2361584, 3445072, 3846681, 3045661, 3335891, 2833924, 2625608, 3489319, 3033911, 3802386, 3835370, 3692587, 3139035, 3888055, 2741993, 3829544, 3524818, 3282820, 2508811, 3733866, 3302187, 2833262.

【 図 6 - 4 】

TCID	通信子 na28	TCID	通信子 na28	TCID	通信子 na28
2787378	ATPBA1	2830314	BAZZ28	3290074	BMPR1A
3492274	ATPBA2	3234433	BDDX1	3292310	BMPR2
3639326	ATPBB1	3639326	BBS1	3639326	BMS1
3712835	ATPFA2	2909321	BBS9	2841528	BNIP1
3617920	ATPFD4	2834865	BBSX	3314040	BNIP3
2698844	ATR	3835777	BOAM	2781285	BOCIL
3874313	ATRN	3018835	BCAP29	2536925	BOD
4013024	ATRX	4026949	BCAP21	3833050	BOLA2
3648764	ATXN10	3729589	BCAS3	2593938	BOLL
3471688	ATXN2	3311778	BCCIP	3732448	BPTF
3876888	ATXN3	3269882	BCCIP	2877257	BR0E
2627390	ATXN7	3464147	BCCIN3D	2738816	BR09
2456446	AURKA	2430308	BCL10	3344448	BR142
2486849	AURKAP51	2845475	BCL11A	3842059	BRK1
3005672	AUTS2	3811339	BCL2	3287878	BRWD2
2899033	AVLB	3695108	BCL2A1	4013730	BRWD3
3469722	AVPR1A	3902480	BCL2L1	3333985	BSC12
3063586	AZGP1	2600275	BCL2L11	3864417	BS72
2957181	AZ2	3989259	BCL2L13	3836470	BTB1
3147591	AZIN1	3405207	BCL2L14	3383846	BTBD10
2386418	B3GALN2	3398737	BCL7B	3430462	BTBD11
2449104	B3GALT2	2359818	BCL9	3054492	BTDB6
3376935	B3GAT3	3348940	BOO2	3577277	BTDB7
3824696	B3GAT3	2814327	BOP1	2962497	BTDB9
3475511	B3GNT4	3759157	BECN1	2773645	BTG
3418384	B4GALN1	2411799	BEND5	2563771	BTG3
3400258	B4GALN3	4016306	BEX1	2075664	BTG2
2440684	B4GALN3	4016308	BEX2	3928080	BTG3
3808983	B4GALT5	3848245	BFAR	2598972	BTNA1
3893120	B4GALT8	3939111	BFSP1	2869296	BTNA1
3110217	BAALC	2608725	BHL-E40	2869372	BTNA2
3363267	BACE1	3448088	BHL-E41	2868298	BTNA3
3621893	BACE2	2817251	BHMT	2869372	BTNA3
3861120	BAG1	2817251	BHMT2	2892998	BTNA3
2911372	BAG2	3851827	BHMT	2844869	BTNA3
3297314	BAG3	3340546	BIRC3	3261188	BTRC
3084494	BAG4	3077427	BIRC6	3014742	BUD31
3024929	BAGE	2478219	BIRC6	3764288	BZAP1
3924929	BAGE2	3863250	BIRC7	2890012	BZW1
3824928	BAGE3	3466985	BLM	2522439	BZW1
3824929	BAGE4	3863296	BLM	2890012	BZW11
3824929	BAGE5	3757190	BLVH	2522439	BZW11
3586847	BAHD1	3201713	BLNK	3827716	C10orf10
2971216	BAJ3	3303392	BLOC1S2	3279089	C10orf111
3737687	BAJAP2	2368490	BLZF1	3307795	C10orf118
3240462	BAMB1	3812229	BNF	3410332	C10orf119
2737696	BANK1	3258481	BNM1	3268967	C10orf129
2846036	BAT1	3089216	BMP1	3268263	C10orf131
2367154	BAT2D1	2774817	BMP2K	3231846	C10orf139
2946296	BAT5	2988172	BMP6	3289787	C10orf140
3333087	BAX	3873366	BMP8	3471532	C10orf18
3590711	BAZ1A	3231568	BMP9A	3244389	C10orf28
3098044	BAZ1B	2331511	BMP9A	3261686	C10orf28
3457847	BAZ2A	2331511	BMP9B	3200099	C10orf28

【 図 6 - 5 】

TCID	通信子 na28	TCID	通信子 na28	TCID	通信子 na28
3291923	C10orf32	3690399	C14orf129	2567549	C1D
3309124	C10orf32	3801867	C14orf132	4018667	C1GAL1C1
3294889	C10orf35	3363587	C14orf138	2406735	C1orf102
3254337	C10orf57	3873933	C14orf145	2443306	C1orf114
3284488	C10orf57	3873994	C14orf145	3871240	C1orf115
3241901	C10orf68	3396949	C14orf149	2433065	C1orf116
3289516	C10orf72	3543919	C14orf189	2366909	C1orf126
3365198	C10orf78	3366787	C14orf181	2407123	C1orf146
3314720	C10orf92	3871727	C14orf145	2431886	C1orf152
3314720	C10orf93	3643979	C14orf146	2391006	C1orf159
3279410	C10orf97	3640165	C14orf150	2320392	C1orf187
3334847	C10orf12	3654523	C14orf79	2436767	C1orf189
3344448	C10orf20	3354886	C14orf80	2371547	C1orf21
3368112	C10orf35	3680295	C14orf83	2405212	C1orf216
3356417	C10orf44	3635181	C10orf44	2398326	C1orf220
3325352	C10orf46	3623472	C10orf33	2384018	C1orf226
3376999	C10orf48	3629781	C10orf44	2371738	C1orf228
3329657	C10orf49	3641557	C10orf51	2436370	C1orf43
3390906	C10orf51	3610479	C10orf57	2286225	C1orf49
3308144	C10orf61	3643114	C10orf11	2358139	C1orf51
3353441	C10orf63	3649714	C10orf45	2381876	C1orf68
3390143	C10orf66	3701433	C10orf1	2402111	C1orf68
2708865	C10orf72	3695819	C10orf48	2389719	C1orf77
3343362	C10orf75	3665708	C10orf53	2339798	C1orf77
3327186	C10orf74	3648181	C10orf73	2339883	C1orf83
3386737	C10orf75	3683511	C10orf80	2436083	C1orf85
3339488	C10orf80	3678542	C10orf89	3823788	C1C13
3368707	C10orf91	3774875	C10orf101	2822742	C1C1NF3
3485188	C12orf12	3744300	C10orf44	2436370	C1C1NF7
3439389	C12orf23	3617089	C10orf43	3403186	C1C
3424379	C12orf28	3710277	C10orf48	2802844	C2
3421824	C12orf28	3708204	C10orf28	3876780	C2orf103
3484822	C12orf29	3724591	C10orf29	3890109	C2orf108
3471819	C12orf30	3744254	C10orf98	3693072	C2orf11
3453177	C12orf41	3789821	C10orf72	3827784	C2orf112
3410384	C12orf55	3789869	C10orf80	3895486	C2orf112
3407849	C12orf59	3793762	C10orf86	3894797	C2orf132
3441215	C12orf64	3742627	C10orf64	3748881	C2orf181
3411234	C12orf70	3740664	C10orf91	3891723	C2orf187
3433177	C12orf71	3895320	C10orf34	3896876	C2orf207
3473321	C12orf79	3731341	C10orf73	3801131	C2orf21
3401769	C12orf85	3793568	C10orf65	3899174	C2orf30
3442249	C12orf83	3785650	C10orf66	3872221	C2orf7
3403077	C12orf87	3798829	C10orf67	3890061	C2orf74
3452752	C12orf89	3829162	C10orf2	3818104	C2orf83
3294854	C12orf93	3817851	C10orf73	3894797	C2orf83
3428967	C12orf75	3632280	C10orf33	3895486	C2orf90
3471073	C12orf76	3868330	C10orf41	3905102	C2orf94
3486956	C13orf15	3822347	C10orf83	3955367	C2orf98
3480681	C13orf3	3862785	C10orf54	3952703	C2orf99
3491117	C13orf5	3491117	C10orf81	3864784	C2orf143
3485740	C13orf38	3838400	C10orf89	3838400	C2orf89
3583372	C14orf1D4	3850200	C10orf86	3863331	C2C2D
3828884	C14orf119	3837894	C10orf88	3831702	C2C2D3

【 図 6 - 6 】

TCID	通信子 na28	TCID	通信子 na28	TCID	通信子 na28
2525862	C2orf21	2853942	C2orf42	3066174	C2orf79
2506335	C2orf27A	3158812	C2orf82	3158812	C2orf82
2606335	C2orf27B	3724561	C2orf45	3140476	C2orf84
2486928	C2orf29	2844478	C2orf45	3150717	C2orf102
2482230	C2orf30	2825894	C2orf50	3229709	C2orf114
2479831	C2orf39	2854915	C8	2548982	C2orf126
2489274	C2orf40	2951057	C2orf1	3225224	C2orf128
2471372	C2orf56	2841872	C2orf105	3179872	C2orf129
2594313	C2orf60	2851221	C2orf106	3187884	C2orf131
2689383	C2orf64	2927987	C2orf115	3195983	C2orf142
2680317	C2orf85	2598084	C2orf120	3192309	C2orf160
2897273	C2orf87	2901841	C2orf134	3218831	C2orf162
2625862	C2orf87	2906217	C2orf138	3223803	C2orf31
2556494	C2orf7	2909772	C2orf141	3178884	C2orf33
2482440	C2orf73	2980174	C2orf147	3185818	C2orf43
2656017	C2orf88	2909389	C2orf165	3037304	C2orf51
2520080	C2orf88	2981637	C2orf166	3179874	C2orf51
3648039	C3	2866183	C2orf188	3197231	C2orf88
2682581	C3orf10	2877322	C2orf174	3183018	C2orf87
2627080	C3orf14	2824275	C2orf178	3182880	C2orf8
2838832	C3orf17	2869380	C2orf188	3182812	C2orf8
2812012	C3orf20	2874871	C2orf192	3181240	C2orf87
2883083	C3orf31	2899893	C2orf201	3867204	CA11
2841577	C3orf37	2902833	C2orf28	3828498	CA12
2818521	C3orf41	2988542	C2orf54	3109506	CA2
2810417	C3orf42	2848677	C2orf92	3106920	CA2
2700780	C3orf44	2939763	C2orf72	3129419	CA4
2827388	C3orf46	2831700	C2orf97	3868855	CAB8
2836062	C3orf62	3090051	C7orf23	3868855	CAB8P
2874186	C3orf62	3041409	C7orf30	3137120	CAB
2877653	C3orf63	3048134	C7orf44	3188086	CAB
2881114	C3orf64	3022483	C7orf54	2851822	CAB38
2802958	CA4	3022483	C7orf54	3613752	CAB3L
2802968	CAB	3060486	C7orf62	3939707	CABIN1
2788078	C4orf10	3101911	C7orf63	3781531	CABLES1
2734352	C4orf12	2865481	C7orf67	3400730	CACNA1C
2770427	C4orf14	3037304	C7orf70	2824385	CACNA1D
2761419	C4orf16	3104969	Q3	3728919	CACNA1G
2768886	C4orf18	3085893	C2orf12	3843580	CACNA1H
2717757	C4orf23	3124344	C2orf16	3068991	CACNA2D1
2743029	C4orf29	2871234	C2orf39	2876315	CACNA2D2
2739714	C4orf32	3085313	C2orf4	2568380	CACNB1
2786482	C4orf34	3027396	C4orf30	3329796	CACNB2
2763994	C4orf41	3130823	C2orf41	2581349	CACNB4
2730303	C4orf7	3121864	C2orf42	3989787	CACNG2
2711640	C4orf8	3101802	C2orf44	3732092	CACNG4
2876928	C5orf15	3101788	C2orf44	8841184	CACNG6
2809176	C5orf22	3088181	C2orf48	2368198	CADYBP
2828442	C5orf24	3151808	C2orf54	3302332	CADW1
2855579	C5orf28	3118236	C2orf55	3864169	CADM4
2831519	C5orf32	3089568	C2orf58	2978406	CADPS
2833348	C5orf33	3118461	C2orf90	3942147	GALCA
2835814	C5orf34	3069390	C2orf71	3321892	GALCB
2842834	C5orf4	3069809	C2orf79	3466353	GALCCO1

【 図 6 - 7 】

TCID	通信子 na28	TCID	通信子 na28	TCID	通信子 na28
2681367	CALCRL	3818834	CBR3	3204301	CCL21
3026345	CALD1	3933623	CBS	3933623	CCL28
3384787	CALM2	2983639	CALM2	3754070	CCL3
2951824	CALM2	3468630	CBX5	3724070	CCL3L1
3569280	CALM4	3290387	CC2D2B	3754070	CCL3L3
3822049	CALR	2619450	CCBP2	3486874	CCNA1
3235516	CAMK1D	3898887	CCDC101	2741788	CCNA2
2782545	CAMK2D	3251480	CCDC108A	2986371	CCNG
3294854	CAMK2S	2739180	CCDC109B	3380995	CCND1
2400177	CAMK2N1	3841843	CCDC117	3338182	CCND1
282388					

【 図 6 - 8 】

TCID	漢字子 na20	TCID	漢字子 na20	TCID	漢字子 na20
2377427	CD46	2773719	CDKL2	3920003	CHAF1B
2887739	CD47	2843793	CDKL1A	3463159	CHAD1
2440354	CD48	3207488	CDKN2B	3096089	CHCHD7
3337279	CD5	2871896	CDO1	2358721	CHD1L
2208463	CD52	3609138	CDON	2751385	CHD2
2361672	CD53	4024373	CDOR1	3709244	CHD3
2377226	CD55	3446476	CDP2	3446476	CDP1
3388707	CD59	2734270	CDST	3606180	CHD6
3457160	CD63	3863969	CEACAM1	3660658	CHD9
3443888	CD66	2878854	CEACAM2	2878854	CHDH
2881370	CD74	3894379	CEACAM5	3364789	CHDK1
5834502	CD79A	3834341	CEACAM5	8479438	CHFR
5402315	CD9	3843379	CEACAM6	3549092	CHGA
2835741	CD96	2321813	CELA2A	3875179	CHGB
3822657	CD97	2321813	CELA2B	2451593	CHSL1
3968838	CD99	2473901	CENPA	3358536	CHD1
3489350	CDADC1	2771964	CENPF1	2607568	CHL1
5325461	CDIC3	2483364	CEP110	4006941	CHMP5
2348898	CDC14A	3506937	CENPF	2694635	CHN2
3603164	CDC15	3815569	CENPK	3815569	CHODL
2857042	CDC20B	3488080	CHPT1	3488080	CHPT1
3211543	CDC29	3187577	CEP110	3428871	CHPT1
5789255	CDC37	2483364	CEP110	4016093	CHRD1
2989467	CDC2L6	2483364	CEP170L	3816791	CHRFAM7A
2921088	CDC40	3779817	CEP192	3359897	CHRNA10
2324834	CDC42	3484822	CEP200	3129026	CHRNA2
3119339	CDC42	2389843	CEP350	3813775	CHRNA4
2489042	CDC22BPA	3328444	CEP36	3829438	CHRNA5
3358498	CDC22BPB	3345583	CEP37	3816791	CHRNA7
3336070	CDC42EP2	2381832	CEPT1	3709863	CHRN1B
3770299	CDC42EP4	2518272	CERKL	2360348	CHRN2B
2434778	CDC42SE1	3892701	CES1	2332378	CHRNA
3120986	CDC8	3894882	CEB2	3742361	CHRNA
2346380	CDC123	3892701	CEB4	2832388	CHRN3
2372967	CDC73	3862640	CEB6	2587242	CHST10
3402874	CDC3A	4028283	CETN2	2846126	CHST2
2962243	CDC47L	2962243	GETP	3802418	CHST9
3040487	CDC47L	2962444	CFB	2494447	CIAD1
2871728	CDOP1	3529377	CDEB	2871728	CIEB
3864467	CDH11	3828226	CDL	3828226	CDL
3871202	CDH13	2373336	CFHR1	2737840	CISD2
3865515	CDH18	2373406	CFHR1	2875604	CISL
3811948	CDH19	2373406	CFHR3	3474104	CIT
3802802	CDH1	3892701	CFHR4	4012178	CITB1
5231088	CDH23	2781738	CFH	3529377	CITB2
3866386	CDH3	2522186	CFAR	3025959	CKAP2
2805078	CDH8	3860996	CGO30	3480885	CKAP2
3417148	CDK2	3867573	CGB	3371719	CKAP5
3478077	CDK2AP1	3867573	CGB2	3860799	CKB
3458783	CDK4	3867573	CGB4	3861786	CKLF
3223426	CDKNAP2	3867573	CGB7	3621351	CKMT1A
2813481	CDK7	3867573	CGB8	3175863	CKS2
3482488	CDK8	3585315	CGNL1	2573941	CLASP1
3563861	CDKL1	3817501	CHAF1A	2868426	CLASP2

【 図 6 - 9 】

TCID	漢字子 na20	TCID	漢字子 na20	TCID	漢字子 na20	TCID	漢字子 na20
3862106	CLC	3615389	GNM2	2451309	COX7C		
2345023	CLCA1	2742102	GNB3	2700224	CP		
3246056	CLCA3P	3246056	GNM1	3106569	CP		
3378789	CLCF1	3261971	GNM2	2847100	CPA3		
3693673	CLCN3	3693673	GNOT1	3716411	CPD		
2320472	CLCN8	3421887	GNOT2	2780627	CPE		
3710589	CLDN1	3074362	GNOT4	2719381	CPE2		
3487195	CLDN10	2844709	GNOT8	2384704	CPEB2		
3012019	CLDN12	2774565	GNOTBL	2842256	CPX2		
2857808	CLDN16	2863859	CNR1	2863859	CNR1		
2832683	CLDN20	3758157	GNTD1	3105904	GNPE3		
3007990	CLDN4	3331730	GNTF	2958453	GNPE4		
3404335	CLDN5	3189728	GNTN	3453835	GNPE8		
3743561	CLDN7	3411721	GNTN1	2824817	CPO		
3928416	CLDN8	3345940	GNTN5	3156510	GPSF1		
3888987	CLDN2	2807757	GNTN8	2488920	GPSF3		
3443861	CLEC2B	3721989	GNTNAP1	2315739	GPSF3L		
3404335	CLEC2D	3229900	GNTNAP2	3421446	GPSF6		
2820448	CLEC3B	3531183	GOCH	3043848	CPVL		
3443185	CLEC4E	3789989	COG1	3895116	CPXM1		
3848526	CLEC4G1	3488253	COG3	2377427	CR1		
3048525	CLEC4G1	3067080	GO6G	3727283	CR2		
3078986	CLEC5A	2425799	COL11A1	3803286	CRABP1		
3444008	CLEC7A	2861177	COL12A1	2861177	CRABP2		
2787005	CLGN	3250498	COL13A1	2809348	CRBN		
2949330	CLIC1	3181942	COL15A1	2894568	CREB5		
4027789	CLIC2	2404548	COL10A1	2867766	CREBBP		
3230584	CLIC3	3782188	COL1A1	2867947	CREG2		
2856588	CLIC5	3013054	COL1A2	2810138	CRELD1		
2856588	CLIC5	2888342	COL23A1	2888342	CRELD2		
3919278	CLIC6	2781441	COL25A1	2819536	CRMPB		
3860229	CLIP3	2642261	COL28A1	3564818	CRIP2		
2476407	CLIP4	2519577	COL3A1	2658663	CRISP3		
3457329	CLIP2	3824424	COL9A2	3720228	CRKRS		
2457329	CLIP2	2873345	COL7A1	2873345	COL7A1		
3577940	CLMN	2833380	COL8A1	2769338	CRMP1		
3494502	CLN6	2408679	COL8A2	388193	CROCC		
3829494	CLPX	3829494	COL9A3	2388193	CROCC1		
2406420	CLSPN	3113133	COLEC10	2388193	CROCC2		
2818580	CLSTH1	3829494	CLM26	3728772	CROP		
3188415	CLTA	2788146	CLM40B	3011317	CROT		
2842530	CLTB	3369782	CLM40D	3302572	CRTRC1		
3729172	CLTC	2363084	COPA	2619186	CRYP		
3129085	CLU	3855324	COPE	3489985	CR1		
3729085	CLU	3855324	COPE	3489985	CR1		
3829494	CLU1B	3829494	COPI1	3381148	CRYAB		
2848882	CMAH	3781054	COFZ2	2851778	CRZ3		
3407926	CMAS	3417531	COQ10A	2418451	CRZ2		
2868021	CMTM6	2775965	COQ2	3829821	CRZL1		
2817484	CMYA5	3571667	COQ8	3487814	CS		
3787868	CNIP2	3470546	COPR1C	3444252	CSDA		
2830418	CNHA	3829494	COPX2	3444252	CSOAP1		
3871219	CNKR2	3171166	COX10	2408783	CSF3R		
2880516	CNKR5	3303108	COX15	3128804	CSGALNACT1		
3821263	GNN1	2772868	COX18	3234908	CSGALNACT2		

【 図 6 - 10 】

TCID	漢字子 na20	TCID	漢字子 na20	TCID	漢字子 na20
2880932	CSNK1A1	3358950	CTSD	3919429	CYP2A1
2880932	CSNK1A1L	3358950	CTSH	3268284	CYP2A1
3890478	CSNK1E	2434458	CTSK	2851189	CYP2A11
3829103	CSNK1G1	3211871	CTSL2	2528093	CYP27A1
3629012	CSNK1G1	2434458	CTSS	3456819	CYP27B1
2828550	CSNK1G3	3338262	CTTN	3862944	CYP2A13
3894228	CSNK2A1	3869840	CTTNBP2	3862944	CYP2A6
3894228	CSNK2A1P	3869840	CTXN1	3862944	CYP2A7
2902566	CSNK2B	3279298	CTUB1	3862944	CYP2A7
3101893	CSPP1	3784922	CTUDDC1	3259019	CYP2C18
2889930	CSRP1	3802497	CTULLA	3259019	CYP2C8
3454882	CSRP2	4186090	CTULB	2956781	CYP3A1
2430685	CSRP1	3347549	CTUL5	3063501	CYP3A4
3483966	CSRP2	2843355	CTUL7	3015940	CYP3A43
3801333	CST1	2854356	CTUL9	3053406	CYP3A5
3901333	CST4	2807754	CTUL9	3063406	CYP3A5P2
3335894	CST5	3310875	CTUZD1	3063501	CYP3A7
2836889	CSTA	3867545	CWF1B1.2	3551432	CYP4A1
3834245	CSTB	2728242	CWF43	2339048	CYP4A11
3296931	CSTY2	273434	CXCL1	2339048	CYP4A22
3368520	CSTF3	2773872	CXCL11	3853858	CYP4F11
4020137	CT47A1	3288902	CXCL12	3823340	CYP4F12
4020137	CT47A10	2732908	CXCL13	2334888	CYP4X1
4020137	CT47A11	2879908	CXCL14	3060984	CYP51A1
4020137	CT47A2	3863940	CXCL17	3138204	CYP7B1
4020137	CT47A3	2773434	CXCL2	2344688	CYR1
4020137	CT47A4	2773434	CXCL3	4013480	CYSL1TR1
4020137	CT47A5	2773947	CXCL9	3489136	CYSL1TR2
4020137	CT47A6	2578928	CXCR4	3772525	CYTH1
4020137	CT47A7	4024440	CXorf18	3837839	CYTH2
4020137	CT47A8	4003885	CXorf21	3817281	OAC1
4020137	CT47A9	3940021	CXorf23	3940021	CYTS5
4020137	CT47B1	3873881	CXorf27	3714177	CYTS8
3333499	CTAGE8	4088804	CXorf36	3827382	DYR1
3029230	CTAGE8	3981474	CXorf50B	3928138	DZ182088E
2417350	CTBP2	3868230	CXorf57	3817281	OAC1
2420487	CTBS	3539887	CXorf82	3539887	DAC1
3866403	CTCF	3807809	CXXC1	2822121	DAG1
2627786	CTDSP1	2831350	CXXC5	2873830	DALRD3
3488911	CTDSP2	3709213	CYEB01	2848464	DAP
2817278	CTDSP1	3862530	CYEBR3	2391059	DAP3
3381809	CTDSP2	2915481	CYB34	3828832	DAK2
2974330	CTGF	3873839	CYBB	2877868	DARS
2341663	CTH	2512240	CYBRD1	4031834	DAZ1
3110917	CTHRC1	3813300	CYFIP1	2884780	DAZ2
2830948	CTNNA1	2837288	CYFIP2	4031834	DAZ2
3221189	CTNNA2	3898021	CYF1	2884780	DAZ2
3219621	CTNNAL1	3157217	CYF11B1	4031834	DAZ2
2618940	CTNNA1	3157217	CYF11B2	2884780	DAZ2
4000639	CTPS2	3304522	CYF11A1	3815834	DAZAP1
3887117	CTSA	3821888	CYF11A1OS	2884780	DAZL
3028208	CTSB	3844899	CYF11B1	3227935	DCC1
3124837	CTSR	3227935	CYF11B1	2884780	DCC1
3385769	CTSC	2893034	CYP21A2	2868800	DBN1

【 図 6 - 11 】

TCID	漢字子 na20	TCID	漢字子 na20	TCID	漢字子 na20	TCID	漢字子 na20
2429212	DBT	3847806	DENNDC1	3813896	DLU2L		
2315163	DBP1	3116681	DENNDC3	3513885	DLU2L		
3378590	DDC	3829811	DENND4A	2884704	DLG2		
3387788	DDCC1	3362283	DENND5A	3880483	DLG3		
3387917	DDCC1	3448780	DENND6B	3903906	DLG4		
2984540	DDCC2	3435490	DENR	3743303	DLG4		
3381072	DCHS1	2868682	DEPDC1B	3808759	DLGAP2		
2790488	DCHS2	3843101	DEPDC5	3883819	DLGAP4		
3509473	DCLK1	3113280	DEPDC8	3555863	DLGAP5		
3488274	DCN	3151401	DERL1	3884448	DLST		
3488274	DCN	3427286	DERL2	3644348	DLSTP		
3488274	DCN	2628478	DES	2533794	DMAP1		
3488274	DCN	4890044	DET1	3883819	DMB		

【 図 6 - 1 2 】

TCID	通信子 na20	TCID	通信子 na29	TCID	通信子 na29
2602770	DNER	3622230	DUOXA2	2360633	EPNA4
2600155	DNF2P	2609690	DUSP1	2369690	ENOC1
3269503	DNTT	2457281	DUSP10	2733757	ENOPH1
2423597	DNTTIP2	3719615	DUSP14	3795898	ENOSF1
3269930	DOCK1	3444958	DUSP16	2929963	ENPP1
2801648	DOCK10	2318729	DUSP19	2739308	EGF
3696435	DOCK11	2801241	DUSP22	3689336	EGFL6
2822970	DOCK3	2382192	DUSP23	2801195	EGFLAM
3090512	DOCK6	3129731	DUSP4	3002940	EGFR
3190330	DOCK6	3263743	DUSP5	2630881	EGR1
3622308	DOCK9	3444880	DUSP6	3281801	EGR2
3629821	DONSON	3363147	DUT	2484870	EHRP1
3699775	DOANSON	2381425	DVL1	3337451	EHD2
3918890	DOPEY2	3692947	DYNC1H1	3326461	EHF
3394192	DPAGT1	3013666	DYNC1H1	4031136	EIF1A1Y
2902089	DPAC1	4037995	DYNC1H2	3326082	EIF2AK2
3913483	DPH39	2615276	DYNC1H2	2563664	EIF2AK3
2384019	DPH4	2891874	DYNLT1	3544387	EIF2B2
3032947	DPH6	4004819	DYNLT3	2409904	EIF2B3
2888166	DPFA2	2376894	DYRK3	2330002	EIF2C4
2888180	DPFA4	2468252	DYSF	3903288	EIF2B2
2443120	DPT	2696386	DYTN	3309215	EIF3A
3965648	DPY19L2	3629391	DYX1C1	2884712	EIF3E
3459801	DPY19L2	3427195	DZP1	2463544	EIF3F
3085540	DPY19L2P1	3521372	DZP1	2800689	EIF3L
3459801	DPY19L2P2	2653263	DZP3	2656688	EIF4G1
3065548	DPY19L2P2	2401448	E2F2	2400373	EIF4G3
3459801	DPY19L2P3	2812371	EAF1	3008144	EIF4H
3107606	DPY19L4	3111985	DSAG9	3353997	EIF5
2847386	DPY30	2891878	EBF1	3781970	EIF1
2424524	DPYD	3128411	EBF2	3848689	ELAVL1
2880292	DPYSL3	3873923	EBF4	4021433	ELF4
3984702	DRP2	3284242	ECD	3427088	ELK3
3902020	DSC1	2400518	ECE1	3048197	ELMO1
3602080	DSC2	2418332	ELCOC2	2807804	ELMO2
3902924	DSC3	2356380	ECM1	2406310	ELOV1
3363311	DSCAML1	3214867	ECM2	4291721	ELOV1.2
3812074	DBEL	2682875	ECT2	2822113	ELOV1.4
3753529	DBG2	4011086	EDA2R	2781813	ELOV1.6
3444588	DBA1	2389828	EDARADD	3767387	ELP2
2583794	DSP	2608501	EDFM1	3087628	ELP3
2968326	DST	2404832	EDEM3	2144324	ELTD1
3878833	DTD1	2885390	EDL3	2779543	EMCN
2378937	DTL	3891447	EDN3	3685511	EML2
3734205	DTNA	2623325	EDNRB	2478748	EML4
2638882	DTX3L	3463189	EF1A1	4017142	EML6
4048878	DTYMK	2980003	EF1A1	3931766	ERG
2603626	DULLARD	2980903	EF1A1.7	3570949	ERH1
2819139	DULLARD	2940920	EF1E1	3086905	ERH2
3682274	DUOX1	3962987	EFCAB8	3683345	ERH2
3622116	DUOX1	2354019	EFAH1	3661509	ER2
3582214	DUOX2	3087438	EFAH2	3303256	ERLIN1
3622116	DUOX2	2665472	EFNB	3564790	ERO1L
3622230	DUOXA1	3228033	EFNA3	2462329	ERO1LB

【 図 6 - 1 3 】

TCID	通信子 na20	TCID	通信子 na29	TCID	通信子 na29
2388480	ENO1	3444798	ERP2	3844191	FAD1
2388480	ENO1	3217738	ERP24	2665753	FAD2
2388480	ENO1	2386177	ERFR1	2484064	FAD2A
3063300	ERV3	3063300	ERV3	2668793	FAD2B
3389107	ESAM	3389107	ESAM	3389107	FAD2B
3600779	ESCO1	3600779	ESCO1	2984938	FAM103A1
3765969	ESM1	3765969	ESM1	3765969	FAM103A1
2634864	ENTPD1	2634864	ENTPD1	3737881	FAM107B
2831763	ESR1	2831763	ESR1	3686078	FAM107B
3568184	ESR2	3568184	ESR2	3568184	FAM107B
3107548	ESRP1	3107548	ESRP1	3331803	FAM111A
3689278	ESR2	3689278	ESR2	2734084	FAM114A1
2455053	ESR8	2455053	ESR8	3029230	FAM115A
3633794	ETFA	3633794	ETFA	3029230	FAM115C
3688963	ETFB	3688963	ETFB	2878118	FAM116A
3884430	ETHE1	3884430	ETHE1	3884430	FAM116A
2481870	ETNK2	2481870	ETNK2	3385021	FAM118B
3397569	ETS1	3397569	ETS1	3418934	FAM119B
3039177	ETV1	3039177	ETV1	3170872	FAM120A
3768510	ETV4	3768510	ETV4	4008560	FAM120C
2709132	ETV5	2709132	ETV5	3480073	FAM124A
3405207	ETV8	3405207	ETV8	3189422	FAM126B
2423017	EVIS	2423017	EVIS	3841284	FAM128A
3356733	EWRS1	3356733	EWRS1	3841907	FAM127A
2938196	EXOC2	2938196	EXOC2	4022926	FAM127A
4022926	EXOC2	4022926	EXOC2	3981889	FAM127A
3771338	EXOC7	3771338	EXOC7	4022926	FAM127B
2298480	EXOSC10	2298480	EXOSC10	3981889	FAM127C
3485863	EXOSC2	3485863	EXOSC2	3225982	FAM129B
2741788	EXOSC9	2741788	EXOSC9	3007273	FAM131B
3150060	EXT1	3150060	EXT1	2529275	FAM134A
3140037	EYA1	3140037	EYA1	2849892	FAM134B
2849892	EYA2	2849892	EYA2	3277457	FAM133A
2403335	EYA3	2403335	EYA3	3247977	FAM133C
3078348	EZH2	3078348	EZH2	3502437	F10
3502437	F10	3502437	F10	3380772	FAM180A2
2756184	F11	2756184	F11	2695753	FAM180B1
3284741	F12	3284741	F12	2816858	FAM182A
2816858	F2R	2816858	F2R	2389713	FAM183A
2893383	F2RL2	2893383	F2RL2	3104323	FAM184A
2423907	F3	2423907	F3	4061621	FAM188A
2443700	F5	2443700	F5	2578281	FAM188B
4027638	F8	4027638	F8	2825174	FAM189A
3087142	FAH	3087142	FAH	3759105	FAM171A2
3879101	FAAH2	3879101	FAAH2	2404418	FABP3
3931766	ERG	3931766	ERG	3142381	FABP4
3570949	ERH1	3570949	ERH1	2821981	FAM173A
3086905	ERH2	3086905	ERH2	2778937	FAM184B
3683345	ERH2	3683345	ERH2	2389841	FAM175A
3661509	ER2	3661509	ER2	2500825	FAM176A
3303256	ERLIN1	3303256	ERLIN1	3632363	FAM177A
3564790	ERO1L	3564790	ERO1L	3803832	FAH
2462329	ERO1LB	2462329	ERO1LB		

【 図 6 - 1 4 】

TCID	通信子 na20	TCID	通信子 na29	TCID	通信子 na29
2475348	FAM178A	3171426	FAM75C1	3223805	FBXW2
3534128	FAM179B	2820813	FAM81B	3230330	FBXW5
3549436	FAM181A	3219267	FAM82A2	2739667	FBXW7
3649052	FAM188	3143330	FAM82B	3433881	FBXW6
2626462	FAM19A1	3848892	FAM83D	2463036	FCAMR
3849722	FAM19A5	3948146	FAM83F	3848492	FCER2
3789536	FAM20A	3848146	FAM84A	3954416	FCF1
3789536	FAM20A	3152558	FAM84B	3862186	FCFBP
3344742	FAM21A	3383338	FAM89B	2363869	FCGR2A
3244742	FAM21C	3114365	FAM81A1	2363869	FCGR2B
3244742	FAM21D	3114365	FAM81A2	2363869	FCGR2C
3310675	FAM24B	3107151	FAM92A1	2440943	FCGR3A
3784798	FAM33A	3107151	FAM92A2	2440943	FCGR3B
3259278	FAM35A	3107151	FAM92A3	3838824	FCOT
3295279	FAM35B2	3666212	FAM96B	2815136	FCHO2
3704378	FAM38A	2810241	FANCD2	3381377	FCHSD2
3798778	FAM38B	3607537	FANCI	3415046	FCN1
3798629	FAM38B2	3324346	FANCM	3229336	FCN2
3221982	FAM39	2549134	FAP	2363832	FORLA
3070047	FAM3C	3321269	FAR1	3088206	FDFT1
2878488	FAM3D	3409805	FAR2	3348189	FDX1
2668786	FAM43A	3497881	FARP1	3391149	FDXACB1
2902363	FAM46A	2893130	FAR2	3770457	FDXR
2333968	FAM46C	3257831	FAS	3333226	FEN1
2731888	FAM47E	3257988	FAS	3306593	FEZ1
3509910	FAM48A	3079336	FASTK	2612100	FGD5
2628478	FAM48A	2588227	FASTKD1	3708623	FGF11
2841860	FAM49A	2787383	FAT1	2710895	FGF12
3688430	FAM50A	2742581	FAT4	3524388	FGF14
2787278	FAM53A	3602187	FBL	2742109	FOP2
2830698	FAM53C	3848640	FBLN1	3441168	FGF23
2834091	FAM55C	3678749	FBLN5	3693408	FGF7
3705481	FAM57A	2500687	FBLN7	3480885	FGF9
4028660	FAM59A	3823031	FBN1	2781829	FGFBP1
3802330	FAM59A	2814371	FBN2	3132019	FGFR1
2388840	FAM5B	3685835	FBX1.10	3413950	FGFR1OP2
2448710	FAM5C	3755855	FBX20	3310041	FGFR2
3449700	FAM60A	3618466	FBX3	2388487	FGVY
3417371	FAM62A	2968078	FBX4	3057966	FGL2
3392248	FAM62B	2781734	FBX5	2747981	FHCG1
2434748	FAM83A	2802683	FBX7	3062408	FHL1
2388581	FAM83A	2582153	FBXO11	2586887	FHL2
2423175	FAM89A	3813188	FBXO15	3685641	FHOD1
4019784	FAM70A	3129381	FBXO18	3324447	FBIN
3889400	FAM71E1	2388780	FBX2	3877954	FBP
2343170	FAM73A	3473480	FBXO21	2727226	FIP1.1
3108890	FAM73B	3602529	FBXO22	3329826	FJX1
3171426	FAM75A1	3682526	FBXO22C3	3721462	FKBP10
3171426	FAM75A2	3688749	FBX03	3043996	FKBP14
3171426	FAM75A3	2978026	FBX03B	2472655	FKBP1B
3171426	FAM75A4	3331129	FBX03B	3877954	FKBP2
3171426	FAM75A5	2980241	FBX05	3401119	FKBP4
3171426	FAM75A6	3843414	FBX07	2851587	FKBP5
3171426	FAM75A7	2888977	FBXW11	3824963	FKBP6

【 図 6 - 1 5 】

TCID	通信子 na20	TCID	通信子 na29	TCID	通信子 na29
3489315	FKSG29	2368441	FMO3	2368441	FMO3
3355733	FL1	2435322	FMO6	2986896	FYN1
3748188	FL10A9	3748188	FMO10	2650887	FYTD1
3110217	FL10A9B	3994100	FMRI	3343462	FZD4
4040117	FL12120	2588261	FN1	3386080	FZD4
2738244	FLJ20184	2628806	FN1	2896763	FZD6
3829838	FLJ21389	3739147	FNK1	3110272	FZD6
3358046	FLJ23519	3227159	FNBP1	2823045	FZD7
3018011	FLJ23834	3489212	FNDC3A	2378088	GOS2
2389960	FLJ23887	2662410	FNDC3B	2745647	GAB1
3937967	FLJ26056	2668953	FNDC4	3383227	GAB2
3953458	FLJ26056	2405260	FNDC5	3403636	GABARAP1.1
2480470	FLJ33330	2350318	FNDC7	3403636	GABARAP1.3
2817041	FLJ31716	3343900	FNDC7	3217232	GABPA
3489708	FLJ31946	3372896	FOLH1	3816878	GABPA

【 図 6 - 1 6 】

TCID	遺伝子 na29	TCID	遺伝子 na29	TCID	遺伝子 na29
2637206	GBP	3639914	GTL2	2417272	GNG12
2684187	GBE1	3639900	GTL3	3622666	GNG2
3261544	GBF1	3639914	GTL3	3333595	GNG3
3228523	GGT1	3639900	GTL3	3845944	GNG7
2421843	GBP1	3031899	GMAP2	2943379	GNL1
2421863	GBP1	3031833	GMAP4	2658782	GNL3L
2421925	GBP2	3021979	GMAP5	2857524	GNL3P
2421883	GBP2	3071913	GMAP8	2905713	GNMT
2421843	GBP3	3031817	GMAP7	2385197	GNPAT
2421826	GBP3	3031466	GMAP8	2679028	GNPDA1
2421863	GBP3	3680627	GINS1	3694872	GNPNT1
2421895	GBP4	3703112	GINS2	3469103	GNPTAB
2421925	GBP4	3471905	GIT2	2853262	GPR76
2422036	GBP5	3689932	GIVD1	3387010	GPR83
2346416	GBP6	3666632	GIVD2	2819779	GPR98
2421826	GBP7	2823981	GJA1	3694964	GPR90
2512930	GCA	2407786	GJA9	3817574	GOLGA8A
3949314	GCA1	4094427	GJB4	3817458	GOLGA8B
2638082	GCET2	3504213	GJB6	3617574	GOLGA8B
2688605	GCET2	4016763	GLA	3212546	GOLM1
3585524	GCH1	2989205	GLB1	3148871	GOLSYN
3048468	GCK	2689837	GLCC11	2431931	GOLT1A
2637360	GCM1	3187865	GLDC	2437845	GONAL
3595441	GCOM1	3693831	GLG1	2871378	GOPC
3701459	GCSH	3699819	GLS1	2699988	GORASP1
3174810	GDA	3047880	GL3	4048836	GOT1L1
3103607	GDAP1	3422865	GLPR1	3707335	GP1BA
2430370	GDAP2	3422826	GLPR1L2	2711827	GPS
3825285	GDF1	3117140	GLS3	3300984	GPAN
3287789	GDF10	3187014	GLS3	3828174	GPATCH1
3824993	GDF15	2749191	GLRB	2402881	GPATCH3
3996404	GD1	3271018	GLRX3	3739188	GPATCH6
3275132	GDI2	2620281	GLS	3083807	GPC2
3729014	GDPD1	3437800	GLT1D1	4022447	GPC3
3382319	GDPD5	3819171	GLT2BD1	2474669	GNP1
3144834	GEM	2679319	GLTBD1	2815896	GPI1L
2477880	GEMIN6	3448888	GLTBD2	2611432	GPD2
2649640	GFM1	3451248	GLTBD3	2987038	GPBR
2682718	GFV2	2682718	GLTSCR2	2794584	GPMB8A
2525045	GFPT1	2447098	GLT2	2474669	GNP1
3508241	GFR1	2457478	GMCL1	5181273	GPR107
3127156	GFR2	2959989	GMCL1L	2955632	GPR110
3685183	GGA2	3914021	GMEB2	2473784	GPR113
3707693	GGA3	3681948	GMFG	3094334	GPR124
3044129	GGB1	3819140	GMAO1	2767378	GPR125
3719181	GGB2	2528820	GMPA	3581404	GPR132
3639914	GCT1	3740137	GNA14	3741688	GPR133
3939009	GCT2	3010438	GNAI1	2386747	GPR137B
3639914	GCT2	3779207	GNAI1	3559779	GPR146
3639909	GCT2	3891940	GNAO1	2587780	GPR185
3639914	GCT3	3210308	GNAQ	2861835	GPR186
3839008	GCT3P	2381840	GNAQ1	2442911	GPR181
3939914	GCT3P	3402874	GNAQ3	3978189	GPR173
3223987	GGA1	3184940	GNG10	3962612	GPR174

【 図 6 - 1 7 】

TCID	遺伝子 na29						
2417390	GPR177	2350922	GSTM2	2350922	GSTM2	3300441	HBG2
3622644	GPR18	2351004	GSTM2	2351004	GSTM2	3018420	HBP1
3417767	GPR182	2350961	GSTM2	2350961	GSTM2	2972877	HBS1L
3422992	GPR183	2350922	GSTM2	2350922	GSTM2	4026658	HCF1
3445028	GPR18	2427208	GSTM3	2427208	GSTM3	3773356	HCF1R1
3070673	GPR37	2350922	GSTM4	2350922	GSTM4	3429406	HCF2
2879888	GPR36	2350961	GSTM4	2350961	GSTM4	2796309	HCG 1771830
2908670	GPR39	2350922	GSTM5	2350922	GSTM5	3621728	HCG 1789710
3894964	GPR80	2351004	GSTM5	2351004	GSTM5	2626862	HCG 2024410
3882800	GPR56	3329500	GSTO1	3329500	GSTO1	3871489	HCG 2039148
4001654	GPR84	3337188	GSTP1	3337188	GSTP1	2856563	HCP1
2853262	GPR76	2727636	GSK2	2727636	GSK2	2607173	HCRP1
3387010	GPR83	3874074	GTF2A	3874074	GTF2A	2326397	HCRTR1
2819779	GPR98	2481379	GTF2A1L	2481379	GTF2A1L	2606028	HDACA
3885289	GPR45P1	2421763	GTF3B	2421763	GTF3B	4012264	HDC6
3895306	GPRASP2	2881183	GTF2H2	2881183	GTF2H2	2681308	HDC9
3406587	GPRC6A	2881183	GTF2H2B	2881183	GTF2H2B	3988444	HDHD1A
3883377	GPRC6B	2881183	GTF2H2C	2881183	GTF2H2C	2482456	HEATR1
2995365	GPRIN1	2881183	GTF2H2D	2881183	GTF2H2D	2989887	HEATR1
2771639	GPRIN3	3438848	GTF2H3	3438848	GTF2H3	3659896	HEATR3
2874229	GPX1	2802013	GTF2H4	2802013	GTF2H4	3589880	HEATR5A
3588803	GPX2	3008376	GTF2I	3008376	GTF2I	3765059	HEATR8
2835715	GPX3	3008378	GTF2P1	3008378	GTF2P1	3446123	HEBP1
3815638	GPX4	3099698	GTF2RD2	3099698	GTF2RD2	3569870	HECTD1
3239438	GPX7	3099698	GTF2RD2B	3099698	GTF2RD2B	3267750	HECTD2
2808831	GPX8	3026656	GTF2RD2P	3026656	GTF2RD2P	2429370	HECTD3
2836826	GRAMD1C	3482886	GTF3A	3482886	GTF3A	2899334	HECW1
2827057	GRAMD3	2683352	GTF3C3	2683352	GTF3C3	2692908	HEG1
3030482	GRB10	2954771	GTFPBP2	2954771	GTFPBP2	3420487	HELB
2884712	GREB1	2819480	GULP1	2819480	GULP1	3258810	HELLS
3770743	GRI1	3439058	GYPB	3439058	GYPB	2739326	HEP3
2498926	GRI2	2787802	GYPB	2787802	GYPB	3788016	HEPZ
2486167	GRHL1	2804328	GYPC	2804328	GYPC	3217077	HEMGN
2326358	GRHL3	2787958	GYPE	2787958	GYPE	2628660	HERC1
2749222	GRIA2	2787902	GYPE	2787902	GYPE	3914901	HERC2
3485448	GRI1	3485448	GZNA	3485448	GZNA	3658748	HERC2
4030488	GRI1	2809810	GZNA	2809810	GZNA	3814801	HERC2P2
3770422	GRI2C	3588376	GZMB	3588376	GZMB	3585749	HERC2P2
3818151	GRI3A	3588376	GZMH	3588376	GZMH	3614901	HERC2P3
3896441	GRI1L1A	2809793	GZMK	2809793	GZMK	3888748	HERC2P3
3071613	GRN	2876478	H2AFY	2876478	H2AFY	2735488	HERC3
3705628	GRN	3258448	H2AFY2	3258448	H2AFY2	3388442	HERC3
2835008	GRPEL2	2948714	H2AFY3	2948714	H2AFY3	2735382	HERC3
2772614	GRSF1	3770844	H3F3B	3770844	H3F3B	3882387	HERPUD1
3765903	GSDMB	2684386	H3C1	2684386	H3C1	2805735	HESE
3445166	GSG1	2473736	HADHB	2473736	HADHB	3632162	HEXA
3741688	GSG2	3884243	HAL	3884243	HAL	3488442	HEXD
2891014	GSK3B	3757288	HAP1	3757288	HAP1	3774975	HEXD
3187888	GSN	2832052	HARS	2832052	HARS	3733346	HEXM1
3903670	GSS	2832052	HARS2	2832052	HARS2	2824482	HEY2
2738314	GSTD	2767821	HAUS3	2767821	HAUS3	2422612	HFMI
3749929	GSTM1	3329401	HBB	3329401	HBB	3347670	HFD
2350961	GSTM1	2878273	HBEFG	2878273	HBEFG	3746601	HHP
2350952	GSTM1	3390441	HBG1	3390441	HBG1	2487498	HHPIL2

【 図 6 - 1 8 】

TCID	遺伝子 na29	TCID	遺伝子 na29	TCID	遺伝子 na29
2635184	HHLA2	2401275	HNRNP	2910607	HTR1E
3938113	HIC2	2884427	HOMER1	3513147	HTR2A
3539070	HIF1A	3448152	HOMER1	2885326	HTR2B
3836705	HIF3A	3086368	HOOK3	2855326	HTR3D
2739160	HIGD1A	3042984	HOUA13	2715820	HTT
3067370	HIP1	3042816	HOUA4	3049840	HUS1
2362758	HIPK1	3761441	HOUA5	4009315	HUWE1
3078778	HIPK2	2518967	HOUA1	3471327	HVCN1
3326207	HIPK3	2839587	HOUA2	2815896	HYDN
3862837	HIRA	2400322	HP1BP3	2977821	HYMA1
3062703	HIRA	2408041	HPICAL4	3394123	HYDU1
2822407	HISPPD1	2474408	HPGD	2539821	IAH1
3621278	HISPPD2A	3830085	HPN	2380981	IAR52
2948194	HIST1H1A	3981989	HPRT1	2735129	IBSP
2948174	HIST1H2BK	2700244	HPSP3	2982526	IBTK
2948215	HIST1H3B	2647216	HPSP3	3038065	ICA1
2899203	HIST1H3E	3388980	HRA5	3820443	ICAM1
2899148	HIST1H4C	2688276	HRA5L5	3798921	ICAM2
2847061	HIST1H4L	3867708	HRC	3820469	ICAM5
2898189	HIVEP1	2889890	HRC	2934588	ICMT
2977266	HIVEP2	3145880	HRSF12	2401483	ID3
3250278	HK1	3300390	HRS2T1	3300390	IDE
2948826	HLA-B	4022183	HRS2T2	2587010	IDH1
2948867	HLA-B	3671448	HRSF1	3803189	IDH3A
2948926	HLA-C	3328269	HSD17B12	2739911	ID1
2948867	HLA-C	3218195	HSD17B3	3086223	IDO1
2950263	HLA-DMB	3417703	HSD17B8	3086267	IDO2
2950329	HLA-DPA1	2603488	HSD17B8	4028339	IDS
2903401	HLA-DPB1	3120368	HSF1	2788831	IDUA
2850120	HLA-DQB2	2932435	HSF2	3229983	IERL1
2903189	HLA-DRA	4025485	HSF1	2382384	IF1B
2901620	HLA-E	4025485	HSF2	2843511	IFM4
3727563	HLF	3400034	HSN2	2343473	IFM4L
3881282	HMX3	3881279	HSP90AA1	2403291	IFB
3091848	HMX3	3659179	HSP90AAAP	3327288	IFIT5
3802373	HMX20A	2903474	HSP90A1	3313675	IFITM1
3817040	HMG20B	2884874	HSP90A3P	3201242	IFNA10
3431483	HMG1	3429312	HSP90B1	3201242	IFNA18
3471198	HMG1	3429312	HSP90B3P	3201242	IFNA17
3420318	HMG2	3874402	HSPA12B	3201242	IFNA21
3884915	HMG3	3925439	HSPA13	3201242	IFNA4
2329388	HMG3A	2902707	HSPA1A	3201242	IFNA7
2688117	HMGCL1	2902707	HSPA1B	3918447	IFNAF2
2816985	HMGCR	2849480	HSPA1L	3201359	IFNIE
3844046	HMGXB4	2829856	HSPA4	2448188	IFR3
2829868	HMR	2742835	HSPA4L	3878002	IFT14D
2941892	HNF19	3893230	HSP90	3481415	IFITM1
3770606	HNF1	2143519	HSPB11	3980455	IGBP1
3784797	HNF1P	2682136	HSPBAP1	3810804	IGF1R
2352809	HNRNP3A	2589333	HSPD1	2589333	HSPD1
2843618	HNRNP3B	2400783	HSPG2	3047409	IGF2BP3
3776483	HNRNP3D	3893230	HSPH1	2854358	IGF2R
3681617	HNRNPDL	2730194	HTR1D	3442292	IGFBP3
4037698	HNRNPM	2401251	HTR1D	2369828	IGFBP5

【 図 6 - 1 9 】

TCID	遺伝子 na29	TCID	遺伝子 na29	TCID	遺伝子 na29	TCID	遺伝子 na29
3415744	IGFBP7	2916612	INO80D				

【 図 6 - 2 0 】

TCID	漢字子 na20	TCID	漢字子 na20
2428119	KCNB3	3829638	KAA0355
2813225	KCNB4	2973232	KAA0408
2728244	KCNB5	3631896	KAA0430
2693960	KCNJ13	2338719	KAA0486
3820500	KCNJ16	2369854	KAA0496
3733236	KCNJ18	3163070	KAA0649
3733276	KCNJ2	3293404	KAA0852
3831486	KCNJ8	3468985	KAA0748
2385873	KCNK1	3243118	KAA0793
2279724	KCNK2	2331213	KAA0754
3334446	KCNK4	3565738	KAA0831
2622834	KCNK5	3031263	KAA0894
3295046	KCNMA1	2437763	KAA0907
2539373	KCNM2	2748198	KAA0922
3421985	KCNM3	3429784	KAA1033
3824886	KCNM4	3265402	KAA1128
2436826	KCNM5	3238862	KAA1217
3317362	KCNM6	3884840	KAA1219
3154002	KCNM7	2927804	KAA1244
2471384	KCNM8	2432851	KAA1245
3071878	KCP	3250583	KAA1278
3470763	KCTD10	3737468	KAA1303
3087308	KCTD13	3529061	KAA1305
3358130	KCTD14	2350488	KAA1324
3844637	KCTD17	3059942	KAA1324L
2584425	KCTD18	3794590	KAA1328
2380055	KCTD3	2689286	KAA1407
3128372	KCTD9	3549264	KAA1409
3128372	KCTD9P2	3191167	KAA1432
2827626	KDEL1	3791166	KAA1466
3845314	KDEL2	3072541	KAA1549
3845314	KDEL3	3911257	KAA1566
3817733	KDM4B	3308496	KAA1586
3161968	KDM4C	3702490	KAA1609
3439903	KDM5A	3737274	KAA1619
2461308	KDM5B	3432851	KAA1627
4008062	KDM5C	3881498	KAA1659
3708163	KDM6B	2736316	KAA1680
3817830	KDR	3874836	KAA1683
3893408	KGFLP1	2588219	KAA1715
3593408	KGFLP2	8164601	KAA1787
2844474	KIDC1	2844474	KAA1841
2869038	KHDRBS2	3258168	KIF11
3117384	KHDRBS3	3221822	KIF12
3847814	KHSRP	3888796	KIF16B
3399820	KIAA0090	3734292	KIF19
3750872	KIAA0100	3072541	KIF19B
3629103	KIAA0101	3450775	KIF21A
2823803	KIAA0141	3203835	KIF24
3672388	KIAA0182	3212232	KIF27
2713565	KIAA0226	2873419	KIF3A
3549146	KIAA0247	8418268	KIF4
3584452	KIAA0284	3253891	KIF5B
2408139	KIAA0319L	2629900	KIF5C

【 図 6 - 2 1 】

TCID	漢字子 na20	TCID	漢字子 na20
3721485	KLHL10	2308620	KYNU
2461429	KLJ12	2461429	KJDI
2760527	KLJ19	3787265	L3MBL4
3825260	KLHL26	3897421	LACTB
3582871	KLHL28	3841509	LAIR1
2918037	KLHL32	3841357	LAIR2
3883324	KLHL34	3841508	LAIR2
2708086	KLHL5	2293287	LAMB2
2778968	KLHL8	3813018	LAMB5
3886829	KLK10	3057302	LAMB1
3888841	KLK11	2874047	LAMB2
3888857	KLK12	2853703	LAMB3
3888783	KLK7	3887406	LAMB4
3444180	KLRA1	2371089	LAMIC
3443804	KLRB1	2371139	LAMIC2
3444117	KLRC1	4018849	LAMP2
3444117	KLRC2	2707878	LAMP3
3444117	KLRC3	3873768	LAMP3
3444088	KLRC4	2338738	LARP1
3404680	KLRD1	2743085	LARP2
3404030	KLRE1	3414512	LARP4
3444088	KLRF1	2740005	LARP7
3272868	KNOC1	4010860	LAS1L
3438362	KNTC1	3885285	LASS1
2891862	KPNA1	3454299	LASS5
4041113	KPNA2	2614122	LASS8
4703217	KPNA4	3038194	LAT2
2922840	KPNAS	2878969	LATS1
3724782	KPNB1	3504528	LAT52
3030665	KPNB1	3348588	LATN
3447963	KRAS	2458289	LBR
3422856	KRR1	2382781	LBR
3422863	KRR1	3899280	LBRXOOR1
3415678	KRT1B	2860208	LCA5
3761708	KRT19	3887108	LCA7
3416320	KRT17	3883810	LCMT1
3458782	KRT77	3190190	LCN2
3458800	KRT79	2782500	LCORL
3458518	KRT8	3812874	LCPI
3888514	KRT9	3888585	LCPP
3458344	KRTB2	2877856	LCT
3823838	KRTAP10-12	3304215	LDB1
3823838	KRTAP10-4	2782088	LDB2
3823838	KRTAP10-6	3448858	LDBH
3823838	KRTAP10-7	2400783	LDLRA2D
3824623	KRTAP12-1	4024426	LDLRA3
3824623	KRTAP12-2	3883285	LDCC1L
3823838	KRTAP12-3	2828798	LEAP2
3721279	KRTAP9-3	2649182	LEKR1
3721279	KRTAP9-4	2452478	LEKR2
3721279	KRTAP9-8	3471029	LEK3
3721279	KRTAP9-9	2340433	LEPRT
2886415	KY	3414778	LETMD1

【 図 6 - 2 2 】

TCID	漢字子 na20	TCID	漢字子 na20
2321238	LOC100128068	3887028	LOC100130886
3813018	LOC100128184	3848146	LOC100130889
3777470	LOC100128219	2940317	LOC100130910
3302355	LOC100130320	3276559	LOC100131748
3872804	LOC100128388	3389838	LOC100133773
3817733	LOC100128439	3171425	LOC100133802
3838614	LOC100128526	3841357	LOC100133875
2833175	LOC100128551	3748881	LOC100133918
2808028	LOC100128683	2085935	LOC100133923
3348133	LOC100128687	3234265	LOC100133950
3890780	LOC100128908	3878240	LOC100133957
3020222	LOC100128988	3514679	LOC100134065
2321466	LOC100129042	3798649	LOC100134130
3398107	LOC100129089	4040117	LOC100134162
3785889	LOC100129112	4040849	LOC100134348
3756867	LOC100129115	3274768	LOC100134257
2801414	LOC100129171	3754041	LOC100134348
2800229	LOC100129195	3734096	LOC100134348
2404122	LOC100129198	4040117	LOC100134348
2889480	LOC100129233	3227548	LOC100131812
2804988	LOC100129258	4026338	LOC100131434
2891014	LOC100129276	3484980	LOC100131480
2887620	LOC100129312	3888330	LOC100131619
3886317	LOC100129324	3878542	LOC100131589
3823031	LOC100129387	3227548	LOC100131812
3889896	LOC100129390	3268267	LOC100131720
3650388	LOC100129427	2884838	LOC100131724
2880816	LOC100129453	3769193	LOC100131821
2748893	LOC100129572	3754477	LOC100131822
3890436	LOC100129717	2779636	LOC100131829
3112871	LOC100129717	2823226	LOC100131840
3290748	LOC100129721	4027178	LOC100131857
3181273	LOC100129785	2684884	LOC100131889
3400730	LOC100129787	2684884	LOC100131889
3992415	LOC100129848	2863442	LOC100132000
2448804	LOC100129887	2824802	LOC100132014
3833183	LOC100129935	3853841	LOC100132025
2377482	LOC100129981	2864275	LOC100132188
3737897	LOC100130078	4042198	LOC100132235
2533785	LOC100130100	3860300	LOC100132247
2431586	LOC100130131	3860300	LOC100132247
3438836	LOC100130219	3822783	LOC100132338
2504328	LOC100130248	3275132	LOC100132353
3742351	LOC100130311	2431112	LOC100132485
2482883	LOC100130331	3827292	LOC100132632
2814369	LOC100130354	4040117	LOC100132644
2714817	LOC100130356	3888800	LOC100132731
2842306	LOC100130357	3382332	LOC100132784
3869720	LOC100130518	2321466	LOC100132842
3828803	LOC100130518	3885838	LOC100133072
3842145	LOC100130542	3869879	LOC100133144
2880581	LOC100130542	3017847	LOC100133188
3835018	LOC100130587	3288824	LOC100133190
3738967	LOC100130678	3288824	LOC100133190

【 図 6 - 2 3 】

TCID	漢字子 na20	TCID	漢字子 na20
2009807	LOC221442	3227848	LOC441099
3937967	LOC29080	2880578	LOC441206
3863486	LOC29080	3029230	LOC411294
3823489	LOC29180	3841867	LOC441734
3823489	LOC29350	2431586	LOC651162
3542847	LOC283867	3848289	LOC653498
3813338	LOC283683	3201345	LOC554202
3583541	LOC283767	3810018	LOC584383
3841907	LOC282885	3882077	LOC588109
3837987	LOC284881	3883060	LOC588101
3863486	LOC284881	3060984	LOC813128
2871075	LOC286074	3862077	LOC4841298
2791325	LOC285466	3883060	LOC841298
2748880	LOC285605	3883881	LOC842611
2791419	LOC285605	2838188	LOC842335
2861567	LOC285847	2508335	LOC842698
3031468	LOC285872	3874504	LOC843224
3139882	LOC286180	3408207	LOC843287
3853030	LOC338047	2485418	LOC843484
2404988	LOC339483	3281068	LOC843476
3823489	LOC340508	3329088	LOC844172
2870903	LOC348817	2508335	LOC844525
3888887	LOC388242	3882423	LOC844732
3854729	LOC388882	3882423	LOC844736
2472985	LOC388881	3824828	LOC845159
3077080	LOC389785	3833541	LOC845182
3212232	LOC389785	2340380	LOC845185
3861951	LOC389785	3833541	LOC845202
3704887	LOC390748	3171425	LOC845981
2538888	LOC392610	3828813	LOC845894
3828888	LOC400689	3828811	LOC848358
2421883	LOC400769	3203311	LOC848808
3880478	LOC400827	3828803	LOC848894
2868836	LOC400886	3821278	LOC847471
2978628	LOC401010	3888830	LOC847678
4028880	LOC401218	2822833	LOC848149
2884888	LOC401317	2714528	LOC848881
3060984	LOC401387	3821278	LOC848898
2888584	LOC402009	2863788	LOC850405
3388800	LOC402278	8999014	LOC850860
3244055	LOC439611	2863788	LOC852483
3770844	LOC440093	3821278	LOC852895
3583541	LOC440243	2863788	LOC852894
3814901	LOC440248	3892701	LOC852708
3888888	LOC440248	2863788	LOC852778
4002011	LOC440258	3883788	LOC851188
3888888	LOC440258	3883788	LOC852894
3883788	LOC440354	3883788	LOC852894
3883050	LOC440354	3883050	LOC853264
3280787	LOC218886	4018838	LOC853354
3814879	LOC220115	3784041	LOC883382
3538488	LOC220229	3784041	LOC883382
3785187	LOC220584	4040848	LOC853382
3784400	LOC220584	3784400	LOC853382

【 図 6 - 2 4 】

TCID	漢字子 na20	TCID	漢字子 na20	TCID	漢字子 na20
2548274	LOC729862	2872190	LRRC2	2892258	LYVQ5B
3855534	LOC730961	3402984	LRRC3	2941220	LYVQ5C
3855538	LOC729661- MEF2B	3116812	LYRK24	3118213	LYRK
2838557	LOC730031	2704763	LRRC34	2583254	LYV6
3881705	LOC730092	3885468	LRRC38	2383248	LYV
3884548	LOC730092	3787189	LRRC37A	2986889	LYV2
3828803	LOC730110	3187186	LRRC37A2	5038977	LYN
2758802	LOC731626	3787186	LRRC37A3	3787186	LYV4
3717052	LOC731788	3787166	LRRC37A4	2806970	LYPD1
2290518	LOC731986	3787166	LRRC37B	3864238	LYPD6
3721278	LOC732426	3717452	LRRC37B2	2509886	LYPD6B
4031834	LOC732447	2426573	LRRC38	3135567	LYRC
3651509	LOC81691	2417737	LRRC40	2380785	LYPL1
3248966	LOC84969	3712835	LRRC48	3883846	LYRM1
2788900	LOC80828	3800212	LRRC49	2816823	LYRM2
3864764	LOC81316	3370289	LRRC4C	3447883	LYRM6
9388817	LOC88810	3871807	LRRC50	2828135	LYRM7
3847356	LONP1	2383050	LRRC52	2461898	LYST
3858306	LONP2	3358060	LRRC58	3382629	LYVE1
3890470	LONP2	3315807	LRRC58	3421611	LYZ
2867167	LONRF2	3354136	LRRC59	3403881	M8PR
3888838	LONRF3	9186666	LRRC69	3040518	MACCI1
3872848	LDX	2341387	LRRC7	2331213	MACFP1
3302893	LDXL4	2811812	LRRC70	2767881	MAD2L1
3220384	LPAR1	3190778	LRRC8A	2714672	MAEA
3442137	LPAR5	2344880	LRRC8B	3906875	MAFB
2845873	LPAT1	2346429	LRRC8C	3451814	MAFG
3881718	LPAT2	3839403	LRRC9	2709610	MAGEF1
3442427	LPAT3	3105430	LRRC11	3058208	MAGE2
2343823	LPIN2	2834456	LRFP1P1	2352909	MAGI3
2728938	LPIN3	2889184	LRFP1P2	3745525	MAGQ12
3884689	LPL	3424705	LRRIQ1	3444195	MAGQ1B
3744022	LPKN	2411838	LRRIQ3	3150623	MAK16
2789286	LRBA	3814880	LRRIQ3	7326516	MALAT1
3488402	LRCH1	3019158	LRRN3	3780286	MALT1
2889918	LRCH3	3380988	LRTOMT	3174121	MAMDC2
3884831	LRG1	2890012	LSAMP	2788732	MAML3
3523261	LRGLK1	3846851	LSDP5	3894710	MAMLD1
2880591	LRIG1	3131844	LSM1	2811881	MAN1A1
3458120	LRIG3	3131205	LSM12	2353881	MAN1A2
2739289	LRIT3	2746298	LSM6	2328048	MAN1C1
3484508	LRNP	3317071	LSP1	2823661	MAN2A1
3828885	LRP10	3803248	LSR	3868486	MAN2A2
2879111	LRP11	3814880	LSR1	3853347	MANGC1
2879187	LRP11	3528877	LTBAR2	2778867	MANIA
8147885	LRP12	2478510	LTBP1	3684158	MANBAL
2878780	LRP1B	3571844	LTBP2	2877787	MANEA
2888634	LRP2	2872140	LTF	2338048	MANEAL
2796847	LRP2B	3814880	LUC17	3875220	MAD1
3828242	LRP3	3486248	LUC2	3428343	MAD2
3158812	LRRC14	8324182	LUD2P2	3481194	MDM1
2888748	LRRC16A	2624802	LVRN	3421300	MDM2
		3118330	LY9E	2378057	MDM4

【 図 6 - 2 5 】

TCID	漢字子 na20	TCID	漢字子 na20	TCID	漢字子 na20	TCID	漢字子 na20
33989182	MAP2K5	2894350	MDN1	2882820	ME1	3484417	MGAT4C
3733025	MAP2K9	3385307	ME3	2882820	ME1	3385425	MG2148B
2674788	MAP3K2	2843027	MAP3K6	3385307	ME3	4022680	MG615121
2403027	MAP3K6	2830562	MAP3K1P2	2847264	MRD10	3705136	MG616385
2872968	MAP4	2872968	MAP4	2847888	MED12L	2847888	MED12L
2848900	MAP4K3	2872968	MAP4	3786989	MED13	2877893	MG23860
3489727	MAP4K4	2848900	MAP4K3	3277695	MED13L	3828172	MG40069
2330289	MAP7D1	3787186	MAP4K4	3828264	MED29	3311838	MG21042
3864238	MAPK1	2330289	MAP7D1	3112713	MED30	3304012	MGEA5
2778870	MAPK10	3864238	MAPK1	2874188	MED31	3485474	MGP
2904946	MAPK13	2778870	MAPK10	3888847	MED26	3848277	MGRN1
3788097	MAPK14	2904946	MAPK13	3227848	MED27	3408588	MGST1
3788097	MAPK6	3489727	MAPK14	3828264	MED29	4042837	MIA3
3713874	MAPK7	2330289	MAP7D1	3112713	MED30	3320717	MICAL2
3329089	MAPK8P1	3864238	MAPK1	3707890	MED31	3320819	MICALCL
2828135	LYST	2778870	MAPK10	3865638	MEF2B	3889385	MID1
3382629	LYVE1	2904946	MAPK13	2889226	MEF2C	2889226	MINA
3403881	M8PR	3788097	MAPK14	2827288	MEF10	3742351	MINK1
3040518	MACCI1	3788097	MAPK6	3223551	MEF9	3800346	MIOX
2331213	MACFP1	3713874	MAPK7	3784344	MEN1	3486385	MIRHG1
2767881	MAD2L1	2778870	MAPK10	2782186	MARCH1	3815333	MIS2
2714672	MAEA	2904946	MAPK13	2801808	MARCH8	2628785	MITF
3906875	MAFB	3788097	MAPK6	3863880	MARCK3	2383118	MXL1
3451814	MAFG	3227848	MAPK13	3260001	MARVELD1	3891486	MXL1
2709610	MAGEF1	3828264	MAPK14	3784344	MARVELD3	3849052	MXL2
3058208	MAGE2	2778870	MAPK10	2782186	MARCH1	3078178	MXRN1
2352909	MAGI3	2904946	MAPK13	2801808	MARCH8	3828483	MYX
3745525	MAGQ12	3788097	MAPK6	3863880	MARCK3	3434526	MLEC
3444195	MAGQ1B	3227848	MAPK13	3260001	MARVELD1	2849059	MLF1
3150623	MAK16	3828264	MAPK14	3784344	MARVELD3	2796510	MLF1P
7326516	MALAT1	2778870	MAPK10	2782186	MARCH1	2618932	MLH3
3780286	MALT1	2904946	MAPK13	2801808	MARCH8	3872235	MLH3
3174121	MAMDC2	3788097	MAPK6	3863880	MARCK3	2743784	MLL
2788732	MAML3	3227848	MAPK13	3260001	MARVELD1	3847780	MML1
3894710	MAMLD1	3828264	MAPK14	3784344	MARVELD3	3483582	MLL2
2811881	MAN1A1	2778870	MAPK10	2782186	MARCH1	3824829	MLL3
2353881	MAN1A2	2904946	MAPK13	2801808	MARCH8	3817547	MLL5
2328048	MAN1C1	3788097	MAPK6	3863880	MARCK3	3847703	MLL1
2823661	MAN2A1	3227848	MAPK13	3260001	MARVELD1	3828231	MLL10
3868486	MAN2A2	3828264	MAPK14	3784344	MARVELD3	3434526	MLL3
3853347	MANGC1	2778870	MAPK10	2782186	MARCH1	2849059	MLL5
2778867	MANIA	2904946	MAPK13	2801808	MARCH8	3817547	MLL5
3684158	MANBAL	3788097	MAPK6	3863880	MARCK3	3847703	MLL1
2877787	MANEA	3227848	MAPK13	3260001	MARVELD1	3828231	MLL10
2338048	MANEAL	3828264	MAPK14	3784344	MARVELD3	3434526	MLL3
3875220	MAD1	2778870	MAPK10	2782186	MARCH1	3824829	MLL3
3428343	MAD2	2904946	MAPK13	2801808	MARCH8	3817547	MLL5
3481194	MDM1	3788097	MAPK6	3863880	MARCK3	3847703	MLL1
3421300	MDM2	3227848	MAPK13	3260001	MARVELD1	3828231	MLL10
2378057	MDM4	3828264	MAPK14	3784344	MARVELD3	3434526	MLL3
		2778870	MAPK10	2782186	MARCH1	3824829	MLL3
		2904946	MAPK13	2801808	MARCH8	3817547	MLL5
		3788097	MAPK6	3863880	MARCK3	3847703	MLL1
		3227848	MAPK13	3260001	MARVELD1	3828231	MLL10
		3828264	MAPK14	3784344	MARVELD3	3434526	MLL3
		2778870	MAPK10	2782186	MARCH1	3824829	MLL3
		2904946	MAPK13	2801808	MARCH8	3817547	MLL5
		3788097	MAPK6	3863880	MARCK3	3847703	MLL1
		3227848	MAPK13	3260001	MARVELD1	3828231	MLL10
		3828264	MAPK14	3784344	MARVELD3	3434526	MLL3
		2778870	MAPK10	2782186	MARCH1	3824829	MLL3
		2904946	MAPK13	2801808	MARCH8	3817547	MLL5
		3788097	MAPK6	3863880	MARCK3	3847703	MLL1
		3227848	MAPK13	3260001	MARVELD1	3828231	MLL10
		3828264	MAPK14	3784344	MARVELD3	3434526	MLL3
		2778870	MAPK10	2782186	MARCH1	3824829	MLL3
		2904946	MAPK13	2801808	MARCH8	3817547	MLL5
		3788097	MAPK6	3863880	MARCK3	3847703	MLL1
		3227848	MAPK13	3260001	MARVELD1	3828231	MLL10
		3828264	MAPK14	3784344	MARVELD3	3434526	MLL3
		2778870	MAPK10	2782186	MARCH1	3824829	MLL3
		2904946	MAPK13	2801808	MARCH8	3817547	MLL5
		3788097	MAPK6	3863880	MARCK3	3847703	MLL1
		3227848	MAPK13	3260001	MARVELD1	3828231	MLL10
		3828264	MAPK14	3784344	MARVELD3	3434526	MLL3
		2778870	MAPK10	2782186	MARCH1	3824829	MLL3
		2904946	MAPK13	2801808	MARCH8	3817547	MLL5
		3788097	MAPK6	3863880	MARCK3	3847703	MLL1
		3227848	MAPK13	3260001	MARVELD1	3828231	MLL10
		3828264	MAPK14	3784344	MARVELD3	3434526	MLL3
		2778870	MAPK10	2782186	MARCH1	3824829	MLL3
		2904946	MAPK13	2801808	MARCH8	3817547	MLL5
		3788097	MAPK6	3863880	MARCK3	3847703	MLL1
		3227848	MAPK13	3260001	MARVELD1	3828231	MLL10
		3828264	MAPK14	3784344	MARVELD3	3434526	MLL3
		2778870	MAPK10	2782186	MARCH1	3824829	MLL3
		2904946	MAPK13	2801808	MARCH8	3817547	MLL5
		3788097	MAPK6	3863880	MARCK3	3847703	MLL1
		3227848	MAPK13	3260001	MARVELD1	3828231	MLL10
		3828264	MAPK14	3784344	MARVELD3	3434526	MLL3
		2778870	MAPK10	2782186	MARCH1	3824829	MLL3
		2904946	MAPK13	2801808	MARCH8	3817547	MLL5
		3788097	MAPK6	3863880	MARCK3	3847703	MLL1
		3227848	MAPK13	3260001	MARVELD1	3828231	MLL10
		3828264	MAPK14	3784344	MARVELD3	3434526	MLL3
		2778870	MAPK10	2782186	MARCH1	3824829	MLL3
		2904946	MAPK13	2801808	MARCH8	3817547	MLL5
		3788097	MAPK6	3863880	MARCK3	3847703	MLL1
		3227848	MAPK13	3260001	MARVELD1	3828231	MLL10
		3828264	MAPK14	3784344	MARVELD3	3434526	MLL3
		2778870	MAPK10	2782186	MARCH1	3824829	MLL3
		2904946	MAPK13	2801808	MARCH8	3817547	MLL5
		3788097	MAPK6	3863880	MARCK3	3847703	MLL1
		3227848	MAPK13	3260001	MARVELD1	3828231	MLL10
		3828264	MAPK14	3784344	MARVELD3	3434526	MLL3
		2778870	MAPK10	2			

【 図 6 - 2 8 】

Table with 2 columns: TCID and 漢字 na29. Contains 100 entries of alphanumeric codes.

Table with 2 columns: TCID and 漢字 na29. Contains 100 entries of alphanumeric codes.

Table with 2 columns: TCID and 漢字 na29. Contains 100 entries of alphanumeric codes.

【 図 6 - 2 9 】

Table with 2 columns: TCID and 漢字 na29. Contains 100 entries of alphanumeric codes.

Table with 2 columns: TCID and 漢字 na29. Contains 100 entries of alphanumeric codes.

Table with 2 columns: TCID and 漢字 na29. Contains 100 entries of alphanumeric codes.

【 図 6 - 3 0 】

Table with 2 columns: TCID and 漢字 na29. Contains 100 entries of alphanumeric codes.

Table with 2 columns: TCID and 漢字 na29. Contains 100 entries of alphanumeric codes.

Table with 2 columns: TCID and 漢字 na29. Contains 100 entries of alphanumeric codes.

【 図 6 - 3 1 】

Table with 2 columns: TCID and 漢字 na29. Contains 100 entries of alphanumeric codes.

Table with 2 columns: TCID and 漢字 na29. Contains 100 entries of alphanumeric codes.

Table with 2 columns: TCID and 漢字 na29. Contains 100 entries of alphanumeric codes.

【 図 6 - 3 2 】

TCID	漢字子 na29	TCID	漢字子 na29	TCID	漢字子 na29
3333883	PRPF3A	390478	PRTF22	3224002	PTFRG
3342401	PRPF3B	3935502	PRITTE22	3235983	PTFRJ
33221543	PRPF4	2973376	PSMA1	2968050	PTPRK
3414104	PRPF40B	3612861	PSMA7	3777470	PTPRM
3454006	PRPF40B	2356905	PSMB4	2000098	PTPRN
2927738	PRPF4B	2932285	PSMB6	2327871	PTPRU
3413852	PRPH	3717202	PSMC3	3767917	PTRF
3896514	PRPS1	3712893	PSMC3BP	2632801	PTTG1
3896514	PRPS1L1	3833291	PSMC4	2832801	PTTG2
3771811	PRPSAP1	3730641	PSMCE	2404254	PUM1
3839824	PRR12	3315649	PSMD13	2842816	PUM2
3865118	PRR14	2512701	PSM14	2831587	PUR1
2804881	PRR15	2655650	PSMD2	2315730	PUSL1
2804543	PRR16	3300889	PSMD4	3015442	PVRIQ
3648266	PRR6	3832383	PSMD6	3364486	PVRL1
3673892	PRRG1	3722162	PSME3	2888496	PVRL2
2622473	PRRT3	3873389	PSMF1	2835841	PVRL3
2397788	PRRK1	3036409	PSM03	3134822	PXDL
3028786	PRSS1	2346060	PTBP2	2828167	PXK
2898908	PRSS16	3014742	PTCD1	3880767	PYGB
3028786	PRSS2	3215851	PTCH1	3864210	PYGL
3343452	PRSS23	3727787	PTEN	3628440	PYQ01
3028786	PRSS3	3727787	PTENH1	2362351	PYH01
3281703	PRTFDC1	3236786	PTER	3027470	PYROXD2
2356823	PRULNE	3835752	PTGDR	3125755	RA1
3210816	PRUNE2	2383717	PTGFRN	3443464	PZP
3210487	PRUNE2	3220873	PTGR1	2792334	QDPR
4038437	PRY	2448382	PTGS2	2477438	QFC1
4038437	PRY2	3156307	PTK2	3325788	QSER1
3293782	PSAP	2807871	PTK7	2369950	QSOX1
3175071	PSAT1	3406207	PTMA	3638204	QTRT1
3126388	PSD3	3074857	PTMS	3820727	QTRT1
3120191	PSD3	3074857	PTN	3468461	R3HDM2
2611138	PSD4	3830208	PTN13	3694462	RAB11A
3543481	PSEN1	2911903	PTPA41	3131741	RAB11FIP1
3863929	PSG1	2404819	PTPA42	3642875	RAB11FIP3
3863781	PSG1	3118518	PTPA43	3223872	RAB14
3863929	PSG11	3180142	PTPDC1	3868816	RAB16
3863929	PSG2	1889782	PTPLA	3497624	RAB2A
3863781	PSG2	3154881	PTPLA_D2	4002032	RAB2B
3863781	PSG3	2862411	PTPLB	2491267	RAB2B
3863929	PSG4	3328966	PTPMT1	3825271	RAB2TA
3863781	PSG4	3888721	PTPMT1	3788976	RAB2TB
3863929	PSG5	3839969	PTPMT2	3384321	RAB30
3863781	PSG4	3834829	PTPMT3	2820989	RAB32
3863929	PSG6	2455418	PTPMT4	3751002	RAB3A
3863781	PSG6	2856526	PTPMT6	2810366	RAB3C
3863929	PSG7	2428796	PTPMT2	2458449	RAB3GAP2
3863781	PSG7	2621333	PTPMT3	3421708	RAB3IP
3863929	PSG8	3830215	PTPMT3	2850719	RAB3IP
3863781	PSG8	3874023	PTPRA	2841283	RAB7A
3863929	PSG9	2378442	PTPRC	3707842	RABEP1
3863781	PSG9	3871020	PTPRE	3886750	RABEP2
3861282	PSIMCT-1	2333318	PTPRF	3188299	RABGAP1

【 図 6 - 3 3 】

TCID	漢字子 na29	TCID	漢字子 na29	TCID	漢字子 na29
3367883	RABAP1L	3290957	RAET1G	3369931	RA32
2342624	RABCGTB	2879187	RAET1G	2830957	RAET1L
2968050	RAC1	2879187	RAET1L	2879187	RAET1L
3451880	RACGAP1	2863244	RAF1	2863244	RAF1
3454223	RACGAP1	3327143	RAG1	3327143	RAG1
3451880	RACGAP1P	2380700	RAG1AP1	2380700	RAG1AP1
3451880	RACGAP1P	3680234	RAGE	3680234	RAGE
2852888	RAD1	3712575	RAI1	3712575	RAI1
2862200	RAD1B	4001223	RAI2	4001223	RAI2
3183737	RAD23B	2503200	RALB	2503200	RALB
2828584	RAD2S	3228523	RALGDS	3228523	RALGDS
3860036	RAD51	3105271	RALYL	3105271	RALYL
3728778	RAD51C	3438027	RAN	3438027	RAN
3438936	RAD52	2498158	RANBP2	2498158	RANBP2
3038476	RADIL	3847538	RANBP3	3847538	RANBP3
2830957	RAET1G	2853428	RANBP3L	2853428	RANBP3L
2879187	RAET1G	2842304	RANBP9	2842304	RANBP9
2830957	RAET1L	2351822	RAP1A	2351822	RAP1A
2879187	RAET1L	2863244	RAP1A	2863244	RAP1A
2863244	RAF1	2400685	rap1GAP	2400685	rap1GAP
3327143	RAG1	2738863	RAP1GDS1	2738863	RAP1GDS1
2380700	RAG1AP1	3359486	RAN1	3359486	RAN1
3680234	RAGE	3334603	RCN1	3334603	RCN1
3712575	RAI1	3802723	RCN2	3802723	RCN2
4001223	RAI2	2378584	RCOR3	2378584	RCOR3
2503200	RALB	3103263	RDH10	3103263	RDH10
3228523	RALGDS	3418921	RDH6	3418921	RDH6
3105271	RALYL	2895580	RDH1	2895580	RDH1
3438027	RAN	3380542	RDX	3380542	RDX
2498158	RANBP2	3158787	RECQL4	3158787	RECQL4
3847538	RANBP3	2871176	REEP6	2871176	REEP6
2853428	RANBP3L	2460824	REG1P	2460824	REG1P
2842304	RANBP9	2484358	REL1	2484358	REL1
2351822	RAP1A	2789888	REL1.1	2789888	REL1.1
2863244	RAP1A	3065140	RELN	3065140	RELN
2400685	rap1GAP	3870214	REPS2	3870214	REPS2
2738863	RAP1GDS1				
3359486	RAN1				
3334603	RCN1				
3802723	RCN2				
2378584	RCOR3				
3103263	RDH10				
3418921	RDH6				
2895580	RDH1				
3380542	RDX				
3158787	RECQL4				
2871176	REEP6				
2460824	REG1P				
2484358	REL1				
2789888	REL1.1				
3065140	RELN				
3870214	REPS2				

【 図 6 - 3 4 】

TCID	漢字子 na29	TCID	漢字子 na29	TCID	漢字子 na29
3355675	RNASE1	3045407	RP9	2319340	RPL8P11
3327897	RNASE4	3044938	RP9	3257559	RPP30
3327892	RNASE5	3044938	RP9	3804143	RPRD1A
2851985	RNASEN	3044938	RP9P	2358221	RPRD2
2864884	RNASET2	2248738	RPA2P	3800470	RPS16A
3453346	RND1	2897273	RPE	2898717	RPS16
2580802	RND3	2625852	RPE	2898717	RPS18P12
3434413	RNF10	4004878	RPRCR	2898717	RPS18P5
3130850	RNF122	3237486	RPL10	3834485	RPS19
2847458	RNF13	2331178	RPL10	3861263	RPS19BP1
3069383	RNF13	2804883	RPL10A	2331079	RPS2
2867204	RNF138	3874148	RPL13	3383048	RPS20P27
2867204	RNF138P1	2818640	RPL14	3892860	RP821
2468376	RNF144A	3384159	RPL17	2890071	RP826
2867172	RNF144B	3838215	RPL17	2850719	RPS28P93
2864218	RNF146	3867223	RPL19	2850071	RPS28P8
2824686	RNF146	3308936	RPL21	2330723	RP827
3827849	RNF160	3308936	RPL21P119	2831778	RP826
3133479	RNF170	3308936	RPL21P134	2328561	RPS8KA1
2793324	RNF176	3308936	RPL21P144	2844665	RPS8KA2
3221571	RNF183	3308936	RPL21P16	4067173	RPS8KA3
3140658	RNF18A	3308936	RPL21P19	2678294	RPS8KA5
3038885	RNF216	3038936	RPL21P28	4014028	RPS8KA6
2988489	RNF216L	3038936	RPL21P29	3480487	RPSAP52
3038985	RNF216L	3038936	RPL21P37	2852387	RPU8D3
2824253	RNF217	3308936	RPL21P38	2844231	RRAD
3896785	RNF24	2789812	RPL21P44	3887886	RRAS
3205162	RNF36	3038936	RPL21P46	3383868	RRAS2
2715440	RNF4	3038936	RPL21P46	3880173	RRBP1
2863829	RNGT1	3309638	RPL21P61	3318006	RRM1
3386049	RNH1	2888746	RPL21P68	2489252	RRM2
2872829	RNH13P3	3038936	RPL21P88	3881705	RRN3
3403077	RNU7	3308936	RPL21P7	3884782	RRN3
2863783	ROB01	3038936	RPL21P80	3364548	RRN3
3364283	ROB03	3038936	RPL21P93	3862489	RRP7A
3220877	ROD1	3309638	RPL21P87	3847434	RRP7A
2864283	ROPN1	3038936	RPL21P98	381480	RRP7A
2862840	ROPN1	3038476	RPL22	3862489	RRP7B
2848283	ROPN1B	3726680	RPL23A	3847434	RRP7B
2862840	ROPN1B	2380618	RPL23AP7	3847434	RRP7B
2338672	ROST	2380618	RPL23AP8	2876783	RRP8
3887422	ROSA	3174121	RPL24	2428780	RSPM1
2438261	RORC	3842141	RPL28	2883316	RSPH10B2
2721959	ROS1	2804963	RPL3	2883316	RSPH10B2
2871378	ROS1	2804706	RPL32	3037100	RSPH10B
3038670	RPI	2804706	RPL32P3	2883316	RSPH10B
2867274	RP11-267K9.7	2827196	RPL37A	3837100	RSPH10B2
3874654	RP11-831M2.1.2	2331149	RPL37AP8	2883316	RSPH10B2
3514879	RP11-84P12.3	2708806	RPL38L	2824661	RSP03
2432851	RP11-84P2.2	2886306	RPL38P6	3882812	RSPRY1
231486	RP11-210L8.1	3862987	RPL6	3279376	RSU1
3875890	RP2	2812317	RPL6	2348854	RTCD1
3896370	RPS-1022P6.2	3767740	RPL8	2800718	RTN1
		3558870	RPL9	3867059	RTN1

【 図 6 - 3 5 】

TCID	漢字子 na29	TCID	漢字子 na29	TCID	漢字子 na29
3303890	SCAPER	2827650	RTN4P1	3303890	SCAPER
3067476	SCAA3	2857025	RTP4	3067476	SCAA3
3178176	SCAA5	2730354	RUF3	3178176	SCAA5
2774048	SCARB2	3030380	RUX1X1	2774048	SCARB2
3402671	SCARNA10	3144346	RUX1T1	3402671	SCARNA10
3442064	SCARNA11	2808782	RUX2	3442064	SCARNA11
2716076	SCARNA22	2401884	RUX3	2716076	SCARNA22
3872283	SCARNA23	3828540	RVD2B	3872283	SCARNA23
2337793	SCARNA4	2749484	RXF1	2337793	SCARNA4
2703217	SCARNA7	3484393	RXF2	2703217	SCARNA7
2389789	SCDPH	2860839	RXFP3	2389789	SCDPH
3280688	SCD	2442008	RXR4G	3280688	SCD
3484829	SCD2	3832487	RXV1	3484829	SCD2
2878182	SCD2	2381728	RVR2	2878182	SCD2
2801230	SCG1	4045878	S100A1	2801230	SCG1
3864003	SCG3	2438383	S100A10	3864003	SCG3
3887486	SCG5	2435410	S100A11	3887486	SCG5
2868934	SCGN	2435861	S100A12	2868934	SCGN
3868789	SCHP1	4045878	S100A13	3868789	SCHP1
2852404	SCIN	4045865	S100A14	2852404	SCIN
2785282	SC1T1	4045843	S100A16	2785282	SC1T1
2688400					

【 図 6 - 3 6 】

TCID	遺伝子 na29
2601414	SERPINE2
3331355	SERPIN1
2651185	SERPIN1
3367296	SESN3
2688929	SESTD1
2972632	SETD2
3367626	SETD2
3630781	SETD4
2626906	SETD5
3488418	SETDB2
3228007	SETX
3687277	SETX2
3687281	SF3B3
3642998	SF1
2676818	SFMBT1
2326774	SFN
5132782	SFRP1
3686691	SFRS17A
3771800	SFRS2
2403740	SFRS4
3747324	SFRS6
3886050	SFRS9
2546970	SFRS7
2365156	SFT2D2
2646893	SF1A2
2562435	SFTPB
2842101	SFXN1
3260695	SFXN3
2769581	SGCB
2637029	SGCD
3061805	SGCE
2848536	SGEF
2340695	SGIP1
2676014	SGK1
3069545	SGK1B
3101802	SGK3
3101795	SGK3
3260235	SGMS1
2736694	SGMS2
3260263	SGP1
3568108	SGP1
2628421	SGPP2
3431892	SH2B3
3066213	SH2B4
3971442	SH3BP1
3226804	SH3GL2
3717452	SH3GLP1
3304970	SH3PXD2A
2667164	SH3PXD2B
2783137	SH3RF1
2639224	SH3RF2
3306365	SHANK2
3156114	SHARPIN
3205659	SHB

TCID	遺伝子 na29
3708916	SHBG
3373845	SHC1
3213847	SHC3
2374626	SHISA4
2603270	SHISA5
3471807	SHMT2
2689446	SHPRH
2852568	SHD1
3666303	SHROOM2
3354174	SH2A
2636483	SHD1T1
3639619	SIGLEC12
3889207	SIGLEC3
3630919	SIGLEC7
3839910	SIGLEC9
3934111	SIK1
2577639	SIL1
3437336	SILV
3422847	SIPA1L1
2408017	SIPA1L2
3884727	SIRP1
3593472	SIRP1
3246667	SIRT1
3357705	SIRT3
3434308	SIRT4
2865860	SIRT5
3042810	SIRP2
2651989	SKIL
2672854	SKIV2L
3164263	SLA
2440327	SLAMF1
3627286	SLC10A1
3142466	SLC10A5
2786511	SLC10A7
3454376	SLC11A2
2627325	SLC12A2
3624238	SLC12A4
3698036	SLC12A4
3871312	SLC12A6
2638126	SLC15A2
3477917	SLC15A4
2621402	SLC18A10
3871859	SLC18A2
2427489	SLC18A4
3734648	SLC18A5
3718412	SLC18A9
3260746	SLC18A9
2660955	SLC17A6
3667842	SLC17A7
3126694	SLC18A1
3306369	SLC18A1
3306365	SLC1A1
2485636	SLC1A4
2600919	SLC20A1

TCID	遺伝子 na29
2628479	SLC22A4
3373845	SLC22A9
2677861	SLC25A1
3622834	SLC24A5
3593014	SLC24A5
3952543	SLC25A1
2689446	SLC25A12
3082176	SLC25A13
3488728	SLC25A15
2609197	SLC25A27
2319340	SLC26A33
2645275	SLC25A36
3030005	SLC25A37
3377589	SLC25A45
3898730	SLC25A6
2758831	SLC28A1
3418384	SLC28A10
2683300	SLC28A2
3018605	SLC28A4
3109659	SLC28A7
2482754	SLC28A9
3593675	SLC27A2
2399686	SLC27A3
3672945	SLC27A5
2827645	SLC27A6
3212420	SLC28A3
2688694	SLC28A4
2409104	SLC2A1
2974935	SLC2A12
3450589	SLC2A13
4062021	SLC2A9
3622438	SLC30A4
2478116	SLC30A8
2349043	SLC30A7
3232315	SLC30A9
2701927	SLC33A1
2721959	SLC34A2
4007588	SLC36A2
2656061	SLC36B2
2640687	SLC36B3
3074038	SLC36B4
3239016	SLC36C1
3302056	SLC36D2
3389976	SLC36F2
2384687	SLC39F3
3076763	SLC37A3
3519840	SLC38A4
3789776	SLC39A11
3168951	SLC39A4
3894196	SLC39A6
3901160	SLC39A9
3333711	SLC3A2
2691837	SLC40A1
2482081	SLC41A1

【 図 6 - 3 7 】

TCID	遺伝子 na29
3489180	SLC41A2
3373845	SLC42A3
3183111	SLC44A1
3178570	SLC44A5
3713961	SLC47A1
2612790	SLC4A10
3895330	SLC4A11
2730746	SLC4A4
2659949	SLC4A5
2631694	SLC4A9
3919033	SLC6A3
3467949	SLC6A8
3688976	SLC6A10P
3436610	SLC6A12
3439549	SLC6A13
3898185	SLC6A14
3484276	SLC6A16
3687734	SLC6A18
2769030	SLC6A19
2611949	SLC6A8
3666978	SLC6A8
2738322	SLC7A11
3047699	SLC7A2
3686149	SLC7A6
3691146	SLC7A6OS
3567208	SLC7A6
2497252	SLC9A2
3966641	SLC9A5
2688146	SLC9A9
3966641	SLC9A7
2688113	SLC9A7
2689096	SLC9C1
3138580	SLC9A1
2888124	SLC9A1
3753566	SLFN11
3753566	SLFN11
3753566	SLFN12
3753566	SLFN12L
3753566	SLFN13
3753566	SLFN13
3753566	SLFN15
3302157	SLT11
3302156	SLT11
2720584	SLT2
4024985	SLTRK4
3495998	SLTRK3
3519840	SLTRK3
2625793	SLMAP1
3778612	SLMO1
3911814	SLMO2
3901160	SLM1
3783822	SLM4D4
3788270	SLM4D4
3986942	SLM4D9

TCID	遺伝子 na29
3454821	SMAOP
3189948	SMARCA2
3626911	SMARCA4
2745648	SMARCA5
3457465	SMARCC2
3863754	SMC1B
3895330	SMC4A11
3778193	SMCHD1
2653011	SMUR2
3683050	SMG1
2439042	SMG5
2371225	SMG7
2960896	SMN1
2814414	SMN1
2880398	SMN2
2814424	SMN2
2637144	SMOC2
3689317	SMPOD3
2975887	SMPO4
2733004	SMR3A
2730390	SMR3A
2730404	SMR3B
2937396	SMR3B
3971387	SMS
3203382	SMU1
3014411	SMURF1
3768960	SMURF2
2484909	SMYD3
3740704	SMYD4
5079245	SNAP25
2682676	SNAP25
3163136	SNAPC1
3138580	SNAPC1
3022465	SNAP1
2607020	SNED1
3753566	SNED1
3753566	SNIP
2407163	SNIP1
3389814	SNORA1
3230332	SNORA17
3389814	SNORA18
3389814	SNORA19
3389814	SNORA23
3389814	SNORA25
3653807	SNORA28
3465177	SNORA2A
3389814	SNORA2
3465177	SNORA3A
2456849	SNORA3B
2659150	SNORA3C
3689800	SNORA57
3689814	SNOD4
2437753	SNORA42
3230332	SNORA43

TCID	遺伝子 na29
3683673	SNORA48
3683673	SNORA50
3366468	SNORA54
3713961	SNORA59A
3713961	SNORA59B
2641264	SNORAT46
3182781	SMC2
3389814	SNORAB
2494254	SNORD103A
2609038	SNORD117
3861651	SNORD41
2342624	SNORD45A
2342624	SNORD49C
2444451	SNORD7
3712098	SNORD4A
3686814	SNORD5
3542847	SNORD58B
3369614	SNORD6
3931719	SNORD67
2444451	SNORD74
2444451	SNORD78
2444451	SNORD78
2444451	SNORD78
2444451	SNORD80
2444451	SNORD84
4017681	SNORD96B
2619686	SNRK
3768960	SNRNP200
4052378	SNRNP35
3842182	SNRPA17
3603052	SNTA1
3689801	SNTB2
3687667	SNTX1
3726083	SNTX1
3040073	SND1
2963313	SNX14
3726083	SNX14
3142554	SNX18
3389814	SNX19
3389814	SNX22
3629994	SNX22
3389814	SNX24
3389814	SNX26
3389814	SNX26
3630684	SNX26
2356036	SNX27
2348437	SNX7
3269567	SOAT1
3726083	SOAT2
2721633	SOD3
3301263	SORBS1
2796866	SORBS2
2797202	SORBS2
3689106	SOPD
3352848	SORL1
3230332	SNORA43

【 図 6 - 3 8 】

TCID	遺伝子 na29
3690302	SOX10
2997899	SOX4
3447348	SOX5
3364309	SOX6
2603651	SP110
2631310	SP140
2631310	SP140L
2967820	SPC
2657520	SPFP
2430422	SPAG17
3742415	SPAG7
2882088	SPARC
2777113	SPARCL1
2426497	SPATA1
3481643	SPATA13
2880440	SPATA17
2728910	SPATA18
3690936	SPATA2
2742134	SPATA5
2667768	SPATA9
3413950	SPATS2
2522064	SPATS2L
2889833	SPC25
3591261	SPC25
2763860	SPC33
2422103	SPEN
3621948	SPG11
2834503	SPINK5
3907320	SPNLW1
3907335	SPNLW1
3389184	SPINT1
3796481	SPIRE1
2404786	SPOCD1
2876897	SPOCK1
2736027	BP1
3623865	SPPL2A
3623472	SPPL2A
3689141	SPRED1
2656752	SPRED2
2742224	SPRY1
3513329	SPRY2
2319252	SPSB1
3190568	SPS1A1
2482605	SPS1B1
3673162	SPS1C2
3976996	SPS1C3
3114632	SPLC3
3692251	SQD1
2680230	SQSTM1
2844479	SQSTM1
2651327	SRRD1
3684191	SRC
3067088	SRCR4D
2807730	SRP

TCID	遺伝子 na29
3000300	SR
3677969	SRL
3447348	SRR14
3771297	SRRP8
2392781	SRRP9
2651674	SRRPK1
3096297	SRRPK2
3740686	SRRP1
3712098	SRRP3
3802129	SR18
2819323	SR18L2
3027915	SSBP1
2664848	SSBP2
2411986	SSBP3
2516422	SSFA2
3408831	SSPN
2940661	SSR1
2709760	SSY
2391947	SSU72
3676559	SSX1
3876559	SSX4
4007415	SSX4
3979599	SSX4B
4007415	SSX4B
3976559	SSX5
4007415	SSX5
3876559	SSX7
4007415	SSX7
3876559	SSX8
2669146	ST13
3359175	ST14
3135046	ST18
3635198	ST20
2562820	ST3GAL5
2653226	ST3GAL6
3361871	ST6
2666837	STRGAL1
3771712	STRGALNAC1
3771676	STRGALNAC2
2542904	STRGALNAC5
3020498	STT1
3020498	STT1OT3
2688904	STSSIA4
3429159	STAB2
2818904	STAC
2696802	STAG1
3467343	STAG2
3015339	STAG3L1
3066705	STAG3L1
3015339	STAG3L2
3069709	STAG3L2
3844989	STAG3L3
3066705	STAG3L3
3237068	STAM

TCID	遺伝子 na29
3257031	STAMBPL1
3094447	STAR
3569865	STAR2B13
2670828	STAR2B
2666143	STAR2D

【 図 6 - 4 4 】

TCID	遺伝子_nm29	TCID	遺伝子_nm29	TCID	遺伝子_nm29
2824483	YTHDC2	3872953	ZMZ2	3746220	ZNF330
2327130	YTHDF2	3018147	ZKSCAN1	3169013	ZNF34
3886839	YWHA8	2708781	ZMAA3	2842880	ZNF346
3843207	YWHAH	3126218	ZMAA4	3870135	ZNF347
2539968	YWHAQ	3480128	ZMYM2	3818842	ZNF358
2437677	YY1AP1	4011869	ZMYM3	2862019	ZNF360
2437845	YY1AP1	2329752	ZMYM4	3831476	ZNF362
3871329	YY2	2408529	ZMYND12	3128381	ZNF365
3813804	ZADH2	3808149	ZMYND8	3809882	ZNF397
2704082	ZBBX	3053380	ZNF117	3803682	ZNF397OS
2888489	ZBED2	3849649	ZNF121	3783888	ZNF407
3348719	ZBTB18	2485581	ZNF124	3872335	ZNF416
3886289	ZBTB33	2903290	ZNF131	3843279	ZNF419
3458218	ZBTB39	3872828	ZNF132	3829696	ZNF428
3188580	ZBTB43	3843742	ZNF135	3868720	ZNF43
3388241	ZBTB44	3855885	ZNF14	3828306	ZNF43
2871217	ZC3H8	3319898	ZNF143	3877892	ZNF434
2412834	ZCCHC11	3835318	ZNF155	3283813	ZNF438
3888586	ZCCHC12	3878240	ZNF157	3851484	ZNF443
3703685	ZCCHC14	2800198	ZNF165	3861882	ZNF449
3887807	ZCCHC16	3818888	ZNF177	3078774	ZNF467
3791341	ZCCHC2	3829887	ZNF181	3842839	ZNF470
3886881	ZCCHC24	2804429	ZNF187	3244856	ZNF487
2721830	ZCCHC4	2900372	ZNF189	3828893	ZNF482
2818079	ZCCHC9	3389781	ZNF196	3218476	ZNF510
3083988	ZCWPW1	2820180	ZNF197	2474851	ZNF512
3322858	ZDHHC13	3717835	ZNF207	3840785	ZNF526
2833173	ZDHHC14	3886846	ZNF208	3843389	ZNF530
3804881	ZDHHC20	3888720	ZNF208	3388849	ZNF541
3188431	ZDHHC21	3910280	ZNF217	3843848	ZNF544
3831438	ZDHHC5	3244839	ZNF22	3843188	ZNF647
3307120	ZDHHC8	3835318	ZNF221	3843214	ZNF548
4021341	ZDHHC9	3836418	ZNF223	3872441	ZNF652
3841810	ZEB1	3838496	ZNF226	3818888	ZNF559
2878872	ZEB2	3835585	ZNF233	3848787	ZNF581
2828308	ZFAND2B	3835487	ZNF234	3848787	ZNF582
2805884	ZFAND3	3288614	ZNF25	3848549	ZNF682
3482094	ZFCSH1	3828041	ZNF263	3888824	ZNF589
3791016	ZFP161	3872880	ZNF269	3114850	ZNF572
3842794	ZFP29	3828893	ZNF287	3843888	ZNF592
3880854	ZFP50	3382871	ZNF290	3844215	ZNF580
3588764	ZFP96L1	3887387	ZNF297	3842301	ZNF581
3331730	ZFP91	3004788	ZNF273	3871903	ZNF582
3331730	ZFP91-CONTF	3018401	ZNF277	2390979	ZNF589
3110788	ZFP92	3828893	ZNF287	3210330	ZNF606
3871823	ZFX	3828893	ZNF280D	3889714	ZNF600
3871823	ZFY	3833380	ZNF285	3872804	ZNF606
2817731	ZFYVE16	3083846	ZNF3	3888714	ZNF611
3818850	ZFYVE19	2881807	ZNF300	3747384	ZNF624
3580128	ZFYVE19	3828893	ZNF302	3828893	ZNF626
3833847	ZFYVE21	3888714	ZNF320	3888078	ZNF628
3280018	ZFYVE27	2848800	ZNF322A	2331903	ZNF643
2787786	ZFYVE28	2848800	ZNF322B	2422817	ZNF644
3806082	ZFX3	2847248	ZNF323	3781737	ZNF652

【 図 6 - 4 5 】

TCID	遺伝子_nm29	TCID	遺伝子_nm29
3014808	ZNF666	3280210	ZWINT
3208317	ZNF668	2338339	ZYG11A
3208317	ZNF668B	3741875	ZZEF1
3828308	ZNF688		
2818521	ZNF692		
3871835	ZNF697		
2485483	ZNF670		
3857171	ZNF675		
3868720	ZNF678		
2402881	ZNF683		
3887910	ZNF688		
2485483	ZNF686		
3848848	ZNF688		
3857387	ZNF720		
3857318	ZNF720		
2786308	ZNF721		
3889720	ZNF728		
3078888	ZNF748		
3843275	ZNF749		
4023308	ZNF750		
3840785	ZNF781		
3840785	ZNF785		
3078888	ZNF787		
3872274	ZNF772		
3888889	ZNF781		
3030888	ZNF783		
3014808	ZNF789		
3851484	ZNF798		
3833308	ZNF8		
2518889	ZNF804A		
3011876	ZNF804B		
3872441	ZNF814		
3718382	ZNF830		
3871835	ZNF835		
3888381	ZNF843		
3840785	ZNF845		
3848849	ZNF846		
3828308	ZNF85		
3888079	ZNF90		
3828893	ZNF92		
3828079	ZNF93		
3828683	ZNF96		
3888720	ZNF99		
3828683	ZNF99		
3811876	ZNF118		
3888834	ZNRF1		
2888078	ZNRF2		
3067785	ZP3		
3067888	ZP3		
2482888	ZP4		
3088170	ZPBP		
2877700	ZRANB3		
2808289	ZSCAN1B		
3381788	ZW10		

【 図 7 - 1 】

CELファイル	亜型病態	単純化病態
151276HUEX1A11.CEL	FA	B
151279HUEX1A11.CEL	FA	B
151326HUEX1A11.CEL	FA	B
151329HUEX1A11.CEL	FA	B
151345HUEX1A11.CEL	FA	B
151356HUEX1A11.CEL	FA	B
151359HUEX1A11.CEL	FA	B
151361HUEX1A11.CEL	FA	B
151364HUEX1A11.CEL	FA	B
151793HUEX1A11.CEL	FA	B
151794HUEX1A11.CEL	FA	B
151795HUEX1A11.CEL	FA	B
151797HUEX1A11.CEL	FA	B
151798HUEX1A11.CEL	FA	B
151799HUEX1A11.CEL	FA	B
151800HUEX1A11.CEL	FA	B
151801HUEX1A11.CEL	FA	B
151802HUEX1A11.CEL	FA	B
151803HUEX1A11.CEL	FA	B
151804HUEX1A11.CEL	FA	B
151805HUEX1A11.CEL	FA	B
151806HUEX1A11.CEL	FA	B
151285HUEX1A11.CEL	LCT	B
151291HUEX1A11.CEL	LCT	B
151294HUEX1A11.CEL	LCT	B
151295HUEX1A11.CEL	LCT	B
151305HUEX1A11.CEL	LCT	B
151309HUEX1A11.CEL	LCT	B
151316HUEX1A11.CEL	LCT	B
151336HUEX1A11.CEL	LCT	B
151338HUEX1A11.CEL	LCT	B
151373HUEX1A11.CEL	LCT	B
151860HUEX1A11.CEL	LCT	B

【 図 7 - 2 】

CELファイル	単純化病態	
151862HUEX1A11.CEL	LCT	B
151863HUEX1A11.CEL	LCT	B
151864HUEX1A11.CEL	LCT	B
151865HUEX1A11.CEL	LCT	B
151868HUEX1A11.CEL	LCT	B
151871HUEX1A11.CEL	LCT	B
151872HUEX1A11.CEL	LCT	B
151876HUEX1A11.CEL	LCT	B
151881HUEX1A21.CEL	LCT	B
151883HUEX1A11.CEL	LCT	B
151890HUEX1A11.CEL	LCT	B
151895HUEX1A11.CEL	LCT	B
151896HUEX1A11.CEL	LCT	B
151897HUEX1A11.CEL	LCT	B
151899HUEX1A11.CEL	LCT	B
151902HUEX1A11.CEL	LCT	B
151908HUEX1A11.CEL	LCT	B
151909HUEX1A11.CEL	LCT	B
151911HUEX1A11.CEL	LCT	B
151912HUEX1A11.CEL	LCT	B
151913HUEX1A11.CEL	LCT	B
151914HUEX1A11.CEL	LCT	B
151915HUEX1A11.CEL	LCT	B
151916HUEX1A11.CEL	LCT	B
151918HUEX1A11.CEL	LCT	B
151919HUEX1A11.CEL	LCT	B
151920HUEX1A11.CEL	LCT	B
151923HUEX1A11.CEL	LCT	B
151275HUEX1A11.CEL	NHP	B
151283HUEX1A11.CEL	NHP	B
151284HUEX1A11.CEL	NHP	B
151289HUEX1A11.CEL	NHP	B
151293HUEX1A11.CEL	NHP	B
151306HUEX1A11.CEL	NHP	B

【 図 7 - 3 】

151308HUEX1A11.CEL	NHP	B
151315HUEX1A11.CEL	NHP	B
151325HUEX1A11.CEL	NHP	B
151330HUEX1A11.CEL	NHP	B
151380HUEX1A11.CEL	NHP	B
151751HUEX1A11.CEL	NHP	B
151752HUEX1A11.CEL	NHP	B
151753HUEX1A11.CEL	NHP	B
151754HUEX1A11.CEL	NHP	B
151757HUEX1A11.CEL	NHP	B
151759HUEX1A11.CEL	NHP	B
151760HUEX1A11.CEL	NHP	B
151762HUEX1A11.CEL	NHP	B
151763HUEX1A11.CEL	NHP	B
151779HUEX1A11.CEL	NHP	B
151787HUEX1A11.CEL	NHP	B
151788HUEX1A11.CEL	NHP	B
151875HUEX1A11.CEL	NHP	B
151340HUEX1A11.CEL	ATC	M
151354HUEX1A11.CEL	ATC	M
151879HUEX1A11.CEL	ATC	M
151886HUEX1A11.CEL	ATC	M
151887HUEX1A11.CEL	ATC	M
151278HUEX1A11.CEL	FC	M
151281HUEX1A11.CEL	FC	M
151317HUEX1A11.CEL	FC	M
151323HUEX1A11.CEL	FC	M
151334HUEX1A11.CEL	FC	M
151362HUEX1A11.CEL	FC	M
151365HUEX1A11.CEL	FC	M
151840HUEX1A21.CEL	FC	M
151842HUEX1A11.CEL	FC	M
151843HUEX1A11.CEL	FC	M
151844HUEX1A11.CEL	FC	M

【 図 7 - 4 】

151846HUEX1A11.CEL	FC	M
151847HUEX1A11.CEL	FC	M
151848HUEX1A11.CEL	FC	M
151849HUEX1A11.CEL	FC	M
151851HUEX1A11.CEL	FC	M
151852HUEX1A11.CEL	FC	M
151857HUEX1A11.CEL	FC	M
151859HUEX1A11.CEL	FC	M
151321HUEX1A11.CEL	FVPTC	M
151339HUEX1A11.CEL	FVPTC	M
151341HUEX1A11.CEL	FVPTC	M
151347HUEX1A11.CEL	FVPTC	M
151348HUEX1A11.CEL	FVPTC	M
151358HUEX1A11.CEL	FVPTC	M
151363HUEX1A11.CEL	FVPTC	M
151367HUEX1A11.CEL	FVPTC	M
151368HUEX1A11.CEL	FVPTC	M
151819HUEX1A11.CEL	FVPTC	M
151820HUEX1A11.CEL	FVPTC	M
151824HUEX1A11.CEL	FVPTC	M
151825HUEX1A11.CEL	FVPTC	M
151828HUEX1A11.CEL	FVPTC	M
151829HUEX1A11.CEL	FVPTC	M
151831HUEX1A11.CEL	FVPTC	M
151832HUEX1A11.CEL	FVPTC	M
151834HUEX1A11.CEL	FVPTC	M
151836HUEX1A11.CEL	FVPTC	M
151850HUEX1A11.CEL	FVPTC	M
151856HUEX1A11.CEL	FVPTC	M
151277HUEX1A11.CEL	HC	M
151318HUEX1A11.CEL	HC	M
151352HUEX1A11.CEL	HC	M
151375HUEX1A11.CEL	HC	M
151780HUEX1A11.CEL	HC	M

【 図 7 - 5 】

151781HUEX1A11.CEL	HC	M
151782HUEX1A11.CEL	HC	M
151783HUEX1A11.CEL	HC	M
151784HUEX1A11.CEL	HC	M
151785HUEX1A11.CEL	HC	M
151786HUEX1A11.CEL	HC	M
151789HUEX1A11.CEL	HC	M
151791HUEX1A11.CEL	HC	M
151792HUEX1A11.CEL	HC	M
151808HUEX1A11.CEL	HC	M
151809HUEX1A11.CEL	HC	M
151810HUEX1A11.CEL	HC	M
151811HUEX1A11.CEL	HC	M
151812HUEX1A11.CEL	HC	M
151813HUEX1A11.CEL	HC	M
151814HUEX1A11.CEL	HC	M
151861HUEX1A21.CEL	HC	M
151877HUEX1A11.CEL	HC	M
151901HUEX1A11.CEL	HC	M
151906HUEX1A11.CEL	HC	M
151917HUEX1A11.CEL	HC	M
151921HUEX1A11.CEL	HC	M
151300HUEX1A11.CEL	MTC	M
151304HUEX1A11.CEL	MTC	M
151376HUEX1A11.CEL	MTC	M
151773HUEX1A11.CEL	MTC	M
151774HUEX1A11.CEL	MTC	M
151775HUEX1A11.CEL	MTC	M
151776HUEX1A11.CEL	MTC	M
151777HUEX1A11.CEL	MTC	M
151869HUEX1A11.CEL	MTC	M
151874HUEX1A11.CEL	MTC	M
151878HUEX1A11.CEL	MTC	M
151880HUEX1A12.CEL	MTC	M

【 図 7 - 6 】

151882HUEX1A11.CEL	MTC	M
151884HUEX1A11.CEL	MTC	M
151888HUEX1A11.CEL	MTC	M
151889HUEX1A11.CEL	MTC	M
151891HUEX1A11.CEL	MTC	M
151892HUEX1A11.CEL	MTC	M
151893HUEX1A11.CEL	MTC	M
151898HUEX1A11.CEL	MTC	M
151903HUEX1A11.CEL	MTC	M
151905HUEX1A11.CEL	MTC	M
151286HUEX1A11.CEL	PTC	M
151288HUEX1A11.CEL	PTC	M
151297HUEX1A11.CEL	PTC	M
151319HUEX1A11.CEL	PTC	M
151320HUEX1A11.CEL	PTC	M
151324HUEX1A11.CEL	PTC	M
151344HUEX1A11.CEL	PTC	M
151346HUEX1A11.CEL	PTC	M
151350HUEX1A11.CEL	PTC	M
151353HUEX1A11.CEL	PTC	M
151379HUEX1A11.CEL	PTC	M
151382HUEX1A12.CEL	PTC	M
151384HUEX1A11.CEL	PTC	M
151816HUEX1A11.CEL	PTC	M
151817HUEX1A11.CEL	PTC	M
151818HUEX1A11.CEL	PTC	M
151821HUEX1A11.CEL	PTC	M
151826HUEX1A11.CEL	PTC	M
151827HUEX1A11.CEL	PTC	M
151833HUEX1A11.CEL	PTC	M
151835HUEX1A11.CEL	PTC	M
151838HUEX1A11.CEL	PTC	M
151839HUEX1A11.CEL	PTC	M
151841HUEX1A11.CEL	PTC	M

【 図 7 - 7 】

151866HUEX1A21.CEL	PTC	M
151894HUEX1A11.CEL	PTC	M

【 図 8 - 1 】

GELファイル名	垂型病態	単純化病態
F0012001	B	B
F0012002	B	B
F0012003	B	B
F0012004	B	B
F0012005	FA	B
F0012006	FA	B
F0012007	FA	B
F0012008	FA	B
F0012009	FA	B
F0012010	FA	B
F0012011	FA	B
F0012012	FA	B
F0012013	FA	B
F0012014	FA	B
F0012015	FA	B
F0012016	FA	B
F0012017	FC	M
F0012018	FC	M
F0012019	FC	M
F0012020	FC	M
F0012021	FVPTC	M
F0012022	FVPTC	M
F0012023	FVPTC	M
F0012024	HA	B
F0012025	HA	B
F0012026	HA	B
F0012027	HC	M
F0012028	MTC	M
F0012029	NHP	B
F0012030	NHP	B
F0012031	NHP	B
F0012032	NHP	B
F0012033	NHP	B

【 図 8 - 2 】

F0012034	NHP	B
F0012035	NHP	B
F0012036	NHP	B
F0012037	NHP	B
F0012038	NHP	B
F0012039	NHP	B
F0012040	NHP	B
F0012041	NHP	B
F0012042	NHP	B
F0012043	NHP	B
F0012044	NHP	B
F0012045	NHP	B
F0012046	NHP	B
F0012047	NHP	B
F0012048	NHP	B
F0012049	NHP	B
F0012050	NHP	B
F0012051	NHP	B
F0012052	NHP	B
F0012053	NHP	B
F0012054	PTC	M
F0012055	PTC	M
F0012056	PTC	M
F0012057	PTC	M
F0012058	PTC	M
F0012059	PTC	M
F0012060	PTC	M
F0012061	PTC	M
F0012062	PTC	M
F0012063	PTC	M
F0012064	PTC	M
F0012065	PTC	M
F0012066	PTC	M
F0012067	PTC	M

【 図 8 - 3 】

F0012068	PTC	M
F0012069	PTC	M
F0012070	PTC	M
F0012071	PTC	M
F0012072	PTC	M
F0012073	PTC	M
F0012074	PTC	M

【 図 9 - 1 】

ランク	遺伝子記号	TCID	Ref Seq
1	SEMA3D	3059667	NM_152754
2	MT1G	3692999	NM_005930
3	MGC26647	3060450	BC028365
4	CLDN16	2657808	NM_005580
5	DPP4	2584018	NM_001935
6	LIPH	2708855	NM_139248
7	TM7SF4	3110608	NM_030788
8	RAO2	3369931	NM_000536
9	SLC26A4	3018605	NM_000441
10	STK32A	2834282	NM_001112724
11	CD36	3010503	NM_001001548
12	PLA2R1	2583374	NM_007366
13	ELMO1	3046197	NM_014800
14	TCID2526806	2526806	未知
15	NELL2	3451814	NM_006159
16	CXCL9	2773947	NM_002416
17	CYSLTR2	3489138	NM_020377
18	LONRF2	2567167	NM_198461
19	TMSL8	4016193	NM_021992
20	CXCL13	2732508	NM_006419
21	RGS13	2372812	NM_002927
22	PSD3	3126191	NM_015310
23	TNFRSF17	3648391	NM_001192
24	TSPAN8	3461981	NM_004616
25	CXCL11	2773972	NM_005409
26	ABM2	2439554	NM_004833
27	ERO1LB	2462329	NM_019891
28	TRPC5	4018327	NM_012471
29	TC2N	3576704	NM_152332
30	PIP3-E	2980449	NM_013553
31	ZMAT4	3132616	NM_024645
32	YIPRC	2373842	NM_002838
33	RHOBTB3	2820925	NM_014899

【 図 9 - 2 】

34	TIMP1	3976341	NM_003254
35	MPZL2	3393720	NM_144765
36	IL7R	2806468	NM_002185
37	SLC4A4	2730746	NM_001098484
38	MYEF2	3622934	NM_016132
39	LGALS2	3960174	NM_006498
40	KCNA3	2427619	NM_002232
41	PDE5A	2783596	NM_001083
42	COP1	3389450	NM_052889
43	ANK2	2740067	NM_001148
44	EPS8	3445908	NM_004447
45	PLAG1	3136178	NM_002655
46	TLR10	2766192	NM_030956
47	IGF2BP2	2708922	NM_006548
48	PDK4	3062082	NM_002612
49	TMEM100	3763390	NM_001099640
50	SLC5A8	3467949	NM_145913
51	KLRG1	3404030	NM_005810
52	CP	2700244	NM_000096
53	RYR2	2387126	NM_001035
54	TMEM171	2815220	NM_173490
55	BHLHB2	2608725	NM_003670
56	ARNTL	3321150	NM_001178
57	GRP5	2422035	NM_052942
58	CYSLTR1	4013460	NM_006639
59	ACBD7	3279058	NM_001039844
60	LYPLA1	3135567	NM_006330
61	GABBR2	3217242	NM_005458
62	ITGA4	2518272	NM_000885
63	PLEKHF2	3107828	NM_024613
64	LOC401498	3166644	NM_212558
65	CASP1	3389353	NM_033292
66	MLLT3	3200982	NM_004529
67	CMAH	2945882	NR_002174

【 図 9 - 3 】

68	ITPR1	2608469	NM_001099952
69	GLDC	3197955	NM_000170
70	LRRN3	3019158	NM_001099660
71	TMEM156	2766289	NM_024943
72	ATP8A1	2767378	NM_006095
73	CSGALNACT1	3126594	NM_018371
74	PYHIN1	2362351	NM_152501
75	ZNF208	3856646	ENST00000340708
76	DOCK8	3159330	NM_203447
77	JAK2	3160895	NM_004972
78	SORBS2	2796995	NM_021069
79	CD2	2353669	NM_001767
80	RHOH	2724671	NM_004310
81	PLEK	2486811	NM_002664
82	ABCD2	3450861	NM_005164
83	PRICKLE1	3451375	NM_153026
84	KLRB1	3443804	NM_002258
85	STK17B	2593159	NM_004226
86	CD69	3443868	NM_001781
87	PGCP	3108226	NM_016134
88	NOD1	3044072	NM_006092
89	ENTPD1	3259253	NM_001776
90	C1orf34	2412312	NM_001080494
91	CCDC146	3009838	NM_020879
92	LRRN1	2603809	NM_020873
93	C12orf35	3410384	NM_018169
94	ANXA1	3174816	NM_000700
95	CAMK4	2823880	NM_001744
96	BFEMP1	2554018	NM_004105
97	SFP1	2735027	NM_001040058
98	C17orf87	3742627	AY358809
99	SEPP1	2855285	NM_001093726
100	PTPN22	2428796	NM_015967

【 図 10 - 1 】

ランク	遺伝子記号	TCID	D値	変化倍率
1	SCG3	3594003	5.77E-85	6.20
2	SYT4	3805614	9.65E-75	4.17
3	SCG2	2601230	3.63E-74	4.42
4	DNAJC12	3292413	5.07E-74	3.19
5	CHGB	3875179	5.06E-73	5.88
6	NEFM	3090436	7.29E-71	4.39
7	INA	3262129	2.30E-70	3.95
8	KIAA1409	3549264	3.73E-70	2.55
9	CALCA	3364127	1.40E-68	5.73
10	CEACAM5	3834341	3.01E-67	5.55
11	ASCL1	3429008	4.03E-66	3.61
12	SNAP25	3876245	1.66E-65	3.59
13	RAB3C	2810805	3.32E-65	3.53
14	SCN9A	2585400	7.04E-62	3.02
15	RGS7	2463227	2.08E-61	1.66
16	ST18	3135046	1.42E-60	2.82
17	SOGN	2898934	2.82E-60	3.54
18	PCSK1	2868044	1.02E-59	2.76
19	NRXN1	2552643	2.31E-59	2.61
20	PRUNE2	3210497	1.82E-58	3.59
21	C19orf30	3817651	3.45E-58	2.35
22	C6orf117	2915571	5.01E-58	2.60
23	SLC2A12	2974935	6.94E-57	2.57
24	EMN2	2387711	1.73E-56	3.36
25	OR10G9	3353876	9.70E-56	3.20
26	NOL4	3803628	1.75E-54	2.87
27	JAKMIP2	2880361	2.69E-54	2.35
28	DNAJC6	2340350	3.61E-54	1.98
29	SYT1	3423622	4.31E-54	3.36
30	CYP3A5	3063406	4.63E-54	1.78
31	HMP19	2841802	1.19E-53	2.68
32	GRP	3790529	1.80E-53	2.40

【 図 10 - 2 】

33	RET	3243846	3.10E-53	1.51
34	KIAA1244	2927604	9.26E-53	1.44
35	CNTN1	3411721	4.37E-52	3.20
36	GRIA3	3989448	1.14E-51	3.33
37	TSHZ2	3889419	2.00E-51	2.79
38	PRUNE2	3210616	2.04E-51	3.06
39	FSTL5	2791894	6.58E-51	3.82
40	EDN3	3891447	9.93E-51	2.76
41	LGR5	3422144	1.11E-50	2.72
42	PBOV1	2976417	1.80E-50	2.78
43	GALNT13	2511045	2.24E-50	3.28
44	CADPS	2679406	1.85E-49	1.77
45	PHYHPL	3247977	1.88E-49	2.51
46	GRM8	3071063	5.28E-49	2.00
47	CNKSR3	2980516	2.30E-48	1.22
48	MBES2	3618333	1.00E-47	1.99
49	HPGD	2794408	2.06E-47	3.40
50	DCX	4018218	3.69E-47	1.72
51	CA8	3137120	4.13E-47	1.55
52	FGF9	3480885	5.66E-47	2.32
53	DNER	2602770	5.94E-47	1.12
54	NCALD	3147173	9.64E-47	2.43
55	TMEM16D	3428333	1.65E-46	2.58
56	AMPH	3046739	4.08E-46	1.19
57	SLC4A10	2512790	5.70E-46	3.37
58	BAALC	3110217	1.01E-45	1.31
59	TCID2525682	2525682	3.54E-45	1.06
60	KCND2	3021009	2.13E-44	2.12
61	ADCYAP1	3775906	2.25E-44	1.61
62	CACNA2D2	2675315	3.53E-43	1.43
63	REST	2728408	4.17E-43	-1.61
64	PCDH10	2832423	8.03E-43	1.94
65	TMEM196	3040465	8.87E-43	2.51
66	BMP5	2958172	1.37E-42	3.04

【 図 10 - 3 】

67	SEMA3B	3059393	1.70E-42	3.94
68	PPIA2	3463821	1.83E-42	2.46
69	OR1A2	2749222	7.09E-42	2.32
70	CACNG2	3959787	8.76E-42	1.90
71	PRKAR2B	3018375	1.91E-41	2.78
72	KCNB2	3103062	6.57E-41	1.26
73	PACRG	2935311	8.69E-41	1.64
74	HMGCLL1	2958117	1.08E-40	1.83
75	WASF1	2969289	2.12E-40	1.78
76	CNTNAP2	3029900	5.87E-40	1.54
77	DDC	3050388	5.92E-40	1.24
78	FGF14	3523499	8.04E-40	1.77
79	NEFL	3128271	9.05E-40	1.89
80	MAP1B	2814756	6.91E-39	2.48
81	CPLX2	2842255	9.32E-39	1.03
82	FMO5	2433232	1.57E-38	2.36
83	CHGA	3549092	2.07E-38	1.05
84	CEACAM6	3834379	2.57E-38	3.14
85	CHST9	3802416	2.96E-38	2.39
86	PON3	3061964	5.03E-38	2.97
87	TSHR	3546213	5.91E-38	-4.16
88	DNAH5	2849056	1.67E-37	1.66
89	GAP43	2637112	1.91E-37	2.66
90	GCH1	3565524	5.81E-37	2.77
91	KCNH8	2613293	9.06E-37	1.04
92	ITF1	3933559	2.55E-36	2.60
93	PCDHB4	2832315	2.72E-36	1.74
94	KCNJ15	3920850	3.35E-36	-2.85
95	PON1	3061942	4.75E-36	1.61
96	RIMS2	3110395	8.47E-36	3.17
97	TXNDC13	3896976	1.11E-35	1.77
98	GPX2	3568603	1.16E-35	2.28
99	NKAIN2	2924081	1.40E-35	2.01
100	TMOD1	3181240	1.40E-35	2.35

【 図 1 1 - 1 】

ランク	遺伝子記号	TCID	Ref Seq
1	NRCAM	3067478	NM_001037132
2	DOCK9	3522398	NM_015296
3	CAMK2N1	2400177	NM_018584
4	C6orf168	2966193	NM_032511
5	SCEL	3494629	NM_144777
6	SIPA1L2	2460817	NM_020808
7	IL1RAP	2657831	NM_002182
8	PPM2C	3107342	NM_018444
9	RHOBTB3	2820925	NM_014899
10	AMOT	4018454	NM_133265
11	SDC4	3907234	NM_002999
12	MET	3020343	NM_001127500
13	DCBLD2	2686023	NM_080927
14	SYTL5	3973891	NM_138780
15	AHNAK2	3581221	NM_138420
16	MYH10	3744463	NM_005964
17	TCID2526806	2526806	未知
18	TACSTD2	2414958	NM_002353
19	PROS1	2685304	NM_000313
20	ERBB3	3417249	NM_001982
21	EPS8	3445908	NM_004447
22	XPR1	2370123	NM_004736
23	KRT19	3757108	NM_002276
24	7A5	3040518	NM_182762
25	FN1	2598261	NM_212482
26	GABBR2	3217242	NM_005458
27	TRAK2	2594812	NM_015049
28	GABRR2	2884845	NM_021911
29	GALNT7	2751936	NM_017423
30	IGFBP6	3415744	NM_002178
31	NELL2	3451814	NM_006159
32	SGEF	2648535	NM_015595
33	SLC47A1	3713951	NM_018242

【 図 1 1 - 2 】

ランク	遺伝子記号	TCID	Ref Seq
34	PDZRN4	3411810	NM_013377
35	MPZL2	3393720	NM_144765
36	CMYA5	2817464	NM_153610
37	ARMCX6	4015838	NM_019007
38	SLC34A2	2721959	NM_006424
39	MPPED2	3367673	NM_001584
40	TUSC3	3087167	NM_006765
41	DTNA	3784208	NM_032975
42	FAM176A	2560625	NM_032181
43	C5orf28	2855578	BC013351
44	CYSLTR2	3489138	NM_020377
45	S100A5	4045589	NM_002962
46	FDE5A	2783596	NM_001083
47	KCNJ2	3733275	NM_000891
48	AK1	3226138	NM_000476
49	LIPH	2708855	NM_139248
50	MPP7	3282601	NM_173496
51	CSNK1G3	2826550	NM_004384
52	ZCCHC16	3987607	NM_001004308
53	PSD3	3126191	NM_015310
54	BHLHB2	2608725	NM_003670
55	EGFR	3002640	NM_005228
56	SERPINA1	3577612	NM_001002236
57	ITGA3	3726154	NM_002204
58	CSGALNACT1	3126504	NM_018371
59	CHDL1	2451593	NM_001276
60	METTL7B	3416895	NM_152637
61	TGFA	2558612	NM_003236
62	NAB2	3417809	NM_005967
63	NFATC3	3666033	NM_173163
64	NPC2	3571904	NM_006432
65	GGCT	3044129	ENST00000275428
66	TPO	2466554	NM_000547
67	EGID	4047070	NM_000187

【 図 1 1 - 3 】

68	GIMAP5	3031573	NM_018384
69	PKHD1L1	3111561	NM_177531
70	ALDH3A2	3714068	NM_001031806
71	PRR15	2994981	NM_175887
72	HRA5L53	3376529	NM_007069
73	ZCCHC12	3988596	NM_173798
74	STK32A	2834282	NM_001112724
75	ANK2	2740067	NM_001148
76	SORBS2	2796995	NM_021069
77	ITGA2	2809245	NM_002203
78	MYEP2	3622934	NM_016132
79	SYN1	2979871	NM_182961
80	PLEKHA4	3867458	NM_020904
81	PLCD3	3759587	NM_133373
82	LAMB3	2453793	NM_001017402
83	FAM43A	2658785	NM_153690
84	TPD52L1	2924330	NM_001003395
85	CLDN1	2710599	NM_021101
86	B3GNT3	3824596	NM_014256
87	KIAA1217	3238962	NM_019590
88	MAP2	2525533	NM_002374
89	LRP1B	2578790	NM_018557
90	ITPR1	2608469	NM_001099952
91	CARD8	3866958	NM_014959
92	DGKI	3074912	NM_004717
93	LIFR	2854092	NM_002310
94	DOCK8	3159330	NM_203447
95	C9orf61	3173974	NM_004816
96	GPR98	2819779	NM_032119
97	TEF3	3933536	NM_003226
98	ERO1LB	2462329	NM_019891
99	ARHGAP24	2734421	NM_001025616
100	CDON	3396770	NM_016952
101	TBC1D4	3518086	NM_014832

【 図 1 2 - 1 】

ランク	遺伝子記号	TCID
1	TGFA	2558612
2	PROS1	2685304
3	MET	3020343
4	DPP4	2584018
5	GALNT7	2751936
6	TPO	2466554
7	SDC4	3907234
8	FABP4	3142381
9	KIT	2727587
10	ELMO1	3046197
11	CDH3	3666366
12	CAMK2N1	2400177
13	KRT19	3757108
14	SCEL	3494629
15	TEF3	3933536
16	LRP1B	2578790
17	CITED1	4012178
18	FLA2R1	2583374
19	STK32A	2834282
20	IL1RAP	2657831
21	LGALS3	3536706
22	GPR155	2587790
23	MPPED2	3367673
24	C6orf168	2966193
25	METTL7B	3416895
26	NPC2	3571904
27	NAB2	3417809
28	KHDRBS2	2959039
29	LIPH	2708855
30	C9orf27	3973891
31	FN1	2598261
32	EPS8	3445908
33	ZMAT4	3132616

【 図 1 1 - 4 】

102	LRP2	2586038	NM_004525
-----	------	---------	-----------

【 図 1 2 - 2 】

34	SLC26A4	3018605
35	TNFRSF11B	3150455
36	ANGPTL1	2445982
37	NFATC3	3666033
38	IIPR1	2608469
39	GABRB2	2884845
40	TBC1D4	3518086
41	SCG5	3587495
42	CYP11B1	2548699
43	HMGAA2	3420316
44	TC2N	3576704
45	ATP10D	2726072
46	RAG2	3369931
47	DUSP6	3464860
48	EROL1B	2462329
49	SCNN1A	3441885
50	ABCC3	3726691
51	ARHGAP24	2734421
52	SEMA3D	3059667
53	CHIL1	2451593
54	SPOCK1	2876897
55	PDE5A	2783596
56	MYH10	3744463
57	SERPINA1	3577612
58	SIPA1L2	2460817
59	ITM2A	4013549
60	TNFAIP8	2825629
61	MYEF2	3622934
62	KCNF2	3733275
63	CRABP1	3603295
64	MATN2	3108526
65	CLDN16	2657808
66	NRCAM	3067478
67	HEY2	2924492

【 図 1 2 - 3 】

68	PTTG1	2838201
69	SPINT1	3590164
70	CDC27	3760625
71	NOD1	3044072
72	KFNA5	2922840
73	DYNLT1	2981874
74	ODZ1	4020655
75	GABBR2	3217242
76	SLC35A1	2701927
77	UFP1	3000953
78	AUTS2	3006572
79	SLC34A2	2721959
80	MPGE8	3638204
81	RXRG	2442008
82	KLRF8	3978943
83	ANK2	2740067
84	TM7SF4	3110608
85	ZCCHC16	3987607
86	FNDCA	2545953
87	GLT8D2	3468888
88	GDF15	3824993
89	GIMAP8	3031466
90	MAP2	2525533
91	TIMP1	3976341
92	PGCP	3108226
93	KLK7	3868783
94	DNASE1L3	2678298
95	ANKRD12	3778252
96	CLDN1	2710599
97	SERINC2	2328273
98	HSD17B6	3417703
99	TSC22D1	3512294
100	TRPC5	4018327

【 図 1 3 - 1 】

TCID	遺伝子記号	亜型 1	亜型 2	亜型 3
3132616	ZMAT4	FA_FVPTC	FA_PTC	FVPTC_NHP
2809793	GZMK	FC_LCT	FVPTC_LCT	HC_LCT
3444086	KLRK1	FC_LCT	FVPTC_LCT	HC_LCT
2959039	KHDRBS2	FA_FC	FA_HC	HC_NHP
2657808	CLDN16	FA_FC	FA_PTC	LCT_PTC
4020655	ODZ1	FA_FC	FVPTC_LCT	LCT_PTC
3692999	MT1G	FA_MTC	FA_PTC	MTC_NHP
2710599	CLDN1	FA_FC	FA_PTC	NHP_PTC
3536706	LGALS3	FA_FVPTC	FA_PTC	NHP_PTC
3577612	SERPINA1	FA_FVPTC	FA_PTC	NHP_PTC
2727587	KIT	FA_FVPTC	FVPTC_NHP	NHP_PTC
3367673	MPPED2	FA_PTC	FVPTC_NHP	NHP_PTC
2884845	GABRB2	FA_PTC	LCT_PTC	NHP_PTC
2685304	PROS1	FA_PTC	LCT_PTC	NHP_PTC
3564210	PYGL	ATC_FA	ATC_LCT	
3188508	MELK	ATC_FA	ATC_NHP	
3913483	TCF5	FA_FC	FA_FVPTC	
3726691	ABCC3	FA_FC	FA_PTC	
3662201	MT1H	FA_FC	FA_PTC	
3369931	RAG2	FA_FC	FA_PTC	
2573570	TFCP2L1	FA_FC	FA_PTC	
2466554	TPO	FA_FC	FA_PTC	
3944404	APOL1	FA_FVPTC	FA_PTC	
3451814	NELL2	FA_FVPTC	FA_PTC	
3592214	DUOX1	FA_HC	FVPTC_LCT	
2809810	GZMA	FC_LCT	FVPTC_LCT	
3018605	SLC26A4	FA_FC	FVPTC_NHP	
3755862	IKZF3	FA_PTC	HC_LCT	
2373842	FTPRC	FC_LCT	HC_LCT	
3443891	CLC2B	FVPTC_LCT	HC_LCT	
3031536	GIMAP2	FVPTC_LCT	HC_LCT	
3031517	GIMAP7	FVPTC_LCT	HC_LCT	
3160895	JAK2	FVPTC_LCT	HC_LCT	

【 図 1 3 - 2 】

3666033	NFATC3	FVPTC_LCT	HC_LCT
3417703	HSD17B6	FA_HC	HC_NHP
3875179	CHGB	FA_MTC	LCT_MTC
2834282	STK32A	FA_FC	LCT_PTC
2751936	GALNT7	FA_PTC	LCT_PTC
2708855	LIPH	FA_PTC	LCT_PTC
3393720	MPZL2	FA_PTC	LCT_PTC
3464860	DUSP6	FVPTC_LCT	LCT_PTC
3416895	MEITL7B	FVPTC_LCT	LCT_PTC
2711225	ATP13A4	FVPTC_LCT	MTC_NHP
3364127	CALCA	LCT_MTC	MTC_NHP
2526806	2526806	FA_PTC	NHP_PTC
3430462	BTBD11	FA_PTC	NHP_PTC
3086809	C8orf79	FA_PTC	NHP_PTC
3396770	CDON	FA_PTC	NHP_PTC
2584018	DPP4	FA_PTC	NHP_PTC
2598261	FN1	FA_PTC	NHP_PTC
2378068	G0S2	FA_PTC	NHP_PTC
3925639	NRIP1	FA_PTC	NHP_PTC
3270270	VIPRE	FA_PTC	NHP_PTC
2721959	SLC34A2	FA_PTC	NHP_PTC
2730746	SLC4A4	FA_PTC	NHP_PTC
2796995	SORBS2	FA_PTC	NHP_PTC
3976341	TIMP1	FA_PTC	NHP_PTC
2455933	BSKRG	FVPTC_NHP	NHP_PTC
2819779	GPR98	FVPTC_NHP	NHP_PTC
2578790	LRP1B	FVPTC_NHP	NHP_PTC
2586038	LRP2	FVPTC_NHP	NHP_PTC
3108526	MATN2	FVPTC_NHP	NHP_PTC
4014029	RPS6KA6	FVPTC_NHP	NHP_PTC
2961177	COL12A1	ATC_LCT	
3590014	CASC5	ATC_NHP	
3258444	CEP55	ATC_NHP	
3565663	DLG7	ATC_NHP	

【 13 - 3 】

2838656	HMMR	ATC_NHP
3258168	KIF11	ATC_NHP
3312490	MKI67	ATC_NHP
3776139	NDC80	ATC_NHP
3590388	NUSAP1	ATC_NHP
3881443	TPX2	ATC_NHP
2406391	2406391	FA_FC
2445982	ANGPTL1	FA_FC
3459722	AVPR1A	FA_FC
3124344	C8orf15	FA_FC
3107234	C8orf39	FA_FC
3010503	CD36	FA_FC
3580769	CKB	FA_FC
3603295	CRABP1	FA_FC
2336891	DIO1	FA_PC
3384704	DLG2	FA_FC
2678298	DNASE1L3	FA_PC
2981874	DYNLT1	FA_FC
3008144	EIF4H	FA_FC
2462329	ERO1LB	FA_FC
4027639	F8	FA_FC
3142381	FABP4	FA_PC
3576749	FBLN5	FA_FC
3937967	FLJ26056	FA_FC
3393479	FXCD6	FA_FC
3197140	GLIS3	FA_FC
3250278	HK1	FA_FC
2770469	HGFBP7	FA_FC
2452440	KLHDC8A	FA_FC
3067302	LAMB1	FA_FC
2854092	LIFR	FA_FC
3745525	LOC388335	FA_FC
3244055	LOC439911	FA_FC
3788097	MAPK4	FA_FC

【 13 - 4 】

2581000	NEB	FA_FC
2980449	PIP3-E	FA_FC
2955827	PLA2G7	FA_FC
3009229	POR	FA_FC
2349848	PRMT6	FA_FC
3555675	RNASEH1	FA_FC
2984884	RNASET2	FA_FC
3363868	RRAS2	FA_FC
3899173	RRBP1	FA_FC
2387126	RVR2	FA_FC
3365136	SERGF	FA_FC
2529421	SGPP2	FA_FC
3921442	SH3BGR	FA_FC
2319340	SLC25A33	FA_FC
3114832	SQLC	FA_FC
2932508	TIAM2	FA_FC
3943504	TIMP3	FA_FC
3388438	TRPC6	FA_FC
2538480	TSSC1	FA_FC
3441941	VAMP1	FA_FC
2331558	BMP8A	FA_HC
2648991	KCNAB1	FA_HC
2931172	TYD	FA_MTC
3661718	LPCAT2	FA_MTC
3889419	TSZZ2	FA_MTC
3040518	7A5	FA_PTC
2991233	AHR	FA_PTC
3244622	ALOX5	FA_PTC
3627248	ANXA2	FA_PTC
3848039	C3	FA_PTC
2739160	CCDC109B	FA_PTC
2902844	CFB	FA_PTC
2451593	CH3L1	FA_PTC
3129065	CLU	FA_PTC

【 13 - 5 】

3335894	CST6	FA_PTC
3385769	CTSC	FA_PTC
3634811	CTSH	FA_PTC
2773434	CXCL2	FA_PTC
3973891	CXorf27	FA_PTC
2548699	CYP11B1	FA_PTC
3489138	CYSLTR2	FA_PTC
3768535	FAM20A	FA_PTC
3306984	GPAM	FA_PTC
3727583	HLP	FA_PTC
3820443	ICAM1	FA_PTC
3415744	IGFBP6	FA_PTC
2657831	IL1RAP	FA_PTC
3787187	KATNAL2	FA_PTC
2764192	KIAA0746	FA_PTC
3978943	KLP8	FA_PTC
3757108	KRT19	FA_PTC
2634091	NFKBIZ	FA_PTC
2639054	PARP14	FA_PTC
3111561	PKHD1L1	FA_PTC
3977067	PLP2	FA_PTC
3426502	PLXNC1	FA_PTC
3930360	RUNX1	FA_PTC
2908762	RUNX2	FA_PTC
3106559	SLC26A7	FA_PTC
2827645	SLC27A6	FA_PTC
3907190	SLP1	FA_PTC
2491271	TMSB10	FA_PTC
2353669	CD2	FC_LCT
2440354	CD48	FC_LCT
2326463	CD52	FC_LCT
2773947	CXCL9	FC_LCT
2854327	FYB	FC_LCT
2903401	HLA-DPB1	FC_LCT

【 13 - 6 】

3315675	IFTM1	FC_LCT
2772566	IGJ	FC_LCT
2563785	IGK@	FC_LCT
3512874	LCP1	FC_LCT
3421511	LYZ	FC_LCT
2519480	GULP1	FC_NHP
3110789	ZFPF2	FC_NHP
3288518	C10orf72	FVPTC_LCT
3410384	C12orf35	FVPTC_LCT
3338192	CCND1	FVPTC_LCT
3622239	DUOXA1	FVPTC_LCT
3217242	GABBR2	FVPTC_LCT
2587790	GPR155	FVPTC_LCT
3482888	GTF3A	FVPTC_LCT
3323052	NAV2	FVPTC_LCT
2562529	ST3GAL5	FVPTC_LCT
2825629	TNFAIP8	FVPTC_LCT
2705706	TNFSF10	FVPTC_LCT
2448971	UCHL5	FVPTC_LCT
2740067	ANK2	FVPTC_NHP
3802396	AQP4	FVPTC_NHP
2515183	C2orf37	FVPTC_NHP
2855578	C5orf28	FVPTC_NHP
2742581	FAT4	FVPTC_NHP
2726542	FLJ21511	FVPTC_NHP
2583374	FLA2R1	FVPTC_NHP
2699623	FLSCR4	FVPTC_NHP
3513549	RCE1B2	FVPTC_NHP
2336539	ZYG11A	FVPTC_NHP
2439554	AIM2	HC_LCT
3945651	APOBEC3G	HC_LCT
3302187	ARHGAP19	HC_LCT
3267314	BAG3	HC_LCT
3635198	BCL2A1	HC_LCT

【 図 1 3 - 7 】

3866958	CARD8	HC_LCT
3389353	CASP1	HC_LCT
3393744	CD3D	HC_LCT
2635741	CD96	HC_LCT
3187577	CEP110	HC_LCT
3815399	CNN2	HC_LCT
3629811	DENND4A	HC_LCT
3159330	DOCK8	HC_LCT
2424524	DPYD	HC_LCT
2739308	BOF	HC_LCT
2997907	EPDR1	HC_LCT
3397589	ETS1	HC_LCT
2422035	GBP5	HC_LCT
3031573	GIMAP5	HC_LCT
3982612	GPR174	HC_LCT
2362394	IFI16	HC_LCT
3918447	IFNAR2	HC_LCT
2806468	IL7R	HC_LCT
4013549	ITM2A	HC_LCT
3404030	KLRG1	HC_LCT
2508520	KYNU	HC_LCT
2531310	LOC93349	HC_LCT
4037595	ND1	HC_LCT
3256590	PAPSS2	HC_LCT
3772525	PSCD1	HC_LCT
2362351	FYH1N1	HC_LCT
2592356	STAT4	HC_LCT
3576704	TC2N	HC_LCT
3176209	TLE4	HC_LCT
2579572	ZEB2	HC_LCT
3319898	ZNF143	HC_LCT
3197231	C9orf68	HC_NHP
2750627	CPE	HC_NHP
3108226	PGCP	HC_NHP

【 図 1 3 - 8 】

3301713	BLNK	LCT_MTC
3110395	RMS2	LCT_MTC
3594003	SCG3	LCT_MTC
2966193	C6orf168	LCT_PTC
3445908	EP58	LCT_PTC
2708922	KIF2BP2	LCT_PTC
3126191	PSD3	LCT_PTC
3183757	RAD23B	LCT_PTC
2711205	ATP13A4	MTC_NHP
3486096	FREM2	MTC_NHP
2734421	ARHGAP24	NHP_PTC
2763278	GPR125	NHP_PTC
3625271	RAB27A	NHP_PTC
3059667	SEMA3D	NHP_PTC

【 図 1 4 - 1 】

試料ID	試料の型	亜型病態	単純化病態
A0017251	FNA	FA	B
A0017252	FNA	FA	B
A0017255	FNA	FA	B
A0017256	FNA	FA	B
A0017264	FNA	FA	B
A0017267	FNA	FA	B
A0017272	FNA	FA	B
A0017285	FNA	FA	B
A0017289	FNA	FA	B
A0017291	FNA	FA	B
A0017292	FNA	FA	B
A0017298	FNA	FA	B
A0017978	FNA	FA	B
A0017986	FNA	FA	B
A0017987	FNA	FA	B
A0017989	FNA	FA	B
A0017991	FNA	FA	B
A0017995	FNA	FA	B
A0018000	FNA	FA	B
A0018004	FNA	FA	B
A0018006	FNA	FA	B
A0018008	FNA	FA	B
A0018010	FNA	EA	B
A0018011	FNA	FA	B
A0018018	FNA	FA	B
A0017258	FNA	NHP	B
A0017265	FNA	NHP	B
A0017271	FNA	NHP	B
A0017275	FNA	NHP	B
A0017276	FNA	NHP	B
A0017278	FNA	NHP	B
A0017280	FNA	NHP	B

【 図 1 4 - 2 】

A0017295	FNA	NHP	B
A0017296	FNA	NHP	B
A0017297	FNA	NHP	B
A0017299	FNA	NHP	B
A0017979	FNA	NHP	B
A0017980	FNA	NHP	B
A0017983	FNA	NHP	B
A0017984	FNA	NHP	B
A0017985	FNA	NHP	B
A0017988	FNA	NHP	B
A0017993	FNA	NHP	B
A0017994	FNA	NHP	B
A0017997	FNA	NHP	B
A0017998	FNA	NHP	B
A0018009	FNA	NHP	B
A0018020	FNA	NHP	B
A0018021	FNA	NHP	B
A0018022	FNA	NHP	B
A0017270	FNA	FC	M
A0017294	FNA	FC	M
A0017981	FNA	FC	M
A0018016	FNA	FC	M
A0018023	FNA	FC	M
A0018025	FNA	FC	M
A0017269	FNA	FVPTC	M
A0017279	FNA	FVPTC	M
A0017982	FNA	FVPTC	M
A0017999	FNA	FVPTC	M
A0017268	FNA	MTC	M
A0017250	FNA	PTC	M
A0017253	FNA	PTC	M
A0017254	FNA	PTC	M
A0017257	FNA	PTC	M
A0017266	FNA	PTC	M

【 図 1 4 - 3 】

A0017273	FNA	PTC	M
A0017274	FNA	PTC	M
A0017281	FNA	PTC	M
A0017282	FNA	PTC	M
A0017284	FNA	PTC	M
A0017286	FNA	PTC	M
A0017290	FNA	PTC	M
A0017293	FNA	PTC	M
A0017990	FNA	PTC	M
A0017992	FNA	PTC	M
A0017996	FNA	PTC	M
A0018001	FNA	PTC	M
A0018002	FNA	PTC	M
A0018003	FNA	PTC	M
A0018005	FNA	PTC	M
A0018007	FNA	PTC	M
A0018012	FNA	PTC	M
A0018014	FNA	PTC	M
A0018015	FNA	PTC	M
A0018017	FNA	PTC	M
A0018019	FNA	PTC	M
A0018024	FNA	PTC	M
A0018027	FNA	PTC	M

【 図 1 5 】

試料ID	試料の型	垂型	単純化病態
miR101	FNA	PTC	M
miR102	FNA	NHP	B
miR103	FNA	PTC	M
miR104	FNA	BN	B
miR105	FNA	BN	B
miR106	FNA	LCT	B
miR107	FNA	LCT	B
miR108	FNA	BN	B
miR109	FNA	FTC	M
miR110	FNA	FVPTC	M
miR111	FNA	LCT	B
miR112	FNA	PTC	M
miR113	FNA	BN	B
miR114	FNA	NHP	B
miR115	FNA	CN	B
miR116	FNA	B	B
miR117	FNA	NHP	B
miR118	FNA	CN	B
miR119	FNA	FTC	M
miR120	FNA	PTC	M
miR121	FNA	非診断的	非診断的
miR122	FNA	NHP	B
miR123	FNA	NHP	B
miR124	FNA	NHP	B

【 図 1 6 】

miRNA	CHR	P	DE
hsa-miR-127-5p	14	0.0011	-1
hsa-miR-154	14	0.0032	-1
hsa-miR-29b-1*	7	0.0311	-1
hsa-miR-220a	X	0.0347	-1
hsa-miR-370	14	0.0779	-1
hsa-miR-96*	7	0.0843	-1
hsa-miR-197	1	0.1004	1
hsa-miR-220c	19	0.1137	-1
hsa-miR-19a	13	0.1159	1
hsa-miR-339-3p	7	0.1218	1
hsa-miR-146a*	5	0.1388	1
hsa-miR-200b*	1	0.1577	1
hsa-miR-200b	1	0.1584	1

【 図 1 7 - 1 】

miRNA	プローブID	CHR	P	DE	Rep
hsa-miR-542-5p	ILMN_3167175	X	0.0020	0.378	1
hsa-miR-191*	ILMN_3167124	3	0.0023	-0.192	ND
hsa-miR-577	ILMN_3167406	4	0.0023	-0.229	1
hsa-miR-542-3p	ILMN_3167074	X	0.0040	0.284	0.55
hsa-miR-604	ILMN_3167804	10	0.0041	-0.376	0.95
hsa-miR-125a-5p	ILMN_3167670	19	0.0041	0.099	0.95
hsa-miR-27b	ILMN_3168409	9	0.0045	0.134	1
hsa-miR-551b	ILMN_3166593	3	0.0051	0.776	1
hsa-miR-563	ILMN_3167408	3	0.0052	-0.087	ND
hsa-miR-424	ILMN_3166938	X	0.0054	0.138	0.59
hsa-miR-135b	ILMN_3167874	1	0.0057	0.261	1
hsa-miR-197	ILMN_3167864	1	0.0058	-0.090	ND
hsa-miR-221*	ILMN_3168580	X	0.0064	0.410	1
hsa-miR-221	ILMN_3167681	X	0.0065	0.062	1
HS_107	ILMN_3167213	0	0.0066	-0.173	1
hsa-miR-429	ILMN_3167806	1	0.0068	0.344	0.77
hsa-miR-99a	ILMN_3168213	21	0.0069	0.176	0.86
hsa-miR-31	ILMN_3167837	9	0.0069	0.313	1
HS_131	ILMN_3168082	0	0.0071	-0.207	0.91
hsa-miR-200b	ILMN_3168294	1	0.0075	0.227	0.5
hsa-miR-302c	ILMN_3166944	4	0.0081	-0.307	1
hsa-miR-181a-2*	ILMN_3168577	9	0.0082	0.186	1
hsa-miR-130b*	ILMN_3168588	22	0.0085	-0.178	1
hsa-let-7e	ILMN_3168463	19	0.0089	0.084	0.5
hsa-miR-218	ILMN_3168380	4,5	0.0097	0.209	0.91
hsa-miR-133b	ILMN_3168348	6	0.0100	0.279	0.95
hsa-miR-125b	ILMN_3168389	21,11	0.0102	0.080	ND
hsa-miR-1296	ILMN_3167351	10	0.0105	0.384	ND
hsa-miR-222	ILMN_3167963	X	0.0109	0.138	1
hsa-miR-222*	ILMN_3168712	X	0.0110	0.192	1
hsa-miR-450a	ILMN_3168187	X,X	0.0111	0.186	ND
hsa-miR-31*	ILMN_3168847	9	0.0113	0.388	1
hsa-let-7f*	ILMN_3168724	12	0.0113	0.225	0.77

【 図 1 7 - 2 】

HS_73.1	ILMN_3167416	0	0.0119	0.482	1
hsa-miR-200a	ILMN_3167801	1	0.0121	0.416	ND
hsa-miR-922	ILMN_3168748	3	0.0123	-0.074	ND
hsa-miR-136*	ILMN_3168667	14	0.0131	0.224	ND
hsa-miR-1231	ILMN_3167675	1	0.0132	0.113	ND
hsa-miR-224	ILMN_3168515	X	0.0144	0.326	0.95
hsa-miR-146b-5p	ILMN_3167894	10	0.0148	0.290	1
hsa-miR-141*	ILMN_3168669	12	0.0148	0.368	ND
hsa-miR-708	ILMN_3168563	11	0.0150	0.348	ND
hsa-miR-296-3p	ILMN_3168049	20	0.0186	0.253	0.64
hsa-miR-125b-2*	ILMN_3168804	21	0.0187	0.319	ND
hsa-miR-608	ILMN_3167500	10	0.0191	-0.464	1
HS_162	ILMN_3167742	0	0.0194	0.313	1
hsa-miR-200c*	ILMN_3168701	12	0.0201	0.232	0.82
hsa-miR-141	ILMN_3168064	12	0.0205	0.183	ND
HS_151.1	ILMN_3167470	0	0.0207	-0.483	1
hsa-miR-451	ILMN_3167614	17	0.0209	-0.027	ND
hsa-miR-424*	ILMN_3168638	X	0.0219	0.286	ND
hsa-miR-26b	ILMN_3167374	2	0.0223	-0.021	ND
hsa-miR-150*	ILMN_3168730	19	0.0224	-0.265	ND
hsa-miR-361-3p	ILMN_3168815	X	0.0228	-0.188	0.95
HS_120	ILMN_3166997	0	0.0229	-0.183	ND
hsa-miR-495	ILMN_3167052	14	0.0241	0.096	ND
hsa-miR-519e*	ILMN_3168031	19	0.0256	-0.269	0.73
HS_101	ILMN_3167526	0	0.0256	-0.175	ND
hsa-miR-1226	ILMN_3168807	3	0.0266	-0.267	ND
hsa-miR-576-3p	ILMN_3168559	4	0.0272	-0.188	0.77
hsa-miR-146a*	ILMN_3168687	5	0.0272	-0.276	ND
hsa-miR-28-3p	ILMN_3168657	3	0.0273	-0.121	ND
hsa-miR-1178	ILMN_3168877	12	0.0285	0.316	ND
hsa-miR-146b-3p	ILMN_3168844	10	0.0289	0.225	1
HS_130	ILMN_3168254	0	0.0294	-0.183	ND
hsa-miR-203	ILMN_3167375	14	0.0320	0.229	ND
hsa-miR-1250	ILMN_3168585	17	0.0329	-0.168	ND

【 図 17 - 3 】

hsa-miR-16	ILMN_3167989	3,13	0.0334	-0.032	ND
HS_196.1	ILMN_3166967	0	0.0344	0.209	0.82
HS_266.1	ILMN_3168251	0	0.0364	0.320	ND
hsa-let-7a*	ILMN_3168708	22,9	0.0370	0.232	ND
HS_48.1	ILMN_3167790	0	0.0371	0.249	1
solcx-7111-119	ILMN_3168909	0	0.0378	0.151	ND
hsa-miR-766	ILMN_3167038	X	0.0386	-0.248	ND
hsa-miR-450b-5p	ILMN_3168884	X	0.0386	0.111	ND
solcx-555-1991	ILMN_3168904	0	0.0387	-0.080	ND
hsa-miR-463	ILMN_3167088	20	0.0400	-0.468	0.91
hsa-miR-99b	ILMN_3168262	19	0.0405	0.209	ND
hsa-miR-382	ILMN_3167239	14	0.0409	0.114	ND
hsa-miR-27b*	ILMN_3168599	9	0.0422	0.140	0.86
hsa-miR-566	ILMN_3167704	3	0.0424	-0.194	ND
hsa-miR-452	ILMN_3167050	X	0.0426	0.175	ND
hsa-miR-125a-3p	ILMN_3168574	19	0.0458	0.180	ND
hsa-miR-206	ILMN_3168019	6	0.0467	0.251	ND
hsa-miR-509-3p	ILMN_3168363	X,X,X	0.0470	0.183	ND
hsa-miR-342-5p	ILMN_3168614	14	0.0477	-0.154	ND
hsa-miR-23b	ILMN_3167997	9	0.0500	0.035	ND
hsa-miR-24-1*	ILMN_3168844	9	0.0504	0.289	ND
hsa-miR-200c	ILMN_3167002	12	0.0524	0.092	ND
hsa-miR-1293	ILMN_3168857	12	0.0524	0.169	ND
HS_231	ILMN_3167534	0	0.0525	0.251	ND
hsa-miR-372	ILMN_3167184	19	0.0533	-0.087	ND
hsa-miR-335	ILMN_3167996	7	0.0535	0.077	ND
hsa-miR-193a-3p	ILMN_3168366	17	0.0548	0.113	0.86
hsa-miR-200a*	ILMN_3167179	1	0.0551	0.227	ND
hsa-miR-1297	ILMN_3168867	13	0.0551	0.089	ND
HS_284.1	ILMN_3168214	0	0.0558	-0.156	ND
HS_86	ILMN_3167504	0	0.0558	0.106	0.64
hsa-miR-1180	ILMN_3168881	17	0.0567	-0.097	ND
hsa-miR-187	ILMN_3168167	18	0.0575	0.164	ND
hsa-miR-135a	ILMN_3167823	3,12	0.0601	0.146	ND

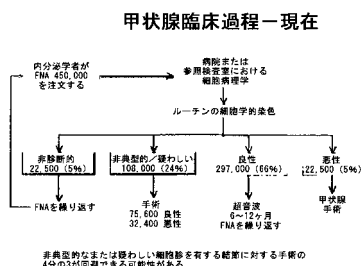
【 図 17 - 4 】

hsa-miR-943	ILMN_3168720	4	0.0605	-0.076	ND
hsa-miR-1279	ILMN_3168811	12	0.0615	-0.211	ND
hsa-miR-657	ILMN_3167034	17	0.0615	-0.063	ND
hsa-miR-15a*	ILMN_3168662	13	0.0617	0.218	ND
hsa-miR-449b	ILMN_3168441	5	0.0634	-0.076	ND
HS_208	ILMN_3167907	0	0.0635	0.064	ND
hsa-miR-489	ILMN_3167272	7	0.0641	0.335	ND
hsa-miR-155*	ILMN_3168715	21	0.0671	-0.207	ND
hsa-miR-511	ILMN_3167598	10,10	0.0680	0.208	ND
HS_116	ILMN_3167951	0	0.0682	-0.235	ND
hsa-miR-34a	ILMN_3168429	1	0.0695	0.189	ND
HS_38.1	ILMN_3168353	0	0.0717	-0.114	ND
hsa-miR-708*	ILMN_3168647	11	0.0719	0.110	ND
HS_35	ILMN_3167886	0	0.0732	0.153	ND
hsa-miR-515-5p	ILMN_3166959	19,19	0.0748	-0.254	ND
HS_3	ILMN_3168047	0	0.0755	1.395	ND
HS_166.1	ILMN_3168315	0	0.0793	-0.134	ND
HS_156	ILMN_3168305	0	0.0794	0.250	ND
hsa-miR-376a*9.1	ILMN_3167419	0	0.0798	0.218	ND
solcx-5169-164	ILMN_3168902	0	0.0822	0.167	ND
HS_8	ILMN_3167836	0	0.0825	0.188	ND
hsa-miR-556-5p	ILMN_3167655	1	0.0836	0.175	ND
hsa-miR-375	ILMN_3167229	2	0.0845	0.174	ND
hsa-miR-520f	ILMN_3167075	19	0.0858	0.208	ND
hsa-miR-1321	ILMN_3168663	X	0.0859	-0.122	ND
hsa-miR-548f	ILMN_3168534	5,X,2,7,10	0.0869	0.087	ND
hsa-let-7i	ILMN_3168316	12	0.0879	0.017	ND
hsa-miR-151-3p	ILMN_3168705	8	0.0888	0.065	ND
hsa-miR-561	ILMN_3167109	2	0.0890	-0.157	ND
HS_12	ILMN_3168104	0	0.0904	0.192	ND
hsa-miR-212	ILMN_3167761	17	0.0907	0.213	ND
hsa-miR-505	ILMN_3168412	X	0.0913	-0.203	ND
hsa-miR-524-5p	ILMN_3168284	19	0.0918	0.207	ND
hsa-miR-744*	ILMN_3168733	17	0.0930	0.173	ND

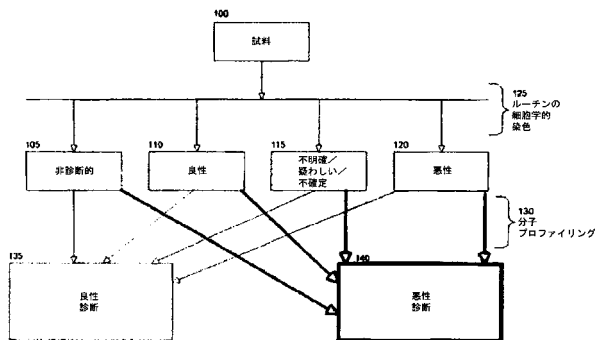
【 図 17 - 5 】

hsa-miR-148b*	ILMN_3168567	12	0.0937	0.112	ND
hsa-miR-155	ILMN_3168170	21	0.0942	-0.119	ND
HS_89	ILMN_3168065	0	0.0944	0.138	ND
HS_267	ILMN_3167573	0	0.0948	-0.094	ND
hsa-miR-630	ILMN_3167844	15	0.0959	-0.282	ND
hsa-miR-33a	ILMN_3167691	22	0.0969	0.237	ND
ES_106	ILMN_3167464	0	0.0976	-0.119	ND
ES_57.1	ILMN_3167398	0	0.0992	-0.212	ND
hsa-miR-658	ILMN_3168097	22	0.0999	0.244	ND
hsa-miR-101*	ILMN_3168196	1	0.1001	0.119	ND

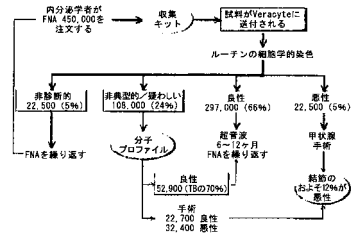
【 図 18 B 】



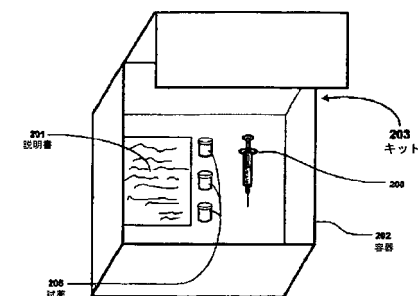
【 図 18 A 】



甲状腺臨床過程—将来



【 図 19 】



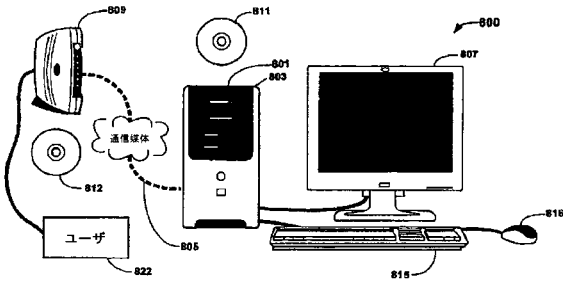
【 図 2 0 】

分子プロファイリングレポート

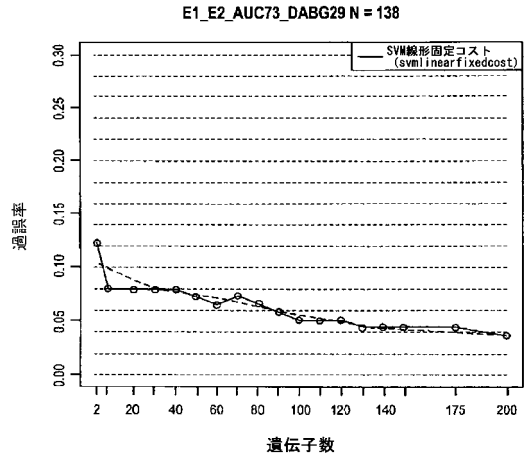
カスタマー: 1234
 組織の型: 甲状腺
 予備的診断: 結節
 試料品質: 上

結節ID	良性	非良性	非診断的
a	+	-	-
b	+	-	-
c	+	-	-
d	+	-	-

【 図 2 1 】



【 図 2 2 】



【 国際調査報告 】

INTERNATIONAL SEARCH REPORT		International application No. PCT/US2009/006162
A. CLASSIFICATION OF SUBJECT MATTER		
<i>C12Q 1/68(2006.01)i, C12N 15/12(2006.01)i, G01N 33/574(2006.01)i</i>		
According to International Patent Classification (IPC) or to both national classification and IPC		
B. FIELDS SEARCHED		
Minimum documentation searched (classification system followed by classification symbols) C12Q 1/68; G01N 33/574		
Documentation searched other than minimum documentation to the extent that such documents are included in the fields searched Korean utility models and applications for utility models Japanese utility models and applications for utility models		
Electronic data base consulted during the international search (name of data base and, where practicable, search terms used) eKOMPASS (KIPO internal) & Keywords: "thyroid cancer", "biomarker", "expression", and similar terms		
C. DOCUMENTS CONSIDERED TO BE RELEVANT		
Category*	Citation of document, with indication, where appropriate, of the relevant passages	Relevant to claim No.
X	US 2008-0044824 A1 (GIORDANO, T., et al.) 21 Feb. 2008 See abstract, and claims (1-20)	1-78
X	WO 2006-062118 A1 (KANSAI TECHNOLOGY LICENSING ORGANIZATION CO., LTD. et al.) 15 Jun. 2006 See abstract, and claims (1-13)	1-78
X	MURPHY, K. M., et al., Human Pathology, 31 Mar. 2008, Vol. 39, No. 3, pp. 420-426 See abstract, table (1), and page (422)	1-78
X	FINN, S. P., et al., Virchows Arch., 25 Jan. 2007, Vol. 450, No. 3, pp. 249-260 See abstract, table (2), and pages (252-255)	1-78
<input type="checkbox"/> Further documents are listed in the continuation of Box C. <input checked="" type="checkbox"/> See patent family annex.		
* Special categories of cited documents: "A" document defining the general state of the art which is not considered to be of particular relevance "E" earlier application or patent but published on or after the international filing date "L" document which may throw doubts on priority claim(s) or which is cited to establish the publication date of citation or other special reason (as specified) "O" document referring to an oral disclosure, use, exhibition or other means "P" document published prior to the international filing date but later than the priority date claimed		"T" later document published after the international filing date or priority date and not in conflict with the application but cited to understand the principle or theory underlying the invention "X" document of particular relevance; the claimed invention cannot be considered novel or cannot be considered to involve an inventive step when the document is taken alone "Y" document of particular relevance; the claimed invention cannot be considered to involve an inventive step when the document is combined with one or more other such documents, such combination being obvious to a person skilled in the art "&" document member of the same patent family
Date of the actual completion of the international search 28 JULY 2010 (28.07.2010)		Date of mailing of the international search report 29 JULY 2010 (29.07.2010)
Name and mailing address of the ISA/KR  Korean Intellectual Property Office Government Complex-Daejeon, 139 Seonsa-ro, Seo-gu, Daejeon 302-701, Republic of Korea Facsimile No. 82-42-472-7140		Authorized officer HYUN, SEUNG HOON Telephone No. 82-42-481-8401 

INTERNATIONAL SEARCH REPORT

International application No.

PCT/US2009/006162

Box No. II Observations where certain claims were found unsearchable (Continuation of item 2 of first sheet)

This international search report has not been established in respect of certain claims under Article 17(2)(a) for the following reasons:

1. Claims Nos.:
because they relate to subject matter not required to be searched by this Authority, namely:

2. Claims Nos.:
because they relate to parts of the international application that do not comply with the prescribed requirements to such an extent that no meaningful international search can be carried out, specifically:

3. Claims Nos.:
because they are dependent claims and are not drafted in accordance with the second and third sentences of Rule 6.4(a).

Box No. III Observations where unity of invention is lacking (Continuation of item 3 of first sheet)

This International Searching Authority found multiple inventions in this international application, as follows:

I. Claims 1-77 directed to a method of diagnosing thyroid cancer, a method of classifying cancer, and a composition for diagnosing cancer.

II. Claim 78 directed to a method for running a molecular profiling business.

1. As all required additional search fees were timely paid by the applicant, this international search report covers all searchable claims.
2. As all searchable claims could be searched without effort justifying an additional fee, this Authority did not invite payment of any additional fee.
3. As only some of the required additional search fees were timely paid by the applicant, this international search report covers only those claims for which fees were paid, specifically claims Nos.:

4. No required additional search fees were timely paid by the applicant. Consequently, this international search report is restricted to the invention first mentioned in the claims; it is covered by claims Nos.:

Remark on Protest

The additional search fees were accompanied by the applicant's protest and, where applicable, the payment of a protest fee.

The additional search fees were accompanied by the applicant's protest but the applicable protest fee was not paid within the time limit specified in the invitation.

No protest accompanied the payment of additional search fees.

INTERNATIONAL SEARCH REPORT

Information on patent family members

International application No.

PCT/US2009/006162

Patent document cited in search report	Publication date	Patent family member(s)	Publication date
US 2008-0044824 A1	21.02.2008	US 7598052 B2	06.10.2009
WO 2006-062118 A1	15.06.2006	JP 2006-162446 A	22.06.2006

フロントページの続き

(51)Int.Cl. F I テーマコード(参考)
G 0 1 N 33/53 (2006.01) G 0 1 N 33/53 M

(81)指定国 AP(BW, GH, GM, KE, LS, MW, MZ, NA, SD, SL, SZ, TZ, UG, ZM, ZW), EA(AM, AZ, BY, KG, KZ, MD, RU, TJ, TM), EP(AT, BE, BG, CH, CY, CZ, DE, DK, EE, ES, FI, FR, GB, GR, HR, HU, IE, IS, IT, LT, LU, LV, MC, MK, MT, NL, NO, PL, PT, RO, SE, SI, SK, SM, TR), OA(BF, BJ, CF, CG, CI, CM, GA, GN, GQ, GW, ML, MR, NE, SN, TD, TG), AE, AG, AL, AM, AO, AT, AU, AZ, BA, BB, BG, BH, BR, BW, BY, BZ, CA, CH, CL, CN, CO, CR, CU, CZ, DE, DK, DM, DO, DZ, EC, EE, EG, ES, FI, GB, GD, GE, GH, GM, GT, HN, HR, HU, ID, IL, IN, IS, JP, KE, KG, KM, KN, KP, KR, KZ, LA, LC, LK, LR, LS, LT, LU, LY, MA, MD, ME, MG, MK, MN, MW, MX, MY, MZ, NA, NG, NI, NO, NZ, OM, PE, PG, PH, PL, PT, RO, RS, RU, SC, SD, SE, SG, SK, SL, SM, ST, SV, SY, TJ, TM, TN, TR, TT, TZ, UA, UG, US, UZ, VC, VN, ZA, ZM, ZW

(74)代理人 100148699

弁理士 佐藤 利光

(74)代理人 100128048

弁理士 新見 浩一

(74)代理人 100129506

弁理士 小林 智彦

(74)代理人 100130845

弁理士 渡邊 伸一

(74)代理人 100114340

弁理士 大関 雅人

(74)代理人 100114889

弁理士 五十嵐 義弘

(74)代理人 100121072

弁理士 川本 和弥

(72)発明者 ケネディ ジュリア シー .

アメリカ合衆国 カリフォルニア州 サンフランシスコ カステナダ アベニュー 360

(72)発明者 アンダーソン ボニー

アメリカ合衆国 カリフォルニア州 サンフランシスコ カリフォルニア ストリート 2110

(72)発明者 チュドバ ダリア アイ .

アメリカ合衆国 カリフォルニア州 サンノゼ ル フェーブル ドライブ 5603

(72)発明者 ワン エリック ティー .

アメリカ合衆国 カリフォルニア州 ミルピタス メンテ リンズ ループ 713

(72)発明者 ワン ホイ

アメリカ合衆国 カリフォルニア州 サンプルノ グッドウィン ドライブ 220

(72)発明者 ペイガン モライマ

アメリカ合衆国 カリフォルニア州 サンフランシスコ スコット ストリート 625 アパートメント 104

(72)発明者 ラビー ヌスラト

アメリカ合衆国 カリフォルニア州 サウス サンフランシスコ ショアライン コート 7000 스위트 250

(72)発明者 ワイルド ジョナサン アイ .

アメリカ合衆国 カリフォルニア州 バーリンゲーム クロベリー レーン 1112

Fターム(参考) 2G045 AA26 CB01 DA14 DA36

4B063 QA01 QA19 QQ08 QQ52 QQ53 QQ54 QQ58 QR08 QR32 QR55

QR62 QR82 QS25 QS34

专利名称(译)	用于疾病诊断的分子谱分析方法和组合物		
公开(公告)号	JP2012509061A	公开(公告)日	2012-04-19
申请号	JP2011536339	申请日	2009-11-17
[标]申请(专利权)人(译)	威拉赛特公司		
申请(专利权)人(译)	贝拉公司网站		
[标]发明人	ケネディジュリアシー アンダーソンボニー チュドバダリアアイ ワンエリックティー ワンホイ ペイガンモライマ ラビーヌスラト ワイルドジョナサンアイ		
发明人	ケネディ ジュリア シー. アンダーソン ボニー チュドバダリア アイ. ワン エリック ティー. ワン ホイ ペイガン モライマ ラビー ヌスラト ワイルド ジョナサン アイ.		
IPC分类号	C12Q1/68 G01N33/50 G01N33/68 G01N33/574 G01N37/00 G01N33/53		
CPC分类号	C12Q1/6886 C12Q2600/112 C12Q2600/158 C12Q2600/178 G01N33/574 G01N33/57407 A61B10/0096 A61B10/0283 G06Q99/00 G16B25/00 A61B50/30		
FI分类号	C12Q1/68.A G01N33/50.P G01N33/68 G01N33/574.A G01N37/00.102 G01N33/53.M		
F-TERM分类号	2G045/AA26 2G045/CB01 2G045/DA14 2G045/DA36 4B063/QA01 4B063/QA19 4B063/QQ08 4B063/QQ52 4B063/QQ53 4B063/QQ54 4B063/QQ58 4B063/QR08 4B063/QR32 4B063/QR55 4B063/QR62 4B063/QR82 4B063/QS25 4B063/QS34		
代理人(译)	清水初衷 井上隆一 佐藤俊光 小林智彦 渡边真一 正人大关 五十嵐弘		
优先权	61/199585 2008-11-17 US 61/270812 2009-07-13 US		
其他公开文献	JP6257125B2 JP2012509061A5		
外部链接	Espacenet		
摘要(译)			

本发明涉及用于分子谱分析和癌症诊断的组合物，试剂盒和方法，包括但不限于基因表达产物标记，替代外显子使用标记和与癌症相关的DNA多态性。特别地，本发明提供了与甲状腺癌相关的分子谱，确定分子谱的方法，以及分析结果以提供诊断的方法。

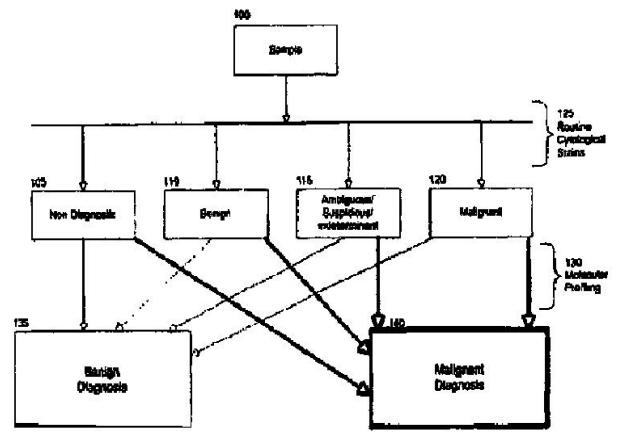


Figure 18